

UNIVERSITATEA "POLITEHNICA" DIN TIMIȘOARA
FACULTATEA DE ELECTRONICĂ ȘI TELECOMUNICAȚII

66 8

CONTRIBUȚII LA ANALIZA ȘI PROIECTAREA
ALGORITMILOR DE PLANIFICARE A TRAFICULUI
ÎN REȚELE CU COMUTARE DE PACHETE

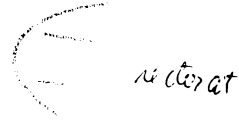
TEZĂ DE DOCTORAT

Conducător științific:
Prof.dr.ing. Ioan Naforniță

Autor:
Ing. Hasan Harasis

1998

CUPRINS



Capitolul 1 INTRODUCERE	1
1.1 Introducere	1
1.2 Tipuri de rețele	3
1.3 Congestia	4
1.4 Metode de control al congestiei	5
1.4.1 Controlul congestiei în buclă deschisă	6
1.4.2 Controlul congestiei în buclă închisă	7
1.4.3 Scheme hibride	8
1.5 Clepsidra sau perioadele de control a congestiei	8
1.6 Managementul congestiei în rețele de mare viteză	11
1.6.1 Legăturile și traficul în rețelele de mare viteză	12
1.6.2 Controlul fluxului prin ferestre și prin rată	13
1.6.3 Controlul cu reacție și controlul în buclă deschisă	15
1.6.4 Controlul la sursă și controlul în rutere	15
1.6.5 Contrapresiunea	17
1.6.6 Modul de lucru cu rezervare și modul de lucru fără rezervare	18
1.6.7 Alegerea schemei de control a congestiei	19
Capitolul 2 CONTROLUL TRAFICULUI	21
2.1 Formarea traficului	21
2.1.1 Algoritmul găleții găurite	22
2.1.2 Algoritmul găleții cu jeton	23
2.2 Algoritm de control a admisieii	25
2.2.1 Algoritmul “suma simplă”	26
2.2.2 Algoritmul “suma măsurată”	26
2.2.3 Algoritmul regiunii de acceptanță	27
2.2.4 Algoritmul capacității echivalente	28
2.2.4.1 Estimarea capacității echivalente folosind distribuția normală	29
2.2.4.2 Estimarea capacității echivalente cu limita Hoeffding	30
2.2.4.3 Măsurarea ratei medii de sosire	31
2.2.5 Controlul probabilistic al admisieii	32
2.2.6 Controlul admisieii folosind rata de pierderi a celulelor	33
2.2.6.1 Algoritmul CAC-FA-CLR	34
2.2.6.2 Descrierea sistemului bazat pe reguli fuzzy	34
Capitolul 3 CONTROLUL CONGESTIEI ȘI MANAGEMENTUL TRAFICULUI ÎN REȚELE ATM	39
3.1 Introducere	39
3.2 Parametrii traficului și calitatea serviciului	39
3.2.1 Parametrii de trafic	39
3.2.2 Categorii de servicii	41
3.3 Metode de control a congestiei	42
3.4 Facilități pentru reacție în rețele ATM	43
3.5 Criterii de selecție	43

BIBLIOTECA CENTRALĂ
UNIVERSITATEA *POLITEHNICA*
TIMIȘOARA

3.5.1 Scalabilitatea	43
3.5.2 Optimalitatea	44
3.5.3 Indicele de imparțialitate	44
3.5.4 Robustetea	45
3.5.5 Implementabilitatea	45
3.5.6 Configurații de simulare	45
3.6 Structura traficului	46
3.7 Scheme de tratare a congestiei	46
3.7.1 Rezervarea rapidă	46
3.7.2 Controlul ratei bazat pe întârziere	47
3.7.3 Notificarea explicită, înspre înapoi, a congestiei BECN	47
3.7.4 Distrugerea timpurie a pachetelor, EPD	48
3.7.5 Fereastra pe legătură și controlul binar cap la cap al ratei	48
3.7.6 Alocare imparțială cu reacție despre memorie și rată	48
3.7.7 Abordarea bazată pe credite	49
3.7.8 Abordarea bazată pe rată	50
3.7.8.1 Schema MIT	51
3.7.8.2 Algoritm îmbunătățit de control proporțional a ratei	52
3.7.8.3 Editarea congestiei prin algoritmul OSU	53
3.7.8.4 Evitarea congestiei folosind controlul proporțional	54
3.8 Surse și destinații virtuale	55
3.9 Comparația între abordarea bazată pe credite și cea bazată pe rată	56

Capitolul 4 PLANIFICAREA TRAFICULUI 58

4.1 Planificarea traficului în IBS	60
4.2 Planificarea traficului în OBS	62
4.2.1 Planificatoare reprezentative	64
4.2.1.1 Primul sosit primul servit, FCFS	64
4.2.1.2 Servirea imparțială, FQ	65
4.2.1.3 Servirea imparțială stohastică, SFQ	65
4.2.1.4 Ceasul virtual, VCL	66
4.2.1.5 Procesorul generalizat, GPS	66
4.2.1.6 Servirea imparțială cu autosincronizarea, SCFQ	68
4.2.1.7 Planificarea cu oprire și pornire, SG	68
4.2.1.8 Planificarea carusel, RR	68
4.2.1.9 Planificarea carusel cu recuperarea deficitului, DRR	69
4.2.1.10 Planificarea carusel ierarhizată, HRR	70
4.2.1.11 Planificarea cu întârzierea datei planificată anterior, DEDD	70
4.2.1.12 Planificarea DEDD cu controlul jitterului, JEDD	71
4.3 Parametrii planificatoarelor	71
4.3.1 Garanții asupra întârzierii cap la cap	73
4.3.2 Imparțialitate	74
4.3.3 Complexitatea implementării	75

Capitolul 5 ALGORITMI DE IMPLEMENTARE A REZERVĂRIILOR DE BANDĂ ÎN COMUTATOARE CU MEMORARE LA INTRARE 77

5.1 Algoritm paralel de asociere probabilistică iterativă, PIM	77
5.2 Numărul de iterații al algoritmului PIM	80
5.3 Asocierea probabilistică cu filtrarea cererilor, APFC	83

Capitolul 6 CLASIFICAREA GENERALĂ A PLANIFICATOARELOR UNIFICATE	89
6.1 Servere cu latența ratei, <i>LR</i>	89
6.1.1 Analiza unui singur server <i>LR</i>	92
6.1.2 Analiza unei rețele de servere <i>LR</i>	97
6.1.3 Limita întârzierii pentru surse formate cu o găleată dublă	105
6.2 Planificatoare din clasa <i>LR</i>	107
6.2.1 Servirea imparțială ponderată WFQ	110
6.2.2 Ceasul virtual, VCL	111
6.2.3 Servirea imparțială cu autosincronizare, SCFQ	111
6.2.4 Planificarea carusel cu recuperarea deficitului DRP	113
6.2.5 Planificarea carusel ponderată WRR	115
6.3 O margine îmbunătățită a întârzierii	117
6.4 Imparțialitatea serverelor <i>LR</i>	119
6.4.1 Imparțialitatea planificatorului PGPS	121
6.4.2 Imparțialitatea planificatorului SCFQ	121
6.4.3 Imparțialitatea planificatorului RR	122
6.5 Concluzii	124
Capitolul 7 SERVERE PROPORȚIONALE CU RATA	126
7.1 Funcțiile de potențial	126
7.2 Servere proporționale cu rata, SPR	127
7.2.1 Servere proporționale cu rata, pachet cu pachet	131
7.2.2 Analiza întârzierii	134
7.3 Imparțialitatea serverelor proporționale cu rata	134
7.4 Algoritm de planificare imparțială pentru rețele cu pachete	137
7.4.1 Metoda de menținere a potențialului sistemului	137
7.4.2 Planificarea imparțială bazată pe cadre	138
CONCLUZII	
ANEXĂ	
BIBLIOGRAFIE	

Capitolul 1

INTRODUCERE

1.1 Introducere

În prezent pe tot globul pământesc sunt răspândite rețelele de comunicații de date. Întrucât ele reprezintă o resursă costisitoare atât în ceea ce privește crearea lor cât și exploatarea lor, este deosebit de importantă optimizarea performanțelor lor, pentru obținerea de beneficii maxime la un preț minim.

Atunci când foarte multe pachete sunt prezente într-o subrețea, sau o parte a unei subrețele, performanțele se degradează, deoarece apare congestia. Congestia poate fi definită ca o diminuare a performanțelor rețelei la încărcare mare [GAP, J2, JK, KES]. Simptomele sale sunt prezentate în fig. 1.1. Când numărul de pachete emise în subrețea de calculatoarele gazdă nu depășește capacitatea de transport, ele sunt livrate în totalitate la destinație, mai puțin cele afectate de erori de transmisie. Numărul pachetelor livrate este proporțional cu numărul de pachete emise. Atunci când traficul crește prea mult, nodurile/ruturile încep să nu mai facă față și să piardă pachete. Situația se degradează progresiv, astfel că la un trafic foarte intens nici un pachet nu mai este livrat și se ajunge la blocarea rețelei, forma extremă a congestionării [DBPS, NMH, NM].

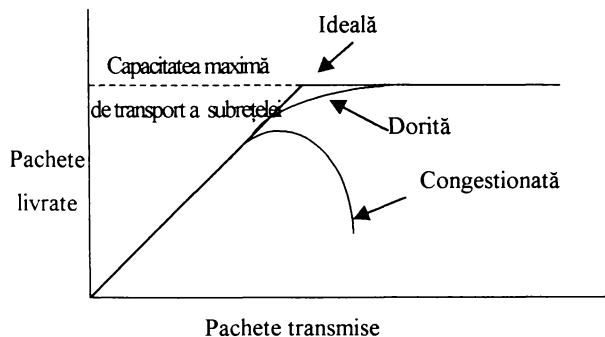


Fig. 1.2 Congestia apare când traficul este prea intens; performanțele se degradează

Majoritatea rețelelor se comportă bine la încărcare mică, dar pe măsură ce încărcarea cu trafic crește, apare congestia. Deoarece congestia poate cauza pierderi de date și întârzieri mari în transmiterea datelor, devine extrem de important controlul pentru evitarea congestiei.

Congestia poate fi produsă de mai mulți factori: memorie insuficientă în rutere, procesoare lente în rutere, linii neperformante, sau o incompatibilitate între părți ale sistemului. Datorită mecanismelor de retransmisie, prevăzute pentru a

asigura transferul pachetelor prin subrețea până la destinație, congestia se autoalimentează și se răspândește [Tane, AK, CG, Sch, J1, MG]. Se iau în consecință măsuri pentru evitarea congestiei care implică, printre altele o dirijare eficientă și controlul fluxului în rețea. Aceste măsuri constituie subiectul lucrării de față. Domeniul este extrem de vast și în consecință nici o abordare nu poate fi exhaustivă [J2, KES, JK, DS, GAP].

Primele rețele mari de comunicații au fost rețelele telefonice. Cum acestea transportă trafic de un singur tip și cu un comportament bine cunoscut, e posibilă evitarea congestiei prin rezervarea de resurse suficiente în momentul stabilirii fiecărui apel [NM, THN, SYS, STA]. Limitând numărul total de utilizatori, se pot asigura suficiente resurse fiecărui apel acceptat, pentru asigurarea performanței dorite și astfel se poate evita congestia.

Ca la orice sistem cu rezervare însă, poate apărea o slabă utilizare a resurselor, dacă acestea sunt alocate unui apel care nu le utilizează și astfel nu sunt disponibile pentru alte apeluri. Dirijarea folosită în rețele telefonice este o dirijare de tip ierarhic [Tane, TH, THN, SMV].

Primele rețele de comunicații de date, au fost rețelele de tip “memorează și retransmite”, SF (Store and Forward), fără rezervare de resurse, folosirea resurselor fiind făcută prin multiplexare statistică. Deoarece apariția congestiei în aceste rețele era firească, nu erau constante nici numărul utilizatorilor nici sarcina oferită de aceștia. Avantajul obținut prin multiplexarea statistică a resurselor rețelei a fost compensat de posibilitatea apariției congestiei. Au fost propuse în consecință diverse scheme pentru evitarea acesteia [STEV, BM, FF]. De asemenea au fost folosiți o serie de algoritmi de dirijare, algoritmi bazați pe vectorul distanță [CCS, ERN, EST, ZDESZ, WVTP, HMN1, HMN2, VB, STEE, BFG, BP] și apoi algoritmi bazați pe starea legăturii.

În ultimii ani a apărut Internet-ul, ca o reuniune de subrețele locale, regionale și continentale. Apariția sa a fost posibilă datorită fuziunii dintre domeniul telecomunicațiilor și cel al calculatoarelor. Dimensiunile acestei interrețele depășesc orice prognoză. Numărul mare de utilizatori, cu diferite tipuri și volume de trafic, precum și controlul complet distribuit al rețelei a resuscitat interesul cu privire la controlul congestiei. Dezvoltarea Internet-ului a dus la necesitatea adaptării și a algoritmilor de dirijare atât la dimensiunile acestuia cât și la politicile domeniilor tranzitate [GLA, DMB, KKMMR, KLO, LK, MS, ORS, VHNM, GLAM, GKT].

În plus, introducerea fibrelor optice pe liniile de trunchi a dus la creșterea lățimii de bandă cu 4 ordine de mărime (600 Mbps/56Kbps). În rețelele WAN de mare viteză produsul întârziere-bandă al unui singur circuit e de ordinul a 30 Mb (600 Mbps x 50 ms timp de propagare peste Europa sau SUA). La o valoare atât de mare, o singură sursă poate genera o sarcină care să depășească capacitatea tamponelor de memorie din nodurile de comutare; acest lucru duce la pierderi de pachete și întârzieri cap la cap excesive, pentru toate calculatoarele (hosturile) atașate rețelei. Astfel și în rețelele de mare viteză controlul congestiei e deosebit de important.

1.2 Tipuri de rețele

În rețelele de transmisiuni de date, datele sunt transmise de la o sursă la o destinație, trecând prin nodurile de comutare, noduri de tip memorează și retransmite. Sursele de date pot fi utilizatori umani, transferând pe durata sesiunii la distanță, fie fișiere, fie caractere. Din punct de vedere al rețelei, însă, toate nivelurile superioare OSI, 5, 6 sau 7 constituie surse de date. La destinație, un proces pereche cu cel al sursei, recepționează datele și de obicei confirmă fiecare pachet primit. Nodurile de comutare, sau comutatoarele dirijează și planifică pachetele pe liniile de ieșire, introducând datele în tamponurile de memorie de ieșire, dacă rata sosirilor depășește rata serviciului. Un flux simplu de pachete dintre o sursă și o destinație e denumit conversație.

Primul tip de rețea considerat, denumit rețea fără rezervare, e un model abstract pentru rețele ca Internet-ul. În astfel de rețele, nodurile intermediare pot rezerva tamponuri de memorie (ceea ce nu afectează multiplexarea statistică a lățimii de bandă), dar nu pot face rezervări de lățime de bandă (ceea ce ar afecta multiplexarea statistică a lățimii de bandă). În acest tip de rețele se presupune că hosturile sunt atașate direct la comutatoare noduri/rutere, care la rândul lor sunt conectate la alte comutatoare sau la hosturi. Un comutator poate fi un modul software rezident în host, sau un modul hardware separat.

Celălalt tip de rețea este cel al rețelelor orientate pe rezervare. În acestea, comutatoarele rezervă [DBPS, MG, PAX, FJ3, GF, GLAM, KVCP] atât lățimea de bandă cât și tamponurile de memorie pentru circuitele virtuale (CV), ca de exemplu în Datakit. Presupunem că aceste rețele transportă două tipuri de trafic:

- trafic orientat pe performanță, respectiv trafic sincron sau de timp real (voce și imagini în mișcare) care de obicei are cerințe asupra întârzierii de timp-real, lățimea de bandă;

- trafic de date, denumit și [TMNL, VB] trafic de efort maxim (best-effort traffic) care nu are asemenea cerințe. Deoarece pentru traficul de efort maxim nu e necesară rezervarea lățimii de bandă, la rețelele orientate pe rezervare componenta de efort maxim poate fi modelată ca la rețelele fără rezervare. Astfel, schemele proiectate pentru rețelele fără rezervare, pot fi transferate, cu modificările necesare, rețelelor orientate pe rezervare sau orientate pe conexiuni/rezervare.

E de așteptat că majoritatea viitoarelor rețele să fie orientate pe rezervare. Există însă suficiente argumente și pentru studiul congestiei în rețelele fără rezervare. Primul motiv este că rețelele fără rezervare utilizează mai eficient banda disponibilă, decât cele orientate pe rezervare, datorită multiplexării statistice [GV, LEM]. Astfel, furnizorii de rețele care doresc să optimizeze costul vor continua să producă rețele fără rezervare. Apoi, tehnicile dezvoltate pentru controlul congestiei pot fi aplicate pentru controlul traficului de efort maxim în rețelele orientate pe rezervare. Și, în final, rețelele fără rezervare sunt în prezent cele mai răspândite și ele vor continua să existe în viitor, atât din cauza inerției cât și a dorinței de a menține o tehnologie cunoscută și deja verificată.

1.3 Congestia

Actualele definiții ale congestiei sunt legate de diferitele aspecte ale comportării rețelei în sarcină mare. Deoarece congestia apare la încărcări mari ale rețelei,

Considerăm o rețea fără rezervare, unde din anumite motive, pe termen scurt rata sosirii pachetelor la un ruter oarecare, depășește rata serviciului. Rata serviciului e determinată atât de timpul de procesare per pachet cât și de lățimea de bandă a liniei de ieșire. Astfel strangularea (bottleneck) poate fi cauzată fie de procesorul comutatorului fie de linia de ieșire. În acest caz, pachetele sunt memorate și vor suferi întârzieri. Întârzierile suplimentare pot să ducă la expirarea timpului (time-out) sursei, care va iniția retransmisii, ceea ce evident va conduce la creșterea încărcării pe porțiunea strangulată [FF, FJ2, GBCHP, COV, KALV]. Această reacție va conduce rapid la deteriorarea situației, deoarece retransmișiile vor domina, diminuându-se astfel traficul util și eficientă (throughput) [HLG, KO, KKK, KR, LID]. În plus, dacă comutatoarele au prevăzut controlul fluxului (ca în ARPANET, TYMNET, DATAPAC, etc.), ele nu vor permite accesul noilor pachete, astfel că acestea vor fi memorate/întârziate în comutatorul anterior. Acest lucru duce la răspândirea congestionării și în final la oprirea traficului, deci la blocare [LMJ, NI, MCS].

La apariția congestiei crește întârzierea pachetelor de date în cozile de așteptare, pot apărea pierderi de pachete și traficul e dominat de retransmisii, astfel că scade rata datelor efective. Definiția standard a congestionării este: o rețea este congestionată dacă, datorită suprasarcinii, apare condiția X, unde X este fie întârzierea excesivă în cozile de așteptare, fie pierderea de pachete, fie scăderea traficului util [BG, STA, TAN, KL, KKK, KES].

Această definiție nu e satisfăcătoare. Întârzierile și pierderile sunt indici de performanță ale căror modificări pot semnala și alte fenomene. Cu excepția cazului banal (al rețelelor deterministe, la care e bine definită curba sarcină-întârziere și deci și momentul apariției congestiei e bine definit), definiția nu specifică momentul exact în care o rețea poate fi considerată congestionată. O rețea cu o întârziere medie în cozi, de (1-10) ori timpul de serviciu în fiecare comutator, sigur nu e congestionată, dar nu e clar dacă o rețea cu întârzierea medie în cozi de 1000 ori timpul de serviciu e sau nu congestionată. În plus o rețea care poate părea congestionată unui utilizator, ar putea părea necongestionată pentru alt utilizator. Dacă în rețea, rata de pierderi a celulelor e de 1-500, și primul utilizator acceptă o rată de pierderi de 1-1000, iar al doilea doar de 1-100, doar al doilea va reclama că rețeaua e congestionată. Dar rețeaua poate fi considerată necongestionată doar dacă toți utilizatorii sunt de acord cu asta.

Congestia rețelei depinde evident de perspectiva utilizatorului: utilizatorii nepretențioși pot accepta scăderi ale performanței rețelei care pot părea inacceptabile utilizatorilor pretențioși. Deci problema este ce utilitate oferă

rețeaua utilizatorilor și cum descrește această utilitate cu creșterea încărcării rețelei.

În concluzie o rețea e considerată congestionată din punct de vedere a unui utilizator, dacă utilitatea sa descrește, datorită creșterii încărcării rețelei. Rețeaua poate fi congestionată din punctul de vedere al unui utilizator, și necongestionată din punctul de vedere al altui utilizator. Ea este strict necongestionată dacă nici un utilizator nu constată vreo congestie. Utilitatea pentru un utilizator poate descrește și din alte Cauze decât supraîncărcarea, dar utilizatorul nu poate face diferența. Este însă necesar să se determine cauza și luate măsuri pentru evitarea și/sau reducerea ei.

Conform acestei definiții, controlului congestiei îi revin sarcini suplimentare. O rețea care controlează congestia e responsabilă de utilitatea rețelei pentru fiecare utilizator și trebuie să fie capabilă să-și gestioneze resursele astfel încât să nu scadă utilitatea o dată cu creșterea congestiei. Rețeaua trebuie astfel să fie capabilă să facă diferența între conversații, și să aloce priorități diferite conversațiilor, în funcție de calitatea serviciului QOS (quality of service) pretinsă de utilizator.

1.4 Metode de control a congestiei

Controlul congestiei este definit ca un set de mecanisme care previne sau reduce scăderea performanțelor rețelei și anume a utilității pentru utilizator, datorată creșterii încărcării rețelei. Acest control ar trebui realizat pentru fiecare utilizator al rețelei. Dacă rețeaua nu poate preveni pierderea utilității pentru utilizator, atunci ar trebui să încerce măcar să reducă la minim posibil pierderea, și să facă acest lucru în mod corect, sau imparțial adică la fel pentru toți utilizatorii. În rețelele fără rezervare, unde congestionarea e inevitabilă, trebuie detectat care utilitate se pierde și luate măsuri atât pentru evitarea răspândirii congestiei, cât și pentru ca pierderea utilității să fie egal distribuită utilizatorilor afectați. Cum în rețelele moderne pentru transmisii de date de tip ATM, s-a adoptat tehnica multiplexării statistice, e necesar să fie prevăzut un control al traficului, atât pentru evitarea congestiei în fiecare nod cât și pentru obținerea QOS cerut de fiecare conexiune.

Multe dintre problemele care apar în rețelele de comunicații de date, care sunt sisteme complexe, pot fi privite din punct de vedere al teoriei controlului. Această abordare conduce la împărțirea tuturor soluțiilor, inclusiv a celor pentru controlul congestiei, în două categorii:

- controlul în buclă deschisă [Tane, AD], sau preventiv sau proactiv [Kes], care pot acționa fie asupra sursei fie asupra destinației, respectiv,
- controlul în buclă închisă sau reactiv cu reacție implicită sau explicită.

1.4.1 Controlul congestiei în buclă deschisă

Soluțiile în buclă deschisă încearcă să rezolve problema printr-o proiectare atentă, în esență să se asigure că problema nu apare. După ce sistemul e pornit și funcționează, nu se mai fac nici un fel de corecții. Instrumentele pentru realizarea controlului în buclă deschisă realizează planificarea deciziilor în diferite puncte din rețea: când să se accepte trafic nou, când să se distrugă pachete și care să fie acestea, etc. Deciziile se iau fără să se țină cont de starea curentă a rețelei.

În cazul controlului în buclă deschisă se rezervă resursele necesare asigurării solicitărilor utilizatorului, exprimate în momentul conectării. Aceste resurse vor fi mereu disponibile utilizatorului. Controlul preventiv al congestiei este deci un control orientat pe rezervare. Resursele rezervate sunt disponibile pe toată durata conversației acceptate, fiind astfel garantată utilitatea solicitată. Dar acest avantaj este plătit cu prețul limitării numărului de utilizatori care pot lucra cu rețeaua la un moment dat ca și în cazul multiplexării cu divizarea timpului TDM (Time Division Multiplexing) ceea ce poate duce la o utilizare slabă a rețelei [BG, STA, TANE].

Pentru prevenirea congestiei se folosesc o serie de politici, la diferite niveluri [TAN, BG, STA, LP, THP, TA]. Astfel la nivelul legăturii de date, congestia e influențată de politicile de retransmisie, de memorare a pachetelor în afara secvenței, de confirmare și de control a fluxului. Politica de retransmisie stabilește timpul de expirare a copiilor de siguranță. Dacă acest timp e prea mic, time-out-ul se produce rapid și dacă vor fi retransmise ultimele n pachete în așteptare, acest lucru va produce o mai mare încărcare cu trafic, decât în cazul alegerii unui timp mai mare și a retransmiterii selective. Legată de aceasta este și politica de memorare: dacă receptorul distruge pachetele în afara secvenței, acestea vor trebui retransmise ulterior, ducând la creșterea traficului. Politica de confirmare influențează și ea congestia. Dacă fiecare pachet e confirmat separat crește traficul, iar dacă confirmările sunt preluate de traficul de răspuns se pot produce expirări de timp și retransmisii frecvente [AST, BFMMVZ, BG, DS]. La nivelul rețea, congestia e influențată de utilizarea circuitelor virtuale respectiv a datagramelor, deoarece cele două abordări implică algoritmi diferiți. Plasarea în cozi de așteptare a pachetelor și politicile de servire specifică modul de realizare al cozilor de așteptare pentru liniile de intrare și cele de ieșire, precum și disciplinele de servire. Asociată cu acestea este politica de renunțare la anumite pachete atunci când nu mai există memorie disponibilă.

Tot în cadrul nivelului rețea, algoritmul de dirijare poate ajuta la atenuarea și evitarea congestiei. Dacă o linie este deja congestionată, algoritmul de dirijare poate determina dirijarea unei părți din trafic pe linii mai puțin încărcate, chiar dacă ruta este suboptimală, [TNH, TANE]. În plus, e important și timpul de viață alocat pachetelor. Dacă acesta e prea mic, pachetele vor fi distruse înainte de a ajunge la destinație, ceea ce va duce la retransmisii. Dacă timpul e prea mare, pachetele pierdute vor încurca prea mult activitatea.

La nivelul transport se pun aceleași probleme ca la nivelul legătură de date, dar se impune observația că e mai dificil de determinat intervalul de expirare a timpului, deoarece timpul de tranzit prin subrețea e mai greu de estimat decât cel între două rutere. Un timp prea mic va conduce cum s-a văzut, la retransmisii suplimentare, deci la creșterea congestiei, iar un timp prea mare va duce la scăderea congestiei dar și la creșterea timpului de răspuns în cazul pachetelor pierdute.

În rețelele ATM (Asynchronous Transfer Mode) o metodă de reducere a congestiei, folosită în buclă deschisă este formarea traficului (traffic shaping). Necesitatea ei a apărut datorită traficului în rafală (bursty traffic), [KA, KL], și prevede impunerea unei rate previzibile cu care să fie transmise pachetele. Formarea traficului se ocupă de uniformizarea ratei de transmisie, spre deosebire de protocoalele cu fereastră glisantă care limitează volumul de date în tranzit la un moment dat. Formarea traficului este eficientă atunci când emițătorul, receptorul și subrețeaua sunt de acord, și este deosebit de importantă pentru datele de timp real. Stabilirea formei traficului și apoi urmărirea respectării ei (traffic policing) e mai ușor de făcut în subrețelele cu circuite virtuale decât în cele bazate pe datagrame.

1.4.2. Controlul congestiei în buclă închisă

Datorită constrângerilor de timp real, în rețelele de mare viteză, e preferat controlul preventiv [DM, GK, J1]. Soluțiile în buclă închisă, prin contrast cu cele în buclă deschisă, se bazează pe conceptul de reacție inversă (feedback-loop).

Controlul congestiei se realizează în trei etape:

- supravegherea rețelei pentru detectarea locului și momentului de apariție a congestiei,
- trimiterea informațiilor despre starea congestiei în locurile unde se pot lua decizii și executa acțiuni,
- executarea de acțiuni pentru reducerea congestiei.

La supravegherea rețelei se pot urmări diferiți parametri: procentul de pachete distruse din lipsă temporară de memorie, lungimea medie a cozilor de așteptare, numărul de pachete retransmise din cauza expirării timpului de confirmare, întârzierea medie pe pachet, deviația standard a întârzierii medii, etc. Valorile mari a acestora indică creșterea congestiei.

Informațiile despre starea congestiei pot fi transmise surselor/calculatoarelor gazdă de către ruterele care o detectează, sau pot fi cerute de surse. În ambele cazuri apare o încărcare suplimentară a rețelei, deja congestionată. De aceea s-a propus și marcarea unui bit/câmp din fiecare pachet de date, existente oricum în rețea, atunci când congestia depășește un prag.

Pentru reducerea congestiei, prima măsură care se încearcă este creșterea capacității de transport a rețelei: lățimea de bandă poate fi crescută temporar sau permanent prin folosirea unor linii suplimentare, desplicarea traficului sau

creșterea puterii de transmisie(în cazul rețelelor pe canal radio). În cazul unor congestii grave se pot folosi și ruterele de rezervă, folosite doar pentru copii de siguranță. Când nu mai e posibilă creșterea capacității, singura măsură care mai poate fi luată este reducerea încărcării, prin diferite măsuri: refuzarea sau degradarea serviciilor pentru unii sau toți utilizatorii și planificarea cererilor utilizatorilor.

Controlul reactiv se poate aplica în cazul rețelelor fără rezervare. Utilizatorilor li se permite să transmită date, fără rezervarea resurselor, dar există posibilitatea ca în cazul încărcării mari a rețelei, ei să primească un grad scăzut de utilitate din partea rețelei. Rețeaua trebuie să ofere utilizatorilor căi de detectare a schimbărilor de stare a rețelei și să asigure un mecanism de adaptare a fluxului utilizatorilor la aceste schimbări. Cum de obicei rețeaua nu garantează utilizatorilor săi furnizarea unui anumit nivel de utilitate, resursele sale pot fi multiplexate statistic STDM (Statistical TDM), [BMM] cu avantajul posibilității creșterii numărului de utilizatori activi simultan. Rămâne însă, evident, posibilitatea ca traficul în rafale să supraîncarce rețeaua, ceea ce va duce la apariția congestiei.

1.4.3 Scheme hibride

În cazul schemelor hibride se combină cele două abordări. Astfel, rețeaua poate să ofere statistic garanții: de exemplu unui utilizator i se poate garanta o întârziere cap la cap mai mică de 10 secunde, cu o probabilitate de 0.9 [KES, JDSZ] Garantarea statistică permite administratorului de rețea să utilizeze la maxim resursele, dar fără să ofere performanța maximă.

Altă schemă hibridă este cea a rețelelor care acceptă utilizatori cu serviciu garantat GS, (Guaranteed Service), și utilizatori de efort maxim BE-(Best Effort). Pentru primii se garantează calitatea serviciului și are loc rezervarea de resurse. Celorlalți nu li se garantează calitatea și pot folosi doar acele resurse neutilizate la primii utilizatori.

În sfârșit, serverul poate aloca, fiecărui utilizator, un minim de resurse, garantând implicit o utilitate minimă. Pe măsura încărcării rețelei utilizatorii concurează pentru accesarea la resursele nerezervate aflate într-un stoc comun [DJM, DK, LAN, BT, DOK, FJ3] Poate fi folosită multiplexarea statistică a acestora, fără pierderea completă a utilității.

1.5. Clepsidra sau perioadele de control a congestiei

Controlul congestiei trebuie realizat în perioadele de suprasarcină a rețelei. De exemplu, în rețelele telefonice, ca și în cele de date de altfel, suprasarcina poate apare în anumite ore de vârf ale zilei, sau în anumite săptămâni ale anului. În rețelele de date poate apare, datorită traficului în rafale, suprasarcina pe durata

câtorva milisecunde, deși pe durata unei ore, traficul e cu mult mai mic decât cel nominal. Trebuie deci efectuat în primul caz un control la o scară de timp a orelor, ceea ce se realizează practic, prin controlul admisiei. În al doilea caz, dacă conversația e sensibilă la întârziere, controlul, realizat acum la o altă scară de timp, a milisecundelor, se face printr-o planificare, stabilind cine lucrează în intervalul respectiv, pentru a satisface cerința cu privire la întârziere.

Scara de timp la care trebuie controlată congestia este perioada de timp în care utilizatorul sesizează schimbări ale stării rețelei.

Controlul trebuie realizat simultan, la diferite scale de timp, iar procesele trebuie să coopereze între ele: planificarea fără controlul admisiei nu poate asigura garantarea întârzierii.

- Luna: în decursul unei luni sau a mai multora, poate apărea suprasarcina în rețea, ca de exemplu datorită creșterii numărului de abonați, etc. Efectul este supraîncărcarea liniilor de trunchi. Reacția tipică la suprasarcina de durată este suplimentarea lățimii de bandă disponibilă. Astfel vechile linii de 9600 bps vor fi înlocuite progresiv de linii de 64 kbps, 10 Mbps, 100 Mbps (FDDI) și a.m.d. La această scară, controlul congestiei constă în planificarea capacității [DJM, FF, GF, JDSZ, LSY]. Se construiește o matrice de trafic, reprezentând volumul de trafic între toate punctele. Apoi se optimizează utilitatea oferită de rețea, utilizând tehnici de programare liniară, pentru a obține o alocare optimă a capacității de-a lungul fiecărei căi. Este însă dificil de determinat matricea de trafic, iar dimensiunile sale pot fi foarte mari. În plus, nu există nici o garanție că încărcarea cu trafic într-o perioadă ulterioară va fi la fel. Totuși această metodă este mai bună decât o abordare la întâmplare, fiind și în prezent folosită pentru rețele telefonice;

- Ziua: măsurările de trafic indică un comportament ciclic al rețelei, cu perioada de o zi [FF, SCH, SYS]. Rețeaua e foarte încărcată între orele 8 –17 respectiv e slab încărcată, sau deloc, în timpul nopții. Schemele de control a congestiei trebuie să încerce să uniformizeze încărcarea rețelei pe parcursul întregii zile. Acest lucru se realizează prin metodele de taxare diferite: suprataxare a lucrului în orele de vârf și tarife mai scăzute noaptea. Această soluție duce la nivelarea traficului, dar rămân o serie de probleme de tratat, ca de exemplu: comportarea irațională a unor utilizatori, traficul în rafale a altora (cu valori de vârf și medii extrem de diferite), timpul relativ lung consumat pentru licitarea unei resurse și de aici problema atingerii echilibrului sistemului la conectarea unor noi utilizatori, etc. Problema taxării fiind însă de mare interes pentru autoritatea administrativă, se fac în continuare studii în această direcție [GF, GaP].

- Sesiune: în rețelele orientate pe conexiune sesiunea e intervalul de timp între stabilirea și deconectarea apelului. La scara sesiunii controlul congestiei se face prin controlul admisiei. Dacă admiterea unei conversații ar degrada calitatea serviciului, atunci aceasta nu e admisă, ceea ce determină implicit utilizatorii să-și declare corect solicitările, fără supraestimări. Bazele teoretice pentru controlul admisiei sunt date de teoria jocurilor și anume de proiectarea mecanismelor

[KKK, KES, SV1]. Se presupun însă cunoscute informațiile despre structura sistemului, ca de exemplu funcția utilității fiecărui utilizator. Dinamica sistemului este însă ignorată. Pentru controlul congestiei poate fi folosit în acest caz și alegerea rutei în momentul stabilirii sesiunii. Dacă algoritmul de dirijare culege informații despre starea legăturilor de pe rută, el poate dirija noile circuite de-a lungul căilor mai puțin încărcate [DB, NM, BG, Tane]. Integrarea dirijării adaptive cu controlul fluxului este o problemă complexă, iar dinamica interacțiunii dintre ele nu este prea bine cunoscută. [MS] Au fost propuse modele simplificate pentru această problemă. [BBFG, BFM, MVZ, BP, CO, DMB, EST, KLO, FJ1].

- Timpul de transfer dus-întors (Round-Trip-Time): RTT este intervalul de timp scurs între momentul transmisiei unui pachet și momentul recepționării confirmării și reprezintă constanta de timp utilizată în controlul cu reacție al fluxului. RTT este timpul minim necesar sursei pentru a determina efectul ratei de transmisie în rețea. Schemele de control a congestiei care verifică starea rețelei, apelează la această scară de timp. Au fost propuse o serie de metode de control a fluxului, cu diferite ferestre de transmisie.

Bazele teoretice pentru această abordare sunt date de teoria cozilor de așteptare și teoria controlului. Teoria cozilor de așteptare a fost larg studiată [DO, AK, KL, SCH] în ipotezele: sosiri Poisson de la toate sursele, distribuția exponențială a timpului de serviciu la toate serverele și independența tipurilor de trafic. Aceste ipoteze sunt prea puțin îndeplinite în rețelele reale [PF, LiH, LTWW, LT, WTSW], astfel că rezultatele obținute prin abordarea stohastică a cozilor de așteptare nu sunt pe deplin satisfăcătoare. Abordarea are însă unele avantaje, astfel că este utilizată.

Teoria controlului a fost de asemenea pe larg studiată în literatură [PAB, RW, SSD, J1, J2], dar fie au fost studii informative, fără o demonstrație formală, fie s-au făcut presupuneri restrictive asupra comportării traficului, ratelor de serviciu, etc. [KES].

Presupunând că fiecare pachet e confirmat, atunci în fiecare RTT pot fi recepționate mai multe confirmări. Dacă informația despre starea rețelei e extrasă din fiecare confirmare, atunci schema de control a congestiei poate reacționa la schimbări mai rapid decât o dată la un interval RTT.

Mai puțin de RTT dacă se ia în considerare un interval de timp mai mic decât RTT, la această scară controlul congestiei este identic cu planificarea datelor de la cozile de ieșire ale comutatoarelor. Scopul politicii de planificare este de a decide care unitate de date va fi transmisă la un moment dat pe legătură. Această alegere determină, pentru fiecare conversație, lățimea de bandă, întârzierea și jitterul [MSB] astfel că disciplina de planificare e o componentă critică în controlul congestiei. Exemple de discipline de planificare care nu-și modifică alocările în funcție de starea rețelei sunt: schema de ceas virtual (Virtual Clock), schemele Delay-EDD, Stop and Go, etc. (vezi capitolul 4).

Lățimea de bandă a liniei este o resursă, deci serverul care implementează disciplina de planificare este un manager de resurse care alocă lățimea de bandă,

întârzieri și întârzieri de jitter, fiecărei conversații. Astfel, pentru conversație, e foarte important să se transmită datele așa încât să obțină maxim de utilitate de la server. Dar, având în vedere că toate conversațiile au acest scop și că un câștig pentru una poate reprezenta o pierdere pentru alta, ele trebuie tratate în forma jocurilor necooperante. Astfel fiecare conversație trebuie să-și aleagă o strategie, rata de transmisie în cazul nostru, încât să maximizeze utilitatea. Dar, pentru teoria jocurilor, [DM, Ste] formularea teoretică a problemei pretinde atât ca utilitatea să fie definită pentru fiecare utilizator, cât și alte informații și presupuneri, la fel ca în abordarea economică, ceea ce o face prea dificil de folosit.

1.6 Managementul congestiei în rețele de mare viteză

Interesul pentru controlul congestiei a crescut odată cu apariția liniilor și rețelelor de mare viteză, cu rate de transfer de ordinul gigabiților pe secunda (Gps). Acestea coexistă cu vechile rețele de viteză mică cu care trebuie să coopereze încă destul timp. Diferența dintre vitezele de transfer și de lucru ale acestora creează condiții de apariție a congestiei. Congestia apare atunci când rata, sau suma ratelor, de intrare într-un nod/ruter este mai mare decât capacitatea disponibilă a liniei. Cauza sa este eterogeneitatea rețelelor care compun Internet-ul.

Managementul congestiei cuprinde atât mecanismele de evitare a apariției congestiei, cât și controlul congestiei, adică mecanismele de refacere după congestie. Despre cauzele apariției congestiei și posibilitățile de evitare a apariției sale a apărut o literatură de specialitate extrem de bogată [JK, J1, J2, GOV, BC]. Multă vreme s-a crezut că acestea sunt fie liniile lente, fie memoria insuficientă, fie procesoarele lente, separat sau în combinație. În prezent însă au devenit accesibile liniile și procesoarele de mare viteză, iar prețul memoriilor a scăzut suficient astfel încât ele nu mai sunt o componentă prohibitivă. Problema congestiei nu s-a rezolvat automat, așa cum se credea, ci a devenit și mai acută.

Despre actualele rețele s-au făcut o serie de ipoteze, care au determinat o serie de acțiuni, prezentate în cele ce urmează:

i) S-a considerat că în rețelele de mare viteză traficul va fi în principal trafic video, sau asemănător cu acesta, adică staționar și predictibil. În consecință serviciul de datagramă ar trebui înlocuit cu cel de rezervare a resurselor.

ii) Volumul mare de date existente pe canalele de mare viteză implică renunțarea la controlul cu reacție și apelarea la controlul în buclă deschisă.

iii) Controlul prin ferestre trebuie înlocuit cu controlul ratei.

iv) Deoarece schemele de control a sursei implică informarea sursei despre apariția congestiei și sunt prea lente, trebuie deci înlocuite prin scheme de control în rutere.

v) Schema ideală de control a congestiei în rețele de mare viteză este cea de contrapresiune (backpressure), deoarece ea produce o atenuare imediată a acesteia.

vi) Este suficientă o singură schemă de management a congestiei.

Aceste ipoteze și concluzii sunt însă adevărate doar în anumite condiții și false în alte condiții.

1.6.1 Legăturile și traficul în rețelele de mare viteză

Proiectarea și alegerea unui algoritm depinde în principal de tipul de trafic, care la rândul său depinde de aplicația în cauză.

Prima problema asupra căreia trebuie luată o decizie este modul de folosire a liniilor de mare viteză:

i) ca o coloană vertebrală (rețele backbone) pentru inter-conectarea rețelelor mici, generatoare de trafic sau,

ii) în interiorul subrețelor mici. Apoi, interconectarea acestor rețele mici ar urma să fie realizată cu linii lente - traficul spre exterior fiind mult mai redus, față de cel din interiorul subrețelei.

Actualmente în rețelele locale este folosită o tehnologie de mare viteză, LAN-urile fiind interconectate prin rețele lente de întindere mare, WAN-uri. Aceasta modalitate de interconectare va conduce evident la congestii severe.

Trasând o paralelă între traficul rutier și cel din rețelele de comunicații, apare ca fondată și cealaltă soluție, în care traficul de viteză mică de la subrețele (orașele generatoare de trafic) să fie dirijat pe liniile de mare viteză (șoselele interurbane) spre destinație, adică o alta subrețea (oraș). Apare ca justificată soluția interconectării LAN-urilor prin rețele backbone de mare viteză.

Liniile de mare viteză sunt însă o resursă mult mai costisitoare decât cele de mică viteză, astfel încât este necesar ca ele să fie partajate între un număr mare de noduri, din subrețelele de viteză mică. Creșterea gradului de partajare a liniilor de viteză mare are o serie de implicații. Prima implicație este faptul că debitul surselor individuale nu poate fi de ordinul gigabiților pe secundă, deși punțile, ruterele, porțile sau celelalte resurse partajate trebuie să fie capabile să manevreze traficul de asemenea viteze. Apoi, ca un rezultat al partajării rețelei de către o mare varietate de aplicații, este faptul că rețeaua va trebui să satisfacă o mulțime de criterii de performanță. Unele aplicații, de voce sau video, sunt sensibile la întârziere dar insensibile la pierderi, altele, ca transferul de fișiere, sunt insensibile la întârzieri dar sensibile la pierderi, respectiv aplicațiile ca grafica interactivă sau calculul interactiv sunt sensibile atât la întârzieri cât și la pierderi. Fiecare dintre aceste aplicații trebuie tratată diferit, iar încercările de tratare imparțială a acestora în suprasarcină vor trebui să țină cont de cerințele specifice ale fiecărei surse. Traficul pe liniile de mare viteză va fi un amestec de date, voce, video, sau trafic multimedia.

Proiectarea și implementarea tehnicilor de management a congestiei trebuie să țină cont de caracteristicile tuturor aplicațiilor.

1.6.2 Controlul fluxului prin ferestre și prin rată

Controlul fluxului prin ferestre e folosit în majoritatea arhitecturilor de rețele de calculatoare, TCP/IP, DNA, OSI sau SNA [Spi, Tane, NN, SCH, SPT]. Alocarea resurselor bazată pe rată este folosită obișnuit în rețelele de telecomunicații, unde fiecare conexiune are asignată o bandă anumită. În ultimul timp au fost propuse și pentru rețele de calculatoare o serie de protocoale pentru controlul fluxului bazate pe rată: la acestea, nodul destinație specifică rata maximă la care sursa poate transmite pachetele (numărul de pachete într-un timp dat).

Înlocuirea controlului prin ferestre, cu controlul bazat pe rată, s-ar justifica prin faptul că în curând, strangularea traficului nu va mai fi cauzată de lipsa de memorie. Strangularea va fi însă produsă de procesoare, linii, sau dispozitivele de memorare, care sunt limitate ca rată, în sensul că ele nu pot accepta sosirea pachetelor sau a biților la o rată depășind capacitatea lor. Memoriile realizau strangularea deoarece nu puteau accepta un număr mai mare de pachete/biți decât capacitatea lor, dar nu conta viteza de sosire a acestora. Controlul prin ferestre trebuia să evite strangularea, adică depășirea capacității memoriei. Alta problema a controlului prin ferestre o constituie transmiterea înlănțuită a tuturor pachetelor din fereastra (back to back), ceea ce conduce la rafale de trafic. Un alt argument în favoarea controlului prin rată este că o parte din cel mai mare trafic de mare viteză este orientat pe curente/fluxuri (voce sau video) care cere o garantare a ratei, mai degrabă decât o contorizare a pachetelor, spre deosebire de traficul de date care pretinde respectiva contorizare.

Despre controlul prin rată există însă și unele păreri greșite. În primul rând se neglijează faptul că rata λ rezultă din raportul a două mărimi, (n/T) adică numărul de pachete transmise într-un interval de timp. Combinarea acestor mărimi nu se poate face arbitrar. Astfel un procesor, capabil să prelucreze un pachet la fiecare milisecundă, nu va putea face acest lucru dacă pachetele sosesc în rafală, 5 pachete la fiecare 5 milisecunde. De aceea, toate schemele bazate pe rată, inclusiv "găleata găurită" și variantele sale [Tane, LLD, AST, BZ, DK], pretind specificarea dimensiunii rafalei și a intervalului dintre rafale. Modelele analitice ignoră însă cei doi parametri și lucrează doar cu unul singur, λ .

În plus, nu e clar pentru toți că deoarece controlul bazat pe rată este un control nod la nod (hop by hop), toate sistemele din cale, punți sau rutere, trebuie să fie conștiente care sunt parametrii referitori la rată și trebuie să-i aplice. Acest control nu poate fi aplicat doar printr-un mecanism cap la cap. Fără forțarea nod la nod, câteva rafale ar putea fi combinate într-o singură rafală de către sistemele intermediare. Ca exemplu, o punte care nu e conștientă de parametrii referitori la rată, poate schimba un flux în care apare câte un pachet la fiecare milisecundă, într-un flux cu rafale de 5 pachete la 5 milisecunde. Destinația nu va putea să proceseze sau să accepte fluxul alterat astfel.

Deci, controlul bazat pe rata necesita o abordare orientata pe conexiune, deoarece parametrii n și T trebuie cunoscuți și acceptați de toate sistemele din cale. Implementarea controlului bazat pe rata în rețele fără conexiune e dificilă. Pe de alta parte, controlul cu ferestre poate fi aplicat cap la cap, nod la nod, sau în ambele versiuni [LT, MKT, LX]. În versiunea cap la cap, sistemele intermediare nu trebuie informate despre dimensiunea ferestrei stabilita de destinație [KR, JDSZ, KalV].

După cum rezultă din cele prezentate, controlul admisiei la intrarea în rețea bazat pe rată nu este suficient singur. Controlul ratei trebuie forțat în fiecare nod al rețelei. Majoritatea discuțiilor despre controlul bazat pe rată, ca de exemplu găleata găurită și variantele sale, s-au limitat la controlul admisiei. Acest lucru poate fi valabil doar în rețele cu un număr mic de noduri, dar în rețelele cu număr mare de noduri controlului admisiei trebuie suplimentat cu mecanisme implementate în noduri. Recent, Golestani [SV, J1] a propus o schemă cu oprire și pornire, de tip “stop-and-go”, pentru urmărirea serviciului, care permite forțarea ratei și în nodurile intermediare.

În al treilea rând, cu un control dinamic bazat pe rata, există posibilitatea unei creșteri importante a lungimii cozilor de pachete atunci când rata totală de intrare se apropie de capacitatea maximă [BC, ABB, ARZ, BM GBCHP]. Controlul bazat pe rată conduce la întârzieri totale mai mari, incluzând atât întârzierea în coada sursei cât și în cele din rețea. Rata de pierderi este mai mare decât la controlul prin ferestre, la încărcări depășind 60% din capacitate. Creșterea lungimii cozilor depinde de controlul întârzierii și de reacție, lungimea putând ajunge la câteva mii de pachete. Acest lucru se poate întâmpla când reacția e pierdută sau întârziată. Chiar dacă exista memorie suficientă, memorarea unui număr excesiv de pachete duce la întârzieri inacceptabil de mari. La controlul prin ferestre intrările în rețea se opresc automat când dimensiunea ferestrei e atinsă din cauza creșterii întârzierii reacției. Cu alte cuvinte schemele cu ferestre lucrează inerent în buclă închisă, iar cele bazate pe rata lucrează în buclă deschisă.

Menținerea cozilor în anumite limite rezonabile implică transformarea controlului bazat pe rată într-un control în buclă închisă. O cale ar fi suplimentarea controlului prin rată cu o fereastră de dimensiuni mari, care devine operativă doar când lungimea cozilor crește, din cauza unei combinații inacceptabile a diferitelor tipuri de trafic. În acest caz, sursele, constatând că s-a ajuns la limita superioară a ferestrei vor opri intrarea traficului în rețea, până când o noua confirmare de la destinație va redeschide fereastra. Dimensiunea uzuală a ferestrei este acum de 1 până la 32 de pachete, dar dacă mecanismul ferestrei se utilizează împreună cu controlul prin rată, dimensiunea ferestrei va trebui crescută cu una sau doua ordine de mărime. [KES, BC]. În tabelul 1.1 sunt prezentate sintetic cele doua mecanisme de control, prin rata și prin fereastra.

Tabelul 1.1 Controlul prin fereastra si prin rata

<i>Tip de control</i>	<i>Cu fereastră</i>	<i>Bazat pe rată</i>
Control	Fereastra(W)	Număr de pachete (n) și Interval de timp (T)
Rata efectiva	Fereastră / Întârziere dus-întors	n/T
Necesar dacă strangularea e produsă de:	Memorie	Procesoare, legaturi sau alte dispozitive
Lungimea maxima a cozii	Limita sumei ferestrelor	Nelimitată
Rafale	Rezulta trafic în rafale	Nu sunt rafale la sursă
Întinderea controlului	Cap la cap, nod la nod, sau ambele	Nod la nod
Nivelul rețea	Fără conexiune sau orientat pe conexiune	Orientat pe conexiune

1.6.3 Controlul cu reacție și controlul în buclă deschisă

În rețelele actuale de mare viteză (Gps) și la dimensiunea de pachete folosită, întârzierea de propagare (timpul necesar primului bit al pachetului să traverseze rețeaua e considerabil mai mare decât timpul de transmisie a pachetului (timpul dintre primul și ultimul bit al pachetului). Pe măsura creșterii vitezei liniilor, numărul de biți aflați pe canal (pipe), crește, și deci crește și numărul de pachete: astfel, pe o legătură pe fibră de 5.000 km, la un debit de 1 Gps, pot exista 25 Mb de date. La o dimensiune medie de 512 octeți pe pachet, aproximativ 6.000 de pachete se vor afla pe canal (dimensiunea actuală uzuală a pachetelor este însă de 128-256 octeți).

Multe din vechile scheme de control a congestiei sunt scheme în buclă închisă, în sensul că resursele congestionate transmit semnale de reacție surselor de trafic, care își ajustează în acest caz volumul traficului. S-a argumentat ca aceste scheme sunt însă prea lente, deoarece până ce sursa primește reacția și reacționează, se pot pierde mii de pachete. Acest fapt a dus la apariția câtorva abordări în buclă deschisă, care să nu necesite reacție, cum sunt: controlul în rutere, rezervările apriori, sau contrapresiunea, ale căror proprietăți vor fi prezentate în cele ce urmează.

1.6.4 Controlul la sursă și controlul în rutere

Rețeaua de comunicații e formata din rutere, înțelegând prin aceasta punți, multiplexoare, rutere sau porți, si sursele de date, adică toate sistemele terminale

atașate rețelei, interconectate prin diverse linii sau medii. Concepția trecută despre schemele de control a congestiei prevedea că ruterele să transmită semnale de reacție surselor, care să poată astfel iniția măsuri de remediere a congestiei. Acesta este controlul la sursă, folosit prin pornirea lentă de la TCP/IP, la debit, etc. [DS]. Există o serie de argumente împotriva acestor scheme. Primul este întârzierea mare dintre momentul sesizării congestiei și momentul în care se iau măsuri de remediere. Dacă durata sesiunii e redusă, reacția poate ajunge după încheierea acesteia. În al doilea rând, sursele pot să coopereze sau nu, la primirea reacției. Ca exemplu, e posibil ca o sursă să-și reducă intervalul dintre retransmisii, chiar în condițiile unor pierderi mari prin rețea, obținând o rată mare de succes. Iar în al treilea rând, anumite reacții implică generarea unor pachete suplimentare în rețea.

Controlul la rutere nu suferă de aceste probleme, deoarece ruterele își distribuie resursele independent de surse. Shenker a demonstrat [DKS] ca acest tip de control este necesar pentru imparțialitate deoarece controlul la sursă deși este eficient nu este întotdeauna imparțial. Politica de distrugere aleatoare a pachetelor [BC], servirea imparțială (fair queuing) [KKK], și contrapresiunea fac parte din controlul la rutere.

Controlul la sursă a fost aplicat cu succes atât în rețelele private, unde atât sursele cât și rețeaua aparțin aceleiași organizații, dar în rețelele publice de date, unde doar ruterele aparțin companiilor de telecomunicații și sursele nu pot fi controlate, el trebuie suplimentat cu controlul în rutere. Controlul la sursă folosește în general protocolul de nivel rețea pentru transmiterea reacției și protocolul de nivel transport pentru răspândirea reacției pe toate caile. De aceea, controlul în rutere este bun pentru realizarea imparțialității la supraîncărcare de scurtă durată, iar controlul la sursă e necesar pentru supraîncărcarea de durată.

Câteva din propunerile recente [BC, STEV, FF] au adus argumente în favoarea distrugerii pachetelor, ca o soluție de dorit pentru controlul congestiei în suprasarcină, la viteză mare. Pentru unele aplicații, voce/video, pierderea unor pachete este acceptabilă. Pentru majoritatea aplicațiilor de date însă, fiecare pachet este important. Aici, fiecare pierdere de pachete trebuie recuperată printr-o retransmisie, atât a pachetului respectiv cât și a altora, operație costisitoare la orice viteză s-ar lucra. În rețelele de mare viteză numărul de pachete de retransmis este mai mare, datorită dimensiunilor crescute ale canalului. De aceea înainte de a se ajunge la distrugerea pachetelor, e necesar să fie aplicate metode de evitare a congestiei.

Indisciplina surselor din rețelele publice poate fi depășită, plasând controlul în punctul de acces în rețea (DCE-uri). Ruterele din interiorul rețelei pot să transmită reacția ruterele din punctele de acces, care vor putea să accepte sau să respingă traficul de intrare de la diferitele surse, folosind o schema de alocare imparțială.

În concluzie, controlul în rutere e necesar pentru imparțialitate și lucrul în suprasarcină de scurtă durată, iar controlul la sursă e necesar pentru suprasarcină de lungă durată. Dacă scopul este viteza de procesare, ruterele trebuie făcute cât

mai simple, iar dacă scopul este rezolvarea indiscipliniei surselor, atunci trebuie folosit controlul în rutere, în detrimentul vitezei rețelei (vezi tabelul 3.2).

Tabelul 3.2 Comparație între controlul la sursă și în rutere

<i>Tipul controlului</i>	<i>În rutere</i>	<i>La sursă</i>
Exemple	Distrugere aleatoare Tratare imparțială a cozilor Presiune înapoi	Ferestre dinamice Pornire lenta DEC bit
Întârziere	Nu are	Întârzierea reacției
Antetele necesare reacției	Nu are	Biți sau mesaje de reacție
Antete în	Rutere	La surse
Necesar dacă	Nu exista control asupra surselor	Supraîncărcări de durata
Imparțialitate	Realizabila	Nu e garantata

1.6.5 Contrapresiunea

Contrapresiunea a fost considerata în unele rapoarte ca principalul, sau chiar unicul, mecanism de tratare a congestiei [J1, Tane, BG, STA]. Aceasta este o forma de control on/off a fluxului de tip nod la nod. Ruterele congestionate transmit un semnal de oprire a transmisiei (X-Off) ruterelor sau surselor învecinate și nu mai accepta pachete până ce lungimea cozilor lor nu scade. Când sarcina a scăzut ele transmit un semnal "X-On" și fluxul de pachete reîncepe.

Contrapresiunea e un mecanism de nivel legătură de date, ceea ce îl face să aibă o buclă de reacție mult mai redusă decât mecanismul de nivel transport. De aceea acționează foarte bine dacă durata suprasarcinii este mică. Pe acest interval se folosesc resursele ruterelor vecine pentru a suporta suprasarcina. Contrapresiunea are același efect ca și creșterea numărului de tamponuri de memorie. Dar dacă supraîncărcarea se prelungește contrapresiunea poate să oprească toată rețeaua, din cauza opririi traficului de intrare în rețea.

Pentru suprasarcini de lungă durată, contrapresiunea este mai eficientă în rețelele mici decât în rețelele mari, deoarece în cele mici, sursele fiind mai aproape de rutere primesc mai rapid semnalele de încetinire. Această constatare trebuie avută în vedere la simulări, unde rezultatele obținute pentru rețele mici nu pot fi extrapolate la rețele mari.

Contrapresiunea nu este imparțială, în sensul că traficul care nu traversează resursele congestionate este defavorabil influențat, datorită răspândirii congestiei. Partajarea liniilor de către un număr mare de surse duce la

nivelarea traficului [AST, CC, DK, KA], ceea ce face ca suprasarcina de scurtă durată să fie puțin probabilă în rețele de mare viteză.

În concluzie, contrapresiunea poate fi utilizată doar pentru suprasarcini de durată mică după care ea trebuie să înceteze. Pentru suprasarcini de durată mare, contrapresiunea trebuie însoțită de un control la nivelul rețea sau transport.

1.6.6 Modul de lucru cu rezervare și modul de lucru fără rezervare

Rezervarea înseamnă că sursa trebuie să rezerve resursele în etapa de stabilire a conexiunii. Rezervarea este necesară în cazul traficului staționar, cum este traficul de voce sau video [CT, DK, ZDESZ, HL]. Rezervarea este necesară și în cazul traficului de date. Cum acesta are o durată foarte mică, dacă s-ar folosi reacția, cel mai probabil este că, atunci când reacția ajunge la sursă, aceasta și-a încetat deja transmisia. De fapt acesta nu este altceva decât efectul raportului dintre durata transmisiei pachetului/mesajului față de durata de propagare: la rate de Gbps, transmiterea unui facsimil poate dura câteva milisecunde, în timp ce reacției îi trebuie câteva zeci de milisecunde să parcurgă rețeaua. Garantarea calității serviciilor, ca lățimea de bandă sau întârzierea, e dificil de realizat fără rezervare. Rezervarea facilitează administrarea resurselor, deoarece se cunosc în avans nu numai resursele ci și cererile. În absența rezervării, administrarea este dinamică și dificilă.

Principalul dezavantaj al rezervării este risipa resurselor care, odată rezervate de către un utilizator nu mai pot fi folosite de altul, nici dacă primul nu le folosește.

Rezervarea reprezintă o soluție foarte bună pentru traficul staționar, dar dezavantajoasă pentru traficul în rafale [GF, GP, HL]. Sistemele distribuite au nevoie de o comunicare extrem de rapidă între procesoare, sau între procesoare și dispozitivele de memorie, ceea ce se traduce printr-o rată de transfer de ordinul Gbps pe distanțe de doar câțiva km. Deși distanțele vor crește, traficul va rămâne tot în rafale, deci rezervarea nu e recomandabilă.

Alt dezavantaj al rezervării îl constituie antetele implicate, care nu se justifică pentru sesiunile de durată mică.

În concluzie, rezervarea nu este recomandabilă pentru medii dinamice, cu trafic în rafale, ci doar pentru traficul staționar, de lungă durată. Alegerea între soluția cu rezervare sau fără nu depinde de viteza rețelei (vezi tabelul 3.3). Pentru rețelele viitoare e de așteptat ca traficul să fie de ambele tipuri, ceea ce conduce la consecința logică a necesității adoptării și prezenței ambelor tipuri de administrare a resurselor, atât cu cât și fără rezervare. De altfel au apărut deja o serie de soluții hibride, ca de exemplu rezervarea resurselor, de către primul pachet dintr-o secvență, anularea rezervării având loc la sfârșitul secvenței [GAP, JSD, KL, KMR, KWC]. Pentru a evita pierderea primului pachet din

secvența, din cauza resurselor ocupate, rezervarea se poate face și printr-un pachet special.

Tabelul 3.3 Comparație între modul de lucru cu rezervare și fără rezervare

<i>Mod de lucru</i>	<i>Cu rezervare</i>	<i>Fără rezervare</i>
Garanții despre	Lățimea de bandă și /sau întârzierea	Lățimea de banda sau întârzierea sunt variabile
Administrarea resurselor	Facilă	Dificilă
Resursele neutilizate	Sunt pierdute	Pot fi folosite de celelalte surse
Aplicabil la	Trafic staționar (voce / video)	Trafic în rafale (date)
Stabilirea conexiunii	E necesară (recomandabilă pentru sesiuni lungi)	Nu este necesară (recomandabilă pentru sesiuni scurte)
Stare	Dinamică redusă	Dinamică mare

1.6.7 Alegerea schemei de control a congestiei

În final întrebarea care se pune este asupra criteriului de alegere a schemei de control a congestiei. Din cele expuse rezultă că alegerea depinde, de fapt, de durata suprasarcinii. Cu cât durata congestiei crește, cu atât nivelul la care trebuie exercitat controlul e mai ridicat (vezi figura 1.2).

Durata congestiei	Mecanismul de control a congestiei
Mare ↓ Redusă	Proiectarea rețelei și planificarea capacității Controlul admisiei conexiunii Dirijarea dinamică Compresia dinamică Reacția cap la cap Reacția nod la nod Asigurarea unei memorii suficiente

Fig. 1.2 Abordări recente ale controlului congestiei în rețele ATM

Dacă congestia e permanentă, atunci trebuie instalate linii suplimentare de mare viteză. Când congestia se manifestă pe intervale apropiate de durata unei sesiuni, cel mai potrivit control este cel de nivel sesiune, ca de exemplu semnalul de ocupat.

Dacă durata congestiei este de câteva ori mai mare decât întârzierea de propagare dus-întors, atunci e necesară o schemă de control la nivelul transport,

cu reacție de la nivelul rețea. Dacă durata congestiei e mai redusă, trebuie folosit un control de nivel rețea (variante de control în rutere sau control a admisiei), sau de nivel legătura de date (contrapresiunea). Cum în rețelele reale congestia se poate manifesta la oricare din aceste scale de timp, rezultă că trebuie realizat un control combinat, la toate nivelurile. Nici o schemă nu poate singura să rezolve toate problemele legate de congestie.

O propunere ar fi să se utilizeze un control al admisiei de tip găleată găurită pentru operarea normală, un control la sursă pentru pierderi de pachete, respectiv, refuzul sesiunii pentru congestia pe termen lung [JSD, SSL]. Alta propunere este să fie permisă producătorului, alegerea uneia sau nici uneia din schemele de control. Această soluție conduce însă, în cele mai multe cazuri, la o comportare pătinitoare și necontrolabilă a rețelei. De aceea este mult mai bine să existe în această parte a proiectării și construcției rețelei, o singură regulă, decât să fie permisă alegerea regulii proprii de către fiecare participant, având în vedere că aici are loc o partajare a resurselor.

Capitolul 2

CONTROLUL TRAFICULUI

Mecanismele de control a traficului și de control a congestiei au ca scop să mențină performanțele rețelei atunci când în rețea sunt prezente diferite tipuri de trafic. În B-ISDN, congestia e definită ca o stare a elementelor rețelei – comutatoare, concentratoare, linii de transmisie – în care rețeaua nu mai e capabilă să asigure transferul datelor la parametri negociați pentru conexiunile deja existente și/sau pentru noile cereri de conectare [DK]. Congestia poate apărea din cauza unor fluctuații care nu pot fi prevăzute, ale traficului fluxurilor și/sau unor defecțiuni în rețea. Trebuie făcută distincția între controlul traficului și controlul congestiei. Controlul traficului se referă la o serie de acțiuni întreprinse de rețea pentru a evita situațiile de congestie, el fiind un control preventiv. Controlul congestiei se referă la acțiunile întreprinse de rețea atunci când congestia s-a instalat deja, pentru reducerea la minimum posibil a intensității, răspândirii și duratei congestiei, el fiind un control reactiv.

În acest capitol vor fi prezentate câteva scheme de control a traficului, scopul acestora fiind de a proteja atât utilizatorul cât și rețeaua pentru a obține performanțele dorite. Cu aceste scheme se monitorizează și controlează traficul oferit la fiecare interfață, pentru a proteja resursele rețelei de traficul surselor “răutăcioase” [DK, BM, JDSZ] sau a excesului neintenționat de trafic care afectează QoS al conversațiilor deja existente, detectând abaterile față de parametri negociați și luând măsuri adecvate. Traficul în exces, neconform cu parametri negociați va fi respins pentru a minimiza efectul său asupra celorlalte conversații. Conversațiile cu trafic de rată variabilă, VBR, trebuie să specifice rata medie a datelor, mediată pe intervale mari de timp, care trebuie monitorizată și controlată. Identificarea traficului neconform, pe baza ratei medii este o problemă dificilă. Mecanismul de control poate, fie să rejeteze pur și simplu acest trafic suplimentar, fie să-l admită, marcând eventual pachetele respective care dacă e necesar vor fi primele distruse.

2.1 Formarea traficului

Traficul în rafală constituie una din principalele cauze ale congestiei. [Tane, LCH]. Dacă s-ar putea impune calculatoarelor gazdă să transmită cu o rată uniformă, congestia ar apărea mult mai rar. Gestionarea congestiei prin impunerea unei rate previzibile cu care să fie transmise pachetele se numește formarea traficului (traffic shapping) și este larg răspândită în rețelele ATM. Ea este o metodă în buclă deschisă sau o metodă de control preventiv: formarea traficului se ocupă cu uniformizarea ratei medii de transmisie a datelor, deci cu atenuarea rafalelor, și nu cu volumul de date aflat la un moment dat în tranzit, cu

care se ocupă protocoalele cu fereastră glisantă.

2.1.1 Algoritmul găleții găurite

Funcționarea algoritmului este similară cu a unei găleți găurite, (leaky-bucket) care indiferent de rata cu care este umplută, lasă să iasă apa la o rată constantă [Tane]. Pentru pachetele de date, găleata este o coadă cu capacitate finită și rată de transmisie constantă [NG, DK]. Atunci când coada este plină noile pachete care sosesc vor fi distruse. Dacă există pachete în coadă calculatorul gazdă livrează în rețea câte un pachet la fiecare tact al ceasului, astfel că fluxul neregulat de pachete sosite de la procesele sale se transformă într-un flux uniform, netezind rafalele. Dacă pachetele au toate aceeași dimensiune, de exemplu cele ATM, algoritmul poate fi folosit așa cum a fost descris. Dacă pachetele au lungimi variabile, e preferabil ca la fiecare tact să se transmită un număr fix de octeți. Astfel, dacă regula este 1024 de biți la fiecare tact, atunci se pot transmite fie un pachet de 1024 de biți, fie două pachete de 512 biți, patru de 256 biți etc. Chiar dacă numărul rezidual de octeți este scăzut, următorul pachet va trebui să aștepte următorul tact.

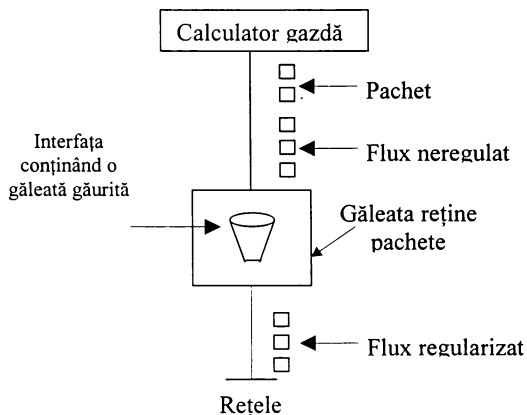


Fig. 2.1 Algoritmul găleții găurite

Algoritmul găleții folosind contorizarea octeților este implementat aproximativ în același fel. La fiecare tact un contor este inițializat la n . Dacă primul pachet din coadă are k octeți, cu $k < n$, pachetul este transmis și contorul devine $n-k$. Mai pot fi transmise și alte pachete, atâta timp cât contorul rămâne mai mare decât lungimea primului pachet din coadă. Când contorul scade sub această lungime, transmisia încetează până la următorul tact, când contorul este reinițializat și vechea valoare este pierdută. După cum se observă în acest caz poate apărea cazul în care o parte din intervalul de timp dintre două tacte este nefolosit pentru transmisie.

Ca un exemplu de găleată găurită, considerăm un calculator care produce

date cu rata $R = 200Mbps = 25MBps$ și o rețea de aceeași viteză. Dar ruterele pot să gestioneze date până la această viteză doar pentru un scurt interval de timp, pentru intervale mai mari de timp lucrează optim pentru rate care nu depășesc $2MBps$. Rezultă atunci că rata de transmisie ρ a găleții este $\rho = 2MBps$. Dacă notăm cu T_{1r} timpul de transmisie a rafalei de către calculator, cu T_{2r} timpul de transmisie a rafalei de către găleată și cu $C =$ capacitatea găleții rezultă:

$$T_{1r} = \frac{C}{R} \quad (2.1a)$$

$$T_{2r} = \frac{C}{\rho} \quad (2.1b)$$

Rezultă că la o capacitate a găleții $C = 1MB$, calculatorul poate transmite rafale de $T_{1r} = 40msec$ fără pierderi de date. Aceste rafale vor fi împrăștiate de-a lungul a $500msec$; indiferent de cât de repede sosesc. Dacă rafalele sunt mai lungi de $40msec$, sau 1 milion de octeți la fiecare secundă pentru exemplul considerat, capacitatea găleții este depășită și datele vor fi pierdute. Traficul total pe durata unui interval T va fi mărginit de $RT + C$.

2.1.2 Algoritmul găleții cu jeton

Algoritmul găleții găurite impune un model rigid al ieșirii, din punct de vedere al ratei medii, indiferent de cum arată traficul. Pentru numeroase aplicații este mai convenabil să se permită a creșterii a vitezei de ieșire la apariția unor rafale mari, astfel încât este necesar un algoritm mai flexibil de preferat unul care nu pierde date. Un astfel de algoritm este algoritmul găleții cu jeton [JDSZ, Tane, PG1, DK] (token bucket). În acest algoritm, găleata găurită păstrează jetoanele, generate de un ceas cu rata de 1 jeton la fiecare ΔT secunde. Pentru ca un pachet să poată fi transmis el trebuie să capteze și să distrugă apoi un jeton. Dacă n pachete așteaptă să fie transmise și găleata are m jetoane, $m < n$, vor fi

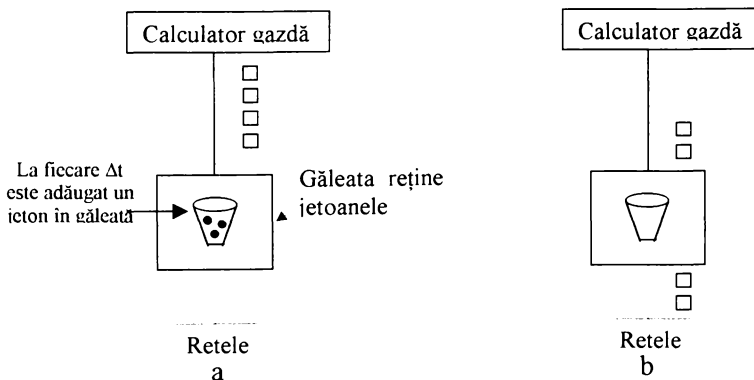


Fig. 2.2 Algoritmul găleții cu jeton
a) înainte b) după

transmise doar m pachete iar restul de $n-m$ pachete așteaptă să fie generate alte $n-m$ jetoane.

Algoritmul găleții cu jetoane asigură o formare diferită a traficului comparativ cu algoritmul găleții găurite. Algoritmul găleții găurite nu permite calculatoarelor gazdă inactive să acumuleze permisiuni de trecere pentru a trimite o rafală mai mare, ulterior. Algoritmul găleții cu jeton permite această acumulare, mergând până la dimensiunea maximă a găleții N . Astfel pot fi transmise rafale de până la N pachete și se asigură un răspuns mai rapid la apariția bruscă a unor rafale de intrare. În plus, nu apar pierderi de date, fiindcă algoritmul găleții cu jeton aruncă jetoanele la umplerea găleții, dar nu distruge pachetele. O variantă a algoritmului este situația în care un jeton reprezintă dreptul de a transmite k biți, nu un pachet. Un pachet va putea fi transmis doar dacă există suficiente jetoane pentru a-i acoperi lungimea în biți.

Ambii algoritmi sunt folosiți pentru a regla traficul de ieșire al calculatoarelor gazdă. Pentru reglajul traficului între rutere aplicarea lor poate duce la pierderi de date.

Dacă T_{ir} , este lungimea rafalei în secunde, C capacitatea găleții în octeți, $r=l \Delta T$ rata de sosire a jetoanelor și ρ rata maximă de ieșire în oct/sec., atunci rafala de ieșire conține maxim:

$$C + r T_{ir} = \rho T_{ir} \quad (2.2a)$$

octeți. De aici se poate obține durata maximă a rafalei:

$$T_{ir} = \frac{C}{\rho - r} \quad (2.2b)$$

Durata rafalei poate fi astfel reglată prin selectarea atentă a valorilor r și ρ .

Algoritmul permite apariția unor rafale mari. De multe ori este nevoie să se reducă valoarea de vârf, dar fără a reveni la valorile scăzute permise de algoritmul original, al găleții găurite. O cale de a obține un trafic mai uniform este de a pune o găleată cu jeton, de rată r , urmată de o găleată găurită de rată ρ cu $r < \rho < R_{max}$ a rețelei.

Propunerile curente referitoare la serviciul de control a încărcării în Internet specifică faptul că pachetele, destinate să treacă prin mecanismul de control a încărcării, și care depășesc parametrii găleții cu jetoane pentru acel flux să fie transmise mai departe conform cu regulile pentru efortul maxim, dacă resursele permit acest lucru și ca ruterele să implementeze mecanismul de efort maxim în cozile de așteptare ale căilor, pentru a proteja traficul de efort maxim neelastice. Aceste cerințe sunt ortogonale cu cerințele impuse de algoritmi de control a admisiei.

2.2 Algoritm de control a admisiei

Propunerile curente referitoare la serviciul de control a încărcării în Internet specifică faptul că pachetele, destinate să treacă prin mecanismul de control a încărcării, și care depășesc parametrii găleții cu jetoane pentru acel flux, să fie transmise mai departe conform cu regulile pentru efortul maxim, dacă resursele permit acest lucru și ca ruterele să implementeze mecanismul de efort maxim în cozile de așteptare ale căilor, pentru a proteja traficul de efort maxim elastic de fluxurile de efort maxim neelastice. Aceste cerințe sunt ortogonale cu cerințele impuse de algoritmi de control a admisiei.

Scopul acestora este de a asigura ca admisia unui nou flux în rețeaua cu resurse limitate să nu ducă la încălcarea angajamentelor de serviciu ale rețelei față de fluxurile deja admise. Se controlează volumul datelor în tranzit prin rețea și nu rata la care se transmit acestea. Algoritmi pentru controlul încărcării prin controlul admisiei sunt de două tipuri [GK, JSD, FJ1, FJ2]: algoritmi bazați pe parametrii în care se asigură ca suma resurselor rezervate plus noile rezervări să nu depășească capacitatea rețelei, respectiv algoritmi bazați pe măsurări care folosesc măsurările pentru a determina încărcarea dată de traficul existent și cel nou sosit, pentru a lua decizia de admisie. Aceștia din urmă folosesc măsurarea lățimii de bandă, a lățimii de bandă echivalente, respectiv a regiunii de acceptanță. Într-un mediu cu trafic majoritar de efort maxim, scopul secundar al algoritmilor de control a admisiei poate fi pur și simplu controlul fracției de bandă alocată traficului de timp real, mai degrabă decât maximizarea acestuia.

Criteriul principal pentru evaluarea oricărui algoritm de control a admisiei este faptul cât de bine asigură îndeplinirea angajamentelor de serviciu, mai precis ca aceste angajamente să nu fie încălcate. Cea mai simplă cale de a asigura îndeplinirea completă a angajamentelor este de a aloca resurse suficiente pentru a face față cazului cel mai defavorabil al fiecărui flux. Această soluție duce însă, pentru traficul în rafale, la o utilizare scăzută a rețelei. S-a ajuns astfel la al doilea criteriu de evaluare și anume ce grad de utilizare a rețelei se poate obține pentru un anumit algoritm de control a admisiei, în condiția respectării angajamentului de serviciu. Al treilea criteriu de evaluare este costul implementării și operării algoritmului. Deoarece controlul admisiei se face la nivelul transport și nu la nivelul sesiune, e de așteptat ca implementarea și operarea mecanismului de control a admisiei să nu fie un factor prohibitiv.

Acești algoritmi sunt folosiți de serviciul de control a încărcării, care e proiectat pentru aplicații adaptive de timp real, care pot tolera variații în întârzierea pachetelor. Modelul de serviciu cu controlul încărcării e definit [JSD] că: aproximează bine comportarea vizibilă aplicațiilor care necesită serviciul de efort maxim, în condiții de sarcină mică, pe aceeași cale. În plus aplicațiile care cer serviciul de control a încărcării pot presupune că rata lor de pierdere de pachete e determinată de rata erorii de transmisie și că întârzierea sa tipică e cauzată de întârzierea de propagare pe cale [JSD, DFM, DK, DM, EM, FI]. Mai precis întârzierea medie a pachetelor în cozi nu poate fi mai mare decât timpul

de rafală a fluxului și rata de pierderi, mediată pe un timp mai mare decât timpul de rafală, ar trebui să fie minimă. Timpul de rafală, s-a văzut în paragraful anterior că, e timpul necesar pentru a servi rafala maximă de flux la rata rezervată fluxului.

Controlul admisiei se realizează la nivelul apelului. Deși specificațiile serviciului pentru controlul încărcării nu indică anumite valori pentru QOS, ca de exemplu limita întârzierii sau rata de pierderi, tocmai acești parametri se iau în considerare pentru evaluarea algoritmilor de control a încărcării.

2.2.1 Algoritmul “suma simplă”

Algoritmul denumit suma simplă [JSD, FI, MS] asigură pur și simplu ca suma resurselor solicitate să nu depășească capacitatea liniei. Se notează cu $\sum_{i=1}^n r_i = r$ - suma ratelor rezervate, C - lățimea de bandă a liniei, $n+1$ - numele fluxului cerând admisia, r_{n+1} - rata solicitată de fluxul acesta. Algoritmul va accepta un flux nou doar dacă:

$$r + r_{n+1} < C \quad (2.3)$$

Acesta e cel mai simplu algoritm de control al admisiei și deci cel mai des folosit de producătorii de rutere. Uneori pentru a asigura întârzieri mici în cozi, cerute de serviciul de control a încărcării, se folosește și o aproximare a disciplinei de planificare de servire a cozii, denumită planificare imparțială ponderată, WFQ (Weighted Fair Queuing), împreună cu acest algoritm de control a admisiei. WFQ asigură fiecărui flux o coadă proprie, servită la rata proprie rezervată, izolând astfel fiecare flux de rafalele celorlalte fluxuri.

2.2.2 Algoritmul “Suma măsurată”

În timp ce algoritmul “suma simplă” asigură ca suma rezervărilor existente plus noile rezervări care se cer să nu depășească capacitatea rețelei, algoritmul “suma măsurată” folosește măsurarea pentru a estima încărcarea dată de traficul existent [JSD, Flo, KR]. Acest algoritm admite fluxuri noi dacă e verificat testul:

$$\hat{r} + r_{n+1} < \rho C \quad (2.4)$$

Unde: $\hat{r} = \sum_{i=1}^n r_i$ este încărcarea măsurată date de traficul existent;

r_{n+1} este rata cerută de fluxul $n+1$;

ρ este utilizarea dorită, definită de utilizator;

C este lățimea de bandă a liniei.

Pe măsura admiterii unui flux nou, încărcarea estimată e crescută, folosind relația:

$$\hat{r}' = \hat{r} + r_{n+1} \quad (2.5)$$

În cazul cozii simple de tip $M/M/1$ lungimea cozii crește foarte mult, pe măsură ce sistemul se apropie de utilizarea completă, ($\rho \rightarrow 1$). [SCH]. Algoritmul “suma măsurată” va eșua când variația întârzierii este foarte mare, situație care apare când utilizarea este foarte mare. Este deci necesar să se stabilească utilizarea dorită și să se mențină prin algoritmul de control, utilizarea sub această valoare ($\rho = 0,9$).

Măsurarea încărcării se face într-o fereastră de timp T , în care eșantionarea se face la intervale S . la sfârșitul ferestrei de măsurare T , valoarea estimată a încărcării pentru următoarea fereastră T se alege egală cu cea mai mare medie din fereastră. Pentru a avea un număr static semnificativ de eșantioane $T/S \geq 10$. O valoare mică pentru S duce la valori medii mari, iar o valoare mare pentru T duce la medii mai “netede”, și luarea în considerare a unei istorii mai lungi. Ambele fac algoritmul de control al admisiei mai conservativ.

2.2.3 Algoritmul regiunii de acceptanță

Acest algoritm, bazat pe măsurare [J1, FF, KR], calculează o regiune de acceptanță, care maximizează utilizarea cu prețul pierderii de pachete. Având date lățimea de bandă a liniei, dimensiunea tampoanelor de memorie din comutator, parametrii găleții cu jetoane pentru filtrarea fluxului, lungimea rafalei fluxului și probabilitatea dorită cu care încărcarea actuală să depășească limita se poate calcula pentru un tip dat de fluxuri o regiune de acceptanță, peste care nici un flux de tipul respectiv să nu mai fie admis. Calculul regiunii de acceptanță implică procese Poisson de sosire a apelurilor și timpi de servire a apelurilor independenți și exponențial distribuiți [JSD, FI]. Varianta bazată pe măsurare a acestui algoritm asigură ca, încărcarea instantanee măsurată plus rata de vârf a noului flux, să se afle sub regiunea de acceptanță. Încărcarea măsurată nu este ajustată artificial la admiterea unui nou flux. Pentru un flux descris de un filtru de tip găleată cu jetoane (r, b) (unde r este rata de sosire a jetoanelor și b este capacitatea găleții) și nu de rata lor de vârf, se poate deduce rata lor de vârf (\hat{p}) din parametrii găleții cu jetoane, folosind ecuația:

$$\hat{p} = r + b T \quad (2.6)$$

unde T este perioada de mediere definită de utilizator, în secunde. Intervalul T de interes nu este în mod necesar un parametru global, dar poate fi specificat

pentru un anumit ruter. Ecuația (2.6) implică faptul că pentru procedurile de control admisei bazate pe rata de vârf a fluxurilor, o cerere de admisie să fie acceptată cu o probabilitate mai mare, dacă parametrii găleții cu jetoane sunt asigurate astfel: b la o valoare mai mică, iar r la rata de vârf a conexiunii. Dimensiunea redusă a găleții introduce variații mici ale întârzierii pachetelor, întârzieri care se cumulează pe parcursul rețelei. Trebuie menționat însă că procedura de control a admisei nu pretinde obligatoriu o dimensiune redusă a găleții cu jetoane, deoarece limita superioară a ratei de vârf pe un interval T poate fi calculată pentru orice valoare a parametrilor găleții.

Dacă un flux este respins, algoritmul de control a admisei nu va admite un alt flux până când unul din fluxurile existente nu părăsește rețeaua. Termenii de utilizare dorită și pragul utilizării se folosesc cu același sens cu regiunea de acceptanță. Eșantioanele se iau la perioadele de eșantionare S' .

2.2.4 Algoritmul capacității echivalente

Prin capacitate echivalentă, a unei clase de trafic compus, se înțelege valoarea $C(\varepsilon)$, determinată astfel încât rata sosirilor clasei în regim staționar să nu poată depăși $C(\varepsilon)$, decât cel mult cu probabilitatea ε [F1, JSD]. Un flux nou (sau o conexiune) dintr-o clasă va fi admis doar dacă prin acceptarea sa, capacitatea echivalentă a clasei va fi mai mică decât lățimea de bandă alocată clasei respective.

Procedura de control a admisei descrisă în cele ce urmează presupune că parametrii, specificând traficul noului flux, includ parametrii găleții cu jetoane, rata permiselor și dimensionarea găleții, și că acești parametri sunt administrați de ruter. Traficul noilor fluxuri, care depășesc acești parametri ai găleții cu jetoane este transmis înainte conform cu principiul efortului maxim, dar nu e luat în considerare de procedura de control a admisei. Parametrii găleții cu jetoane, pot fi folosiți (vezi ec. 2.6.) pentru a deduce rata de vârf a fiecărui flux, într-o perioadă de timp fixă; probabilitatea ca un flux nou să fie admis crește dacă rata permiselor e apropiată de rata de vârf a fluxului. Dimensiunea găleții e de dorit să fie suficient de mică pentru scăderea întârzierii pachetelor ce se transmit în rețea.

Estimările se fac pe baza măsurărilor ratei medii a tuturor sosirilor și a ratelor de vârf a fluxurilor individuale. Rata sosirilor într-o clasă poate fi modelată ca o variabilă aleatoare cu distribuție normală [F1]; această abordare este cea mai potrivită pentru multe clase cu trafic de timp real, care are sute de conexiuni acceptate, cu rate de vârf asemănătoare. Dacă însă numărul de conexiuni e redus sau mediu, respectiv ratele de vârf ale diferitelor fluxuri variază foarte mult, distribuția normală nu mai este potrivită pentru calcul.

În cele ce urmează vom folosi notațiile:

- $r_{i,T}$, rata instantanee de sosire, la momentul T , a fluxului/conexiunii i . Dacă $i \neq j$, $r_{i,T}$ și $r_{j,T}$ sunt independente. Nu e necesară ipoteza ca $r_{i,T}$ și $r_{i,T-\delta}$ să fie

independente;

- $S_T = \sum_{i=1}^n r_{i,T}$, rata instantanee a sosirilor la momentul T , a fluxurilor agregate ale clasei respective;
- $\hat{\mu}_s$, rata medie estimată a sosirilor, obținută prin măsurarea ratei sosirilor a tuturor fluxurilor (fluxurilor agregate) ale clasei respective. Rata medie a sosirilor poate fi aproximată prin încărcarea medie măsurată [JSD].

2.2.4.1 Estimarea capacității echivalente folosind distribuția normală

Ipoteza că S_T , rata instantanee a sosirilor tuturor fluxurilor, sau fluxuri agregate, poate fi modelată printr-o variabilă cu distribuție normală, e valabilă doar pentru clase de dimensiuni mari. Valoarea medie μ_s , respectiv dispersia σ^2 a ratei S a sosirilor clasei, se pot deduce din parametrii galeților cu jetoane a conexiunilor individuale, sau se pot estima din măsurări. Capacitatea echivalentă \hat{C}_N , folosind distribuția normală, e dată de [F1]:

$$\hat{C}_N(\mu_s, \sigma^2, \varepsilon) = \mu_s + \alpha \sigma \quad (2.7)$$

pentru $\alpha = \sqrt{2 \ln \frac{1}{\varepsilon} + \ln \frac{1}{2\pi}}$.

Astfel dacă rata S a sosirilor are o distribuție normală, atunci la un moment de timp viitor t , rata S_t a sosirilor va putea depăși capacitatea \hat{C}_N cu probabilitatea maximă ε . Pentru controlul admisiei pe baza capacității echivalente, parametrul ε reprezintă o limită superioară estimată a probabilității cu care ratele instantanee ale sosirilor pot depăși debitul alocat clasei. Parametrul ε a fost denumit rata de pierderi. Totuși în mediile în care o mare parte a traficului este traficul de efort maxim, traficul de timp real a cărui rată depășește capacitatea sa echivalentă nu e pierdut, dar deranjează traficul de efort maxim. Cu cât parametrul ε al unei clase e mai mic, cu atât algoritmul de control a admisiei este mai conservativ pentru acea clasă [EM].

Cererea de admitere a unui nou flux va fi acceptată dacă rata de vârf a noului flux însumată capacității echivalente este mai mică decât capacitatea echivalentă alocată clasei respective.

După cum s-a mai afirmat, deoarece formula pentru $\hat{C}_N(\mu_s, \sigma^2, \varepsilon)$ presupune o distribuție normală pentru ratele sosirilor dintr-o clasă, această abordare nu este adecvată pentru clase de dimensiuni mici sau medii. Pentru clase mici, estimarea capacității echivalente folosind distribuția normală, poate subestima capacitatea echivalentă actuală [F1]. În continuare, va fi prezentată o altă formulă pentru capacitatea echivalentă, folosind limita Hoeffding, care poate fi folosită și în cazul claselor de dimensiune medie.

2.2.4.2 Estimarea capacității echivalente cu limita Hoeffding

Pentru o conexiune admisă i , cu rata instantanee de sosire r_i , pe un interval de timp dat, poate fi dedusă din parametrii găleții cu jetoane (vezi ec. 2.6). Se poate deduce o limită superioară pentru capacitatea echivalentă \hat{C}_H , din limitele superioare ale ratelor de vârf ale fiecărei conexiuni admise, din rata măsurată a sosirilor agregate și folosind rezultatele lui Hoeffding, [Fl, DJM].

Teorema lui Hoeffding afirmă că, având variabilele independente X_1, X_2, \dots, X_n și $0 \leq x_i \leq p_i$, atunci, pentru $t > 0$,

$$\text{Prob}[S \geq \mu_s + nt] \leq e^{-2n^2 t^2 / \sum_{i=1}^n (p_i)^2} \quad (2.8)$$

Această teoremă este asemănătoare cu cele de tip Cernov, [EM, Fl, JDSZ, DJM], unde pentru o sumă de variabile aleatoare se determină o limită superioară a distribuției. Ecuația (2.8) arată probabilitatea ca suma a n variabile aleatoare să fie mai mare decât media sumei plus nt .

Astfel, pentru cazul nostru:

$$\text{Pr}[S_T \geq \mu_s + nt] \leq \varepsilon, \quad (2.9)$$

e satisfăcută dacă:

$$e^{-2n^2 t^2 / \sum_{i=1}^n (p_i)^2} \leq \varepsilon, \quad (2.10)$$

unde prin alegerea parametrului ε se determină gradul de risc al procedurii de control al admisiei. Condiția (2.10) este satisfăcută dacă:

$$t \leq \frac{1}{n} \sqrt{\frac{\ln(1/\varepsilon) \sum_{i=1}^n (p_i)^2}{2}}. \quad (2.11)$$

Astfel rezultă capacitatea echivalentă \hat{C}_H , obținută prin urmărirea ratelor de vârf:

$$\hat{C}_H + (\mu_s, \{p_i\}_{i=1, \dots, n}, \varepsilon) = \mu_s + \sqrt{\frac{\ln(1/\varepsilon) \sum_{i=1}^n (p_i)^2}{2}}, \quad (2.12)$$

unde, din nou, μ_s e rata medie de sosire a traficului din clasa respectivă și ratele de vârf ale fluxurilor clasei, iar ε este probabilitatea ca rata de intrare să depășească capacitatea liniei. Algoritmul de control a admisiei verifică dacă un nou flux, $n-1$, cerând admisia, respectă condiția:

$$\hat{C}_H + p_{n-1} \leq C, \quad (2.13)$$

unde C este capacitatea sau lățimea de bandă alocată clasei respective. După ce un flux este admis, rata sa de vârf p_{n+1} este adăugată la $\hat{\mu}_s$, rata medie estimată a clasei. Dacă estimarea ratei de sosire a fluxului compus se face folosind o mediere exponențială, atunci noua estimare va reflecta progresiv noul trafic și nu valoarea de vârf p_{n+1} .

Dacă fluxului nou i se interzice admisia, atunci nici unui alt flux de același tip nu i se mai permite intrarea, până când un alt flux nu iese.

Capacitatea echivalentă estimată \hat{C}_H este determinată în ipoteza că ratele de sosire ale diferitelor fluxuri sunt independente, că procedura de control cunoaște μ_s , media ratelor sosirilor agregate și că aceasta este limitată superior.

2.2.4.3 Măsurarea ratei medii de sosire

O problemă importantă a procedurilor de control a admisiei bazate pe măsurări este modul de estimare a ratei medii de sosire pentru clasa respectivă în locul lățimii de bandă instantanee, pentru a putea lua decizia de admisie a noului flux.

Estimarea ratei medii de sosire prin măsurări prezintă unele dificultăți. Astfel chiar având un număr fix de conexiuni admise, ipoteza existenței mediei “stării staționare” nu e întotdeauna exactă. Apoi, chiar dacă aceasta există, e dificil de determinat rata medie a sosirii prin măsurări, din cauza posibilelor dependențe de gamă largă, LRD Long-Range Dependence, a traficului compus [ENW, TWW]. Astfel rata medie de pe interval ar putea să nu fie un predicător bun pentru intervalul care va urma și deci s-ar putea să nu fie folosită întreaga capacitate a liniei de transmisii, utilizarea integrală care reprezintă chiar scopul acestor proceduri. Dar cum serviciul de timp real are loc cu interfețele unde o mare parte din trafic este de efort maxim a adaptat la rată, procedura de control a admisiei va accepta o valoare medie mai puțin precisă.

O procedură simplă de estimare a ratei medii de sosire constă din măsurarea ratei de sosire r_i la fiecare s secunde. Rata medie va putea fi apoi calculată folosind o mediere exponențială cu ponderea w :

$$med = (1 - w) \cdot med + w \cdot r_i \quad (2.14)$$

Constanta de timp pentru aceasta este:

$$T = -1/\ln(1 - w) \cdot S, \quad \text{secunde} \quad (2.15)$$

De aici, pentru

$$-1/\ln(1 - w) \cdot S \leq T, \quad (2.16)$$

rezultă ponderea

$$w \geq 1 - e^{-ST}. \quad (2.17)$$

Media ratei de sosire este calculată folosind relația (2.14) astfel:

$$\hat{\mu}' = (1 - w)\hat{\mu} + w\hat{\mu}_s \quad (2.18)$$

unde $\hat{\mu}_s$ rata medie de sosire este măsurată la fiecare S secundă.

Dacă traficul variază brusc de la 0 la 1 și rămâne la 1, cu o pondere de $w = 2e^{-3}$, în 10 perioade se ajunge la 75% din valoarea 1 a noii rate.

O valoare mare a ponderii face procesul de mediere mai adaptiv la schimbările sarcinii, iar o valoare mică conduce la medii mai netede care țin cont de o istorie mai lungă.

În concluzie, folosind marginea Hoeffding este necesar să se urmărească ratele de vârf ale conexiunilor admise precum și rata agregată de sosire. Dacă se folosește marginea Cernov, [GK, ABB] se obține o procedură de control a admisiei bazată pe măsurarea ratei agregate de sosire și a unui parametru p de rafală pentru toate conexiunile admise, unde p este probabilitatea ca un flux să fie activ la un moment dat [Fl]. Se dezvoltă o procedură de control a admisiei bazată tot pe măsurări, folosind teoria deciziei, care nu necesită cunoștințe importarea asimptotică a CLR când dimensiunea sistemului e foarte mare, de exemplu tamponare infinite sau capacitate suficient de mare de servire.

Fie $p(m)$, $m = 1, 2, \dots$, CLR rata de pierderi a celulelor, pentru dimensiunea S_m a sistemului flux, abordarea prin teoria deciziei folosește “recompense” pentru pachetele livrate cu succes, respectiv “penalizări” pentru fiecare pachet distrus. Rezultatele acestei proceduri de admisie sunt încurajatoare, dar în prezent se cunosc relativ puține lucruri despre cum se va mixa traficul viitoarelor servicii de tip real ale Internet.

2.2.5 Controlul probabilistic al admisiei

În [MS] se propune un control probabilistic al admisiei. În funcție de capacitatea legăturii disponibilă la momentul sosirii apelului, acesta va fi acceptat (dar nu și conectat încă) cu o anumită probabilitate. Dacă apelul nu e acceptat atunci e blocat și șters. Dacă apelul este acceptat în faza de control a admisiei, atunci el e trecut procedurii de dirijare. Noțiunea de unitate a lățimii de bandă de bază BBU (Basic Bandwidth Unit) se referă la rata sau debitul de bază și se presupune că toate serviciile lucrează cu multiplii ai acestei rate de bază. De exemplu dacă considerăm BBU ca fiind de 64 Kbps, atunci serviciul de transmitere a vocii având rata de vârf de 64 Kbps necesită o BBU, iar serviciul de transmitere a imaginilor video cu rata de vârf de 384 Kbps necesită 6 BBU.

Controlul admisiei este dat pentru un serviciu $s \in S$ al traficului pereche $[i, j]$, prin următoarea funcție de acceptanță:

$$\alpha_{[i, j]}^s = p_{[i, j]}^s \quad \text{dacă } L_{[i, j]} = t_{(i, j)} - 0_{(i, j)} < U_{(i, j)},$$

$$\text{sau } \alpha_{[i, j]}^s = 0 \quad \text{în caz contrar} \quad (2.19)$$

unde $L_{(i,j)}$ și $U_{(i,j)}$ sunt marginile inferioară respectiv superioară a unității de lățime de bandă de bază BBU, iar $0 \leq p_{(i,j)}^s \leq 1$. Dacă $p_{(i,j)}^s = 1$, $s \in S$ pentru orice trafic pereche, atunci nu există control al admisiei, situație care este denumită și partajare completă. Controlul admisiei este local, nu este bazat pe informații despre întreaga rețea, ci depinde doar de gradul de ocupare al legăturii directe la momentul sosirii apelului.

2.2.6 Controlul admisiei folosind rata de pierdere a celulelor

Rata de pierdere a celulelor CLR (Cell Loss Ratio) este un parametru important al proiectării și controlului rețelelor ATM, fiind folosit în multe din funcțiile principale ale rețelelor ca de exemplu controlul admisiei apelurilor CAC (Call Admission Control), alocarea benzii și altele. Pentru a lua decizia admiterii sau respingerii unui apel pe baza CLR, este necesar ca CLR să fie calculat rapid, fie pe baza capacității legăturii fie pe baza capacității serviciului pretinse de respectivul apel, pentru a obține o valoare anumită a CLR. Determinarea capacității serviciului în vederea obținerii unei anumite CLR este însă foarte dificil de făcut, din cauza interacțiunii celor doi factori, CLR și capacitatea serviciului, chiar având specificate caracteristicile traficului și dimensiunea bufferelor [BLHT, BLCT, CT].

Majoritatea algoritmilor prezentați în literatură [KWC, KA, LM, SSD, ABB, JSD, IDSZ, PAB, MS] se bazează pe conceptul de lățime de bandă efectivă, calculul capacității de serviciu necesară fiind făcut prin aproximarea cu o margine superioară. Conceptul de lățime de bandă efectivă este atractiv din cauza proprietății sale că lățimea de bandă efectivă a unui set de surse este suma lățimilor de bandă individuale. Acest lucru reduce complexitatea calculului. Dar, lucrând în ipoteza tamponului infinit, nu e luat în considerare multiplexarea statistică a surselor care partajează tamponului și uneori, când încărcarea e scăzută, apar supraestimări exagerate ale capacității de serviciu necesare. Când numărul de surse e mare aproximarea gaussiană e de asemenea propusă, pentru a beneficia de avantajul multiplexării statistice. Totuși și aceasta conduce la supraestimări ale lățimii de bandă agregată necesară, ceea ce duce la subutilizarea resurselor scumpe ale rețelei: lățimea de bandă și memoria. În plus, dacă traficul e mai puțin în rafală decât Poisson, ca de exemplu la ieșirea filtrelor de tip găleată, aproximarea cu lățimea de bandă efectivă nu mai este conservativă și duce la o subestimare a capacității de serviciu necesare. Aproximările mai noi, bazate pe estimările deviațiilor mari ale distribuțiilor lungimilor cozilor de așteptare din multiplexoare, conduc la o estimare mai precisă a marginii superioare a CLR decât cea bazată pe conceptul de bandă efectivă [PAB, JSD, FF]. Toate aceste abordări necesită însă cunoștințe complete despre procesul de sosire în multiplexor.

În cele ce urmează se va prezenta un algoritm de control al admisiei bazat pe măsurări, care folosește un algoritm de aproximare fuzzy FA (Fuzzy Approximation) pentru estimarea benzii agregate necesare. Mecanismul este

destinat în principal serviciului de rată variabilă VBR (Variable Bit Rate) și serviciilor cu alocare statică a benzii (adică acolo unde nu e permisă renegocierea lățimii de bandă pe durata apelului) dar poate fi extins și pentru serviciul RCBR (Renegociation Constant Bit Rate).

2.2.6.1 Algoritmul CAC-FA-CLR

Algoritmul de control a admisiei apelurilor bazat pe logica fuzzy pentru estimarea ratei de pierdere a celulelor, conduce la următoarea structură, figura 2.1 [BLHT, CFPP, CC].

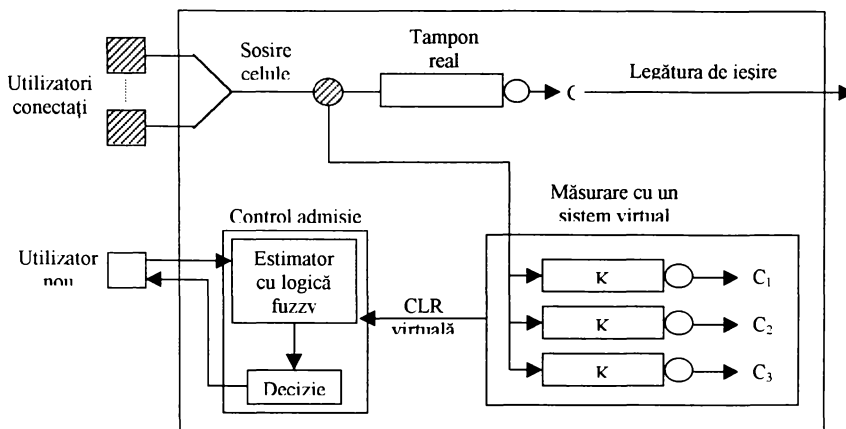


Figura 2.3 Mecanism de control a admisiei cu logică fuzzy

Mecanismul are două părți: prima parte constă dintr-un set de tamponare virtuale (contoare), cu o capacitate de serviciu redusă cu care se observă pierderile foarte mari de celule, cu o variație mică într-un interval scurt de măsurare. În funcție de configurația hardware a multiplexorului, traficul poate fi integrat într-un tampon comun, partajat sau segregat în mai multe tamponare partajând aceeași linie, caz în care sunt necesare atâtea contoare câte tamponare sunt. A doua parte a mecanismului constă din algoritmul FA și procesul de decizie. Algoritmul FA e folosit pentru a determina lățimea de bandă necesară pentru apelurile care intră, după care procesul de decizie hotărăște dacă un apel e acceptat sau nu, în funcție de ieșirea dată de algoritmul FA, lățimea de bandă disponibilă și lățimea de bandă solicitată de noul apel.

2.2.6.2. Descrierea sistemului bazat pe reguli fuzzy

Sistemele fuzzy se bazează pe reguli matematice severe. Ele manevrează un gen de informație incompletă, vagă sau fuzzy, dificil de formulat matematic,

inima lor fiind un sistem bazat pe reguli sau pe cunoaștere, constând dintr-o serie de reguli de tipul “dacă – atunci” (if-then).

Schema bloc a unui sistem fuzzy este prezentată în figura 2.4. El este format dintr-un fuzificator, un defuzificator și un nucleu de inferență, precum și o bază de reguli. În [BLHT] s-a optat pentru un fuzificator de tip “unic” (Singleton), un defuzificator de tip “medie centrată” (center average) și un nucleu de inferență de tip “produs”.

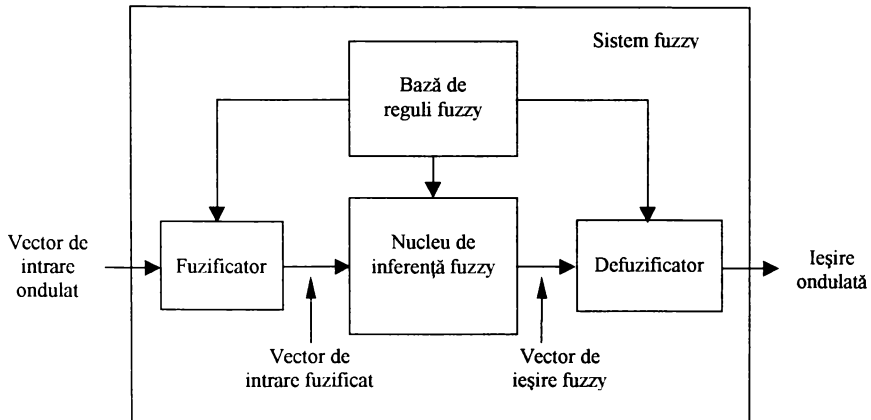


Figura 2.4 Schema bloc a unui sistem fuzzy

Se caută modelarea comportării cozii de așteptare a unui multiplicator ATM, ale cărei performanțe depind de traficul de intrare, care nu este predictibil.

Presupunem cunoscute N seturi de perechi de intrare-ieșire $(X'_o; y'_o)$, $X'_o = (x'_{o1}, \dots, x'_{on})^T \in R^n$, N fiind un număr mic. Se arată că sistemul fuzzy, pentru fuzificatorul de tip unic, nucleul de inferență de tip produs și defuzificator de tip medie centrată se reduce la o formă compactă:

$$f(X) = \frac{\sum_{j=1}^N y'_o{}^j \prod_{i=1}^n \mu_i{}^j(x_i)}{\sum_{j=1}^N \prod_{i=1}^n \mu_i{}^j(x_i)} \quad (2.20)$$

unde $X = (x_1, \dots, x_n)^T \in R^n$ este intrarea (ondulată) a sistemului fuzzy,
 $f(X) \in R$ este ieșirea sistemului fuzzy,
 $\mu_i{}^j$ sunt funcțiile de apartenență ale sistemului fuzzy de intrare.

Dacă în plus, funcțiile de apartenență sunt gaussiene, adică:

$$\mu_i^j(x_i) = \exp\left\{-\frac{(x_i - x_{0i}^j)^2}{(\sigma_i^j)^2}\right\}, \quad (2.21)$$

$$j = 1, \dots, N, \quad i = 1, \dots, n,$$

atunci (2.20) are capacitatea de aproximare universală. Aceasta înseamnă că pentru orice funcție reală continuă $g(x)$ și un $\varepsilon > 0$ ales arbitrar, există un sistem fuzzy astfel încât

$$\sup_{x \in R^n} |f(X) - g(X)| < \varepsilon. \quad (2.22)$$

Dacă se folosește (2.20) pentru interpolarea funcțiilor, cu cât valorile lui σ_i^j sunt mai mici, cu atât aproximarea este mai bună. Pentru extrapolarea funcțiilor, care este scopul nostru, eroarea de aproximare nu poate fi teoretic controlată. În acest caz valorile lui σ_i^j vor fi astfel alese încât funcțiile de apartenență corespunzătoare să acopere uniform toate cele n componente ale fiecărei intrări j , pentru a asigura o influență suficient de semnificativă a fiecăreia din cele n componente.

Căutăm să estimăm CLR în multiplexoarele ATM, cu ajutorul unui sistem fuzzy ca cel de mai sus. CLR este o funcție necunoscută de variabilă reală, variabilă care poate fi dimensiunea tamponului multiplexorului, numărul de conexiuni sau capacitatea de serviciu. Algoritmul nu are nevoie să facă vreo presupunere despre parametrii traficului, dar trebuie să cunoască:

- CLR al multiplexorului când dimensiunea sistemului e redusă, de exemplu tampoane mici sau capacitate redusă de serviciu. În acest caz CLR este relativ mare și poate fi ușor calculat sau măsurat,
- comportarea asimptotică a CLR când dimensiunea sistemului e foarte mare, de exemplu tampoane infinite sau capacitate suficient de mare de servire.

Fie $p(m)$, $m = 1, 2, \dots$, CLR rata de pierderi a celulelor, pentru dimensiunea S_m a sistemului. S_m poate fi dimensiunea tamponului, numărul de utilizatori sau capacitatea serviciului. Setul de valori (S_m) este o funcție liniar crescătoare,

$$S_m = S_0 + m\delta, \quad (2.23)$$

unde S_0 este valoarea inițială a dimensiunii S , $\delta > 0$ este dimensiunea pasului.

Cu aceste informații algoritmul FA se construiește plecând de la cele M valori cunoscute ale CLR, $P(k-M+1), P(k-M+2), \dots, P(k)$, unde k este indicele stării curente S_k .

Pasul 1, definirea perechilor de intrare ieșire; cele $M-2$ perechi de intrare-ieșire sunt alese după cum urmează:

$$\begin{aligned} & \{P(k-2), P(k-1)\}; P(k) - P(k-1)\} \\ & \{P(k-3), P(k-2)\}; P(k-1) - P(k-2)\} \\ & \vdots \qquad \qquad \qquad \vdots \\ & \{P(k-M+1), P(k-M+2)\}; [P(k-M+3), P(k-M+2)]; \} \end{aligned} \quad (2.24)$$

unde: $[P(k-j-1), P(k-j)]$ este vectorul de intrare,
 $[P(k-j+1)-P(k-j)]$ este vectorul de ieșire,
 $j = 1, \dots, M-2$.

Cum CLR este o funcție monotonă de variabilă aleasă (lungimea sistemului, capacitatea serviciului sau numărul de apeluri), sistemul fuzzy poate fi construit cu puține valori. Intrările reprezintă valorile CLR pentru starea precedentă și starea curentă. Ieșirea este diferența dintre valoarea următoare și cea curentă a CLR. Perechile de intrare ieșire sunt actualizate în timp real, când k e incrementat la valoarea dorită.

Pasul 2, funcțiile de apartenență. Se definește:

$$\Delta_{k,j} = P(k-1) - P(k-j-1). \quad (2.25)$$

Pentru $j = 1, \dots, M-2$, funcțiile de apartenență ale seturilor de intrări fuzzy sunt definite:

$$\begin{aligned} \mu_1^j [P(k-1)] &= \exp \left\{ -\frac{\Delta_{k,j}^2}{(\sigma_1^j)^2} \right\}, \\ \mu_2^j [P(k)] &= \exp \left\{ -\frac{\Delta_{k,j+1}^2}{(\sigma_2^j)^2} \right\}, \end{aligned} \quad (2.26)$$

cu:

$$\begin{aligned} \sigma_1^j &= \frac{\max_{j'} P(k-j'-1) - \min_{j'} P(k-j'-1)}{M-2}, \\ \sigma_2^j &= \frac{\max_{j'} P(k-j') - \min_{j'} P(k-j')}{M-2}, \end{aligned} \quad (2.27)$$

cu $j' = 1, \dots, M-2$.

Funcțiile de apartenență definesc gradul de influență a primei, respectiv a celei de-a doua componente a vectorului de intrare j , asupra valorii de ieșire. Parametrii σ_1^j și σ_2^j , $j = 1, \dots, M-2$ parametri liberi care determină precizia aproximării, s-au ales ca mai sus pentru ca funcțiile de apartenență să acopere uniform domeniul vectorilor de intrare. Altfel spus valorile precedente ale CLR influențează uniform următoarea valoare prezisă.

Pasul 3: construirea sistemului fuzzy: Sistemul s-a obținut [BLCT] pentru $n-2$ și $N=M-2$. După cum s-a văzut în pasul 1, ieșirea sistemului fuzzy e definită ca incrementul (sau decrementul) lui CLR față de valoarea precedentă. La început, valorile variabilei de stare, pentru care CLR, e cunoscută sunt indexate de la 0 la $M-1$. Ecuația (2.20) este apoi folosită pentru estimarea CLR pentru următoarea variabilă de stare (de exemplu pentru S_M). După ce s-a obținut CLR, S_0 e șters și se transmite înapoi sistemului valoarea estimată a noului punct. Altfel spus stările indexate cu 1, ..., M sunt folosite pentru

construirea perechilor de intrare-ieșire necesare pentru definirea noului sistem fuzzy pentru estimarea CLR pentru S_{M-1} . Acest proces continuă până la obținerea CLR dorită, sau a CLR corespunzătoare dimensiunii dorite a sistemului. În general, algoritmul FA furnizează o predicție bună dacă numărul de pași necesari pentru predicția CLR dorite nu e prea mare. Totuși atingerea unei CLR de 10^{-10} , necesită uneori foarte mulți pași în detrimentul preciziei, care scade din cauza însumării erorilor mici de predicție. Pentru îmbunătățirea estimării, se iau în considerare comportarea asimptotică a CLR la creșterea S_m a dimensiunii sistemului. Astfel dacă $\hat{P}(m)$ este valoarea estimată a CLR, iar $\tilde{P}(m)$ este valoarea obținută ținând cont de comportarea asimptotică a CLR funcție de dimensiunea S_M a sistemului, în loc de a transmite ca reacție algoritmului FA, mărimea obținută în pasul 3, se transmite:

$$P(m) = [1 - \lambda(m)]\hat{P}(m) + \lambda(m)\tilde{P}_2(m), \quad (2.28)$$

unde

$$\lambda(m) = \begin{cases} \exp\left[-\frac{(S_m - S_x)^2}{\sigma^2}\right], & \text{dacă } S_m \leq S_x, \\ 1, & \text{in rest} \end{cases}, \quad (2.29)$$

și $\lambda \in [0, 1]$, iar S_x este orice stare la care se ia în considerare comportarea asimptotică și σ este un parametru controlând precizia aproximării. Funcția λ funcționează ca un filtru trece sus. Ea permite influența comportării asimptotice doar când dimensiunea S_m a sistemului se apropie de S_x .

Alegerea lui S_x și σ influențează precizia predicției. Experimental s-a constatat că pentru CLR funcție de lungimea tamponului, S_x trebuie ales de zece ori lungimea medie a rafalei la încărcarea redusă cu trafic, respectiv, este suficient, 1-2 ori lungimea medie a rafalei la încărcare mare cu trafic. Dacă CLR se estimează funcție de capacitate, S_x se alege egal cu rata de vârf agregată. Alegerea lui σ se face 60% din S_x când se lucrează cu lungimea tamponelor, 48% din S_x când se lucrează cu număr de utilizatori, sau 28% din S_x când se lucrează cu capacitatea sistemului. Alegerea pasului δ a fost 0,1 ori lungimea medie a rafalei, iar cu $M=5$, cinci valori inițiale, s-a lucrat doar cu trei perechi de intrare-ieșire.

În concluzie sistemul adaptiv bazat pe logica fuzzy, este folosit pentru a prezice eficient CLR în sisteme de dimensiuni mari, bazându-se pe un volum redus de informații despre sisteme. Aceste informații pot fi obținute fie prin măsurări în timp real când caracteristicile traficului nu sunt cunoscute, fie din orice alt model analitic când caracteristicile traficului sunt date. Valoarea prezisă a CLR este apoi rafinată, cunoscând comportarea asimptotică a CLR. Avantajul metodei este simplitatea implementării, eficiența calculului și precizia bună.

Capitolul 3

CONTROLUL CONGESTIEI ȘI MANAGEMENTUL TRAFICULUI ÎN REȚELE ATM

3.1 Introducere

Rețelele de mare viteză din viitor vor folosi, foarte probabil modul de transfer asincron ATM, cu transmiterea de celule de dimensiune fixă. Acest lucru reduce mult din dispersia întârzierii și permite integrarea în aceeași rețea a traficului de voce, video și date. Pentru toate aceste tipuri de trafic va trebui asigurată o calitate a serviciilor, lucru mult mai dificil decât în rețelele actuale. Un management adecvat al traficului asigură o operare eficientă și imparțială a rețelei, în condițiile unor cereri variabile. Acest lucru este important mai ales pentru traficul de date care este foarte puțin predictibil și deci nu permite rezervarea resurselor în avans, ca în cazul rețelelor de telecomunicații pentru voce.

Managementul traficului asigură utilizatorilor calitatea dorită a serviciilor. Problema este extrem de dificilă în cazul supraîncărcării rețelei sau în cazul când cererile traficului nu pot fi anticipate. De aceea controlul congestiei este partea cea mai importantă a managementului traficului [YL, J1, J2, KA, KMR, KR, KMR, EPD, LSY, EPDJ].

3.2 Parametrii traficului și calitatea serviciului.

În momentul stabilirii conexiunii prin rețeaua ATM, utilizatorul trebuie să specifice următorii parametri referitori la trafic și calitatea serviciului [RB, Ne, J1].

3.2.1 Parametrii de trafic

- 1) Rata de vârf a celulelor, PCR (Peak Cell Rate) – rata maximă instantanee la care va transmite utilizatorul;
- 2) Rata medie a celulelor, SCR (Sustained Rate Cell) – rata de transmitere a celulelor mediată pe un interval larg de măsurare;
- 3) Rata de pierdere a celulelor, CLR (Cell Loss Ratio) – procentul celulelor pierdute în rețea din cauza erorilor și a congestiei, care nu vor fi livrate la destinație:

$$CLR = \frac{\text{Numar de celule pierdute}}{\text{Numar de celule transmise}} \quad (3.1)$$

Fiecare celulă ATM are în antet un bit CLP (Cell Loss Priority). Dacă apare congestia, primele distruse vor fi celulele cu CLP=1. Deoarece celulele cu CLP = 0 sunt mai importante pentru aplicație, se poate specifica separat CLR pentru celulele cu CLP = 0 și pentru cele cu CLP = 1.

- 4) Întârzierea de transfer a celulelor, CTD (Cell Transfer Delay) – întârzierea suferită de celulă între punctele de intrare și de ieșire din rețea. CTD include întârzierea de propagare, întârzierea în cozile nodurilor și timpii de servire a celei în fiecare coadă.
- 5) Variația întârzierii celulelor, CDV (Cell Delay Variation) este o măsură a variației întârzierii CDT. O variație mare este generată de tamponare mari de memorie și este importantă pentru traficul sensibil la întârzieri ca vocea sau video.
- 6) Variația admisibilă a întârzierii celulelor sau toleranța acesteia CDVT (Cell Delay Variation Tolerance) și toleranța rafalei BT (Burst Tolerance): pentru orice sursă transmițând la o rată oarecare este admisă o ușoară variație a intervalului între celule.

De exemplu, o sursă care transmite la o rată de vârf PCR = 10000 celule/sec va transmite teoretic o celulă la fiecare 100 μsec. Folosirea unei găleți găurite va asigura ca variația intervalelor între celule să fie acceptabilă. Acest algoritm are doi parametri. Primul este intervalul nominal dintre celule (inversul ratei) și al doilea este variația permisă a acestui interval. Astfel o găleată găurită cu parametrii (100 μs, 10 μs) nu va permite celulelor o abatere mai mare de 10 μs de la intervalul nominal de 100 μsec. În acest exemplu CDV = 100 μs și CDVT = 10 μs. Astfel, al doilea parametru al găleții, CDVT este folosit pentru a forța PCR. Pentru a forța SCR este folosit BT.

- 7) Dimensiunea maximă a rafalei MBS (Maximum Burst Size) – este numărul maxim de celule înlănțuite care pot fi transmise la rata de vârf fără a afecta SCR.

$$BT = (MBS - 1) \left(\frac{1}{SCR} - \frac{1}{PCR} \right)$$

Deoarece MBS e mai intuitiv decât BT , în semnalizare se folosește MBS, iar BT se calculează ca mai sus.

Se observă că PCR, SCR, CDVT, BT și MBS sunt parametri ai traficului de intrare și sunt dictați de rețea la intrarea sa, iar CLR, CTD și CDV sunt indicatori ai calității serviciului furnizat de rețea și se măsoară la punctul de ieșire din rețea.

- 8) Rata minimă a celulelor MCR (Minimum Cell Rate) este rata minimă dorită de utilizator.

Acești parametri au fost specificați în interfața utilizator rețea UNI (User Network Interface) a rețelelor ATM [GaP].

3.2.2 Categoriile de servicii

- 1) Serviciul cu rata de bit constantă CBR (Constant Bit Rate), este folosit pentru emularea circuitelor comutate. Rata celulelor este constantă. Pentru celulele cu $CLP = 0$ se specifică rata de pierderi CLR, iar pentru celulele cu $CLP = 1$ această rată poate să fie specificată sau nu. Se aplică pentru serviciul telefonic, videoconferințe și televiziune.
 - 2) Serviciul cu rata de bit variabilă VBR (Variable Bit Rate) permite utilizatorilor să transmită la rate variabile. Se folosește multiplexarea statistică și deci pot are pierderi foarte mici, aleatoare. În funcție de aplicație, sensibilă sau nu la întârziere, această categorie se împarte în două subcategoriile: VBR de timp real și VBR nu de timp real. Pentru prima categorie se specifică întârzierea maximă și variația vârf la vârf a întârzierii CDV, iar pentru a doua categorie se specifică doar întârzierea. Traficul video interactiv comprimat e un exemplu de trafic VBR de timp real, iar poșta electronică multimedia este un exemplu de trafic VBR nu de timp real.
 - 3) Serviciul cu rata de bit disponibilă ABR (Available Bit Rate) este proiectat pentru traficul normal de date, ca transferul de fișiere sau poșta electronică. Deși standardul nu pretinde garantarea sau minimizarea CTD și CLR e mai bine ca nodurile să încerce minimizarea întârzierilor și a pierderilor. În cazul congestiei, rețelei, sursei i se poate cere să-și controleze rate de transmisie. În acest caz, rețeaua trebuie să garanteze MCR, rata minimă declarată de sursă. Majoritatea circuitelor virtuale vor solicita $MCR = 0$. Dacă nu există suficientă lățime de bandă vor fi rejectate conexiunile cu cel mai mare MCR.
 - 4) Serviciul cu rata de bit nespecificată UBR (Unspecified Bit Rate) a fost proiectat pentru aplicațiile insensibile la pierderi sau întârzieri, capabile să folosească orice capacitate în exces rămasă. Aceste conexiuni nu sunt rejectate din cauza crizei de lățime de bandă, pentru că nu se face controlul admisiei pe conexiune, și nici nu li se controlează comportarea. În timpul congestiei, celulele sunt pierdute, dar nu se așteaptă ca sursele să-și reducă rata. Dar aceste aplicații pot avea un mecanism propriu de nivel înalt, pentru retransmisii și recuperarea în cazul pierderii de celule. Ca exemple de folosire a acestui serviciu sunt poșta electronică, transferul de fișiere, știrile, etc., care evident pot folosi și serviciul ABR.
- Ceea ce trebuie menționat este faptul că doar serviciul ABR răspunde la reacția care sosește din partea rețelei în caz de congestie, deci toate metode de control a congestiei se referă la acest tip de trafic.

3.3 Metode de control a congestiei

Un management adecvat al traficului asigură o operare eficientă a rețelei, chiar în condițiile unor cereri variabile [J1, J2, JK, KA, KMR, KR]. Managementul traficului are ca scop să asigure utilizatorilor, de către rețea, servicii de calitate solicitată. Problema e deosebit de dificilă în perioadele de supraîncărcare a rețelei, mai ales dacă cererile nu pot fi estimate în avans. De aceea controlul congestiei este partea cea mai importantă a managementului congestiei.

Congestia apare când suma ratelor de intrare e mai mare decât capacitatea disponibilă a liniilor de ieșire.

$$\sum \text{ratelor de intrare} > \text{capacitatea disponibila a liniilor de iesire} \quad (3.2)$$

Majoritatea schemelor de control procedează la ajustarea ratelor de intrare la rata de ieșire disponibilă. O metodă de clasificare a schemelor de control a congestiei este după nivelul OSI – ISO la care se aplică ele (vezi 1.6). De obicei se folosește o combinație între aceste scheme, în funcție de durata și gradul congestiei.

Pentru congestii sporadice, o metodă este dirijarea în funcție de gradul de încărcare a legăturii și respingerea noilor conexiuni atunci când toate legăturile sunt foarte încărcate, aplicându-se un algoritm de control a admisiei. Acești algoritmi sunt eficienți pentru congestii de durată medie, deoarece odată ce un apel a fost admis congestia se poate menține pe toată durata apelului. Pentru congestii mai scurte decât durata unei conexiuni poate fi folosită o schemă cap la cap. De exemplu, în timpul stabilirii apelului se pot negocia rata de vârf și rata în regim staționar. Apoi poate fi folosită o găleată găurită, de sursă sau de rețea pentru a asigura ca intrarea să respecte parametrii negociați.

Astfel se poate spune că algoritmi de formare sau nivelare a traficului sunt în buclă deschisă, în sensul că parametrii nu pot fi modificați dinamic dacă se detectează congestia după negociere. La schemele în buclă închisă însă sursele sunt informate dinamic despre starea congestiei rețelei și li se cere să-și modifice rata de intrare în rețea. Reacția poate fi cap la cap, la nivelul transport, sau nod la nod, la nivelul legătură de date. Reacția nod – la – nod este eficientă în cazul suprasarcinilor de durată mică. Pentru vârfuri de trafic foarte scurte, cea mai bună soluție este asigurarea unei memorii suficiente.

Deoarece soluțiile pentru congestia pe termen scurt și cea pe termen lung sunt diferite și în rețele apar în general toate tipurile de congestie se folosesc de obicei scheme hibride. UNI permite controlul admisiei conexiunii, formarea traficului și reacția binară. Algoritmii pentru controlul admisiei conexiunii nu sunt specificați. Algoritmii de control ai admisiei au fost prezentați în capitolul 2, iar facilitățile oferite reacției în rețele ATM sunt prezentate în cele ce urmează.

3.4 Facilități pentru reacție în rețele ATM

Interfața utilizator-rețea UNI din rețelele ATM oferă două facilități pentru controlul cu reacție, și anume: [J2, LLD, DK, RB]

- 1) Control general al fluxului GFC (Generalized Flow Control).
- 2) Indicație explicită despre congestie, transmisă înainte EFCI (Explicit Forward Congestion Indication)

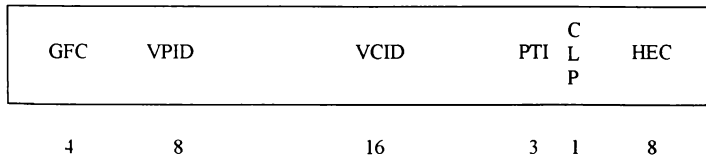


Figura 3.1 Antetul celulelor ATM

GFC – Generalized Flow Control – Control general al fluxului,
VPI – Virtual Path Identifier – Identificatorul căii virtuale,
VCI – Virtual Channel Identification – Identificarea canalului virtual,
PTI – Payload Type – Tipul încărcăturii utile,
CLP – Cell Loss Priority – Prioritate la eliminarea celulei,
HEC – Header Error Check – Suma de control a antetului,

După cum se vede din figura 3.1 primii 4 biți ai antetului au fost rezervați pentru GFC, controlul fluxului. La interfața UNI nu se face acest control și GFC este folosit ca o extensie a câmpului VPI. S-a intenționat ca GFC să fie folosit de rețea pentru controlul fluxului sursei, urmând ca algoritmul GFC să fie proiectat ulterior, lucru la care s-a renunțat însă.

3.5 Criterii de selecție

În cadrul grupului de lucru pentru managementul congestiei ale Forum-ului ATM au fost propuși o serie de algoritmi de control a congestiei. Analiza și decizia asupra lor s-a făcut conform unor criterii după cum urmează: scalabilitate, optimalitate, imparțialitate, robustețe și posibilitatea de implementare.

3.5.1 Scalabilitatea

Rețelele se clasifică în general după numărul de noduri, numărul de utilizatori sau viteză. Trebuie ca orice schemă de control să fie independentă de

viteză, distanță, număr de comutatoare sau număr de circuite virtuale, deci să poată fi aplicată aceeași schemă atât pentru LAN-uri cât și pentru WAN-uri.

3.5.2 Optimalitatea

Într-un mediu partajat, rata alocată unei surse depinde nu numai de capacitatea sa ci și de cererile altor surse. Cea mai utilizată metodă pentru o alocare imparțială a lățimii de bandă este “alocarea max-min”. Considerăm o configurație cu n surse și fiecare sursă i are alocată o lățime de bandă x_i , rezultă vectorul de alocare $\{x_1, x_2, \dots, x_n\}$, fezabil dacă gradul de încărcare al fiecărei linii este mai mic sau egal cu 100%. Numărul de vectori fezabili posibil este infinit. Pentru fiecare vector de alocare există o sursă cu alocarea cea mai mică, sau cea mai “nefericită” sursă. Având setul de vectori fezabili trebuie găsit vectorul care maximizează alocarea celei mai nefericite surse. De fapt, rezultă de asemenea un număr infinit de vectori.

Se procedează în consecință astfel: se extrage această sursă nefericită și problema se reduce la $n - 1$ surse care operează într-o rețea cu capacități reduse ale liniilor. Se caută din nou cea mai nefericită sursă dintre cele $n - 1$ surse, i se dă acesteia alocarea maximă, se extrage apoi această sursă, etc., până se ajunge la o singură sursă. Procesul se repetă până ce tuturor surselor li s-a acordat alocarea maximă pe care o pot obține.

Alocarea min-max este eficientă și imparțială [J1]. Este eficientă în sensul că fiecare linie este utilizată la încărcarea maximă posibilă și imparțială în sensul că alocă părți egale fiecărei surse din lățimea de bandă a fiecărei linii.

Criteriul de alocare imparțială max-min e doar unul din criteriile de optimalitate care pot fi folosite, și el nu are în vedere garantarea MCR. Un alt criteriu propus este imparțialitatea ponderată pentru determinarea alocării optime a resurselor.

3.5.3 Indicele de imparțialitate

Alocarea optimă se poate determina dacă s-a adoptat unul din criteriile de optimalitate. Dacă o schemă conduce la o alocare diferită de cea optimală, se poate determina gradul de neimparțialitate după cum urmează. Presupunem că o schemă alocă capacitățile $\{\tilde{x}_1, \tilde{x}_2, \dots, \tilde{x}_n\}$ în loc de cele optime $\{\hat{x}_1, \hat{x}_2, \dots, \hat{x}_n\}$. Se normalizează alocările pentru fiecare sursă $x_i = \tilde{x}_i / \hat{x}_i$, și se calculează indicele de

imparțialitate F (Fairness):
$$F = \frac{(\sum_i x_i)^2}{n(\sum_i x_i^2)}$$

Cum alocările x_i variază de obicei în timp, F poate fi reprezentat ca o funcție de timp. Pentru calculul lui F poate fi folosit și debitul pentru un interval de timp dat.

3.5.4 Robustețea

Schema aleasă trebuie să fie insensibilă la abateri mici. De exemplu mici nepotriviri ale parametrilor sau pierderilor unor mesaje de control nu trebuie să paralizazeze rețeaua. Este posibilă și izolarea surselor cu comportare necorespunzătoare și protejarea celorlalți utilizatori. De asemenea algoritmul trebuie să se adapteze rapid fără oscilații la schimbările topologice ale rețelei.

3.5.5 Implementabilitatea

Schemele nu trebuie să impună o anumită configurație a modului de comutare. Acesta argument joacă un rol hotărâtor în selecția finală (deoarece multe scheme s-a constatat că nu lucrează cu planificarea FIFO). În plus cu cât este mai simplu, cu atât este mai ușor de implementat, eventual chiar prin hardware deci este mai rapid.

3.5.6 Configurații de simulare

Pentru compararea diferitelor propuneri s-au propus o serie de configurații de rețele, multe dintre acestea având nodurile conectate în serie. Cea mai populară dintre configurații este cea de tip "loc de parcare" pentru studiul imparțialității. Numele și structura este asemănătoare cu cea a marilor parcuri de lângă teatre care constă din câteva loturi de parcare conectate printr-o singură cale de ieșire (vezi fig.3.2). Congestia apare la sfârșitul spectacolului când toate

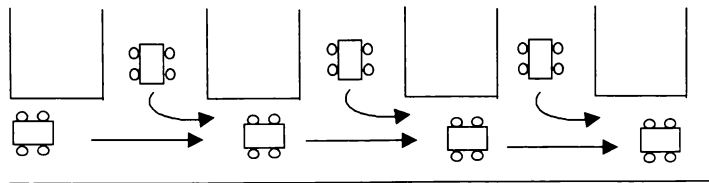


Fig 3.2 a Ieșirea mașinilor dintr-o parcare

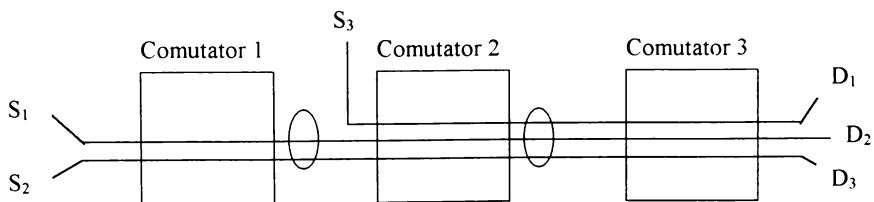


Figura 3.2 b Configurație echivalentă pentru rețeaua de comunicații
 S – surse D – destinații F – fluxurile generate de surse

Figura 3.2 Configurația de tip loturi de parcare

mașinile încearcă să intre pe aceeași cale de ieșire. Pentru rețelele de calculatoare loturile de parcare se asociază cu comutatoarele și dacă există n comutatoare există n CV-uri, cu primul CV pornind de la primul comutator până la sfârșit. În figura 3.2 este prezentată o structură cu 3 comutatoare.

3.6 Structura traficului

Dintre structurile de trafic folosite în diferite simulări cele mai des folosite au fost următoarele [AK, AST, Str, JSD]:

- 1) Surse persistente: aceste surse, “infinite” sau “lacom” au întotdeauna celule de transmis și astfel rețeaua e mereu congestionată,
- 2) Surse decalate: sursele pornesc la momente de timp diferite. Acestea permit studierea schemelor în regim de pornire și de oprire,
- 3) Surse în rafale: aceste surse oscilează între starea activă și cea inactivă. Pe timpul stării active generează o rafală de celule. Acesta e un model mai realist decât al surselor infinite. Cu aceste surse, dacă încărcarea totală a liniei e sub 100%, atunci nu se pune problema imparțialității și a traficului eficace, parametrul care se urmărește fiind timpul de răspuns la rafală, timpul de la recepția primei celule și transmisia ultimei celule. Dacă rafala sosește la o rată fixă, ea este numită în buclă deschisă. Un scenariu mai realist este cel în care următoarea rafală apare la un timp după primirea răspunsului la rafala precedentă. În acest caz apariția rafalei e afectată de congestia rețelei și modelul de trafic se numește în buclă închisă.

3.7 Scheme de tratare a congestiei

În cele ce urmează vor fi descrise câteva propuneri de scheme de tratare a congestiei care au fost prezentate Forumului ATM, [JK, JSD, MS, J1, F1, KR, GK, KO]. Cele mai importante dintre ele sunt cele bazate pe credite și cele bazate pe rată, care vor fi descrise mai în detaliu.

3.7.1 Rezervarea rapidă

Această propunere, făcută de France Telecom, pretinde ca sursa să transmită o celulă de rezervare de resurse RM (Resource Management) care să conțină cererea despre lățimea de bandă solicitată, înainte de a transmite celelalte celule. Dacă un ruter nu poate accepta cererea el distruge pur și simplu celula RM; sursa va intra în depășire de timp și va retransmite cererea. Dacă ruterul poate accepta cererea el pasează mai departe celula RM următorului ruter. În final, destinația returnează celula sursei care va putea atunci să-și transmită rafala.

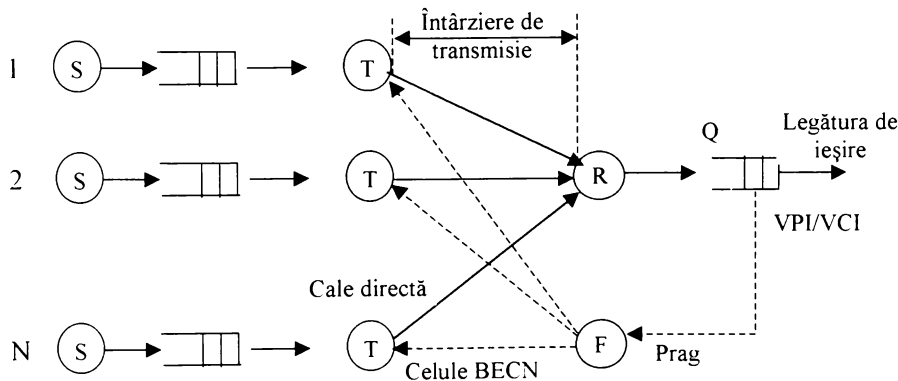
Rafala trebuie deci să accepte cel puțin timpul de parcurs tur-retur RTT (Round Trip Time) chiar și atunci când rețeaua este neutilizată, ca în majoritatea cazurilor. Pentru a evita această întârziere a fost propus și modul de transmisie imediată IT (Immediate Transmission), în care rafala este transmisă imediat după celula RM. Dacă un ruter nu poate satisface cererea, el distruge și celula și rafala și transmite o indicație sursei. În plus celula RM poate conține dimensiunea rafalei, iar ruterul va accepta cererea dacă are suficientă memorie disponibilă. Rezervarea rapidă nu a fost acceptată de Forumul ATM pentru că duce la întârzieri excesive în timpul operării normale, respective la pierderi excesive în timpul congestiei.

3.7.2. Controlul ratei bazat pe întârziere

Această propunere făcută de Fujitsu și similară cu cea a lui Jain presupune că sursa urmărește întârzierea RTT prin transmiterea periodică a unor celule RM care conțin o etichetă de timp. Celulele sunt returnate de către destinație. Sursa folosește eticheta de timp pentru a măsura RTT și va deduce astfel nivelul congestiei. Această abordare are avantajul că nu se cere vreo reacție din partea rețelei și poate fi folosită și dacă porțiuni de traseu conțin rețele non-ATM. În plus nu necesită nici o standardizare deoarece fiecare pereche poate coopera fără să implice rețeaua. Nici această propunere nu a fost acceptată de Forumul ATM.

3.7.3. Notificarea explicită, înspre înapoi, a congestiei BECN

Această metodă BECN (Backward Explicit Congestion Notification) constă din urmărirea de către fiecare ruter a imaginii propriilor cozi de pachete, și transmiterea unor celule RM sursei dacă este congestionat. La primirea unei celule RM sursele își vor înjumătăți ratele de transmisie. Apoi dacă nu se mai primește nici o celulă în timpul perioadei de revenire, rata fiecărui CV e dublată



VPI – identificator cale virtuală; VCI – identificator circuit virtual

Fig. 3.3 Controlul BECN, de informare a sursei despre congestie

la fiecare perioadă, până se ajunge la rata de vârf. Pentru asigurarea imparțialității, perioada de revenire a fost făcută proporțională cu rata CV-ului, astfel că scăderea ratei de transmisie duce la scurtarea perioadei de revenire, (vezi figura 3.3 și 3.4)

Metoda nu a fost acceptată deoarece s-a considerat că nu este imparțială: sursele care primesc semnalul de congestie nu sunt totdeauna cele care cauzează congestia.

3.7.4 Distrugerea timpurie a pachetelor, EPD

Această metodă EPD (Early Packet Discard), prezentată de SUN Microsystems, se bazează pe observația că un pachet este compus din mai multe celule. Este preferabil să fie distruse toate celulele unui pachet decât să fie distruse la întâmplare celule din pachete diferite. În AAL5 când primul bit al tipului de încărcătură utilă este 0 atunci al treilea bit indică sfârșitul mesajului EOM (End of Message). Când cozile ruterului încep să se umple, ruterul caută fanionul EOM și distruge toate celulele între acesta și următorul EOM, de pe respectivul CV. Se impune și aici observația că celulele care ajung la un tampon de memorie plin pot să nu aparțină CV-ului care produce congestia. Deoarece metoda permite lucrul individual al fiecărui ruter, fără comunicări cu sursa și fără standardizări ea a fost implementată de mulți producători de ruter.

3.7.5 Fereastra pe legătură și controlul binar cap la cap al ratei

Această metodă constă din combinarea calităților schemelor bazate pe rată și a celor bazate pe credite. Pe fiecare legătură se folosește un control al fluxului prin fereastră și în plus se face un control cap la cap al ratei printr-o notificare înspre înainte a congestiei. Controlul cu ferestre este realizat pe legătură și nu pe CV ca la schemele bazate pe credite. Algoritmul se scalează bine și garantează absența pierderilor. Dar el nu a fost acceptat nici de partizanii schemelor bazate pe rată, nici de partizanii schemelor bazate pe credite, deoarece conținea prea mult din propunerile părții adverse.

3.7.6 Alocare imparțială cu reacție despre memorie și rată

Această propunere, de la XEROX și CISCO constă în trimiterea periodică de către sursă a unor celule RM pentru determinarea gradului de utilizare a tampoanelor de memorie și a lățimii de bandă în porțiunile strangulate. Ruterele calculează alocarea corectă pentru fiecare CV. Valoarea minimă rezultată după alocarea de la respectivul ruter și cele precedente, este plasată în celula RM. Ruterele urmăresc și lungimea cozilor fiecărui CV. În aceeași celulă RM se

plasează și valoarea maximă a cozii din respectivul ruter și cele precedente. Fiecare ruter implementează FQ (Fair Queuing) ceea ce înseamnă că se mențin cozi separate pentru fiecare CV și că se calculează timpul la care celula ar trebui să-și termine transmisia dacă cozile sunt servite în manieră FQ Bit (adică are loc o explorare ciclică a cozilor și s-ar transmite un bit odată din fiecare coadă). Celulele sunt planificate pentru a transmite în această ordine calculată.

Alocarea imparțială a CV-ului este determinată ca inversul intervalului de timp dintre sosirea și transmisia celulei. Intervalul reflectă numărul celorlalte CV active. Dacă numărul și deci intervalul este aleator, se recomandă folosirea mediei câtorva intervale observate. Deoarece schema necesită câte o coadă pe fiecare CV ea este relativ complexă.

3.7.7 Abordarea bazată pe credite

Aceasta a fost una din principalele abordări, implementată de Digital, Mitsubishi ș.a. Abordarea constă dintr-un control al fluxului prin ferestre per CV și per legătură. Fiecare legătură constă dintr-un nod transmițător, care poate fi un ruter sau o sursă, și un nod receptor, care poate fi un ruter sau o destinație. Fiecare nod menține câte o coadă separată pentru fiecare CV. Receptorul verifică lungimea cozilor asociate fiecărui CV și determină numărul de celule pe care transmițătorul le poate emite pe acel CV. Acest număr se numește credit. Transmițătorul nu are voie să emită mai multe celule decât îi sunt alocate prin credit (vezi figura 3.5).

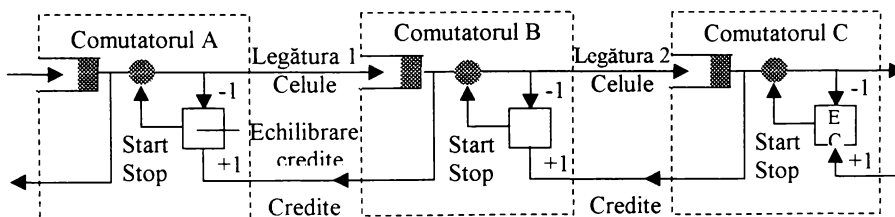


Fig. 3.5 Schemă de control a fluxului cu credite legătură pe legătură

Dacă există un singur circuit virtual activ, creditul trebuie să fie suficient de mare ca să permită utilizarea integrală a liniei în orice moment, adică:

$$Credit \geq Rata\ celulelor\ pe\ legătură \times RTT\ a\ legăturii$$

Rata celulelor pe legătură poate fi calculată împărțind lățimea de bandă a liniei (Mbps) la dimensiunea celulei (biți).

Schema descrisă mai departe este numită schema circuitului virtual cu controlul fluxului FCVC (Flow Controlled Virtual Circuit). La ea apar două probleme. Prima problemă apare în cazul pierderii creditelor, caz în care sursa

nu îl mai poate afla. Apoi, fiecare CV trebuie să rezerve pe toată durata RTT toate tamponurile de memorie, chiar dacă linia este partajată între mai multe CV-uri. Această problemă s-a rezolvat prin introducerea algoritmului cu resincronizare bazat pe credite și o versiune adaptivă.

Algoritmul cu resincronizare bazat pe credite constă din menținerea atât la transmițător cât și la receptor a câte unui numărător de celulele transmise și recepționate pe fiecare CV și comunicarea reciprocă periodică a acestor numărătoare. Diferența dintre celulele transmise și cele recepționate reprezintă celulele pierdute pe linie. Receptorul va reordona atâtea credite suplimentare pentru acel CV cât este diferența numărătoarelor.

Algoritmul adaptiv FCVC constă din alocarea pentru fiecare CV a unei părți din necesarul de tamponuri de memorie pe un RTT. Frația depinde de rata la care CV-ul folosește creditele. Pentru un CV foarte activ fracția este mai mare iar pentru un CV lent este mai mică. CV-urile inactive primesc o fracție mică, fixă de credite. Dacă un CV nu-și utilizează creditele, și observă că rata de utilizare pe o perioadă este scăzută și va primi o alocare redusă de tamponuri de memorie, și deci de credite, în următorul ciclu. Algoritmul FCVC adaptiv reduce considerabil necesarul de tamponuri de memorie, dar și introduce un timp de intrare în regim. Dacă CV devine activ, va trece un anumit timp înainte de a-și putea folosi întreaga capacitate a legăturii, chiar dacă nu există alți utilizatori activi.

3.7.8 Abordarea bazată pe rată

Această soluție a fost inițial propusă de Mike Hlucihy și apoi a fost modificată prin contribuția altor 22 de companii [J1]. Propunerea originală pleacă de la versiunea DEC Bit a schemei bazată pe rată, care consta dintr-un control cap-la-cap cu reacție pe un singur bit din partea rețelei. Ruterele verifică lungimea cozilor și în caz de congestie poziționează EFCI din antetul celulelor. Destinația verifică această indicație la intervale periodice și transmite înapoi sursei o celulă RM. Sursele folosesc un algoritm de creștere aditivă și de scădere multiplicativă pentru a-și ajusta rata.

Acest algoritm folosește “polaritatea negativă a reacției” în sensul că celulele RM sunt transmise doar pentru scăderea ratei, nu și pentru creșterea sa. Pe de altă parte, polaritatea pozitivă poate fi folosită doar pentru creșterea ratei, nu și pentru scăderea sa. Dacă celulele RM se folosesc atât pentru creșterea cât și pentru scăderea ratei algoritmul se numește bipolar.

În cazul polarității negative se poate întâmpla ca datorită congestiei, celulele RM să fie pierdute pe calea de retur. În acest caz, pe calea directă, sursa va continua să-și crească rata de transmisie și ar putea să-și depășească capacitatea. Acest dezavantaj a fost eliminat în versiunea următoare prin folosirea polarității pozitive. Sursa poziționează bitul EFCI din toate celulele, cu excepția celei n . Destinația va transmite o celulă RM sursei de creștere a ratei, dacă a recepționat o celulă oarecare cu EFCI nepoziționat. Sursele își descreșc rata până ce primesc o reacție pozitivă. Deoarece își scad rata

proporțional cu rata actuală, schema a fost numită “algoritm de control proporțional a ratei” PRCA (Proportional Rate Control Algorithm).

Algoritmul PRCA are probleme legate de imparțialitatea schemei. Dacă toate ruterele au același nivel de congestie, CV-urile care traversează mai multe noduri au o probabilitate mai mare de a avea $EFCI = 1$ decât cele care traversează un număr redus de noduri. Dacă p este probabilitatea ca $EFCI$ să fie pus pe 1 de un nod, atunci probabilitatea ca el să fie pus pe 1 după n noduri va fi $1 - (1-p)^n$ sau np . Deci pe căile lungi, CV-urile au puține ocazii să-și crească rata, aceasta fiind scăzută mult mai des decât pentru CV-urile de pe căile scurte. Această problemă a fost numită “problema reducerii”. O soluție la problema reducerii este reacția selectivă sau marcarea inteligentă, unde ruterul gestionat ia în considerare rata curentă a CV-ului împreună cu nivelul său de congestie, pentru a decide dacă să pună pe 1 bitul $EFCI$ din celulă. Ruterul calculează partea corectă și în caz de congestie pune pe 1 biți $EFCI$ din celulele aparținând doar acelor CV-uri ale căror rate depășesc această parte corectă. Acele CV-uri care au ratele sub această valoare nu sunt afectate.

3.7.8.1 Schema MIT

Reacția binară este prea lentă pentru controlul bazat pe rată din rețelele de mare viteză; indicarea explicită a ratei este mai rapidă și oferă o flexibilitate mai mare proiectanților de rutere.

Reacția binară pe un singur bit poate spune sursei doar să-și crească sau să-și scadă rata. Ea a fost concepută în 1986 pentru rețele fără stabilirea conexiunii în care nodurile intermediare nu știu nimic despre fluxuri și cererile lor. Rețelele ATM sunt orientate pe conexiune, în sensul că înainte ca două sisteme să comunice, ele trebuie să informeze ruterele intermediare despre pretențiile lor asupra serviciului și parametrii de trafic. Ruterele știu deci exact cine le folosește resursele și căile fluxurilor sunt mai degrabă statice. Această informație nu este folosită de schema de reacție binară.

Cel mai important lucru este faptul că reacția binară a fost proiectată pentru controlul cu ferestre și prea lentă pentru controlul bazat pe rată. La controlul cu ferestre diferența dintre fereastra curentă și fereastra optimă va duce la o ușoară creștere în lungime a cozilor. În controlul bazat pe rată, o diferență mică între rata curentă și cea optimă duce la o creștere continuă a lungimii cozilor. Reacția trebuie să fie foarte rapidă, nu se va mai permite să treacă un interval de câteva RTT-uri, ca cel necesar reacției binare pentru a atinge optimul în operare.

Reacția implicită bazată pe rată mai are și alte avantaje. Controlul este direct. Ruterele de intrare pot monitoriza celulele RM returnate și să folosească rata direct în algoritmul lor de control. Apoi, datorită convergenței rapide, sistemul ajunge rapid la punctul de operare optim, rata inițială având o influență redusă. Schema este robustă față de eronarea și pierderea celulelor RM. Următoarea celulă RM corectă va conduce sistemul la punctul de operare corect.

În schema MIT (Massachusetts Institute of Technology) [CRL], fiecare sursă trimite o celulă RM la fiecare n celule. Această celulă conține rata curentă a celulelor de pe respectivul circuit virtual CCR (Current Cell Rate) și rata dorită. Rutele monitorizează ratele tuturor circuitelor virtuale și calculează partajul corect de bandă alocată. Dacă vreun circuit virtual lucrează la o rată mai mică decât cea corectă alocată i se crește rata la cea dorită. Dacă rata dorită a unui CV este mai mare decât rata alocată imparțial atunci câmpul cu rata dorită se “reduce” prin înscrierea valorii ratei alocată imparțial; iar în celulele RM se pune pe 1 bitul de “reducere”. Destinația returnează celula RM sursei, care-și va ajusta rata sa la valoare indicată în celula RM. Dacă bitul de reducere este 0 sursa poate cere o rată dorită mai mare în următoarea celulă RM. Dacă bitul este pus pe 1, sursa trebuie să folosească rata curentă ca rata dorită în următoarea celulă RM. Dacă bitul este pus pe 1, sursa trebuie să folosească rata curentă ca rată dorită în următoarea celulă RM.

Rata alocată imparțial e calculată folosind un procedeu iterativ. Inițial, alocarea imparțială a ratei se face împărțind lățimea de bandă a liniei la numărul de CV-uri active. Circuitele virtuale a căror rată este mai mică decât cea alocată imparțial se numesc “subîncărcate”. Dacă numărul de CV-uri subîncărcate crește la fiecare iterație, rata alocată imparțial FSR (Fair Share Rate) este recalculată astfel:

$$FSR = \frac{\text{Latimea de banda a liniei} - \sum \text{Latimile de banda ale CV subincarcate}}{\text{Numar de CV} - \text{Numar de CV subincarcate}} \quad (3.3)$$

Iterația se repetă până rămân neschimbate numărul de CV-uri subîncărcate și FSR. În [CRL] se arată că sunt suficiente două iterații pentru convergența procedurii. De asemenea se arată că schema MIT atinge optimul max-min în $4k$ RTT-uri unde k este numărul de strangulări. Această propunere a fost bine primită, cu excepția calculului FSR care necesită n operații, unde n este numărul de circuite virtuale.

3.7.8.2 Algoritm îmbunătățit de control proporțional a ratei

Dorință de a crea o schemă care să implice un număr $O(1)$ operații a condus la schema EPRCA (Enhanced Proportional Rate-Control Algorithm).

Sursele transmit celulele cu $CTCI = 0$, iar după n celule transmit o celulă RM. Celula RM conține explicit rata dorită, ER (Explicit Rate), rata curentă CER (Current Explicit Rate) și bitul CI (Congestion Indication) de indicare a congestiei. Sursa inițializează ER la rata de vârf PCR și pune CI pe 0.

Apoi rutele calculează FSR și dacă este necesar reduc câmpul ER în celula RM returnată. Se calculează apoi rata medie permisă a celulelor MACR (Mean Allowed Cell Rate), folosind o medie ponderată exponențial, iar FSR se asignează la o fracție din această medie.

$$MACR = (1 - \alpha) MACR + \alpha \times CER \quad (3.4)$$

$$FSR = SWDPF \times MACR$$

Aici, α este factorul de mediere exponențială, iar SWDPF este un coeficient (Switch Down Pressure Factor) apropiat de 1 dar mai mic decât 1. Valorile optime sunt pentru $\alpha = 1/16$ iar $SWDPF = 7/8$. Destinația urmărește bitul CTCI din celulele de date. Dacă ultima celulă de date văzută avea $EFCI = 1$, atunci bitul CI se pune pe 1 în celula RM. Acest bit poate fi pus pe 1 în celulele RM returnate și dacă, în rutere, cozile depășesc o valoare de prag. Sursele își scad continuu rata, după fiecare celulă.

$$ACR = ACR \times RDF, \quad (3.5)$$

unde ACR este rata disponibilă a celulelor iar RDF este un factor de reducere. Când sursa primește celula RM returnată ea își crește rata cu un volum ATR dacă i se permite:

$$\text{Dacă } CI = 0 \text{ atunci } ACR = \text{Min}(ACR + AIR, ER, PCR),$$

iar

$$\text{Dacă } CI = 1 \text{ atunci } ACR \text{ este neschimbat}$$

Algoritmul EPRCA permite lucrul ruterelor atât cu reacția binară cât și cu reacție explicită. Problema principală a EPRCA este algoritmul de detecție a congestiei ruterului, bazat pe un prag al lungimilor cozilor. Dacă lungimea cozilor depășește un prag, ruterul este considerat congestionat. Acest lucru poate duce la nonimparțialitate. Astfel sursele care încep să transmită mai târziu vor fi mai defavorizate decât cele care pornesc mai devreme. Problema a fost rezolvată ulterior folosind ca indicator al sarcinii ritmul de creștere al cozilor.

3.7.8.3 Editarea congestiei prin algoritmul OSU

La Universitatea de Stat din Ohio au fost dezvoltate o serie de scheme de evitare a congestiei, explicite, bazate pe rata. Prima schemă numită OSU-TUB (Ohio State University-Target Utilization Band) prevede că ruterul să-și măsoare rata de intrare pe un interval fix, numit interval de mediere, și compararea sa cu rata dorită, “țintă”, pentru a calcula factorul de încărcare z :

$$z = \frac{\text{rata de intrare}}{\text{rata dorita}} \quad (3.6)$$

Rata dorită se alege sub lățimea de bandă a liniei (85% / 35% din acesta). Toate CV-urile trebuie să-și împartă rata de intrare cu z : dacă $z = 2$, CV-urile își vor înjumătății rata de intrare, iar dacă $z = 0,5$ ele își vor dubla rata de intrare. FSR se va calcula ca:

$$FSR = \frac{\text{rata dorita}}{\text{numar de surse active}} \quad (3.7)$$

Toate sursele a căror rată este mai mare decât FSR își vor divide rata cu $z / (1+D)$ (unde D este abaterea mică a lui z față de 1) iar cele care au rata sub FSR își vor divide rata cu $z / (1 - D)$. Acest algoritm OSU-TUB este imparțial. El duce la evitarea congestiei, obținându-se un debit eficace mare și întârzierii reduse. Luând rata dorită ușor mai mică decât capacitatea liniei algoritmul asigură o dimensiune foarte redusă a cozilor, deci întârzieri reduse. În plus ruterul lucrează cu foarte puțini parametrii, față de EPRCA, care sunt ușor de calculat.

Timpul de atingere a stării staționare este foarte redus de 10 / 20 ori mai scurt ca cel de EPRCA.

3.7.8.4 Evitarea congestiei folosind controlul proporțional

Această schemă de evitare a congestiei CAPC (Congestion Avoidance using Proportional Control) folosește utilizarea dorită ușor subunitară ca la OSU-TUB, ceea ce va menține redusă lungimea cozii. Ruterele măsoară rata de intrare și z , factorul de încărcare, cu care actualizează apoi FSR.

Dacă încărcare este mică, $z < 1$, FSR este crescută.

$$FSR = FSR \times \text{Min} (ERU, 1 + (1 - z) \times RUP) \quad (3.8)$$

Unde ERU = creșterea maximă permisă (aici 1,5) și
RUP = panta, parametru între 0,025 și 0,1.

Dacă este supraîncărcare, $z > 1$, FSR este scăzută

$$FSR = FSR \times \text{Max} (EFR, 1 - (1 - z) \times RDN) \quad (3.9)$$

Unde ERF = scăderea minimă cerută (aici 0,5) și
RDN = panta, parametru între 0,02 și 0,8.

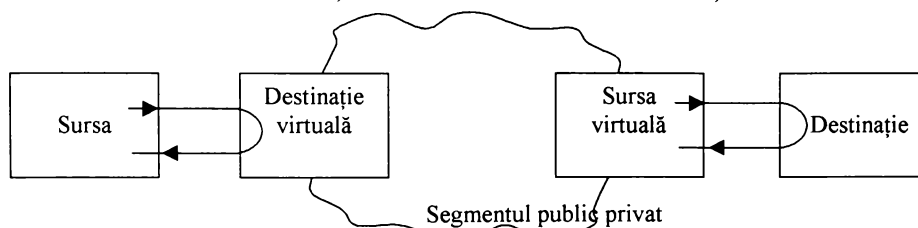
FSR este rata maximă care poate fi garantată fiecărei CV de către ruter. Pe lângă z , schema mai folosește un prag pentru lungimea cozii. Dacă acest prag este depășit bitul CI din toate celulele RM este pus pe 1. Aceasta împiedică sursele să-și crească rata și permite scăderea lungimii cozii. Caracteristica acestui algoritm este oscilația liberă în jurul stării staționare. Frecvența

oscilațiilor este proporțională cu $1 - z$; astfel în starea staționară z fiind 1, frecvența fiind 0 și perioada infinită.

În prezent nu s-a hotărât asupra standardizării vreunui dintre algoritmi astfel că fiecare producător e liber să folosească propriul algoritm.

3.8 Surse și destinații virtuale

Unul dintre dezavantajele controlului cap la cap bazat pe rată este că RTT poate fi foarte mare. Problema se poate rezolva segmentând rețeaua în părți mai mici, iar ruterele de graniță or trebui să acționeze ca “surse virtuale” respectiv “destinații virtuale”. Segmentarea rețelei permite reducerea buclilor de reacție. Astfel sistemele intermediare pot să folosească orice schemă de control a congestiei. Acest lucru permite rețelelor de telecomunicații să folosească interfețe standard doar la ruterele de intrare / ieșire din rețea. Cel mai important lucru este că sursele / destinațiile virtuale furnizează o interfață mai robustă cu



Sursă și destinație virtuale



Controlul ratei nod – la – nod

Figura 3.6

rețele publice, în sensul că resursele din interiorul rețelei nu sunt influențate de disciplina utilizatorilor. Comportarea necorespunzătoare a utilizatorilor va fi izolată de prima buclă. Prin utilizator se înțelege inclusiv rețelele private cu rutere care pot sau nu să fie disciplinate.

Trebuie totuși semnalat că soluția cu destinații și surse virtuale este relativ costisitoare, în sensul că necesită cozi de așteptare per CV. Nu există limită pentru numărul de segmente care pot fi create, în cazul extrem fiecare ruter poate acționa ca o sursă / destinație virtuală și se ajunge la controlul nod la nod.

3.9 Comparația între abordarea bazată pe credite și cea bazată pe rată

În cele ce urmează vor fi prezentate pe scurt principalele caracteristici ale celor două abordări, care servesc ca argumente pentru adoptarea uneia și celeilalte soluții. Forumul ATM, după lungi discuții, a optat pentru soluția bazată pe rată. Partizanii fiecărei soluții au avut în minte scopuri diferite, și n-au fost dispuși la nici un compromis.

1. Scalabilitatea: în cazul soluției cu credite, trebuie menționată câte o coadă pentru fiecare CV, chiar dacă acesta este inactiv. Dacă numărul de CV-uri ajunge la câteva milioane, complexitatea ruterului crește în asemenea măsură încât soluția cu credite nu mai poate fi folosită. Acesta este singurul argument serios împotriva soluției cu credite și principalul motiv pentru care aceasta n-a fost adoptată. Abordarea pe baza ratei nu necesită câte o coadă pe fiecare CV, putând să lucreze cu sau fără aceste cozi per CV, soluția rămânând la alegerea proiectantului.
2. Pierdere zero de celule: abordarea cu credite garantează transmisia fără pierderi de celule, independent de structura traficului, numărul de conexiuni, dimensiunea tamponelor de memorie, numărul de noduri, gama lățimilor de bandă și a timpilor de propagare. Chiar în prezența unei supraîncărcări severe lungimea cozilor nu poate depăși valoarea permisă de credite. Soluția bazată pe rată nu poate garanta o transmisie fără pierderi de celule. În suprasarcină lungimea cozilor poate crește într-atât încât tamponele să fie depășite și celulele să fie pierdute. Partizanii soluției bazată pe rată consideră acceptabilă pierderea de celule a cărei probabilitate e redusă în cazul tamponelor mari. În plus, ei argumentează că oricum apar pierderi datorate erorilor și oricum utilizatorii trebuie să ia măsuri împotriva pierderilor, indiferent care este cauza lor.
3. Intrarea în regim permanent are loc foarte repede la soluția cu credite, unde CV-urile ajung să lucreze imediat la viteza maximă, deoarece capacitatea liberă poate fi folosită imediat. Soluția adaptivă cu credite și soluția bazată pe rată au nevoie de câteva RTT-uri pentru a intra în regim.
4. Izolarea și utilizatorii nedisciplinați: marele avantaj al cozilor asociate fiecărui CV este izolarea utilizatorilor indisciplinați, care nu pot întrerupe sau perturba activitatea celor disciplinați. Acest lucru este adevărat pentru schemele statice cu credite și mai puțin adevărat pentru cele adaptive, unde sursele nedisciplinate pot să obțină o parte mai mare de memorie crescând rata de transmisie. Dar izolarea este obținută nu din cauza creditelor ci din cauza asocierii câte unei cozi la fiecare CV, soluție care se poate aplica, dacă trebuie, și la abordarea bazată pe rată (deși aceasta a fost principalul argument împotriva soluției cu credite).
5. Necesarul de tamponare de memorie este mai redus la soluția cu credite decât la cea bazată pe rată cu reacție binară, dar acest avantaj dispare când se folosește soluția bazată pe rată și reacție explicită. În soluția statică cu

credite necesarul de tamponare per CV este proporțional cu întârzierea pe linie, iar la cea bazată pe rată necesarul total de tamponare depinde de întârzierea cap la cap. Schema adaptivă cu credite permite un volum mai redus de memorie decât cea statică, dar cu prețul creșterii timpului de intrare în regim.

6. Estimarea întârzierii: inițializarea parametrilor pentru controlul congestiei în schema cu credite pretinde date despre RTT a liniei, sau cunoașterea cel puțin a lungimii și vitezei acesteia; acest lucru nu este necesar, deși este de mare ajutor, la soluția bazată pe rată.
7. Flexibilitatea proiectării: în schema bazată pe rată ruterele li se permite o mare flexibilitate în decizia de alocare a resurselor. Rutere diferite pot folosi mecanisme diferite, fără să fie afectată colaborarea dintre ele în aceeași rețea. De exemplu unele rutere pot opta pentru minimizarea lungimii cozilor dar, altele pentru maximizarea profitului lor. Pe de altă parte, soluția cu credite pretinde fiecărui ruter folosirea cozilor asociate fiecărui CV cu servirea carusel.
8. Complexitatea ruterele și a sistemelor terminale: soluția cu credite face ca ruterele să fie complexe, sarcina sistemelor terminale fiind mai simplă. Partizanii săi susțin că interfața între calculatorul gazdă și rețeaua NIC (Network Interface Card) este mult mai simplă deoarece nu trebuie planificate fiecare și toate celulele. Acolo unde există credite disponibile, celulele pot fi transmise la rata de vârf. Partizanii soluției bazate pe rată socotesc că toate NIC-urile lor trebuie să aibă planificatoare pentru traficul CBR și VBR și utilizarea aceluiași mecanism pentru traficul ABR nu complică prea mult placa.

Mai există și alte argumente în favoarea uneia sau celeilalte dintre soluții. Argumentul principal în defavoarea soluției cu credite, a fost însă existența cozilor asociate fiecărui CV, ceea ce a determinat și respingerea soluției unei propuneri integrate, care să permită producătorilor să aleagă între cele două soluții. Astfel abordarea bazată pe rată a fost votată ca unică soluție.

Capitolul 4

PLANIFICAREA TRAFICULUI

Rețelele de mare viteză sau de bandă largă, cu integrarea serviciilor, trebuie să implementeze algoritmi de planificare a traficului în comutatoare sau rutere, pentru a asigura garantarea unei mari game de calități a serviciilor. În rețelele ATM nodurile de comutare sunt denumite comutatoare, termenul de ruter fiind folosit în general pentru Internet [ZK]. Rolul algoritmilor de planificare este de a alege, pentru fiecare linie de ieșire a comutatorului, pachetele care vor fi transmise în următorul ciclu. Alegerea se face dintre pachetele aparținând fluxurilor care partajează linia de ieșire. De asemenea, noțiunile de canal, circuit, conexiune, conversație respectiv flux sunt similare.

Controlul sau evitarea congestiei în rețele au constituit subiectul unor largi dezbateri din ultimii ani, fiind prezentate o serie de soluții (vezi capitolul 3). Majoritatea acestora pretind, sau pot fi îmbunătățite prin, o proiectare corectă a unei componente a rețelei și anume algoritmul de planificare. Deși ponderea sa este redusă, el constituie o componentă critică a oricărei scheme de control a congestiei.

Mecanismele de control pot fi clasificate în două categorii, în funcție și de tipul de trafic, [Ne] și anume: i) mecanisme în buclă deschisă asociate traficului “garantat” sau “capitalist”, respectiv, ii) mecanismele în buclă închisă, care se ocupă de traficul de efort maxim sau “socialist” [fig 4.1]. În cazul mecanismelor

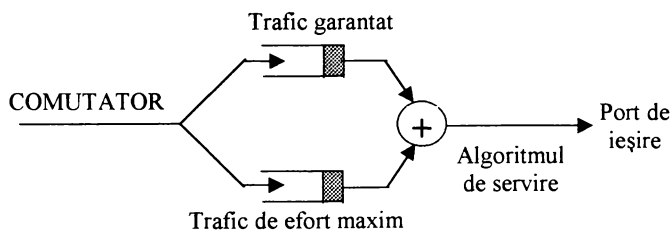


Fig. 4.1 Tampon de ieșire cu două clase de trafic

în buclă deschisă, fiecare aplicație specifică parametrii traficului (rata de vârf, rata medie, rafala, etc.) în momentul stabilirii apelului, precum și pretențiile asupra calității serviciului (întârziere, jitter, rata de pierderi, etc.). Funcție de acești parametri, rețeaua alocă necesarul de resurse (lățime de bandă a liniei, memorie în comutare) aplicației respective. Acest mod de lucru implică de fapt existența rețelelor orientate pe conexiune. În aceste rețele algoritmul de planificare se ocupă cu alocare dinamică a resurselor rețelei, la fiecare nod din rețea, astfel încât pachetele să aibă garantată o anumită întârziere, să nu apară

pierderi de pachete și asigurarea acestor servicii să fie independentă de comportarea celorlalte aplicații [SVI, PS, Kav, Kas]. În același timp, planificarea nu trebuie să afecteze utilizarea capacității liniei.

La controlul în buclă închisă participă traficul de efort maxim. Nodurile terminale verifică starea rețelei și modifică traficul aplicațiilor astfel încât ele să primească o parte egală, corectă din resursele rețelei, fără să introducă congestia. Pentru detectarea stării rețelei și informarea nodurilor terminale asupra acestui lucru au fost propuse o serie de metode [KKK, Kas, LHM, MS, RE, JSD, JK]. La apariția congestiei sursele vor fi informate într-un interval RTT și trebuie să-și reducă rata de transmisie pentru evitarea congestiei. Unele dintre aceste metode depind de metode sofisticate de planificare, și își pot îmbunătăți performanțele funcție de acestea. Câteva dintre acestea sunt: pachetele perechi, controlul traficului nod la nod, dirijarea multicăii orientată pe congestie și cîmar metode bazate pe rată. Toate pretind de fapt un algoritm de planificare a traficului care să asigure pentru fiecare aplicație împărțirea corectă a lățimii de bandă a liniei. Chiar și schemele de control a fluxului bazate pe rată pentru serviciul ABR în rețelele ATM, își îmbunătățesc vizibil comportarea (comportarea în regim tranzitoriu, imparțialitatea și întârzierea) în prezența algoritmilor de planificare. În plus, protocoalele de nivel superior, ca TCP/IP, obțin un debit eficient mai mare, iar mecanismele de urmărire (policing) pot fi considerabil simplificate [BM, DS, KLO, MS, PT, DK, JL, RL, KalV].

Cum nici o rețea din lume nu transportă trafic de un singur tip, rezultă că atât metodele în buclă închisă cât și cele în buclă deschisă vor trebui integrate în rețea, pentru a putea să satisfacă cererile diferitelor aplicații. Controlul în buclă deschisă va fi utilizat pentru traficul de timp real, iar controlul în buclă închisă pentru traficul de date și nu de timp real. Dar cum linia nu poate fi partajată de doi algoritmi, rezultă că același algoritm de planificare trebuie să satisfacă cerințele ambelor tipuri de trafic. În plus, algoritmul trebuie să se supună constrângerilor impuse de mecanismul tamponelor de memorie a comutatorului și arhitecturii hardware a acestuia.

O altă problemă care apare la proiectarea algoritmilor de planificare a traficului, TSA (Traffic Scheduling Algorithm), este cauzată de creșterea vitezei liniilor, ceea ce duce la necesitatea implementării hardware a algoritmului. În rețelele ATM, cu pachetele (celulele) de 53 octeți, planificatorul trebuie să fie capabil să-și încheie operațiile în intervalul de transmisie a unei celule. Dacă linia are viteza de 622 Mbps acest timp este mai mic de 680 ns. Deci complexitatea implementării este un factor dominant în selecția TSA.

Comutatoarele se pot clasifica după modul de memorare a pachetelor [SV2, CT, LC, PB], în: i) comutatoare cu memorare la intrare, IBS (Input Buffered Switch), ii) comutatoare cu memorare la ieșire, OBS (Output-Buffered Switch). La prima categorie IBS, cum pachetele sunt memorate la intrarea comutatorului, planificarea traficului poate fi simplificată prin împărțirea problemei pe două niveluri: i) planificarea transmisiei între porturile de intrare ale comutatorului, care transmit la un port comun de ieșire și ii) planificarea pachetelor pentru portul de intrare ales. La comutatoarele OBS, pachetele sunt

disponibile pentru transmisie imediat ce sosesc în comutator și pot fi tratate ca fiind memorate la porturile de ieșire.

Trebuie identificate soluțiile de planificare apărute până în prezent și caracterizate în funcție de necesitățile impuse de rețelele cu servicii integrate. Trebuie relevate cele mai importante caracteristici ale TSA și definită metrica performanțelor. Trebuie separată analiza TSA pentru IBS și OBS.

4.1. Planificarea traficului în IBS

Există o mulțime de modele de comutatoare propuse [SV2, SSL]. Cea mai răspândită arhitectură este cea a comutatoarelor fără blocare, de obicei implementată în rețele cu comutatoare crossbar. Acesta fiind modelul luat în considerare în cele ce urmează, presupunem că acest comutator este capabil să transmită orice set de pachete oferite la intrarea sa, fără blocare internă, când porturile destinație ale pachetelor sunt distincte.

În IBS (figura 4.2) pachetele sunt memorate în porturile de intrare ale comutatorului și trebuie stabilit un set de căi pentru transmiterea lor de la intrarea la ieșirea acestora. Planificarea se poate face în două etape: i) stabilirea

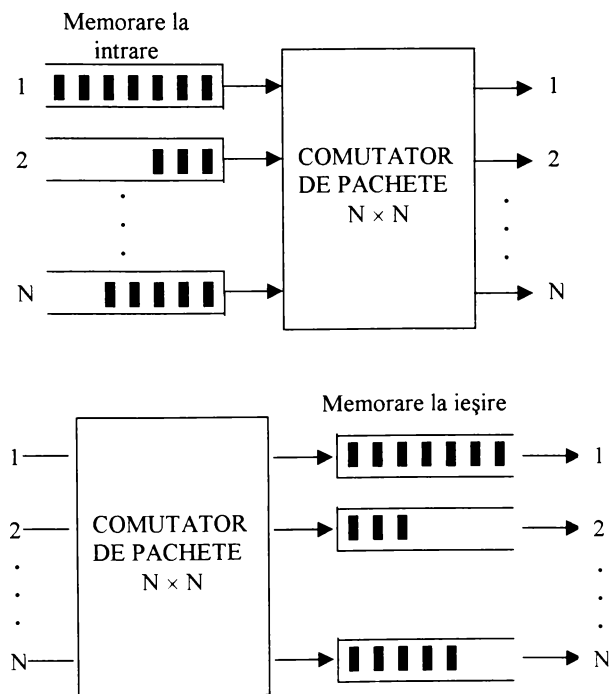


Fig. 4.2 Comutatoare cu memorare la intrare și la ieșire

căilor de transmitere a pachetelor de la intrarea la ieșirea comutatorului, conform cu destinația acestora; ii) selectarea pachetului de transmis, dintre pachetele care așteaptă la intrare și sunt destinate portului de ieșire ales (figura 4.3). Prima etapă este problema principală a comutării între intrare și ieșire. Chiar în cazul

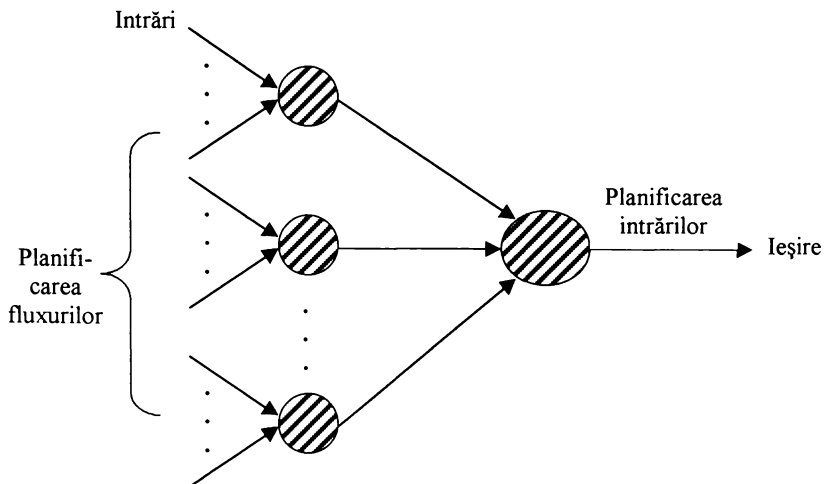


Fig. 4.3 Panificarea în două etape la comutatoarele IBS

comutatorului fără blocare, cererile conexiunilor trebuie să concureze cu alte cereri. Dacă două pachete sosesc la două porturi de intrare diferite, dar sunt direcționate la același port de ieșire, doar unul va putea fi transmis imediat, iar celălalt va trebui păstrat în tampon. Acesta este conflictul de ieșire. Metoda folosită pentru memorarea pachetelor are o mare influență asupra costului și performanței implementării. Ideea memorării pachetelor la intrarea comutatorului este simplă și ușor de implementat prin hardware. Dar apare o mare problemă, a blocării începutului cozii HOL, (Head-of-Line Blocking), când un pachet dintr-o coadă de așteptare nu poate fi transmis chiar dacă destinația solicitată este liberă, din cauza conflictului de ieșire la capul cozii. Conflictul HOL reduce eficiența IBS crossbar la aproximativ 58% din capacitatea sa, în condițiile unui trafic uniform distribuit.

Performanța IBS crossbar poate fi îmbunătățită permițând comutatorului să aleagă unul din cele câteva pachete din coadă pentru a fi transmis într-un ciclu. Dacă se folosește o fereastră de memorare W , oricare din primele W pachete din coadă poate fi transmis. Îmbunătățirea este considerabilă față de cozile strict FIFO, chiar cu ferestre mici. Dacă planificatorul are acces la mai mult de un pachet din fiecare tampon de intrare, eficiența poate fi maximizată prin asocierea pachetelor din cozile de intrare cu porturile de ieșire, astfel încât în fiecare ciclu să se transmită cel mai mare număr posibil de pachete.

Problema comutării unui număr maxim de pachete în IBS crossbar, cu acces aleator la cozi, sau prin ferestre, poate fi redusă la o problemă de asociere într-un graf din două părți [SV]. Graful bipartit este construit reprezentând

fiecare port de intrare / ieșire printr-un vârf (punct) în primul / al doilea grup. Fiecare pachet accesibil este reprezentat printr-o legătură (muchie) de la vârful reprezentând intrarea la care este memorat pachetul, la vârful reprezentând portul de ieșire spre care este direcționat pachetul.

Asocierea bipartită încearcă să maximizeze numărul de legături din primul grup, conectată la al doilea grup, prin alegerea unui subset de legături astfel încât nici o legătură să nu aibă vreun vârf comun; acest lucru este echivalent cu faptul că cel mult un pachet să fie comutat dinspre fiecare port de intrare spre fiecare port de ieșire, într-un ciclu.

Asocierea este maximală, dacă adăugarea unui nou pachet la asocierea existentă ar altera asignările curente. În asocierea maximală, pachetele sunt fie planificate fie blocate. Dacă în toate asocierile numărul de pachete planificate este maxim, atunci s-a atins asocierea maximă. Asocierea maximă este întotdeauna și maximală, dar reciproca nu este întotdeauna adevărată. Asocierea maximală nu conține niciodată mai puțin de jumătate din numărul de legături ale asocierii maxime, pentru respectivul graf bipartit.

Cele mai sus afirmate se pot folosi și în cazul în care intrările solicită porțiuni inegale din banda legăturii de ieșire și, chiar în cazul asocierii maxime se poate ajunge la inechitate și instabilitate [BC, BT, HLG, LC, LM, LeSe, MS]. În plus, nici un TSA pentru IBS nu conține vreun mijloc pentru a asigura garantarea benzii.

4.2 Planificarea traficului în OBS

În comutatoarele OBS, cu memorarea pachetelor la ieșire, pachetele care sosesc la intrare sunt disponibile imediat pentru transmisie pe legătura de ieșire. Rolul planificatorului este să selecteze pentru fiecare legătură de ieșire, dintre pachetele disponibile, aparținând fluxurilor care partajează legătura, pachetul de transmis în ciclul următor. Astfel, planificatorul poate selecta imediat oricare dintre aceste pachete pentru transmisie (figura 4.4). În plus se presupune că pachetele nu sunt secționare, adică nu se începe transmisia unui pachet înainte de recepționarea ultimului bit din pachet.

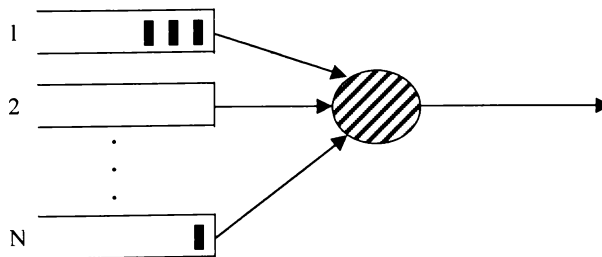


Fig. 4.4 Planificarea la comutatoare TSA

Implementarea TSA poate fi făcută prin hardware sau software. În rețelele ATM, unde pachetele sunt celule de dimensiune redusă și fixă, se practică o implementare prin hardware. În rețelele cu comutare de pachete cu lungimi mai mari de pachete, ca de obicei în Internet, algoritmul poate fi implementat prin software.

Pentru alocarea benzii și planificarea transmisiei la comutatoarele OBS sunt cunoscute o serie de discipline [ZK]. Planificatoarele pot fi, în general, cu sau fără conservarea lucrului. Un planificator cu conservarea lucrului nu este inactiv niciodată când există vreun pachet memorat în sistem, dar planificatorul fără conservarea lucrului poate rămâne inactiv în acest caz. Un server poate amâna transmisia unui pachet când așteaptă sosirea iminentă a unui pachet de prioritate mai mare, chiar dacă starea sa curentă e inactivă. Pentru rețelele ATM unde timpul de transmisie a unui pachet este foarte mic, acest mod de lucru nu se justifică. Algoritmul fără conservarea lucrului se mai poate folosi pentru controlul jitter-ului întârzierii prin întârzierea pachetelor sosite prea de vreme. Serverele cu conservarea lucrului au întotdeauna întârzieri medii de vârf mai reduse decât cele fără conservarea lucrului. Dintre planificatoarele cu conservarea lucrului fac parte: GPS (Generalized Processor Sharing) [Kes, PG1, PG2, DKS, BT, XL, SV, VS, BZ, GV, GoV, ZK, DKS], VCL (Virtual Clock), FQ (Fair Queuing), WFQ (Weighted Fair Queuing), DEDD (Delay Earliest Due Date), WRR (Weighted Round Robin) și DRR (Deficit Round Robin). Ca planificatoare fără conservarea lucrului pot fi menționate: HRR (Hierarchical Round Robin), SGQ (Stop-and-Go Queuing), și JEDD (Jitter Earliest-Due-Date).

Altă clasificare a planificatoarelor poate fi făcută după structura internă și anume: TSA cu priorități sortate, respectiv TSA bazate pe cadre. La TSA cu priorități sortate există o variabilă globală, timpul virtual, asociată fiecărei legături de ieșire a comutatorului. Variabila este actualizată de fiecare dată când un pachet sosește sau este servit. Fiecărui pachet i se asociază o etichetă de timp, calculată ca funcție de această variabilă. Pachetele sunt sortate funcție de eticheta lor de timp și transmise în această ordine. Complexitatea implementării algoritmilor cu priorități sortate depinde de doi factori: i) complexitatea actualizărilor listelor de prioritate și selectarea pachetului de prioritate maximă, care este de cel puțin $O(\log V)$, V fiind numărul de conexiuni care partajează linia de ieșire, și ii) complexitatea calculării etichetelor de timp ale fiecărui pachet, care depinde de fiecare algoritm. De exemplu, menținerea timpului virtual în WFQ implică procesarea a maxim V evenimente pe durata de transmisie a unui singur pachet, în timp ce calculul etichetelor de timp la algoritmul ceasului virtual VCL, poate fi făcut într-un timp $O(1)$.

La planificatoarele bazate pe cadre, timpul e divizat în cadre de lungime fixă sau variabilă. Rezervarea sesiunii se face în sensul volumului maxim de trafic care i se permite sesiunii să-l transmită în timpul unei perioade. Planificatoarele HRR și SGQ folosesc cadre de lungime constantă. În consecință serverul poate rămâne inactiv, dacă sesiunea transmite trafic mai redus decât rezervarea făcută pentru acel cadru. În contrast WRR și DRR permit o variație,

până la o valoare maximă, a dimensiunii cadrului. Astfel că, dacă volumul de trafic este inferior celui rezervat, poate fi pornit un cadru nou mai repede. Ambele planificatoare sunt deci cu conservarea lucrului.

Garantarea serviciilor implică protejarea clienților de către rețea, față de comportarea incorectă a unor surse și față de fluctuațiile rețelei. Sursele cu comportare incorectă pot transmite pachete la o rată mai mare decât cea alocată, iar fluctuațiile rețelei pot genera o rată de sosire instantanee mai mare pe un canal la un comutator oarecare, chiar dacă la intrarea în rețea canalul satisface constrângerile alocării de bandă. Distorsionarea traficului de către fluctuațiile rețelei sugerează ca protecția să fie implementată în interiorul rețelei folosind o disciplină de serviciu bazată pe rata [ZK]. Asemenea discipline asigură protecția prin alocarea unei rate de serviciu garantată pentru fiecare canal, indiferent de comportarea celorlalte canale.

Disciplinele de serviciu bazate pe rată pot fi clasificate în două categorii, în funcție de politica adoptată: i) disciplinele de serviciu cu alocarea ratei care servesc pachetele care au o rată mai mare, atâta timp cât nu afectează performanța celorlalte canale. Acestea sunt discipline cu conservarea lucrului, dintre care pot fi amintite Delay-EDD, Virtual Clock și Fair Queuing, și ii) disciplinele de serviciu cu rată controlată, care nu servesc sub nici un motiv pachete cu rate mai mari. Ca exemple sunt Stop-and-Go, Jitter-EDD, HRR. Toate aceste discipline sunt fără conservarea lucrului, ceea ce nu este o coincidență: doar disciplinele fără conservarea lucrului pot oferi o margine superioară a ratei serviciului pe canal.

4.2.1 Planificatoare reprezentative

În literatură au fost propuse un număr mare de TSA. În acest paragraf vor fi prezentate cele mai importante planificatoare și proprietățile lor.

4.2.1.1 Primul sosit primul servit, FCFS

Cea mai simplă disciplină de servire având o coadă cu priorități sortate este disciplina FCFS (First-Come First-Served) sau FIFO (First-In First-Out). Ordinea sosirii pachetelor determină complet ordinea servirii. Eticheta de timp asignată fiecărui canal este chiar timpul de sosire a pachetului, iar pachetele sunt servite conform timpului lor de sosire. Marele dezavantaj al FCFS este că nu oferă nici un fel de izolare între canale. Dacă unul din canalele virtuale prezintă rafale mari, el va determina creșterea întârzierii pentru celelalte surse, afectându-le astfel calitatea serviciului. FCFS nu poate oferi nici o garanție despre întârzierea limită sau abaterea acesteia, independent de starea rețelei. O sursă care trimite pachete cu viteză mare, poate monopoliza o parte arbitrară din lățimea de bandă a liniei de ieșire.

4.2.1.2 Servirea imparțială, FQ

Ideea de bază la FQ este simplă [Kes]: dacă există N canale care partajează o linie de ieșire, atunci fiecare va primi $1/N$ din lățimea de bandă a acestuia, cu rezerva că dacă vreun canal utilizează mai puțină bandă decât cea alocată, diferența este egal distribuită celorlalte. Acest lucru ar putea fi obținut printr-o explorare carusel bit cu bit a canalelor BR (Bit-by-bit Round-Robin), ceea ce e total nepractic, deci FQ, doar încearcă să emuleze BR. Fiecărui pachet i se asociază un număr de sfârșit, care corespunde numărului trecerii în care ar fi servit, dacă serverul ar rula BR. Apoi pachetele sunt servite în ordinea numărului de sfârșit, ceea ce face ca FQ să emuleze BR [ZK]. Dacă se acordă ponderi canalelor, li se pot aloca părți diferite de bandă; ponderea corespunde numărului de biți primiți de canal într-o trecere dacă s-ar rula serviciul BR. În acest caz se obține WFQ (vezi paragraful 4.2.1.4.).

La viteze mari implementarea lui FQ este dificilă deoarece pretinde $O(\log(n))$ operații pe pachet, unde n este numărul de fluxuri conectate (backlogged) care concurează în comutator. Un flux se numește conectat pe o perioadă T a unei execuții, dacă pe acea perioadă coada nu este niciodată vidă.

4.2.1.3 Servirea imparțială stohastică, SFQ

Variantă stohastică a servirii imparțiale a fost propusă de McKenney [SV] pentru a elimina deficitele schemei propusă de Nagle, care a propus ca alocarea într-un comutator alocarea benzii liniei de ieșire fluxurilor de intrare să se facă în funcție de flux, și nu după topologie (vezi figura 3.2). În alocarea după topologie, banda primită de fluxuri scade exponențial cu numărul de noduri traversate. Dacă W e lățimea liniei de ieșire a comutatorului $C3$, fluxul $F4$ va primi $W/2$, $F3$ va primi $W/4$ iar $F1$ și $F2$ câte $W/8$. Apoi Nagle a propus ca fiecare flux posibil să aibă o coadă separată pentru pachetele sale, explorate RR. Dezavantajul schemei este că nu se ține cont de lungimea pachetelor, ceea ce poate duce la alocări de bandă mai avantajoase fluxurilor cu pachete de dimensiune mare.

În servirea imparțială stohastică SFQ (Stochastic Fair Queuing) se folosește rafinarea și înlanțuirea pentru asocierea identificatorilor de pachete cu cozile corespunzătoare lor. Deși ar trebui să existe teoretic câte o coadă pentru fiecare flux posibil, McKenney sugerează că sunt suficiente mai puține, deoarece toate fluxurile care sunt rafinate în aceeași găleată sunt tratate la fel. Numărul de cozi trebuie să fie un multiplu redus al numărului fluxurilor active. Scade și complexitatea calculului rafinării, față de $O(I)$ actualmente. Dezavantajul este tratarea neimparțială a fluxurilor care intră în coliziune. Garantarea imparțialității este probabilistică. Dacă indexul de rafinare este suficient de mare față de numărul de fluxuri active prin comutator, probabilitatea non-imparțialității e mică. Servirea cozilor se face RR, fără a ține cont de lungimea pachetelor. Dacă nu există tamponare libere pentru memorarea

pachetului, ultimul pachet al celei mai lungi cozi e distrus. Implementarea “furtului” de tamponare se face într-un timp $o(1)$, folosind tehnica găleții de sortare. Contribuțiile majore ale autorului sunt: algoritmul furtului de tamponare și ideea folosirii rafinării și ignorarea coliziunilor.

4.2.1.4 Ceasul virtual, VCL

Disciplina VCL încearcă să emuleze TDM, la fel cum FQ emulează BR [XL]. Fiecărui pachet i se asignează un timp virtual de transmisie, timpul la care pachetul ar fi transmis dacă ar rula TDM; într-un exemplu simplificat, dacă unui client i se alocă o rată a serviciului de 5 pachete / secundă, pachetelor de intrare de la acel client li se pune eticheta de timp de 0,2 secunde fiecare. Prin transmiterea pachetelor în ordinea timpului virtual, VCL emulează TDM.

Timpul virtual de transmisie se determină prin măsurarea ratei de sosire a pachetelor precedente și cu rata medie de sosire specificată de utilizator. Eticheta TS_i^k este asociată cu pachetul k din conexiunea i . Dacă pentru această conexiune i , timpul real de sosire este AT , a pachetului de dimensiune L_i^k , și ρ_i este rata rezervată conexiunii i , atunci eticheta de timp asociată acestui pachet va fi:

$$TS_i^k \leftarrow \text{Max}(AT, TS_i^{k-1}) + \frac{L_i^k}{\rho_i}$$

Dacă pachetul a sosit mai târziu decât era așteptat el va fi lăsat după un timp maxim L_i^k / ρ_i . Dacă el sosește mai devreme, în cel mai rău caz el va fi lăsat la momentul $TS_i^{k-1} + L_i^k / \rho_i$. Cazul cel mai defavorabil perceput de o aplicație nu va fi influențat de comportarea celorlalte conexiuni.

4.2.1.5 Procesorul generalizat, GPS

Partajarea cu procesorul generalizat GPS (Generalized Processor Sharing), este o disciplină de planificare ideală (fig. 4.5). Multiplexarea GPS este definită ținând cont de modelul de tip fluid, în care pachetele sunt considerate infinit divizibile. Partajarea benzii rezervată de sesiune i este reprezentată de numărul real ϕ_i . Fie $B(\tau, t)$ setul de conexiuni existente în

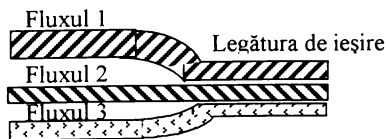


Fig. 4.5 GPS presupune divizibilitatea infinită a pachetelor. La fiecare moment pot fi servite conexiuni multiple proporțional cu rezervarea

intervalul $(\tau, t]$. Dacă r este rata serverului, serviciul $W_i(\tau, t)$ oferit conexiunii i care aparține de $B(\tau, t)$ este proporțional cu ϕ_i . Aceasta înseamnă că:

$$W_i(\tau, t) \geq \frac{\phi_i}{\sum_{j \in B(\tau, t)} \phi_j} r(t - \tau). \quad (4.2)$$

Serviciul minim pe care această conexiune îl poate primi în orice interval de timp este:

$$\frac{\phi_i}{\sum_{j=1}^V \phi_j} r(t - \tau), \quad (4.3)$$

unde V este numărul maxim de conexiuni care pot exista în server în același timp. Astfel, GPS servește fiecare conexiune la o rată minimă cel puțin egală cu rata sa rezervată; în plus, excesul de bandă disponibilă de la sesiunile care nu-și folosesc rezervările este distribuit celorlalte conexiuni, proporțional cu rezervările lor. Efectul este o izolare perfectă, o imparțialitate ideală și întârzieri cap la cap scăzute ale sesiunilor.

Versiunea pachet cu pachet a algoritmului, cunoscută ca PGPS sau alocarea imparțială ponderată WFQ (Weighted Fair Queuing) a fost definită în termenii ceasului care este crescut cu o rată egală cu

$$\frac{1}{\sum_{i \in B(\tau, t)} \phi_i}. \quad (4.4)$$

Sistemul GPS este stimulat cu cel pachet cu pachet pentru a identifica setul de conexiuni conectate la fiecare moment. Timpul virtual $v(t)$ este o funcție liniară de timpul real t , și panta sa se schimbă în funcție de numărul de sesiuni ocupate și ratele lor de serviciu. La sosirea unui nou pachet, timpul virtual trebuie calculat primul. Atunci se calculează eticheta de timp asociată pachetului k a canalului virtual i astfel:

$$TS_i^k \leftarrow \max(TS_i^{k-1}, v(t)) + \frac{L_i^k}{\phi_i}, \quad (4.5)$$

unde L_i^k este dimensiunea pachetului k . Recent a fost propus o variantă îmbunătățită a lui WFQ și anume cazul cel mai defavorabil al servirii imparțiale ponderate W^2FQ (Worst – case WFQ) pentru a crește și mai mult imparțialitatea algoritmului.

În ambele abordări, maxim V evenimente pot fi comutate în simulatoarea GPS pe durata transmisiei unui pachet. Astfel, procesul de luare a unei decizii este $O(V)$, ceea ce face ca implementarea algoritmului să fie costisitoare și în cele mai multe cazuri prohibitivă.

4.2.1.6 Servirea imparțială cu autosincronizarea, SCFQ

Pentru a reduce complexitatea lui WFQ, a fost impusă o implementare aproximativă, denumită SCFQ (Self Clocked Fair Queueing). În această implementare, eticheta de timp la sosirea unui pachet este calculată în funcție de pachetul curent aflat în serviciu. Astfel, dacă TS_{crit} indică timpul pachetului în serviciu, și dacă noul pachet este pachetul k al sesiunii i , eticheta de timp a noului pachet se calculează astfel:

$$TS_i^k \leftarrow \text{Max}(TS_{crit}, TS_i^{k-1}) + \frac{L_i^k}{\phi_i}. \quad (4.6)$$

Complexitatea algoritmului se reduce mult în acest fel. Prețul plătit constă în reducerea gradului de izolare dintre sesiuni, ceea ce face ca limita întârzierii cap la cap să crească liniar cu numărul de sesiuni care partajează linia de ieșire. Astfel cazul cel mai defavorabil al întârzierii unui sesiuni nu mai poate fi controlat doar prin controlul rezervării sale, ca în PGPS. Întârzierile cap la cap mai mari afectează și gradul de rafală al sesiunii în rețea crescând necesarul de memorie.

4.2.1.7 Planificarea cu oprire și pornire, SG

Planificarea cu oprire și pornire SG (Stop and Go) menține traficul “neted” la traversarea prin rețea [ZK] fiind propusă de Golestani I. Timpul este divizat în cadre de durată T , atât pentru liniile de intrare cât și pentru liniile de ieșire. Într-un cadru sunt eligibile pentru transmisie doar pachetele sosite în cadrul precedent. Astfel se introduce o întârziere constantă, θ , $0 \leq \theta \leq T$. Toate pachetele care sosesc într-un cadru și merg spre o anumită legătură de ieșire sunt întârziate cu θ și sunt puse în cadrul de plecare corespunzător. Conform disciplinei SG, transmisia unui pachet poate fi amânată până la începutul următorului cadru și deci algoritmul este fără conservarea lucrului. Dacă numărul maxim de pachete care pot ajunge la o conexiune, în timpul unui cadru nu depășește numărul de diviziuni rezervate din cadru, algoritmul poate asigura o limită pentru întârziere și pentru jitterul întârzierii. Prima problemă care apare este că din cauză că sistemul este fără conservarea lucrului, nu există câștigul multiplexării statistice. A doua problemă este cea a fineței de alocare a benzii. Deoarece atât întârzierea cât și jitterul întârzierii sunt proporționale cu dimensiunea cadrului sunt preferate cadrele mici. Totuși pentru a permite o alocare cât mai fină a benzii, dimensiunea cadrului trebuie să fie mare. SG permite deci lucrul cu dimensiuni multiple de cadre. În interiorul unui cadru, ordinea de servire este arbitrară.

4.2.1.8 Planificarea carusel, RR

La planificatoarele carusel, RR (Round Robin) axa de timp este împărțită în cadre, de dimensiune maximă F . În plus, deoarece fluxurile pot avea cerințe

diferite asupra benzii de frecvență, numărul de pachete care pot fi servite într-un cadru este limitat. Fiecărei conexiuni îi este asociat un contor de credite, care este decrementat de fiecare dată când este servit un pachet al acelei conexiuni. La începutul fiecărui cadru numărătorul este inițializat la valoarea traficului maxim pe care îl poate transmite conexiunea în cadrul respectiv; dacă numărătorul de credite este zero, conexiunea nu este eligibilă pentru serviciu. Ca și în SGQ întârzierea maximă este proporțională cu dimensiunea maximă a cadrului. Necesitatea unui alocări cât mai rafinate a benzii de frecvență face să se adopte cadre de dimensiuni mari și deci crește limita întârzierii cap la cap. Planificarea RR poate fi pârinitoare dacă fluxurile folosesc pachete de lungimi diferite.

4.2.1.9 Planificarea carusel cu recuperarea deficitului, DRR

Problema principală a servirii carusel este nonimparțialitatea cauzată de lungimea diferită a pachetelor [SV]. Planificarea carusel cu deficit DRR (Deficit Round Robin) înlătură acest dezavantaj, menținând dezideratul timpului constant. Asigurarea fluxurilor se face ca la SFQ, iar servirea cozilor se face ca la RR, cu un “cuantumul” al serviciului asignat fiecărei cozi. Diferența față de RR este că în cazul în care o coadă nu a putut transmite un pachet într-o rundă precedentă din cauza lungimii prea mari, restul cuantumului precedent se adaugă la cuantumul pentru runda următoare. Astfel deficitul va fi recuperat, (vezi figura 4.6). La început, toate variabilele CD (contor deficit) sunt inițializate la

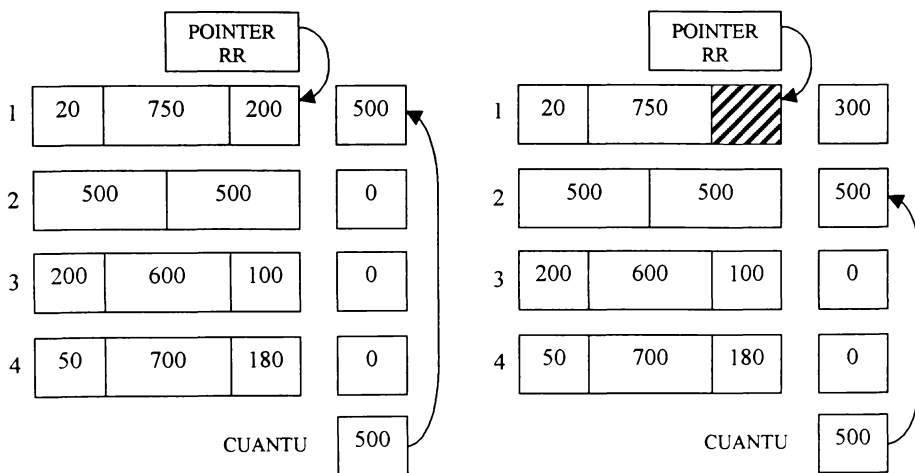


Fig. 4.6 Planificarea carusel cu recuperarea deficitului DRR

valoarea zero. Indicatorul RR indică spre capul listei active. Când prima coadă este servită valoarea 500 a cuantumului este adăugată la valoarea CD, (fig. 4.5a). După transmiterea pachetului cu lungimea 200, primei cozi îi rămân în CD, 300

de octeți din cuantum, pe care nu îi poate folosi în runda curentă pentru că următorul pachet este 750 octeți. Astfel, în runda următoare va putea trimite un pachet de 800 de octeți, format din 300 octeți deficitul din runda precedentă și 500 octeți cuantumul rundei în curs (fig.4.5b).

4.2.1.10 Planificarea carusel ierarhizată, HRR

Serverul HRR (Hierarchical Round Robin) [BZ, LMS] are câteva niveluri de serviciu, iar fiecare nivel realizează un serviciu carusel pentru un număr fix de diviziuni (vezi figura 4.7). Unui canal îi sunt alocate un anume număr de diviziuni de serviciu și serverul baleiază diviziunile fiecărui nivel ciclic, timpul de baleiere per nivel fiind timpul de cadru al acelu nivel. Ideea de bază a

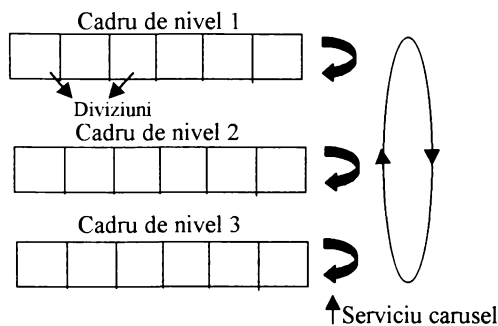


Figura 4.7 Cadre HRR

HRR este alocarea unui părți constante de bandă fiecărui nivel. Nivelurile superioare primesc o bandă de frecvențe mai mare decât cele inferioare, astfel că timpul de cadru alocat nivelurilor superioare este mai mic decât timpul de cadru al nivelurilor inferioare. Deoarece serverul realizează întotdeauna un ciclu complet de parcurgere al diviziunilor într-un cadru el poate furniza o limită a întârzierii canalelor alocate acelu nivel.

4.2.1.11 Planificarea cu întârzierea datei planificată anterior, DEDD

În planificarea clasică EDD (Earliest Due Date) fiecărui pachet îi este asignat un timp de expirare iar pachetele sunt transmise în ordinea crescătoare a acestuia. DEDD (Delay EDD) este o extensie a acesteia, în care serverele negociază câte un contract de serviciu cu fiecare sursă. Contractul stabilește că dacă sursa respectă o anumită rată maximă și medie, atunci serverul va furniza o limită a întârzierii. Problema cheie este asignarea timpilor de expirare a pachetelor. Serverul asignează timpul de expirare la timpul la care el ar trebui trimis ca să fie recepționat conform contractului. Acesta este tocmai timpul estimat de sosire însumat cu întârzierea limită din server. De exemplu, dacă un client promite că va transmite pachete la fiecare 0,2 secunde și limita întârzierii

în server este 1 secundă, atunci pachetul k de la client va primi un timp de expirare $0,2 k + 1$. Dacă banda de frecvențe se rezervă conform ratei maxime de transmitere, DEDD poate asigura o întârziere limită sigură fiecărui canal.

4.2.1.12 Planificarea DEDD cu controlul jitterului, JEDD

Disciplina JEDD (Jitter EDD) extinde DEDD pentru a furniza o limită a jitterului, abaterii, întârzierii, atât pentru întârzierea minimă cât și pentru cea maximă. După ce pachetul a fost servit la fiecare server, lui i se înscrie diferența dintre timpul de înscriere și timpul de terminare actual. La intrarea în următorul comutator, un regulator blochează pachetele pe durata acestei diferențe înainte ca el să devină eligibil pentru planificare. Acest lucru furnizează garanția asupra întârzierii minime și maxime. În figura 4.8 este prezentat modul de progresare al pachetului prin două comutatoare adiacente.

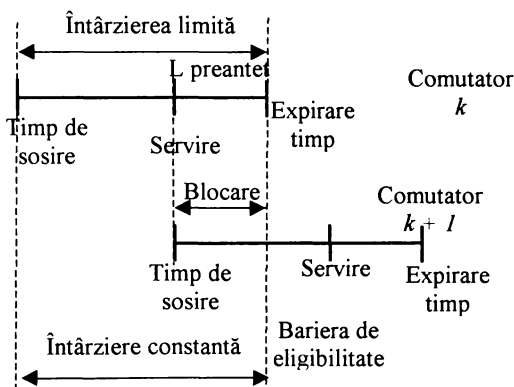


Figura 4.8 Servirea unui pachet la JEDD

4.3 Parametrii planificatoarelor

Există o serie de metode pentru proiectarea planificatoarelor în rețele cu integrarea serviciilor [Ast, BC, CC]. Majoritatea dintre ele pleacă de la ideea că traficul de timp real este prioritar față de traficul de date, aplicând conceptul de priorități statice. Aplicațiile de prioritate mică vor putea folosi resursele rețelei numai dacă nu sunt active aplicații de prioritate ridicată care să solicite acele surse.

În sistemul MARS [SV1] există trei clase de bază pentru trafic și anume: i) traficul cu întârziere garantată este cel mai prioritar, ii) traficul care pretinde doar o margine pentru pierderea de celule constituie a doua clasă și iii) traficul de efort maxim, cel mai puțin prioritar, constituie a treia clasă. Sistemul asigură garanții pentru întreaga clasă de trafic nu pentru conexiunile individuale; astfel orice conexiune dintr-o anumită clasă de trafic poate să afecteze performanța

celorlalte conexiuni ale clasei. Prin simulare se identifică condițiile în care sistemul poate garanta o anumită performanță. Controlul admisiei se face în urma rezultatelor simulărilor, rezultate care depind de caracterizarea traficului. Dar pe măsură ce apar noi aplicații, caracterizarea devine imposibil de făcut.

Clark, folosește o metodă similară de caracterizare a claselor de trafic, deși metoda de asigurare a garanțiilor diferă. Sunt tot trei clase de trafic și anume: i) traficul cu întârziere garantată are prioritate maximă. Se folosește aici o planificare imparțială ponderată WFQ (Weighted Fair Queuing) pentru izolare conexiunilor clasei, ii) aplicațiile adaptive formează clasa următoare care pot folosi doar lățimea de bandă rămasă de la prima clasă. Controlul admisiei pentru această clasă este extrem de dificil, din cauza priorităților statice dintre cele două clase; iii) traficul de efort maxim folosește doar lățimea de bandă rămasă de la primele două.

Soluția Tenet [KKMMR] introduce trei tipuri de garanții de QOS și anume: i) garanții deterministe pentru clasa cea mai prioritară prin admisie pe baza ratei de vârf și folosirea disciplinei de planificare DEDD. Implementarea este costisitoare deoarece pretinde remodelarea traficului fiecărei conexiuni în fiecare comutator; ii) garanții statistice pentru clasa a doua de prioritate. Controlul admisiei se face pe baza ratei de vârf și ratei medii a conexiunilor, iii) nici o garanție pentru traficul de efort maxim.

Cea mai generală abordare este cea a lui Sriram [SV1] care propune o arhitectura unificată de planificare, independentă de prioritățile statice. Pentru toate clasele de trafic este folosit un planificator comun, de tip carusel ponderat WRR (Weighted Round Robin). Cele două clase sunt: i) clasa aplicațiilor cu întârziere garantată încărcate într-o coadă separată a planificatorului RR, care primesc o parte garantată din lățimea de bandă a liniei de ieșire și, ii) clasa aplicațiilor de joasă prioritate, încărcate într-o altă coadă a planificatorului RR. Deși nu există un mecanism de izolare pentru clasele de trafic de prioritate mai mică, schema nu determină blocarea conexiunilor de prioritate mică, ca în metoda priorităților statice. Claselor de prioritate mică li se garantează primirea unei părți minime din lățimea de bandă, chiar dacă există în așteptare pachete cu prioritate ridicată. Totuși, nu sunt afectate marginile întârzierii și productivității.

Necesitatea alocării unei benzi minime traficului de efort maxim a fost sesizată și de Clark, precum și de specificațiile pentru traficul ABR ale Forumului ATM [SV1, SV]. Unele din metodele precedente presupun lucrul în mod nonconservativ pentru clasa de prioritate maximă, astfel încât să poată fi servită și clasa de prioritate mică. Deci, algoritmul de planificare trebuie să funcționeze ca un mecanism central de distribuire a benzii între conexiunile de prioritate maximă cu garantarea întârzierii și conexiunile de prioritate mai mică.

Clasificările mecanismelor de planificare țineau cont fie de arhitectura internă a planificatorului fie de modul de lucru conservativ sau nu, ignorând cerințele reale ale aplicațiilor. Conform cu aceste cerințe, câteva caracteristici ale planificatoarelor sunt:

- 1) Scalabilitatea: algoritmul trebuie să poată lucra bine în comutatoare cu un număr mare de conexiuni și cu linii cu o gamă extinsă de viteze.

- 2) **Întârzierea redusă cap la cap:** algoritmul trebuie să poată garanta întârzierea cap la cap pentru sesiunile individuale. În modul de lucru conservativ, întârzieri scăzute cap la cap implică un necesar redus de tampoane de memorie pentru a garanta că nu se pierd pachete. Astfel, selectarea unui anume planificator poate afecta direct costul implementării.
- 3) **Izolarea fluxurilor:** algoritmul trebuie să izoleze sesiunea unei aplicații de efectul nedorit al altor sesiuni, care pot avea o comportare necorespunzătoare, pentru a fi capabil să mențină garanțiile asupra QOS. Izolarea este necesară dacă se folosesc mecanisme de urmărire pentru formarea fluxurilor în punctele de intrare în rețea, deoarece fluxurile se pot transforma în rafale în rețea [SSD, RB, LT, LSY]
- 4) **Utilizarea:** algoritmul trebuie să folosească eficient lățimea de bandă a liniei, deci trebuie să obțină câștigul maxim prin multiplexarea statistică. El trebuie deci să fie capabil să manevreze eficient sursele în rafală.
- 5) **Imparțialitatea:** lățimea de bandă disponibilă a liniei trebuie împărțită echitabil între conexiuni. Algoritmi cu aceleași garanții despre întârzierea maximă pot diferi semnificativ în ceea ce privește imparțialitatea. Un algoritm neechitabil poate oferi în intervale de timp, rate diferite de serviciu unor conexiuni cu aceeași rată rezervată.
- 6) **Simplitatea implementării:** algoritmul trebuie să fie ușor de implementat, deoarece în rețelele ATM timpul disponibil pentru luarea și îndeplinirea unei decizii a planificatorului este extrem de scurt. Aceasta implică o implementare prin hardware. Implementarea prin software ar fi potrivită la viteze scăzute sau dimensiuni mari de pachete, dar decizia de planificare trebuie luată la rate apropiate de rata pachetelor.

Ținând cont de aceste caracteristici pot fi definite trei măsuri de apreciere a algoritmilor de planificare: i) garanțiile asupra întârzierii cap la cap, ii) imparțialitatea și iii) simplitatea de implementare.

4.3.1 Garanții asupra întârzierii cap la cap

Algoritmul trebuie să garanteze întârzierea cap la cap fără o subutilizare severă a resurselor rețelei. Pentru un algoritm ideal de planificare comportarea întârzierii trebuie să aibă următoarele atribute:

- insensibilitatea la structura traficului altor sesiuni: aceasta este o măsură a gradului de izolare asigurat de planificator sesiunilor individuale;
- întârzierea limită trebuie să fie independentă de numărul de sesiuni care partajează linia de ieșire pentru ca planificatorul să poată lucra și în comutatoare destinate unui mare număr de fluxuri;

momentul 1000 devine și CV2 activ și transmit ambele CV-uri. Planificatorul rulează algoritmul de ceas virtual iar serverul este cu conservarea lucrului, astfel că va servi toate cele 1000 de pachete ale CV1 până la $t = 1000$, următorul pachet de la CV1 va primi eticheta de timp reflectând media serviciului primită de CV1 până la 1000. Astfel CV1 va fi blocată până la $t = 1500$, când etichetele de timp ale CV1 și CV2 devin egale. Dacă nu este limitat gradul maxim de rafală, intervalul în care este interzis serviciul pentru conexiunile active poate crește la infinit.

Planificatorul GPS e la cealaltă extremă, unde nu se menține nici o evidență a utilizării anterioare a benzii. În exemplul precedent GPS va servi egal ambele CV-uri și după $t = 1000$, indiferent că CV1 a primit un serviciu în exces mai înainte. De remarcat este că, conform noii definiții, este inevitabilă o oarecare inechitate pe termen scurt, la orice planificator lucrând la nivel de pachete, atunci când fiecare pachet este servit. În practică putem pretinde doar ca diferența dintre serviciile normalizate primite de două sesiuni să fie constantă și limitată.

4.3.3 Complexitatea implementării

Algoritmul de planificare trebuie să poată fi implementat hardware, în rețele de mare viteză și este de dorit să aibă complexitatea de timp independentă de numărul de conexiuni. Dacă numărul de conexiuni care pot partaja linia de ieșire este V , implementarea planificatorului cu priorități sortate are trei pași principali la procesarea celulelor:

1. Calculul etichetei de timp: planificatorul PGPS are cea mai mare complexitate, deoarece în paralel trebuie emulat planificatorul GPS pentru actualizarea timpului virtual. În cel mai rău caz rezultatul simulării poate duce la un antet $O(V)$ al procesului pe transmisia pachetului. Pe de altă parte, atât la VCL cât și la Self-Clocked FQ, calculul etichetelor de timp necesită doar un număr constant de operații, rezultând complexitatea $O(1)$ în cel mai rău caz.
2. Inserarea în lista cu priorități sortate: prima celulă a fiecărei cozi a sesiunii trebuie memorată într-o listă de priorități sortate. Când o celulă ajunge la o coadă vidă, inserarea sa în lista de priorități pretinde $O(\log V)$ pași;
3. Selecția celulelor cu eticheta minimă de timp pentru transmisie: deoarece celulele sunt memorate într-o structură de priorități sortate regăsirea celulei cu prioritate maximă se face într-un timp $O(\log V)$.

Ultima operație este identică pentru orice arhitectură cu priorități sortate. A fost propusă o implementare paralelă a acestei operații cu o complexitate $O(1)$ de timp, utilizând un set de $O(V)$ de elemente de procesare.

Algoritmii bazați pe cadre ca WRR și DRR pot fi implementați într-un timp $O(1)$, fără nici un calcul de etichetă de timp. Dar acești algoritmi duc la o întârziere care crește liniar cu numărul de sesiuni care partajează linia de ieșire.

Practic, algoritmi de planificare trebuie să realizeze un compromis între complexitatea implementării și celelalte proprietăți dorite ca întârziere scăzută și încheiere pe termen scurt limitată.

Capitolul 5

ALGORITMI DE IMPLEMENTARE A REZERVĂRILOR DE BANDĂ ÎN COMUTATOARE CU MEMORARE LA INTRARE

Problema planificării pachetelor în comutatoarele cu memorare la intrare poate fi simplificată divizând-o în două: i) planificarea transmisiei între porturile de intrare *PI* spre același port de ieșire *PE*, ii) respectiv planificarea pachetului pentru *PI* ales [AOST]. În cele ce urmează va fi tratată doar prima problemă a implementării rezervărilor de bandă între porturile de intrare și de ieșire, pentru o arhitectură fără blocare, ținând cont de limitările comutatoarelor cu memorare la intrare. Problema comutării poate fi redusă la cea a asocierii într-un graf bipartit (vezi § 4.1). Dimensiunea fixă a celulelor ATM permite utilizarea algoritmului de asociere pentru planificare unde, controlerul alege un subset de pachete din cozile de intrare, în fiecare ciclu, și le planifică simultan. Algoritmii optimați existenți pentru asocierea bipartită au o complexitate de $O(N^2)$, N fiind numărul de porturi ale comutatorului. Practic ei nu pot fi folosiți în rețele ATM, unde timpul disponibil este cel de transmisie a unei celule. În plus, ei sunt seriali, deci nu pot beneficia de operarea paralelă pentru a le crește viteza.

5.1 Algoritm paralel de asociere probabilistică iterativă, PIM

Algoritmul paralel de asociere iterativă probabilistică PIM (Probabilistic Iterative Matching), propus de Anderson, Owicki și Saxe [AOST] oferă o asociere maximală pentru planificator fiind simplu și ușor de implementat în hardware.

Scopul algoritmului de planificare propus de Anderson este de a găsi rapid pachetele de intrare – ieșire fără conflicte, luând în considerare doar acele perechi care au celule memorate pentru transmisie. Procesul de asociere determină care intrări și spre ce ieșire vor transmite celule într-o diviziune dată de timp. Se are în vedere, pentru evitarea efectului HAL, un acces aleator la tamponul de intrare, astfel că o intrare poate transmite spre oricare din ieșirile pentru care are celule memorate. Condiția pusă este însă ca fiecare intrare să poată fi asociată cu cel mult o ieșire, respectiv o ieșire să poată fi asociată cu cel mult o intrare. Algoritmul paralel de asociere iterativă propus în [AOST] folosește calculul paralel, accesul aleator și calculul iterativ pentru a realiza

asocierea cât mai eficient. Inițial, toate intrările și ieșirile sunt nesociative. Se parcurg următorii trei pași:

- i) Fiecare intrare are neasociată transmite câte o cerere spre fiecare ieșire pentru care are celule memorate.
- ii) Dacă una din ieșirile neasociate primește câteva cereri, ea va alege în mod aleator una dintre ele, spre care își transmite acordul.
- iii) Dacă o intrare primește câteva acorduri alege aleator unul dintre ele și trimite spre ieșirea respectivă un semnal de acceptare.

Fiecare dintre acești pași se desfășoară independent și în paralel pentru fiecare pereche de porturi de intrare – ieșire. Nu există un planificator central. Astfel, la sfârșitul unei iterații a protocolului, vom avea o asociere legală a intrărilor și a ieșirilor. Deoarece mai multe intrări și nu una singură poate trimite cereri spre aceeași ieșire, în etapa de acord se alege dintre ele, astfel încât fiecare ieșire să fie asociată cu cel mult o intrare. Mai multe ieșiri pot să-și trimită acordul spre aceeași intrare, dacă intrarea a transmis mai multe cereri. În faza de acceptare, această intrare alege unul dintre acordurile primite, astfel încât fiecare să fie asociată cu cel mult o ieșire. Deși după o iterație asocierea este legală mai pot rămâne intrări neasociate cu celule memorate pentru ieșiri neasociate. O ieșire al cărui acord nu a fost acceptat, rămâne aptă de a fi asociată cu una din intrările care n-au primit un accept. Pentru rezolvarea acestei situații se repetă protocolul de cerere, acord și acceptare, fără perechile asociate în iterația anterioară. În abordarea propusă efectul HOL nu mai apare, deoarece se consideră la fiecare iterație toate conexiunile posibile.

În fig. 5.1 este prezentată o iterație a algoritmului paralel de asociere iterativă. Sunt emise cinci cereri, din care trei primesc acordul și două sunt acceptate. Mai departe, la sfârșitul primei iterații, rămâne o cerere, de la intrarea

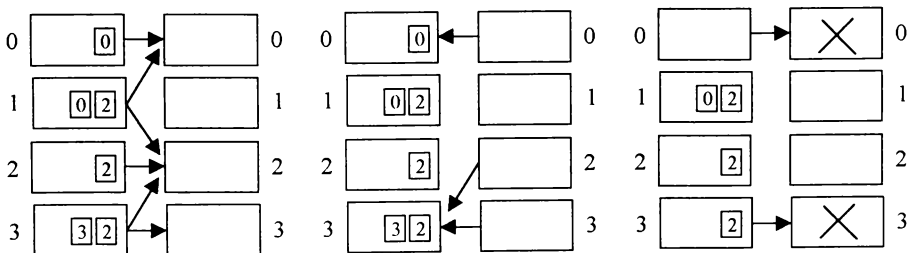


Fig. 5.1 Algoritmul PIM de asociere probabilistic iterativ (0 iterații)

3 la ieșirea 3, neasociată cu ieșirea. Această cerere va fi din nou emisă și i se va transmite acordul și acceptarea în a doua iterație, după care nu mai rămâne alte asocieri de făcut. După un număr de iterații, rezultatul asocierii paralele iterative este folosit la inițializarea comutatorului pentru următoarea diviziune de timp. Celulele sunt atunci efectiv transmise prin comutator și se relansează în lucru algoritmul paralel de asociere iterativă, pentru următoarea diviziune de timp.

Algoritmul ia în considerare, pentru asociere, fluxurile care au deja celule memorate precum și fluxurile ale căror celule au sosit între timp.

Asocierea paralelă iterativă poate fi generalizată pentru operarea în comutatoare pe mai multe niveluri k , ca de exemplu un comutator Batcher – Banyan. Având k niveluri, pentru o singură pereche de intrare – ieșire există k căi distincte prin comutator [Tane]. La un astfel de comutator pot fi livrate aceleași ieșiri, într-o singură diviziune de timp, până la k celule (ceea ce evident implică existența unor tamponare de memorare la ieșire deoarece o singură celulă poate fi transmisă într-o diviziune). Algoritmul se modifică în acest caz permițând fiecărei ieșiri să transmită până la k acorduri în planul (2). Modificarea este asemănătoare dacă algoritmul se aplică unor comutatoare care permit transmiterea, într-o diviziune, a mai multor celule nu doar una singură. Problema principală este numărul de iterații necesar algoritmului paralel de asociere probabilistică iterativă pentru a-și încheia lucrul, adică de a ajunge în acel punct în care nu mai există intrări, cu celule memorate, neasociate cu ieșirile corespunzătoare. În cel mai rău caz, pentru un comutator $N \times N$ sunt necesare N iterații și anume în cazul în care toate acordurile se referă la aceeași intrare. Dacă situația s-ar repeta, asocierea iterativă paralelă nu ar fi mai rapidă decât un algoritm serial de asociere. Pe de altă parte, în cel mai bun caz, acordul fiecărei ieșiri este destinat la câte o intrare distinctă, caz în care algoritmul are nevoie doar de o iterație pentru a-și încheia lucrul.

Pentru a evita cazul cel mai defavorabil se atașează [AOST] fiecărei ieșiri câte un generator independent de numere aleatoare. Ieșirile aleg care intrări să-i trimită acordul, conform cu aceste generatoare, ceea ce face puțin probabilă apariția cazului cel mai defavorabil. Folosind aleatorizarea acordurilor algoritmul are nevoie în medie de $O(\log N)$ iterații, deoarece în fiecare iterație se rezolvă în medie $\frac{3}{4}$ din numărul de cereri nerezolvate rămase. Astfel dacă un comutator 16×16 , va rula patru iterații, numărul de cereri rezolvate este cuprins între $(99,9 \div 100) \%$, în funcție de încărcarea cu trafic.

Tabelul 5.1 Procentul de asocieri totale găsite în k iterații pentru sarcină uniformă

Pr. {intrarea i să aibă o celulă pentru ieșirea j }	Număr de iterații (K)			
	1	2	3	4
0,10	87 %	99,8 %	100 %	--
0,25	75 %	97,6 %	99,97 %	100 %
0,50	69 %	93 %	99,6 %	99,997 %
0,75	66 %	90 %	98,6 %	99,97 %
1,00	64 %	88 %	97 %	99,9 %

În tabelul 5.1 [AOST] sunt prezentate rezultatele simulărilor folosind algoritmul PIM, efectuate pentru a determina numărul practic de iterații necesar, cu diferite structuri de cereri. Practic se preferă ca algoritmul să lucreze timp de patru iterații, decât până la epuizarea sigură a numărului de cereri rămase nerezolvate.

Pentru evaluarea performanțelor algoritmului paralel de asociere iterativă a fost făcută comparația cu servirea FIFO, respectiv cu servirea cozilor de memorare de la ieșirea comutatoarelor, OB, servire considerată perfectă POQ (Perfect Output Queuing). Tehnica FIFO este ușor de implementat, dar are performanțe scăzute; tehnica POQ nu se pretează la implementare chiar pentru comutatoare de dimensiuni moderate la viteze de Gbps, dar indică performanța optimă a unui comutator cu resurse hardware nelimitate. La sarcină mică (fig. 5.2) cei trei algoritmi au aproximativ aceeași performanță, deci, cu excepția costului implementării nu contează care dintre ei este folosit. La încărcarea medie, tehnica FIFO conduce deja la întârzieri importante, din cauza efectului

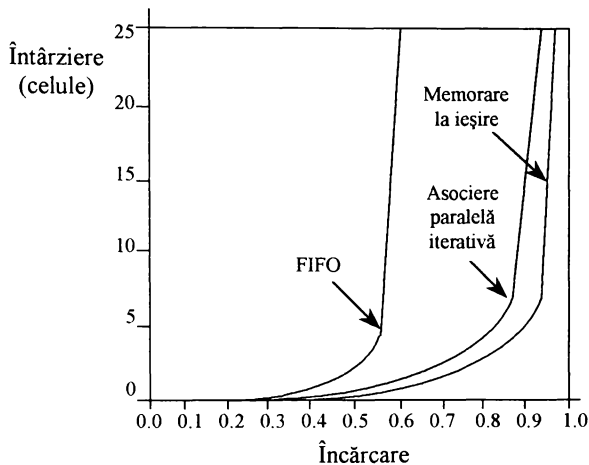


Fig. 5.2 Performanțele unor algoritmi de planificare, la încărcarea uniformă

HOL; ceilalți doi algoritmi au întârzieri destul de apropiate, ceva mai mare pentru asocierea paralelă iterativă. Diferența apare deoarece în cazul memorării la ieșire, o celulă memorată este întârziată doar de celelalte celule ale aceleiași ieșiri. În asocierea paralelă iterativă o celulă memorată trebuie să concureze pentru linie atât cu celulele memorate la aceeași intrare cât și cu celulele destinate aceleiași ieșiri. În sarcină mare performanța celor doi algoritmi este foarte apropiată. Chiar și la sarcină mare, întârzierea de memorare a algoritmului PIM este rezonabilă, sub $13 \mu s$ la o utilizare de 95% a liniilor.

5.2 Numărul de iterații al algoritmului PIM

Pentru un comutator $N \times N$, algoritmul PIM ajunge la asocierea maximală în $O(\log N)$ iterații în medie; această margine este independentă de structura cererilor. Ideea de bază a demonstrației constă în observația că dacă o ieșire neasociată primește o cerere, o iterație a algoritmului va consta fie din: i) asocierea ieșirii cu una din intrările care i-au emis cereri, ii) fie din asocierea

celor mai multe intrări care au emis cereri spre acea ieșire sau spre alte ieșiri. Rezultatul este că fiecare iterație reduce, în medie, numărul de cereri de $\frac{3}{4}$ ori minim. O cerere este nerezolvată dacă atât portul său de intrare cât și cel de ieșire rămân neasociate. Considerăm separat cererile spre fiecare ieșire. Presupunem că o ieșire Q primește cereri de la n intrări într-o iterație anumită. O parte din cele n intrări vor emite cereri și primi acorduri de la alte ieșiri decât Q , iar restul nu vor primi acorduri de la ieșirile respective. Fie k numărul de intrări care sunt cereri spre Q și nu primesc alte accepturi. Q alege aleator una din cele n intrări pentru ai trimite un acord. Deoarece Q alege echiprobabil dintre cererile intrărilor și alegerea lui Q este independentă de alegerile făcute de celelalte ieșiri probabilitatea ca Q să accepte una din ieșirile intrărilor care nu au concurat pentru o altă ieșire este k/n . În acest caz, acordul lui Q va fi acceptat și ca rezultat toate cele n cereri spre Q vor fi rezolvate: una va fi acceptată, iar restul nu vor fi niciodată acceptate.

Pe de altă parte, cu probabilitatea $1 - (k/n)$, Q va trimite un acord spre o intrare care mai primește acorduri și de la alte intrări. Dacă intrarea alege intrarea lui Q pentru acceptare, toate cererile spre Q au fost rezolvate. Dar chiar dacă acordul lui Q nu este acceptat, toate cele $n - k$ intrări care au primit un acord vor fi asociate (la alte ieșiri) în timpul acestei iterații; nici una din cele $n - k$ cereri spre Q nu rămân pentru iterația următoare.

Astfel, cu probabilitatea k/n toate cererile spre Q sunt rezolvate, iar cu probabilitatea $1 - (k/n)$ cel mult k cereri rămân nerezolvate. Ca rezultat, numărul mediu de cereri nerezolvate spre Q este cel mult $(1 - (k/n)) \times k$ care nu este mai mare ca $n/4$ pentru orice k . Cum se începe cu cel mult N^2 cereri, aceasta duce la consecința că după a i -a iterație, numărul de cereri nerezolvate este cel mult $N^2 \cdot 4^{-i}$.

Rămâne de arătat că algoritmul atinge asocierea maximală, în medie în $O(\log N)$ pași. Fie C pasul în care și ultima cerere este rezolvată. Atunci, valoarea estimată a lui C este:

$$E[C] = \sum_{i=1}^{\infty} i \Pr(C=i) \quad (5.1)$$

sau

$$E[C] = \sum_{i=0}^{\infty} i \Pr(C > i) \quad (5.2)$$

Dar probabilitatea ca $C > i$ este tocmai probabilitatea ca cel mult o asociere să rămână nerezolvată la sfârșitul celei de-a i -a iterații,

$$\Pr\{C > i\} = \sum_{j=1}^{\infty} \Pr\{\text{să rămână } j \text{ cereri după } i \text{ iterații}\} \quad (5.3)$$

Înlocuind suma cu o sumă evident mai mare, rezultă:

$$\Pr\{C > i\} = \sum_{j=1}^{\infty} j \Pr\{\text{să rămână } j \text{ cereri după } i \text{ iterații}\} \leq \frac{N^2}{4}, \quad (5.4)$$

ultima inegalitate provenind din marginea dedusă anterior pentru numărul mediu de asocieri nerezolvate după a i -a iterație.

Deoarece probabilitatea nu poate fi niciodată supraunitară, $Pr\{C > i\} \leq \min(1, N^2/4^i)$. Substituind în (5.2), rezultă

$$E\{C\} \leq \sum_{i=0}^{\infty} \min\left(1, \frac{N^2}{4^i}\right), \quad (5.5)$$

Cum $N^2 = 4^i$ când $\log_2 N = i$, suma nu are mai mult de $\log_2 N$ termeni cu valoarea 1, restul sumei fiind o serie de puteri mărginită prin $4/3$. astfel

$$E[C] = \log_2 N + \frac{4}{3}. \quad (5.6)$$

Algoritmul poate furniza doar o limită dar este foarte eficient în menținerea liniei de ieșire în stare de utilizare. Nu are însă nici un mecanism de alocare a benzii unei linii de ieșire între liniile de intrare cu trafic destinat ei. El poate doar garanta că fluxurile celor N intrări care concurează pentru o linie de ieșire vor primi câte $1/N$ din banda acelei linii. Nu permite o alocare flexibilă a benzii și nu asigură imparțialitatea între PI -urile care transmit spre același PE , când solicitările lor de bandă nu sunt identice.

Pentru acest algoritm au fost propuse două alternative pentru a putea asigura garanții asupra benzii. Prima variantă se referă la traficul CBR, și are în vedere o planificare explicită a transmisiei pachetelor între perechile de intrare-ieșire, ținând cont de cererile de bandă de frecvență ale fiecărui flux. Problem care apare este însă că traficul de timp real nu este mereu la fel cu cel CBR, ci prezintă deseori rafale. În plus, complexitatea calculului perechilor de intrare-ieșire nu permit schimbări prea dese în cererile de bandă ale fluxurilor. A doua variantă numită asociere statică permite o alocare mai flexibilă a benzii perechilor de intrare-ieșire în competiție. Aici procesul de asociere este declanșat de PE -uri. Fiecare PE generează un semnal de acceptare pentru selectarea aleatoare a unui PI , cu probabilitatea dată de banda rezervată de PI . Fiecare PI care primește semnale de acceptare, selectează unul dintre accepturile ieșirilor, după ce a ponderat fiecare accept cu o distribuție de probabilitate. Cum procesul de asociere este inițiat de PE -uri, este posibilă selecția unui PI care nu are pachete de transmis, ceea ce limitează eficiența algoritmului la 72% din capacitatea liniei de ieșire. În plus, algoritmul pretinde calculul câtorva distribuții de probabilitate la fiecare pas, ceea ce face dificilă implementarea hardware.

5.3 Asocierea probabilistică cu filtrarea cererilor, APFC

În cele ce urmează se propune un nou algoritm, pe care l-am denumit “asociere probabilistică cu filtrarea cererilor” APFC, care permite o alocare flexibilă a lăţimii de bandă între intrările comutatorului care partajează aceeaşi linie de ieşire. APFC alocă intrărilor de bandă legătura de ieşire, conform cu rezervările făcute în faza de control a admisiei şi poate garanta că traficul fiecărei intrări îşi primeşte partea din banda legăturii de ieşire. Algoritmul asigură şi o izolare între fluxurile sosite la două PI distincte şi dirijate spre aceeaşi legătură de ieşire; astfel comportarea incorectă a unor surse nu va afecta celelalte fluxuri. Lăţimea de bandă care poate fi alocată fluxurilor de timp-real e limitată doar de algoritmul în sine şi poate ajunge la 85-95%. Hardware-ul necesar implementării este modest, mult mai redus decât cel necesar planificării precalculate şi asocierii statistice. Garanţiile asigurate de algoritm sunt probabilistice, ca şi în cazul asocierii iterative probabilistice.

Considerăm un comutator fără blocare cu memorarea pachetelor de intrare, cu N porturi. Fiecare legătură de intrare sau ieşire poate fi partajată de mai multe fluxuri. Un pachet care soseşte la un PI poate aparţine unuia din fluxurile care partajează respectiva legătură de intrare; pachetul este dirijat de comutator spre PE corespunzător respectivului flux, unde este multiplexat cu alte fluxuri partajând aceeaşi legătură de ieşire. În general, aceeaşi pereche de porturi sursă destinaţie poate fi partajată de mai multe fluxuri. Fluxurile care ajung la acelaşi PI şi sunt destinate la acelaşi PE vor fi denumite conexiune. Planificatorul nu poate face distincţie, datorită schemei noastre de implementare a rezervărilor de bandă, între fluxurile individuale aparţinând aceleiaşi conexiuni.

Alocarea lăţimii de bandă la nivelul fluxului se poate face combinând algoritmul APFC propus cu un algoritm de planificare pentru alocarea benzii agregate a legăturii, între fluxurile care partajează legătura. Astfel planificarea poate fi împărţită în două niveluri:

1 – planificarea la nivel de conexiune. Fiecare PE a comutatorului selectează PI de servit, în funcţie de rezervările de bandă de nivel de conexiune.

2 – planificarea la nivel de flux. Fiecare PI selectează un pachet de la unul din fluxurile de intrare partajând aceeaşi conexiune intrare-ieşire, $I-E$ în funcţie de partea ce-i revine din banda totală de frecvenţe.

APFC rezolvă prima problemă prin alocarea explicită a unei părţi din banda fiecărei legături de ieşire, setului de fluxuri destinate ei de la fiecare legătură de intrare. Dacă cererea totală de bandă a fluxurilor partajând aceeaşi conexiune de $I-E$ nu depăşeşte rezervarea, atunci garanţiile lor referitoare la bandă pot fi satisfăcute independent de cererile de bandă ale altor conexiuni de $I-E$. Rolul APFC este cu alte cuvinte, să aloce resursele comutatorului într-o manieră corectă, iar nivelul doi al planificării trebuie folosit pentru alocarea benzii legăturii de ieşire între fluxurile concurente.

Pentru implementarea rezervărilor, împărțim axa de timp în cadre, fiecare având un număr fix de diviziuni. La rețelele ATM o diviziune corespunde timpului de transmisie a unei celule. Rezervarea de bandă pentru fiecare conexiune de $I-E$ se face prin alocarea fiecăreia, a unui număr minim de diviziuni din cadru pe care le vom numi creditele conexiunii. Fiecare conexiune de $I-E$ solicită un număr de credite corespunzător cu partea de bandă dorită a legăturii de ieșire. Cererea este acceptată dacă totalul creditelor solicitate de toate conexiunile de $I-E$ care partajează linia de ieșire este mai mic decât lungimea cadrului. În practică, va fi luată în considerare acea eficiență a algoritmului de asociere probabilistică, care conduce la o utilizare a liniei de 85-95% tipic. Dacă c_{ij} este creditul alocat conexiunii de la intrarea i la ieșirea j , și f este lungimea cadrului, atunci obiectivul algoritmului APFC este să garanteze că în medie, cel puțin c_{ij} pachete pot fi transmise de la portul i la portul j în fiecare cadru.

În continuare vom prezenta operațiile de bază ale algoritmului APFC. Presupunem că fiecare intrare a comutatorului menține câte o coadă separată cu pachetele destinate fiecărei legături de ieșire a comutatorului. În cadrul cozii considerăm că pachetele sunt ordonate de un algoritm de planificare la nivel de flux, folosit pentru alocarea benzii fluxurilor individuale care partajează aceeași conexiune de $I-E$. Fiecare PE trebuie să mențină un contor de pachete servite în cadrul curent de la fiecare intrare. O iterație APFC constă din patru etape:

1. **Cererea:** fiecare PI , care încă nu a fost asociat unui PE , trimite o cerere tuturor PE -urilor corespunzătoare destinațiilor pachetelor din cozile sale.
2. **Filtrarea cererilor:** la recepția cererilor de la PI -uri, fiecare PE le trece printr-un filtru care conține câte un bit asociat fiecărei cereri. Acele PI -uri care au de transmis un număr de pachete mai mare sau egal cu numărul de credite au bitul pus pe 1, iar celelalte pus pe 0. În procesul de asociere vor fi luate în considerare doar cererile nefiltrate (bitul pe 0) primite de PE , restul sunt ignorate.
3. **Acordul:** PE selectează la întâmplare, cu o probabilitate uniformă, una din cererile rămase după filtrare și transmite un semnal de acord respectivului PI .
4. **Acceptarea:** fiecare PI neasociat care primește unul sau mai multe semnale de acord, selectează unul cu aceeași probabilitate și informează PE corespunzător. Porturile de intrare și de ieșire sunt acum asociate și pot fi excluse din următoarele iterații.

Ciclul este repetat fie de un număr de ori, fie până nu mai există cereri nefiltrate. Deosebirea principală dintre APFC și PIM este adăugarea etapei de filtrare a cererilor. Deși etapa de filtrare a cererilor apare separat, ea poate fi realizată împreună cu etapa de acord, în implementarea hardware, astfel ca timpul fiecărei iterații să nu crească semnificativ. În figura 5.3 sunt reprezentați cei patru pași ai algoritmului. În etapa de filtrare se presupune că, pentru cadrul curent $PI 1$ și-a depășit creditele spre $PE 0$ și $PE 2$. De aceea, ambele cereri ale $PI 1$ sunt eliminate prin filtrare, ca și cererea de la $PI 3$ spre $PE 3$. În etapa de

acord $PE\ 2$ selectează aleator $PI\ 2$, și cum acesta nu a primit alte acorduri el acceptă acordul de la $PE\ 2$.

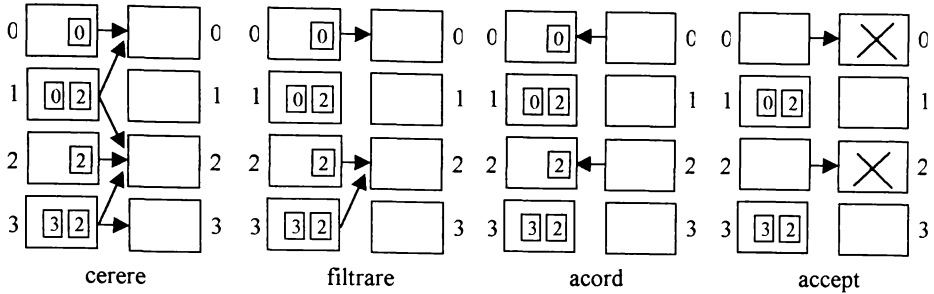


Fig. 5.3 O singură iterație a primei faze a algoritmului APFC

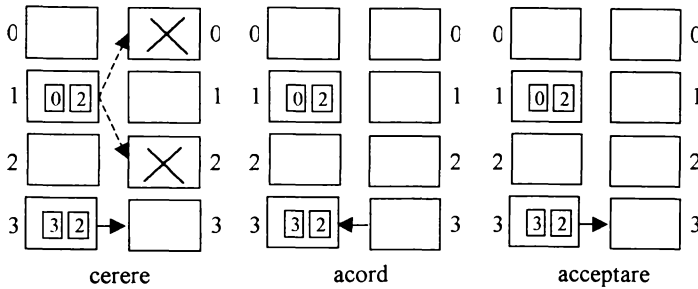


Fig. 5.4 O singură iterație a fazei a doua a algoritmului APFC

După ce prima fază a algoritmului este încheiată, este posibil ca anumite perechi $I-E$ să rămână neasociate, chiar dacă au pachete disponibile pentru transmisie, deoarece cererile corespunzătoare au fost blocate în etapa de filtrare. Pentru maximizarea numărului de pachete planificate, algoritmul poate fi repetat după punerea pe 0 a tuturor biților din filtru, corespunzători PI rămase neasociate. Pentru intrările rămase neasociate se aplică algoritmul PIM, pentru alocarea benzii rămase după onorarea rezervărilor de bandă. Revenind la exemplul precedent, în figura 5.4, se vede că acum poate fi satisfăcută cererea de la $PI\ 3$ spre $PE\ 3$. Cererile spre $PE\ 0$ și $PE\ 2$ sunt ignorate deoarece aceste ieșiri sunt deja asociate.

Rolul etapei de filtrare este de a bloca cererile inițiale de intrările care folosesc mai multă bandă decât cea convenită la rezervarea legăturii de ieșire, permițând astfel celorlalte intrări să-și obțină partea de bandă cuvenită. Dacă traficul de la unele PI spre un PE este mai mic decât rezervarea, restul de bandă este alocat egal tuturor conexiunilor spre acel PE .

Dacă se alocă c_{ij} credite conexiunii $PI_i - PE_j$, și cadrul are lungimea f , conexiunii i se alocă o lățime de bandă:

$$b_{i,j} \geq \frac{c_{i,j}}{f}, \tag{5.7}$$

pentru fiecare i și j . dacă, în plus, presupunem că o parte a benzii este alocată explicit tuturor conexiunilor de $I-E$, atunci:

$$\sum_{i=1}^N c_{i,j} = f. \quad (5.8)$$

Din (5.7) și (5.8) putem trage concluzia că în suprasarcină

$$b_{i,j} = \frac{c_{i,j}}{f}. \quad (5.9)$$

Dacă nu se alocă explicit o parte din banda legăturii de ieșire, fiecare intrare își va primi banda rezervată și o parte egală din banda rămasă. Lucrul provine din faptul că atunci când toate creditele sunt satisfăcute, algoritmul APFC se reduce la o asociere iterativă simplă, care împarte egal banda legăturii de ieșire tuturor intrărilor care cer acces la respectivul port de ieșire în acest sens, algoritmul îndeplinește criteriul de imparțialitate definit în [DKS]. Când o conexiune de $I-E$ își crește viteza traficului, performanța celorlalte conexiuni va fi la fel diminuată, dar ele vor continua să primească cel puțin rata rezervată lor.

La algoritmul PIM numărul mediu de iterații pentru a atinge asocierea maximă este $O(\log_2 N)$, deoarece numărul cererilor nerezolvate, scade în medie cu cel puțin $\frac{3}{4}$ în fiecare iterație. Plecând de la maximum N^2 cereri nerezolvate, numărul mediu de iterații până la convergența algoritmului este totdeauna mai mic decât $\log_2 N - 4.3$.

Operarea APFC poate fi văzută ca aplicarea de două ori consecutiv a algoritmului PIM. În prima fază algoritmul PIM se aplică cererilor de credite în exces, iar în faza a doua cererilor rămase nerezolvate și a celor filtrate în prima fază. În prima fază a algoritmului se pornește cu maximum N^2 cereri și convergența se va obține în medie, în mai puțin de $\log_2 N - 7.6$ iterații. În faza a doua, cele N^2 cereri filtrate în prima fază, vor fi activate și algoritmul va converge din nou, în medie, în mai puțin de $\log_2 N - 7.6$ iterații. Deci numărul mediu de iterații va fi mai mic de $2 \log_2 N - 7.3$.

Îmbunătățirea numărului mediu de iterații se poate face comasând cele două faze ale algoritmului într-una singură; lucrul se poate obține permițând fiecărui PE să-și șteargă toți biții din filtru când toate cererile de intrare au fost filtrate și PE a rămas neasociat. Această modificare nu va afecta alocarea benzii. Filtrele sunt ignorate doar dacă nici una din intrările cu credite în exces n-are pachete de transmis unui anume PE , sau dacă toate aceste intrări au fost deja asociate la alte PE . Cu această modificare, limita superioară a numărului mediu de operații necesare pentru obținerea asocierii maxime se reduce la $\log_2 N - 4.3$, aceeași ca la PIM. Simulările pentru APFC țin cont de această modificare.

Teorema 2.1 Numărul mediu de iterații pentru a obține asocierea maximă cu algoritmul APFC nu depășește $(\log_2 N - 4.3)$.

Demonstrația este identică cu cea a lui Anderson [AOST] cu excepția faptului că nu toate cererile emise de PI în fiecare ciclu participă la procesul de asociere. Inițial, maximum $N^2/4$ cereri sunt generate de PI -uri. O cerere este rezolvată când fie portul de intrare fie cel de ieșire care au emis-o a fost asociat. Algoritmul a ajuns la convergență când toate cererile au fost rezolvate.

Considerăm orice port de ieșire q și presupunem că acesta primește n cereri de la porturile de intrare, într-o iterație oarecare a APFC. Unele din aceste cereri pot fi mascate, dar cu modificarea menționată, se garantează că unul din cele n PI care au generat cereri, va primi un acord de la q . Fie acest port p , ales de q pentru a primi un acord. Dacă p nu primește acorduri care sunt în competiție, atunci p și q sunt asociate, și toate cele n cereri direcționate la q sunt rezolvate. Pe de altă parte, dacă p primește una sau mai multe cereri în competiție, atunci q poate rămâne neasociat la sfârșitul acestui ciclu. Presupunem că k din n porturi de intrare care au emis cereri spre q primesc acorduri de la unul sau mai multe alte porturi de ieșire. Deoarece fiecare selectează un PI cu o distribuție uniformă, probabilitatea ca p să aparțină setului de k porturi este k/n . aceste k porturi vor fi asociate și apoi eliminate din procesul de asociere la sfârșitul iterației curente. Astfel, cel mult $(n - k)$ din cele n cereri rămân nerezolvate la sfârșitul iterației curente. Cum probabilitatea lui p de a primi un acord în competiție este k/n numărul estimat de cereri nerezolvate direcționate la q la sfârșitul iterației curente este $(n - k)k/n$. Deoarece valoarea maximă a lui $(n - k)k/n$ este $n/4$, rezultă că fiecare iterație reduce numărul estimat al creșterilor rezolvate cu cel puțin $3/4$. Cum, inițial sunt cel mult N^2 cereri, rezultă că numărul estimat de cereri rămase nerezolvate la sfârșitul iterației i este $N^2/4^i$. Mai rămâne de demonstrat că algoritmul ajunge la asocierea maximă în medie în $O(\log_2 N)$ pași.

Fie C pasul în care ultima cerere este rezolvată. Atunci, valoarea estimată a lui C este:

$$E[C] = \sum_{i=1}^{\infty} i \Pr\{C=i\} \quad (5.10)$$

adică:

$$E[C] = \sum_{i=1}^{\infty} \Pr\{C > i\} \quad (5.11)$$

Probabilitatea ca $C > i$ este tocmai probabilitatea ca cel puțin o cerere să rămână neasociată la sfârșitul iterației i :

$$\Pr\{C > i\} = \sum_{j=1}^{\infty} j \Pr\{j \text{ cereri sa ramana dupa iteratia } i\} \quad (5.12)$$

și mărginind suma rezultă:

$$\Pr\{C > i\} \leq \frac{N^2}{4^i} \quad (5.13)$$

inegalitate care rezultă din marginea numărului mediu de asocieri nerezolvate după a i -a iterație.

Cum probabilitatea nu poate fi niciodată mai mare ca 1, rezultă că $Pr \{C > i\} \leq \min(1, N^2/4^i)$, și substituind, rezultă pentru $E[C]$:

$$E[C] \leq \sum_{i=0}^{\infty} i \min\left(1, \frac{N^2}{4^i}\right) \quad (5.14)$$

Cum $N^2 = 4^i$, deci $i = \log_2 N$, suma nu are mai mult de $\log_2 N$ termeni de valoarea 1 iar restul sumei este o serie de puteri mărginită de $4/3$. Astfel:

$$E[C] \leq \log_2 N + 4/3 \quad (5.15)$$

Astfel valoarea estimată a numărului de iterații pentru a ajunge la convergență nu depășește $\log_2 N + 4/3$.

Algoritmul APFC converge la fel de repede ca și algoritmul PIM, fără a fi afectată eficiența comutatorului. În practică numărul de iterații poate fi limitat la $\log_2 N$ pentru un comutator cu N intrări.

Mecanismul de alocare a benzii la APFC poate ghida operarea asocierii iterative probabiliste, îmbunătățind astfel imparțialitatea în alocarea benzii, chiar dacă nu sunt necesare garanții despre bandă. De exemplu, mecanismul poate fi folosit pentru corectarea oricărei incorectitudini ale generatorului de numere aleatoare. Presupunem ca exemplu că $PI-A$ nu a fost asociat cu $PE-B$ de mult timp, deși au fost emise cereri în fiecare ciclu; acest lucru se poate întâmpla fie dacă B nu a selectat cererea lui A ca să-i trimită semnalul de acord, fie dacă A nu a selectat semnalul de acceptare a lui B. Deoarece probabil că B a servit cereri de la alte porturi în această perioadă, cererile acestora vor fi filtrate curând ca rezultatul satisfacerii rezervărilor lor de bandă, crescând probabilitatea ca B să selecteze cererea lui A pentru acord. În același timp, cum A a selectat acordurile altor porturi decât B, creditele sale pentru acele porturi se vor epuiza rapid, reducându-se numărul de acorduri recepționate de A și crescând probabilitatea ca acordul lui B să fie acceptat. Aceasta face alocarea benzii relativ insensibilă la operarea generatorului de numere aleatoare.

Se impune observația că prin introducerea etapei de filtrare a cererilor, numărul de cereri și emise spre o ieșire oarecare va fi $n' < n$, numărul de cereri luat în considerare la demonstrarea algoritmului PIM. Acest lucru este echivalent cu scăderea volumului de trafic de la intrarea comutatorului, deci (vezi tabelul 5.1) cu scăderea numărului de iterații dintr-un pas. În acest fel scade întârzierea celulelor prin comutator.

Capitolul 6

CLASIFICAREA GENERALĂ A PLANIFICATELORELOR UNIFICATE

Majoritatea analizei algoritmilor de planificare a traficului se referă la un algoritm particular și nu la analiza caracteristicilor traficului sesiunilor individuale, în rețele în care în nodurile căii sunt folosiți algoritmi diferiți de planificare. Cum rețelele actuale și viitoare nu sunt omogene, un model general de analiză a algoritmilor de planificare este util pentru proiectarea și analiza acestor rețele. Găsirea acelor proprietăți ale planificatoarelor care să permită utilizarea resurselor rețelelor cât mai eficient ar fi de un real folos. De asemenea prezintă un interes deosebit comportarea și limita întârzierii pentru topologii arbitrare de rețea.

6. 1 Servere cu latența ratei, *LR*

Presupunem că într-un comutator de pachete, V conexiuni partajează aceeași linie de ieșire, ρ_i fiind rata alocată fiecărei conexiuni. În plus presupunem că pachetele nu sunt transmise decât după recepția ultimului bit. Cu $A_i(\tau, t)$ notăm sosirile sesiunii, conexiunii, sau fluxului i în intervalul (τ, t) și $W_i(\tau, t)$ volum serviciilor primite de sesiune în acest interval. În sistemele bazate pe modelul cu fluide, $A_i(\tau, t)$ și $W_i(\tau, t)$ sunt funcții continue. În modelul pachet cu pachet $A_i(\tau, t)$ crește doar când ultimul bit al pachetului este recepționat de server, respectiv $W_i(\tau, t)$ crește când ultimul bit al pachetului părăsește serverul. Astfel modelul cu fluide este un caz particular al modelului pachet cu pachet, când pachetele sunt infinit de mici.

Perioada ocupată a sistemului, POSIS, este intervalul maxim de timp în care serverul nu e niciodată neutilizat. În această perioadă serverul transmite mereu pachete.

Perioada de conectare a sesiunii i , PCS, este orice perioadă în care pachetele acelei sesiuni sunt continuu memorate în sistem.

Fie $Q_i(t)$ volumul de trafic al sesiunii i , memorat în server la momentul t , astfel că:

$$Q_i(t) = A_i(0, t) - W_i(0, t). \quad (6.1)$$

O sesiune este conectată la timpul t , dacă $Q_i(t) > 0$. Perioada de ocupare a unei sesiuni i , POS, este intervalul maxim $(\tau_1, \tau_2]$ astfel încât pentru orice $t \in (\tau_1, \tau_2]$ pachetele sesiunii i sosesc cu o rată mai mare sau egală cu ρ_i , sau,

$$A_i(\tau, t) \geq \rho_i(t - \tau_i). \quad (6.2)$$

Perioada de ocupare a unei sesiuni este intervalul maxim de timp în care, dacă sesiunea ar fi servită exact la rata garantată, ar rămâne continuu conectată (fig. 6.1). Pe durata de ocupare a sistemului pot apare mai multe perioade de ocupare a sesiunii i .

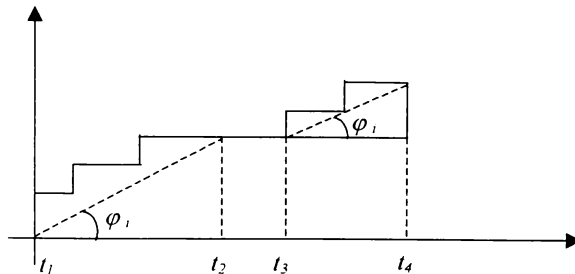


Fig. 6.1 Intervalele $(t_1, t_2]$ și $(t_3, t_4]$ reprezintă două perioade de ocupare diferite

Perioada de ocupare a sesiunii este definită doar în funcție de sosire și de rata alocată. Există o deosebire între PCS și POS. POS este definit în funcție de un sistem ideal în care o sesiune conectată i este servită la o rată constantă ρ_i , în timp ce PCS se referă la un sistem real la care rata instantanee a serviciului variază în funcție de numărul de conexiuni active și ratele lor de servire. Astfel POS poate conține intervale în care traficul sesiunii i conectate este 0; acest lucru se întâmplă când sesiunea primește o rată instantanee de serviciu mai mare decât ρ_i din timpul perioadei ocupate.

Pentru o perioadă dată de conectare a sesiunii i , perioada corespunzătoare de ocupare poate fi mai mare. În plus, dacă $(s_i, f_i]$ este perioada de ocupare pentru sesiunea i , pot apare mai multe perioade de conectare în acest interval în sistemul real. Începutul perioadei de ocupare este întotdeauna cauzat de sosirea pachetelor în sistem.

Trebuie remarcat că atunci când se aplică același trafic la două planificatoare diferite cu rezervări identice, perioadele corespunzătoare de conectare pot fi diferite, ceea ce face dificilă utilizarea PCS pentru analiza unei clase mari de planificatoare. Pe de altă parte POS depinde doar de structura traficului de intrare și rata sa alocată, și poate fi deci folosită ca un invariant în analiza diferitelor planificatoare. Acesta este motivul principal pentru care definirea serverelor LR o vom face pe baza serviciului primit.

Acum putem defini clasa generală a serverelor cu rata latentă LR . Un server din această clasă este caracterizat de doi parametri: latența θ_i și rata alocată ρ_i . Presupunem că perioada de ocupare j a sesiunii i începe la momentul τ , și notăm cu $W_{i,j}^S(\tau, t)$ serviciul total furnizat pachetelor sesiunii care ajung după momentul τ și înainte de t , de către serverul S . Este de remarcă faptul că serviciul total oferit sesiunii i în intervalul (τ, t) poate fi mai mare decât $W_{i,j}^S(\tau, t)$, deoarece vor fi servite și pachetele deja memorate în sistem care provin dintr-o perioadă ocupată anterioră.

Un server S aparține clasei LR dacă și numai dacă pentru orice timp t , ulterior lui τ , începutul perioadei ocupate j și până când pachetele care ajung în această perioadă sunt servite,

$$W_{i,j}^S(\tau, t) \geq \max(0, \rho_i (t - \tau - \theta_i^S)). \quad (6.3)$$

θ_i^S este numărul minim nenegativ care satisface inegalitatea precedentă.

Definiția serverelor LR implică doi parametri, latența și rata. Partea stângă a ecuației (6.3) definește o anvelopă pentru a mărgini serviciul minim oferit sesiunii i pe timpul perioadei ocupate (fig. 6.2). Este ușor de observat că latența θ_i^S reprezintă întârzierea văzută de primul pachet din perioada ocupată a sesiunii i , în cazul cel mai defavorabil. Restricția impusă este că serviciul furnizat sesiunii de la începutul perioadei sale ocupate este mărginit inferior. Astfel, unui algoritm de planificare al acelei clase, i se cere doar ca rata medie a serviciului oferit de planificator sesiunii ocupate, pe orice interval (τ, θ_i^S) să fie cel puțin egală cu rata sa rezervată. Acest lucru este mai puțin restrictiv decât multiplexarea GPS unde se cere ca banda instantanee oferită sesiunii să fie mărginită. Aceasta este limita inferioară a ratei serviciului la multiplexarea GPS pe un interval $(\tau, t]$ în care sesiunea este conectată, în timp ce restricția pentru serverele LR prevede doar intervalul începând cu perioada ocupată. Astfel, multiplexarea GPS nu este decât o parte a clasei serverelor LR .

Latența depinde de algoritmul de planificare folosit precum și de rata alocată și parametrii de trafic ai sesiunii analizate. Pentru un anumit algoritm de

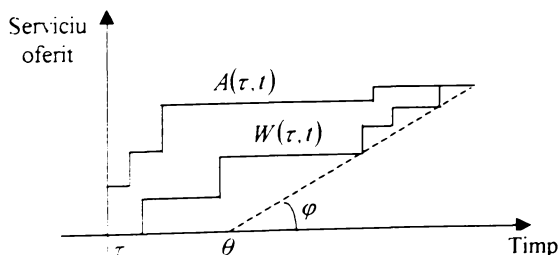


Fig. 6.2 Exemplu de comportare a unui planificator LR

planificare, câțiva parametri, ca rata sa de transmisie pe linia de ieșire, numărul de sesiuni care partajează linia și ratele lor alocate, pot influența latența. În cele ce urmează vom arăta că întârzierea maximă cap-la-cap pe care o pot avea pachetele într-o rețea de planificatoare poate fi calculată doar din latența planificatoarelor individuale ale căii sesiunii și din parametrii de trafic ai sesiunii care generează pachetele. Cum întârzierea maximă într-un planificator crește direct proporțional cu latența sa, modelul relevă importanța folosirii planificatoarelor cu latență mică pentru a obține întârzieri reduse cap la cap. De asemenea pot fi obținute direct, din latența planificatoarelor, limita superioară a dimensiunilor cozilor și gradul de rafală al sesiunilor individuale, în orice punct al rețelei.

La definirea serverelor *LR* nu s-a specificat dacă serverele se bazează pe modelul cu fluid sau pachet-cu-pachet. Singura cerință impusă a fost ca pachetul să nu poată fi transmis până la recepția ultimului său bit. Astfel plecările pachetelor pot fi considerate ca impulsuri. Această presupunere este necesară pentru a limita sosirile în următorul comutator din lanțul de planificatoare. În sistemul cu fluide, este necesar să considerăm că toate planificatoarele operează cu fluide și dimensiunea maximă a pachetului poate fi infinit de mică.

Pentru a determina limitele întârzierii în planificatoarele *LR* considerăm întâi comportarea unei sesiuni într-un singur mod și apoi analiza va fi extinsă unei rețele de servere *RL*. În ambele cazuri presupunem că traficul de intrare analizat este nivelat de o găleată găurită și că rata alocată este cel puțin egală cu rata medie de sosire. Astfel că, pentru sesiunea i analizată, rata sa la intrarea rețelei pe durata $(\tau, t]$ satisface inegalitatea:

$$A_i(\tau, t) \leq \sigma_i + \rho_i(t - \tau), \quad (6.4)$$

unde τ_i și ρ_i indică gradul de rafală, respectiv rata medie. Despre traficul de intrare al altor sesiuni nu vom face nici o presupunere.

6.1.1. Analiza unui singur server *LR*

Presupunem că există V sesiuni care partajează aceeași linie de ieșire a unui server *LR*. Mai întâi vom arăta că pachetele dintr-o perioadă ocupată din server își încheie serviciul cu cel mult θ_i^s după terminarea perioadei ocupate.

Lema 6.1. Dacă $(t_1, t_2]$ este perioada ocupată a sesiunii i , toate pachetele care sosesc de la sesiunea i în timpul perioadei ocupate vor fi servite până la momentul $t_2 + \theta_i^s$.

Pentru demonstrație presupunem că ultimul pachet al perioadei j ocupate își încheie serviciul la momentul t . Atunci la t ,

$$A_i(t_1, t_2) = W_{i,j}^S(t_1, t) \quad (6.5)$$

Dar din definiția perioadei ocupate știm că:

$$A_i(t_1, t_2) = \rho_i(t_2 - t_1) \quad (6.6)$$

Din definiția serverelor LR și ec. (6.5) și (6.6)

$$\rho_i(t - t_1 - \theta_i^S) - \rho_i(t_2 - t_1) \leq 0, \quad (6.7)$$

sau,

$$t \leq t_2 + \theta_i^S. \quad (6.8)$$

Următoarea teoremă mărginește întârzierea în cozi în server ca și necesarul de tamponare de memorie, pentru sesiunea i .

Teorema 6.1. Dacă S este un server LR atunci sunt adevărate următoarele limite:

1. Dacă $Q_i^S(t)$ este conectarea sesiunii i la timpul t , atunci

$$Q_i^S \leq \sigma_i + \rho_i \theta_i^S. \quad (6.9)$$

2. Dacă D_i^S este întârzierea oricărui pachet al sesiunii i în serverul S atunci,

$$Q_i^S \leq \frac{\sigma_i}{\rho_i} + \theta_i^S. \quad (6.10)$$

3. Traficul de ieșire se conformează modelului găleții găurite cu parametrii $(\tau_i + \rho_i \theta_i^S, \rho_i)$.

Demonstrația o vom face pentru fiecare afirmație separat.

1. Pentru deducerea limitei superioare (6.9) a conectării sesiunii i presupunem că perioada j de ocupare este intervalul $(s_j, f_j]$. Se notează cu $W_{i,j}^S(\tau, t)$ serviciul oferit pachetelor sesiunii i în perioada ocupată j în intervalul $(\tau, t]$, cu $\tau \geq s_j$ și $t \leq f_j + \theta_i^S$, iar cu $W_i^S(\tau, t)$ serviciul total oferit sesiunii i în același interval de timp. Se observă că $W_i^S(\tau, t) \geq W_{i,j}^S(\tau, t)$ deoarece în intervalul $(\tau, t]$ serverul poate transmite și pachete din perioada ocupată precedentă.

Pe durata POS, se notează cu τ_j timpul la care ultimul pachet al POS j își încheie serviciul. La acest moment de timp toate pachetele conectate aparțin POS care începe după momentul f_j . În plus se observă că $\tau_j \leq f_j + \theta_i^S$. Demonstrarea relației (6.9) se face prin inducție pe intervalul $(\tau_{j-1}, \tau_j]$.

În primul pas presupunem că perioada de ocupare a sesiunii i începe la momentul $S_i = \tau_0$. Cum aceasta este prima perioadă ocupată nu există alte pachete conectate ale sesiunii i la momentul τ_0 . Din definiția serverelor LR știm că pentru orice t astfel ca $\tau_0 \leq t \leq \tau_1$,

$$W_{i,t}^s(\tau_0, t) = W_{i,t}^s(s_i, t) \geq \max(0, \rho_i(t - s_i - \theta_i^s)).$$

Din definiția găleții găurite se știe că,

$$A_i(s_i, t) \leq \sigma_i + \rho_i(t - s_i).$$

Comutarea la timpul t este definită ca volumul total de trafic care a sosit de la începutul POS minus pachetele care au fost servite. Astfel,

$$Q_i(t) = A_i(s_i, t) - W_{i,t}^s(s_i - t) \quad (6.11)$$

Pentru t vom considera două cazuri:

Cazul 1: Dacă $t < s_i + \theta_i^s$,

$$\text{atunci } W_{i,t}^s(s_i, t) \geq 0$$

$$\begin{aligned} Q_i^s(t) &\leq A_i(s_i, t) \\ \text{deci} \quad &\leq \tau_i + \rho_i(t - s_i) \\ &\leq \tau_i + \rho_i Q_i^s \end{aligned} \quad (6.12)$$

Prima inegalitate apare din definiția găleții găurite iar a doua din condiția $t < s_i + \theta_i^s$.

Cazul 2: Dacă $t \geq s_i + \theta_i^s$, atunci din definiția serverelor LR ,

$$W_{i,t}^s(s, t) \geq \rho_i(t - s_i + \theta_i^s).$$

Din ecuațiile (6.4) și (6.11) rezultă:

$$\begin{aligned} Q_i^s(t) &\leq \sigma_i + \rho_i(t - s_i) - \rho_i(t - s_i + \theta_i^s) \\ &\leq \sigma_i + \rho_i \theta_i^s \end{aligned} \quad (6.13)$$

În etapa de inducție presupunem că teorema este valabilă până la sfârșitul celei de n -a perioade ocupate. Aceasta înseamnă că pentru orice $t \leq \tau_n$, $Q_i^s(t) \leq \sigma_i + \rho_i \theta_i^s$. Trebuie să demonstrăm că ea este valabilă și în intervalul $(\tau_n, \tau_{n+1}]$. După momentul τ_n , doar pachetele care provin de la perioada ocupată $n \cdot l$ vor fi servite, și până la momentul τ_{n+1} toate pachetele care aparțin perioadei

ocupate $n+1$ își vor termina serviciul. În plus nici un pachet din a $n+1$ -a perioadă ocupată nu a fost servit înainte de momentul τ_n . Astfel, pentru orice moment t , cu $\tau_n \leq t \leq \tau_{n+1}$, putem scrie:

$$W_{i,n+1}^S(\tau_n, t) = W_{i,n+1}^S(s_{n+1}, t).$$

Din definiția serverelor LR ,

$$W_{i,n+1}^S(\tau_n, t) \geq \max(0, \rho_i(t - s_{n+1} - \theta_i^S)).$$

Volumul de pachete care sunt conectate în server este egal cu acele pachete care au sosit după sfârșitul de-a n -a perioade ocupate minus pachetele servite după τ_n ; dar știm că, deoarece s_{n+1} este începutul POS a $(n+1)$ -a, primul pachet al perioadei ocupate a sosit la momentul s_{n+1} . Astfel că:

$$\begin{aligned} Q_i^S(t) &\leq A_i(s_{n+1}, t) - W_{i,n+1}^S(\tau_n, t) \\ &\leq \sigma_i + \rho_i(t - s_{n+1}) - \max(0, \rho_i(t - s_{n+1} - \theta_i^S)) \\ &\leq \sigma_i + \rho_i \theta_i^S \end{aligned}$$

2. Pentru deducerea limitei superioare a întârzierii, presupunem că D_i^S întârzierea maximă a fost pentru pachetul care a sosit la momentul t^* din perioada ocupată j . Aceasta înseamnă că pachetul a fost servit la momentul $t^* + D_i^S$. Deci volumul serviciului oferit sesiunii până la momentul $t^* + D_i^S$ este egal cu volumul de trafic sosit de la sesiune până la momentul t . Dar cum s_j este începutul perioadei ocupate j ,

$$W_{i,j}^S(s_j, t^* + D_i^S) = A_i(s_j, t^*). \quad (6.14)$$

Dar cum serverul nu poate asigura un serviciu la momentul θ_i^S , $D_i^S \geq \theta_i^S$. Din definiția serverelor RL rezultă:

$$W_{i,j}^S(s_j, t^* + D_i^S) \geq \rho_i(t^* + D_i^S - s_j - \theta_i^S). \quad (6.15)$$

Din ecuația (6.14) și (6.15) și din condiția (6.4) a găleții găurite, avem,

$$\rho_i(t^* + D_i^S - s_j - \theta_i^S) \leq \sigma_i + \rho_i(t^* - s_j), \quad (6.16)$$

sau, echivalent

$$D_i^S \leq \frac{\sigma_i}{\rho_i} + \theta_i^S. \quad (6.17)$$

3. Pentru a arăta că traficul de la ieșire planificatorului se conformează modelului găleții găurite este suficient să arătăm că, în intervalul $(\tau, t]$ din perioada ocupată a sesiunii i ,

$$W_i(\tau, t) \leq \sigma_i + \rho_i \theta_i^s + \rho_i(t - \tau).$$

Notăm cu σ_i^{out} gradul de rafală al sesiunii i la ieșirea comutatorului, și încercăm să găsim valoarea sa maximă. Presupunem că serverul e cu conservarea lucrului și deci poate servi orice volum de trafic al unei sesiuni fără întrerupere, dacă respectiva sesiune este singura activă în sistem. Cu $c_i(\tau)$ notăm numărul de jetoane rămase în găleată la momentul τ , iar $\theta_i^s(\tau)$ este numărul de pachete conectate în server la același moment. Dacă presupunem că liniile de intrare sunt de capacitate infinită, la momentul $\tau +$ este posibil ca un număr de $c_i(\tau)$ pachete să fie adăugate cozii serverului și nici un pachet nu este servit; dar am arătat că maximum de conectare al sesiunii i este mărginit prin $\sigma_i + \rho_i \theta_i^s$. Astfel că:

$$c_i(\tau) + Q_i^s(\tau) \leq \sigma_i + \rho_i \theta_i^s. \quad (6.18)$$

Sosirile $A_i(\tau, t)$ nu pot depăși numărul de jetoane din găleată la momentul τ plus numărul de jetoane primite în intervalul $(\tau, t]$, minus numărul de jetoane la momentul t . Aceasta înseamnă că,

$$A_i(\tau, t) \leq c_i(\tau) + \rho_i(t - \tau) - c_i(t). \quad (6.19)$$

Serviciul oferit sesiunii i , în intervalul $(\tau, t]$ este:

$$\begin{aligned} W_i^s(\tau, t) &= Q_i(\tau) + A_i(\tau, t) - Q_i(t) \\ &\leq Q_i(\tau) + A_i(\tau, t) \end{aligned} \quad (6.20)$$

Din ecuația (6.19) și (6.20), rezultă:

$$\begin{aligned} W_i^s(\tau, t) &\leq Q_i(\tau) + c_i(\tau) - \rho_i(t - \tau) - c_i(t) \\ &\leq (\sigma_i + \rho_i \theta_i^s) + \rho_i(t - \tau) \end{aligned} \quad (6.21)$$

Astfel că:

$$\sigma_i^{out} \leq \sigma_i + \rho_i \theta_i^s. \quad (6.22)$$

Dacă sesiunea i este singura activă în sistem, ea va fi servită explicit. Presupunem că maximum de conectare este atins la momentul t . După t , pachetele sosesc de la sesiune cu rata ρ_i . Astfel avem:

$$\sigma_i^{out} \geq \sigma_i + \rho_i \theta_i^s. \quad (6.23)$$

Din ecuația (6.22) și (6.23) se poate trage concluzia că $\sigma_i^{out} = \sigma_i + \rho_i \theta_i^s$.

6.1.2 Analiza unei rețele de servere LR

Pentru a calcula marginile pentru întârziere și conectare în cazul unei rețele, cea mai simplă cale este însumarea întârzierilor maxime ale tuturor nodurilor [ABB, CO, FF, GF]. Această metodă nu ține cont de corelația între sosirile la două servere succesive și de aceea conduc la o margine prea generală. O limită mai redusă poate fi dedusă, urmând abordarea lui Parekh și Gallager [PG/1, PG/2] care încearcă să surprindă comportarea sesiunii în mai multe noduri simultan.

Singura condiție pe care o vom impune rețelei este că toate serverele aparținând clasei LR și deci tot traficul sesiunii i e format la sursă cu o găleată găurită (σ_i, ρ_i) . De asemenea presupunem că banda de frecvență rezervată sesiunii în fiecare nod este cel puțin ρ_i . Pentru început enunțăm și demonstrăm următoarea leamnă.

Lema 6.2. Într-un lanț de servere LR, procesul traficului după nodul k , este un proces de tip găleată găurită cu parametrii $\sigma_i + \rho_i \sum_{j=1}^k \theta_i^{(s_j)}$ și ρ_i , unde $\theta_i^{(s_j)}$ este latența planificatorului j din calea sesiunii.

La demonstrarea teoremei 6.1 s-a arătat că traficul de ieșire a unui server RL se conformează modelului găleții găurite cu parametrii $(\sigma_i + \rho_i \theta_i^{(s)}, \rho_i)$. Aceasta înseamnă că traficul de intrare al următorului nod se conformează aceluiași model, astfel că după nodul $k-1$ traficul de ieșire al sesiunii i , și corespunzător traficul de intrare în nodul k , se vor conforma modelului găleții găurite. Aceasta înseamnă că:

$$A_k(\tau, t) \leq \left(\sigma_i + \rho_i \sum_{j=1}^{k-1} \theta_i^{(s_j)} \right) + \rho_i (t - \tau). \quad (6.24)$$

Acest rezultat ne permite să mărginim gradul de rafală a traficului sesiunii i la fiecare punct din rețea. Trebuie observat că creșterea gradului de rafală pe care sesiunea o poate vedea în rețea este proporțională cu suma latențelor serverelor traversate de ea. Deci, o sesiune care nu are nici un caracter de rafală la intrarea în rețea poate, din cauza latenței serverul să câștige un mare grad de rafală.

Următoarea leamnă va servi la determinarea marginii conectării sesiunii i , în fiecare nod al rețelei.

Lemma 3.3. Conectarea maximă $\theta_i^{(s_k)}(t)$ în nodul k al sesiunii este mărginită astfel:

$$Q_i^{(s_k)}(t) \leq \sigma_i + \rho_i \sum_{j=1}^k \theta_i^{(s_j)}.$$

Pentru demonstrație notăm cu σ_i^k gradul de rafală a sesiunii i la ieșirea nodului k . Din teorema 3.1 și lemma 3.2 avem,

$$\begin{aligned}
 Q_i^{(s_k)} &\leq \sigma_i^{k-1} + \rho_i \theta_i^{(s_k)} \\
 &\leq \sigma_i + \rho_i \sum_{j=1}^k \theta_i^{(s_j)}.
 \end{aligned}
 \tag{6.25}$$

Ca urmare a creșterii gradului de rafală, conectarea maximă pentru fiecare nod al rețelei este proporțională cu latența serverelor. În lema 6.3 am mărginit maximum conectării pentru sesiunea i în orice nod al rețelei. Această margine poate fi privită ca numărul maxim de tampoane de memorie necesar în nodul corespunzător al rețelei pentru a garanta că nu există pierderi pentru sesiunea i . Totuși, aceasta nu înseamnă că putem limita numărul maxim de pachete în rețea pentru sesiunea i , prin însumarea fiecărei margini a conectării fiecărui comutator din cale. O asemenea margine nu ia în considerare corelația dintre sosirile proceselor la nodurile individuale și poate fi deci prea generală.

Pentru a deduce o limită mai apropiată pentru întârzierea unei sesiuni într-o rețea de servere LR , vom arăta mai întâi că întârzierea cap la cap într-o rețea de două servere LR înseriate, este aceeași ca pentru o rețea cu un singur server a cărui latență este suma latențelor celor două servere pe care le substituie. Rezultatul permite extrapolarea la un număr arbitrar de servere RL aflate pe calea sesiunii de modelat.

Analiza a două servere LR în serie comportă o dificultate, în sensul că dacă primul server are latența nenulă, perioada de ocupare a sesiunii în al doilea server poate să nu coincidă cu POS corespunzătoare din primul server. Aceasta înseamnă că un pachet care pornește la începutul POS din primul server, poate să nu pornească la începutul POS din al doilea server. Astfel, cum rata actuală a serviciului percepută de sesiunea i în primul server poate fi mai mare decât ρ_i , o singură POS din primul server poate conduce la POS multiple în al doilea (vezi figura 6.3). Vom lua acest efect în considerare în analiza rețelei de servere LR .

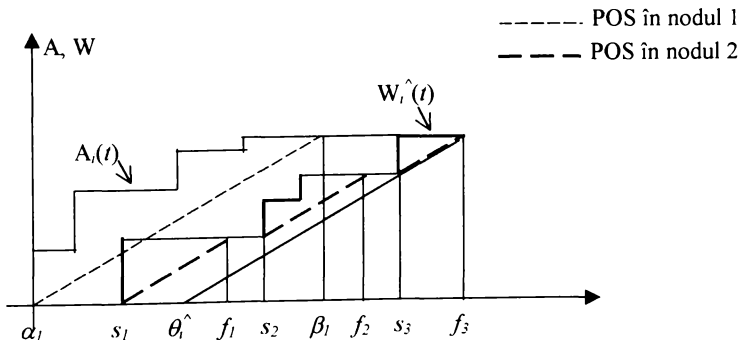


Fig. 6.3 Ilustrarea a POS în două servere înseriate. În acest caz POR pentru sesiunea i , $[\alpha_1, \beta_1]$ din primul server se împarte în mai multe POS în al doilea server, $(s_1, f_1]$, $(s_2, f_2]$, $(s_3, f_3]$. Linia oblică ce pornește din θ_i^{\wedge} mărginește toate aceste POS.

SOR, sesiunii i într-un interval de timp, semnifică volumul de trafic al sesiunii i , transmis de ultimul server din cale, în intervalul considerat. Cu $W_{i,j}(\tau, t)$ notăm cantitatea serviciilor oferite de rețea sesiunii i , în intervalul $(\tau, t]$ în perioada j a POR, iar cu $W_{i,j}^1(\tau_1, t_1)$ cantitatea de servicii în intervalul (τ_1, t_1) din perioada de ocupare locală, respectiv $W_{i,j}^2(\tau_2, t_2)$ pentru serverul al doilea. Mai întâi vom demonstra următoarea leamnă pentru mărginirea serviciului furnizat de rețea unei sesiuni într-un interval din POR.

Lemma 6.4. În cazul unei rețele de două servere S_1 și S_2 în serie, cu latențele $\theta_i^{(S_1)}$ respectiv $\theta_i^{(S_2)}$, dacă ρ_i este rata alocată sesiunii i în rețea, SOR pachetelor celei de-a j -a POR a sesiunii, pe intervalul $(\tau, t]$ din perioada de ocupare, este mărginit astfel,

$$W_{i,j}(\tau, t) \geq \max(0, \rho_i (t - \tau - (\theta_i^{(S_1)} + \theta_i^{(S_2)})))$$

Demonstrarea lemmei se face prin inducție față de POR. Notăm cu $(\alpha_j, \beta_j]$ intervalul celei de-a j perioade de ocupare a rețelei a sesiunii j , iar cu $W_{i,j}^1(\alpha_j, t)$ serviciul oferit de primul server S_1 pachetelor celei de-a j -a perioade de ocupare a rețelei până la momentul t . Trebuie remarcat că a j -a POR este aceeași cu aceeași j -a POS din primul server. Totuși perioada ocupată percepută de serverul S_2 poate fi diferită de aceste perioade. Notăm cu $(s_k, f_k]$ a k -a POS a sesiunii i în S_2 . Atunci $W_{i,k}^2(s_k, t)$ este serviciul oferit de S_2 în perioada k -a de ocupare, până la momentul t .

Notăm cu τ_k momentul de timp la care pachetele de la POS a sesiunii i din S_2 încep serviciul în S_2 . La fel, t_k este momentul la care ultimul pachet din a k -a sesiune ocupată din S_2 își termină serviciul în S_2 . Astfel este ușor de observat că:

$$\tau_k \geq s_k, \quad t_k \leq f_k + \theta_i^{(S_2)} \quad \text{și} \quad t_k \leq \tau_{k-1}.$$

În pasul principal considerăm prima POR, astfel încât $\alpha_1 \leq t \leq \beta_1$. Când prima POS pentru sesiunea i începe, nu există pachete din sesiunea precedentă. După cum s-a văzut mai înainte, prima POR a sesiunii i poate degenera în mai multe POS în al doilea server, și anume $(s_1, f_1], (s_2, f_2], \dots, (s_m, f_m]$ perioade succesive în care în al doilea server, pachetele provenind din prima POR vor fi servite.

Fie t^* ultimul moment de timp la care un pachet de la prima POR a fost în serviciu în S_2 . Trebuie să arătăm că, pentru orice t , $\alpha_1 \leq t \leq t^*$,

$$W_{i,1}(\alpha_1, t) \geq \max(0, \rho_i (t - \alpha_1 - (\theta_i^{(S_1)} + \theta_i^{(S_2)})))$$

Pentru t , trebuie să considerăm trei cazuri.

Cazul 1: $t \leq \tau_i$. În acest caz nu a fost prestat nici un serviciu în S_2 , astfel că $W_{i,l}(\alpha_i, t) = 0$, deci:

$$s_i \leq \alpha_i + \theta_i^{(s_i)},$$

și

$$\tau_i \leq s_i + \theta_i^{(s_i)}.$$

Astfel că,

$$t - \alpha_i \leq \theta_i^{(s_i)} + \theta_i^{(s_2)}. \quad (6.26)$$

Deci, putem scrie:

$$W_{i,l}(\alpha_i, t) \geq \max(0, \rho_i(t - \alpha_i - (\theta_i^{(s_i)} + \theta_i^{(s_2)}))) \quad (6.27)$$

Cazul 2: $\tau_k \geq t \leq t_k$, $1 \leq k \leq m$ (în perioada de ocupare k din S_2).

$$W_{i,l}(\alpha_i, t) = W_{i,l}(\alpha_i, \tau_k) + W_{i,l}(\tau_k, t). \quad (6.28)$$

Dar,

$$W_{i,l}(\alpha_i, \tau_k) = W_{i,l}^1(\alpha_i, s_k);$$

și

$$W_{i,l}(\tau_k, t) = W_{i,k}^2(\tau_k, t) = W_{i,k}^2(s_k, t).$$

Substituind în ecuația (6.28), rezultă:

$$\begin{aligned} W_{i,l}(\alpha_i, t) &= W_{i,l}^1(\alpha_i, s_k) + W_{i,k}^2(s_k, t) \\ &\geq \max(0, \rho_i(s_k - \alpha_i - \theta_i^{(s_i)})) + \max(0, \rho_i(t - s_k - \theta_i^{(s_2)})) \\ &\geq \max(0, \rho_i(t - \alpha_i - (\theta_i^{(s_i)} + \theta_i^{(s_2)}))). \end{aligned}$$

Cazul 3: $t_k \leq t \leq \tau_{k+1}$ (între perioadele ocupate din S_2); în acest caz putem scrie:

$$W_{i,l}(\alpha_i, t) = W_{i,l}(\alpha_i, \tau_{k+1}) - W_{i,l}(t, \tau_{k+1}). \quad (6.29)$$

Cum nici un pachet nu ajunge la S_2 între perioadele de ocupare, al doilea termen din partea dreaptă a relației este nul. Astfel, $W_{i,l}(\alpha_i, \tau_{k+1}) = W_{i,l}^1(\alpha_i, s_{k+1})$, deci ecuația (6.29) devine:

$$\begin{aligned} W_{i,l}(\alpha_i, t) &= W_{i,l}^1(\alpha_i, s_{k+1}) \\ &\geq \max(0, \rho_i(s_{k+1} - \alpha_i - \theta_i^{(s_i)})). \end{aligned} \quad (6.30)$$

Dar, $t \leq \tau_{k+1} \leq s_{k+1} + \theta_i^{(s_2)}$

sau $s_{k+1} \geq t - \theta_i^{(s_2)}$.

Astfel că putem rescrie ecuația (6.30) sub forma:

$$W_{i,l}(\alpha_i, t) = \max(0, \rho_i(t - \alpha_i - (\theta_i^{(s_i)} + \theta_i^{(s_2)})))$$

Dacă cu f_m sunt indicate momentele de timp la care un pachet din prima POR a fost servit de S_2 , atunci putem contoriza tot traficul sosit în rețea în intervalul $(\alpha_l, \beta_l]$. În orice caz, este posibil ca transmisia unui pachet sosit în intervalul $(\alpha_l, \beta_l]$ să apară în a $(m+1)$ -a perioadă ocupată din S_2 . Dacă este așa, fie t^* ultimul moment de timp la care pachetul de la prima POR a fost servit de S_2 . Apoi trebuie să avem în vedere, în demonstrație intervalele de timp $(t_m, \tau_{m+1}]$ și $(\tau_{m+1}, t^*]$. Acestea pot fi folosite ca în cazul 3 respectiv 2. Acestea încheie pasul principal al demonstrației.

În etapa de inducție, presupunem că pentru toate POR, l, \dots, n , lema este adevărată și astfel:

$$W_{i,n}(\alpha_n, t) = \max(0, \rho_i(t - \alpha_n - (\theta_i^{(S_1)} + \theta_i^{(S_2)}))).$$

Vom arăta acum că, pentru a $(m+1)$ -a perioadă de ocupare:

$$W_{i,n-1}(\alpha_{n-1}, t) = \max(0, \rho_i(t - \alpha_{n-1} - (\theta_i^{(S_1)} + \theta_i^{(S_2)}))).$$

În cazul cel mai simplu, primul pachet al sesiunii i din $(m+1)$ -a POR determină începutul unei perioade ocupate din al doilea server, caz care poate fi tratat ca și în pasul de bază. Cel mai dificil caz apare dacă, atunci când a $(m+1)$ -a POR începe, unele pachete ale sesiunii i din perioada ocupată precedentă sunt încă conectate în al doilea server. Astfel că, începutul POR a sesiunii i nu va coincide întotdeauna cu începutul perioadei ocupate a lui S_2 , ca în cazul pasului principal. De altfel acest lucru nu afectează analiza noastră.

Presupunem că a m -a perioadă ocupată a lui S_2 se desfășoară când primul pachet a POS $(m+1)$ sosește la S_2 . De asemenea presupunem că a m -a perioadă ocupată a lui S_2 începe la momentul s_m , și că primul pachet al celei a $(m+1)$ POR a fost servit de S_1 la momentul τ . Astfel,

$$\begin{aligned} W_{i,n-1}(\alpha_{n-1}, t) &= W_{i,n-1}(\tau, t) \\ &= W_{i,m}^2(s_m, t) - W_{i,m}^2(s_m, \tau). \end{aligned} \quad (6.31)$$

A m -a perioadă ocupată care se desfășoară în S_2 poate conține pachete de la mai multe POR, deoarece mai multe perioade ocupate a lui S_1 se pot contopi într-o singură perioadă ocupată a lui S_2 .

Presupunem că m -a perioadă ocupată a lui S_2 conține pachete de la POR $n-L, n-L+1, \dots, n-1$. Numărul total de pachete care sunt servite de S_2 până la τ este egal cu numărul total de pachete servite de POR $n-L, n-L+1, \dots, n$, minus acele pachete care au fost servite de a $(n-L)$ -a perioadă înainte de momentul s_m . Astfel,

$$\sum_{j=n-L}^n A_j(\alpha_j, \beta_j) = W_{i,n-1}^1(\alpha_{n-1}, s_m) + W_{i,m}^2(s_m, \tau), \quad (6.32)$$

sau echivalent,

$$\begin{aligned} W_{i,m}^2(s_m, \tau) &= \sum_{j=n-L}^n A_i(\alpha_j, \beta_j) - W_{i,n-L}^1(\alpha_{n-L}, s_m) \\ &\leq \sum_{j=n-L}^n \rho_i(\alpha_j, \beta_j) - \max(0, \rho_i(s_m - \alpha_{n-L} - \theta_i^{(s_i)})) \end{aligned} \quad (6.33)$$

$$\begin{aligned} &\leq \rho_i(\beta_n, \alpha_{n-L}) - \max(0, \rho_i(s_m - \alpha_{n-L} - \theta_i^{(s_i)})) \\ &\leq \rho_i(\beta_n - s_m + \theta_i^{(s_i)}) \end{aligned} \quad (6.34)$$

Din ecuațiile (6.31) și (6.32) și definiția serverelor *LR*, rezultă,

$$\begin{aligned} W_{i,n+1}(\alpha_{n+1}, t) &= W_{i,m}^2(s_m, t) - W_{i,m}^2(s_m, \tau) \\ &\geq \max(0, \rho_i(t - s_m - \theta_i^{(s_2)})) - \rho_i(\beta_n - s_m + \theta_i^{(s_1)}) \\ &\geq \max(0, \rho_i(t - \beta_n - (\theta_i^{(s_1)} + \theta_i^{(s_2)}))) \\ &\geq \max(0, \rho_i(t - \alpha_{n+1} - (\theta_i^{(s_1)} + \theta_i^{(s_2)}))). \end{aligned}$$

Ultima inegalitate este adevărată dacă $\beta_n \leq \alpha_{n+1}$.

Acum, dacă a $(n+1)$ - a POR este împărțită în mai multe perioade în S_2 , putem folosi aceeași abordare din pasul de bază pentru următoarele perioade ocupate din S_2 , pentru a termina demonstrația.

Lemma 6.4 arată că serviciul oferit unei sesiuni într-o rețea de două servere *LR* conectate în serie, în cel mai defavorabil caz nu este mai mic decât serviciul oferit sesiunii de un singur server *LR* a cărei latență este egală cu suma latențelor serverelor pe care le înlocuiește. Deoarece nu s-a făcut nici o presupunere despre serviciul maxim oferit unei sesiuni de către server, putem contopi un număr arbitrar de servere conectate în serie, pentru a estima serviciul oferit după nodul k . În lema precedentă, am presupus că rata alocată sesiunii este aceeași în toate serverele rețelei. Mai departe vom demonstra că, dacă nu ținem cont de această ipoteză, cel mai defavorabil caz al serviciului oferit va fi determinat simplu din rata cea mai mică dintre ratele alocate serverelor căii sesiunii.

Lemma 6.5 se referă la faptul că un server *LR* care poate garanta rata g_i cu latența θ_i , poate de asemenea garanta o rată $g'_i \leq g_i$ cu latența θ_i .

Pentru demonstrație presupunem că un server S de tip *LR* poate garanta rata g_i după o latență θ_i a sesiunii i . Astfel că, dacă τ este începutul perioadei ocupate j , a sesiunii i din S , serviciul oferit sesiunii i în intervalul $[\tau, t)$ pachetelor perioadei j ocupată, este dat de:

$$W_{i,j}(\tau, t) \geq \max(0, g_i(t - \tau - \theta_i)).$$

Considerăm acum perioada ocupată a sesiunii i , în care rata serviciului $g'_i \leq g_i$. Dacă τ este începutul perioadei j de ocupare cu rata g'_i , trebuie să arătăm că serviciul oferit pachetelor perioadei k a sesiunii i , cu rata g'_i de serviciu, în intervalul $(\tau', t']$ satisface inegalitatea:

$$W'_{i,j}(\tau', t') \geq \max(0, g'_i (t' - \tau' - \theta_i)).$$

Trebuie remarcat că perioada ocupată cu rata g'_i poate consta din mai multe perioade cu rata g_i . Astfel, în general, a k -a perioadă ocupată cu rata g'_i constă din m perioade consecutive ocupate cu rata g_i . Aceste m perioade le notăm cu $k+1, k+2, \dots, k+m$, și momentele lor de început și de sfârșit astfel $[s_1 + f_1], [s_2 + f_2], \dots, [s_m + f_m]$, astfel s_l indică și începutul perioadei k ocupate cu rata g'_i . În plus este ușor de arătat că perioada ocupată cu rata g_i , nu se poate suprapune cu mai mult de o perioadă ocupată cu rata g'_i .

Notăm de asemenea cu τ_p momentul la care pachetele de la sesiunea ocupată $k+p$, cu rata g_i își încep serviciul în sistem. Atunci putem scrie, pentru orice moment de timp t , $s_1 \leq t \leq \tau_2$,

$$W'_{i,k}(s_1, t) = W_{i,k+l}(s_1, t) \quad (6.35)$$

$$\geq \max(0, g_i (t - s_1 - \theta_i)) \quad (6.36)$$

$$\geq \max(0, g'_i (t - s_1 - \theta_i)). \quad (6.37)$$

La fel, pentru orice moment de timp $t \geq \tau_2$, pachetele care provin de la perioada ocupată k cu rata g'_i sunt încă servite, sau $t_p \leq t \leq t_{p+l}$, când $l < p \leq m+l$ putem scrie,

$$W'_{i,k}(s_1, t) = \sum_{n=1}^{p-1} W_{i,k+n}(\tau_n, \tau_{n+1}) + W_{i,k+p}(\tau_p, t) \quad (6.38)$$

$$\geq \sum_{n=1}^{p-1} A_i(s_n, f_n) + W_{i,k+p}(\tau_p, t) \quad (6.39)$$

$$\geq A_i(s_1, s_p) + W_{i,k+p}(\tau_p, t) \quad (6.40)$$

$$\geq g'_i (s_p - s_1) + \max(0, g_i (t - s_p - \theta_i)) \quad (6.41)$$

$$\geq g'_i (s_p - s_1) + \max(0, g'_i (t - s_p - \theta_i)) \quad (6.42)$$

$$\geq \max(0, g'_i (t - \tau - \theta_i)) \quad (6.43)$$

Folosind lema (6.5) putem enunța următorul corolar.

Corolar 6.1. Dacă τ este începutul perioadei j de ocupare a rețelei a sesiunii i într-o rețea de servere LR și dacă ρ_i este lățimea minimă de bandă

alocată sesiunii i în rețea, serviciul oferit pachetelor POR j după nodul k este dat de:

$$W_{i,j}^{s_i}(\tau, t) \geq \max \left(0, \rho_i \left(t - \tau - \sum_{j=1}^k \theta_i^{(s_j)} \right) \right),$$

unde $\theta_i^{(s_j)}$ este latența serverului j din rețea, pentru sesiunea i .

Folosind acest corolar, putem mărgini întârzierea cap-la-cap a sesiunii i , dacă traficul de intrare este format de o găleată și rata medie de sosire este mai mică decât ρ_i .

Teorema 6.2. Întârzierea maximă D_i a sesiunii i într-o rețea de servere LR , constând din K servere succesive, este mărginită astfel,

$$D_i \leq \frac{\tau_i}{\rho_i} + \sum_{j=1}^K \theta_i^{(s_j)}, \quad (6.44)$$

unde $\theta_i^{(s_j)}$ este latența serverului j din rețea pentru sesiunea i .

Demonstrația pleacă de la corolarul precedent, conform căruia putem trata întreaga rețea ca un singur server LR echivalent, cu latența egală cu suma latențelor serverelor. Folosind teorema 6.1, putem trage direct concluzia că întârzierea maximă este:

$$D_i \leq \frac{\tau_i}{\rho_i} + \sum_{j=1}^k \theta_i^{(s_j)}$$

Această întârziere maximă este independentă de topologia rețelei. Ea este funcție de doi parametri și anume gradul de rafală a traficului sesiunii la sursă și latențele serverelor individuale din calea sesiunii. Cum singura presupunere făcută este că serverele aparțin clasei LR , rezultatul este mult mai general decât cel obținut în [PG/1, PG/2] despre limita întârzierii.

În următorul paragraf vom arăta că planificatoarele cu conservarea lucrului sunt planificatoare LR , astfel că limita întârzierii găsită aici se poate aplica la aproape orice arhitectură de rețea. Limita întârzierii din ecuația (6.44) arată că sunt două căi de a minimiza întârzierea și necesarul de tampon de memorie într-o rețea de servere LR : i) prin alocarea suplimentară de bandă sesiunii, reducându-se astfel termenul τ_i/ρ_i , sau ii) folosirea de servere LR de latență redusă. Cum latența se însumează prin multiple noduri, a doua abordare este de preferat în rețele mari. Prima abordare reduce utilizarea rețelei, permițând doar unui număr mai redus de sesiuni simultane să fie în lucru, decât în cazul serverelor de latență minimă. Minimizând latența se minimizează și necesarul de tampon ale sesiunii în serverele rețelei. Întârzierea cap-la-cap și creșterea gradului de rafală a sesiunii într-o rețea de servere LR este proporțională cu latența θ_i^s a serverelor. Ambii parametri pot fi minimizați proiectând serverele cu latența minimă. Latența unui server depinde, în general, de parametrii săi interni și de alocarea benzii pentru sesiunea considerată. În plus, latența poate de asemenea varia cu numărul de sesiuni active și de alocarea

lor. Această dependență de latența altor sesiuni indică o izolare slabă a planificatorului. Astfel că în anumite planificatoare, latența poate depinde mult de parametrii interni și mai puțin de alocarea benzii pentru sesiunea observată. Asemenea planificatoare nu ne permit să controlăm latența sesiunii prin banda alocată ei. Pe de altă parte, latența unui server PGPS depinde mult de banda alocată sesiunii considerate astfel că este de dorit să existe o flexibilitate.

6.1.3 Limita întârzierii pentru surse formate cu o găleată dublă

Cum definiția unui server LR nu este făcută în vreo ipoteză asupra traficului său de intrare, este ușor de dedus limita întârzierii pentru alte distribuții de trafic decât modelul (σ, ρ) . De exemplu, dacă rata maximă a sursei este cunoscută, poate fi obținută o limită superioară modificată a întârzierii unui server LR . Notăm cu g_i rata de serviciu alocată conexiunii i și cu ρ_i rata medie, respectiv cu P_i rata maximă a sursei, pentru conexiunea i . Sosirile la intrarea serverului în intervalul $(\tau, t]$ satisface inegalitatea,

$$A_i(\tau, t) \leq \min(\sigma_i + \rho_i(t - \tau), P_i(t - \tau)) \quad (6.45)$$

Putem demonstra lema următoare.

Lemma 6.6. Întârzierea maximă D_i a sesiunii i într-un server LR , când se cunoaște rata maximă a sursei, este mărginită astfel:

$$D_i^s \leq \left(\frac{P_i - g_i}{g_i} \right) \left(\frac{\sigma_i}{P_i - \rho_i} \right) + \theta_i^s \quad (6.46)$$

Pentru demonstrație presupunem că întârzierea maximă D_i^s a fost determinată pentru pachetele care sosesc la momentul t^* din perioada ocupată j . Aceasta înseamnă că pachetele au fost servite la momentul $t^* + D_i^s$. Astfel volumul serviciilor oferite sesiunii până la momentul $t^* + D_i^s$ este egal cu traficul sosit de la sesiune până la momentul t . Cum s_j este începutul perioadei j ocupate,

$$W_{i,j}^s(s_j, t^* + D_i^s) = A_i(s_j, t^*). \quad (6.47)$$

Cu ecuația (6.45), aceasta devine,

$$W_{i,j}^s(s_j, t^* + D_i^s) = \min(\sigma_i + \rho_i(t^* - s_j), P_i(t^* - s_j)). \quad (6.48)$$

Cum serverul nu produce un serviciu la momentul θ_i^s , $D_i^s \geq \theta_i^s$. Din definiția serverelor RL ,

$$W_{i,j}^s(s_j, t^* + D_i^s) \geq g_i(t^* + D_i^s - s_j - \theta_i^s). \quad (6.49)$$

Din ecuația (6.48) și (6.49), avem:

$$g_i(t^* + D_i^s - s_j - \theta_i^s) \leq \min(\sigma_i + \rho_i(t^* - s_j), P_i(t^* - s_j)). \quad (6.50)$$

Cazul 1: Când $P_i(t^* - s_j) \leq \sigma_i + \rho_i(t^* - s_j)$, avem:

$$D_i^s \leq \left(\frac{P_i - g_i}{g_i} \right) (t^* - s_j) + \theta_i^s \quad (6.51)$$

și

$$P_i(t^* - s_j) \leq \sigma_i + \rho_i(t^* - s_j)$$

sau,

$$t^* - s_j \leq \frac{\sigma_i}{P_i - \rho_i}.$$

Substituind $(t^* - s_j)$ în ecuația (6.51), avem:

$$D_i^s \leq \left(\frac{P_i - g_i}{g_i} \right) \left(\frac{\sigma_i}{P_i - \rho_i} \right) + \theta_i^s. \quad (6.52)$$

Cazul 2: Când $P_i(t^* - s_j) > \sigma_i + \rho_i(t^* - s_j)$, avem:

$$(t^* - s_j) > \frac{\sigma_i}{P_i - \rho_i}. \quad (6.53)$$

Din ecuația (6.50),

$$(P_i - g_i)(t^* - s_j) \leq \sigma_i - \rho_i D_i^s + g_i \theta_i^s \quad (6.54)$$

și substituind $(t^* - s_j)$ din ecuația (6.53), rezultă:

$$D_i^s \leq \left(\frac{P_i - g_i}{g_i} \right) \left(\frac{\sigma_i}{P_i - \rho_i} \right) + \theta_i^s. \quad (6.55)$$

O rețea de servere LR poate fi modelată ca un singur server LR cu latența egală cu suma latențelor. Astfel poate fi dedus următorul rezultat important:

Corolarul 6.2. Întârzierea maximă D_i a sesiunii i , într-o rețea de servere LR formată din K servere în serie, la care se cunoaște rata maximă a sursei, este mărginită astfel,

Unde $\theta_i^{(s_i)}$ este latența nodului j .

6.2 Planificatoare din clasa LR

În acest paragraf vom arăta că unele din cele mai cunoscute planificatoare cu conservarea lucrului aparțin clasei LR și se calculează latența lor. Definiția serverelor LR este făcută în funcție de POS. Practic este totuși mai ușor să se analizeze algoritmi de planificare în funcție de PCS. Lema următoare permite estimarea latenței serverelor LR conform cu comportarea în perioadele de conectare a sesiunii.

Lemma 6.7. Fie $(s_j, t_j]$ intervalul de timp în care sesiunea i este continuu conectată în serverul S . Dacă serviciul oferit pachetelor care sosesc în intervalul $(s_j, t_j]$ poate fi mărginit la orice moment t , cu $s_j < t \leq t_j$ astfel:

$$W_i(s_j, t) \geq \max(0, \rho_i(t - s_j - \theta_i)),$$

atunci S este un server LR cu latența mai mică sau egală cu θ_i .

Această lemă ne va permite să estimăm latența unui server LR . Cu toate acestea nu este necesar să determinăm o margine compactă pentru θ_i . O cale simplă de a determina dacă marginea este compactă este de a da cel puțin un exemplu, în care serviciul oferit este de fapt egal cu marginea, metodă pe care o vom folosi în acest paragraf pentru a determina latența unor servere LR .

Demonstrarea lemei se face prin inducție. Notăm cu $(\alpha_k, \beta_k]$ perioada k de ocupare a sesiunii i în server.

În pasul de bază, la momentul α_1 care este începutul primei POS, sistemul devine conectat pentru prima oară. Presupunem că prima POS constă din câteva perioade de conectare $(s_j, t_j]$. Din definiția POS, la începutul perioadei j de conectare trebuie să existe următoarea inegalitate,

$$A(\alpha_1, s_j) \geq \rho_i(s_j - \alpha_1)$$

De altfel sistemul este vid la momentul s_j . Astfel,

$$A(\alpha_1, s_j) = W_{i,j}(\alpha_1, s_j).$$

Considerăm orice moment t în intervalul $(s_j, t_j]$, și putem scrie:

$$\begin{aligned}
W_i(\alpha_i, t) &= W_{i,l}(\alpha_i, t) \\
&= W_{i,l}(\alpha_i, t) + W_{i,l}(s_j, t) \\
&\geq \rho_i(s_j - \alpha_i) + \max(0, \rho_i(t - s_j - \theta_i)) \\
&\geq \max(0, \rho_i(t - \alpha_i - \theta_i)).
\end{aligned} \tag{6.58}$$

Considerăm acum orice moment t din perioada ocupată, dar între două POS, adică $t_j \leq t \leq s_{j+1}$. Cum sesiunea i nu primește serviciu în intervalul $(t, s_{j+1}]$, putem scrie:

$$W_i(\alpha_i, t) = W_{i,l}(\alpha_i, t) = W_{i,l}(\alpha_i, s_{j+1}). \tag{6.59}$$

Dar,

$$\begin{aligned}
W_{i,l}(\alpha_i, s_{j+1}) &= A_i(\alpha_i, s_{j+1}) \\
&\geq \rho_i(s_{j+1} - \alpha_i) \\
&\geq \rho_i(t - \alpha_i)
\end{aligned} \tag{6.60}$$

Astfel, din (6.59) și (6.60) rezultă,

$$W_i(\alpha_i, t) \geq \rho_i(t - \alpha_i). \tag{6.61}$$

Din (6.58) și (6.61) putem trage concluzia că la orice moment t din prima perioadă ocupată $(\alpha_i, \beta_i]$,

$$W_i(\alpha_i, t) \geq \max(0, \rho_i(t - \alpha_i - \theta_i)). \tag{6.62}$$

În etapa de inducție presupunem că lema este adevărată pentru toate perioadele ocupate $1, 2, \dots, n$ și demonstrăm că este adevărat și pentru perioada ocupată $n+1$.

Dacă atunci când începe perioada ocupată $n+1$, sistemul nu este conectat, se poate repeta aceeași demonstrație ca și în pasul de bază. Totuși este posibil, ca atunci când începe perioada ocupată $n+1$, sistemul să fie încă conectat cu pachete din perioada ocupată n , precedentă. Presupunem acum că perioada conectată care se derulează când începe perioada $n+1$ ocupată, este perioada conectată m . Această POS începe la momentul s_m ; în cazul general putem presupune că pachetele din L perioade anterioare au fost servite în intervalul de conectare $(s_m, t_m]$. Fie τ momentul la care ultimul pachet din perioada ocupată n a fost servit. Atunci,

$$\begin{aligned}
W_i(s_m, \tau) &= \sum_{j=n-L}^n A_i(\alpha_j, \beta_j) - W_{i,n-L}(\alpha_{n-L}, s_m) \\
&\leq \rho_i(\beta_n - \alpha_{n-L}) - \rho_i(s_m - \alpha_{n-L}) \\
&\leq \rho_i(\beta_n - s_m).
\end{aligned} \tag{6.63}$$

Trebuie să arătăm că $W_{i,n-L}(\alpha_{n-L}, t) \geq \max(0, \rho_i(t - \alpha_{n-L} - \theta_i))$. Procedăm astfel,

$$\begin{aligned}
W_{i, \alpha_{i-1}}(\alpha_{i-1}, t) &= W_i(\tau, t) \\
&= W_i(s_n, t) - W_i(s_n, \tau) \\
&\geq \max(\rho, (t - s_n - \theta)) - \rho(\beta_i - s_n) \\
&\geq \max(\rho, (t - \beta_i - \theta)) \\
&\geq \max(\rho, (t - \alpha_{i-1} - \theta)).
\end{aligned}$$

Ultima inegalitate provine din faptul că $\beta_i < \alpha_{i-1}$ și că serviciul oferit sesiunii nu poate fi negativ. Dacă după momentul t , pachetele perioadei ocupate $n-1$ formează perioade conectate multiple, demonstrația din pasul de bază poate fi repetată pentru completarea demonstrației lemei.

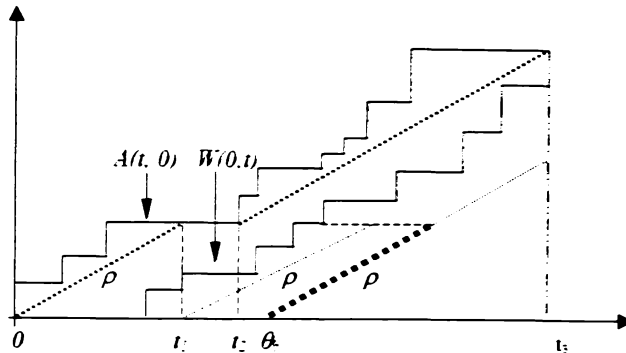


Figura 6.4. Diferența dintre mărghinirea serviciului funcție de perioada corectată respectiv perioada ocupată

Contribuția principală a teoriei serverelor *LR* este noțiunea de perioadă ocupată. Marginea serviciului oferit de un server este bazată pe noțiunea de perioadă ocupată. Aceasta este o abordare mult mai generală care mărghinește serviciul oferit de server, bazată pe conceptul de perioadă ocupată, în loc de perioadă de conectare. Se obțin astfel margini mai compacte pentru întârzierea cap-la-cap și o clasă mai extinsă de planificatoare care pot oferi aceste întârzieri.

În lema 6.7 am demonstrat că, dacă folosim perioade de conectare pentru a mărghini serviciul oferit de serverul S , atunci S este un server *LR* și latența sa nu poate fi mai mare decât cea determinată pentru perioada de conectare. Dar opusul nu este adevărat. Dacă considerăm exemplul din fig. 6.4 și presupunem că avem un server *LR* cu rata ρ și latența θ , atunci intervalele $(0, t_1]$ și $(t_2, t_3]$ sunt două perioade ocupate. Totuși serverul rămâne conectat pe tot intervalul $(t_1, t_2]$. Dacă pentru determinare marginii serviciului a fost folosită perioada de conectare, atunci ar putea rezulta o latență $\theta_2 > \theta$. Extinzând exemplul precedent pe mai multe POS este mai ușor de verificat că θ_2 nu poate fi mărghinită; acest lucru arată că dacă se folosește PCS în loc de POS în definiția serverelor *LR*, întârzierea cap-la-cap a serverului nu poate fi mărghinită. Folosind lema precedentă, putem analiza câteva servere cu conservarea lucrului și demonstra

că ele aparțin clasei LR . În următoarea demonstrație L_i indică lungimea maximă a pachetelor sesiunii i , iar L_{max} lungimea maximă a pachetelor din toate sesiunile.

6.2.1 Servirea imparțială ponderată WFQ

Începem prin a demonstra mai întâi că planificatorul GPS este un server LR .

Lemma 6.8. Un planificator GPS aparține clasei LR și latența sa este zero.

Pentru demonstrație, apelăm la definiția multiplexorului GPS, pe intervalul de timp în care conexiunea i este continuu conectată,

$$W_i^{GPS}(\tau, t) \geq \rho_i(t - \tau).$$

Din lemma (6.7) este ușor de conchis că planificatorul GPS este un planificator LR cu latența nulă.

Algoritmul de planificare cu servire imparțială ponderată WFQ sau GPS pachet-cu-pachet PGPS, este echivalentul multiplexării GPS lucrând pachet cu pachet. În [PG/1] s-a demonstrat că, dacă t^F și t^P sunt momentele de timp la care pachetele termină în cele două discipline, atunci

$$t^P \leq t^F + \frac{L_{max}}{r},$$

unde r este rata de transmisie a serverului. Pentru analiza unei rețele de server LR este necesar ca serviciul să fie mărginit la orice moment de timp după începerea POS. În plus, trebuie doar să considerăm că pachetul părăsește serverul pachet-cu-pachet, doar după ce ultimul său bit a plecat din server. Această condiție este necesară pentru a furniza o imagine exactă a gradului de rafală din rețea. Astfel, chiar înainte de t^P nu a plecat încă tot pachetul din serverul pachet-cu-pachet. Serviciul oferit conexiunii i în serverul pachet-cu-pachet va fi egal cu serviciul oferit aceleși conexiuni de multiplexorul GPS până la momentul t^P minus ultimul pachet. Este de remarcă că în multiplexorul GPS, deoarece are latența zero, începutul POS găsește mereu sistemul vid. Deci,

$$\begin{aligned} W_{i,j}^P(\tau, t) &\geq W_{i,j}^F\left(\tau, t - \frac{L_{max}}{r}\right) - L_i \\ &\geq \max\left(0, \rho_i\left(t - \tau - \frac{L_{max}}{r}\right) - L_i\right) \\ &\geq \max\left(0, \rho_i\left(t - \tau - \frac{L_{max}}{r} - \frac{L_i}{\rho_i}\right)\right). \end{aligned}$$

Astfel, putem enunța următorul corolar:

Corolarul 6.3. Planificatorul WFQ este un server LR cu latența $\frac{L_{max}}{r} + \frac{L_i}{\rho_i}$, latență care se poate arăta că este compactă.

6.2.2. Ceasul virtual, VCL

Disciplina VCL se bazează pe calculul etichetei de timp pentru fiecare pachet care sosește în sistem [XL]. Eticheta de timp este calculată funcție de etichetele de timp ale pachetelor precedente ale aceleiași conexiuni și timpul real care a trecut după începutul POS.

Teorema 6.3. Disciplina de servire VCL este un server LR cu latența $L_{max}/r + L_i/\rho_i$. Demonstrarea acestei teoreme se face cu teoria potențialelor.

6.2.3. Servirea imparțială cu autosincronizare, SCFQ

SCFQ a fost propusă pentru simplificarea algoritmului de sortare a priorităților de la serverul PGPS. Când o conexiune devine conectată, timpul virtual este estimat de timpul virtual de sfârșit a pachetului aflat în serviciu, fie acesta TS_{crit}. Atunci timpul virtual de sfârșit al pachetului j a conexiunii i , pachet cu lungimea L_j^i , se estimează cu:

$$F_i^j = \max(F_i^{j-1}, TS\ crt) + L_j^i / \rho_i .$$

Pachetele sunt servite în ordinea crescătoare a timpilor de sfârșit virtuali. Când sistemul devine vid, toate variabilele sunt puse pe zero.

Lemma 6.9. Dacă pachetul k al sesiunii i își începe PCS în serverul SCFQ, timpul virtual de sfârșit va fi estimat din timpul virtual al sistemului,

$$F_i^k = TS\ crt + L_i^k / \rho_k .$$

Demonstrația se face prin reducere la absurd. Dacă presupunem că $F_i^{k-1} > TS\ crt$, atunci pachetul F_i^{k-1} nu a fost încă servit și deci pachetul j va găsi sistemul vid.

Teorema 6.4. La orice moment t din PCS a sesiunii i într-un server SCFQ,

$$W_i(\tau, t) \geq \rho_i (t - \tau - (t^* - t)L_{max}/r - L_i/\rho_i).$$

Pentru demonstrație fie începutul PCS a sesiunii i în serverul SCFQ. Presupunem că PCS a început prin sosirea pachetului k a sesiunii i . Din lemma 3.9, timpul virtual de sfârșit al acestui pachet va fi:

$$F_i^k = TS \text{ crt} + L_i / \rho_i . \quad (6.64)$$

Considerăm a n -a POS i , ceea ce înseamnă că este pachetul $(k+n-l)$ al sesiunii i , și marcăm acest pachet. Timpul său virtual de sfârșit va fi

$$F_i^{k+n-l} = TS \text{ crt} + n L_i / \rho_i . \quad (6.65)$$

Calculăm acum cât trafic al altor sesiuni va fi servit înaintea pachetului marcat, în cazul cel mai defavorabil. Fiecare din celelalte sesiuni poate avea o dimensiune L_{max} de pachete cu timpul de sfârșit $TS \text{ crt}$. În plus, fiecare conexiune $j \neq i$ poate transmite $(n L_i / \rho_i) \rho_j$ traficul maxim înainte de transmiterea pachetului marcat iar eticheta sa de timp va fi în $TS \text{ crt} + n L_i / \rho_i$. Astfel momentul la care pachetul marcat va fi transmis, este:

$$\begin{aligned} D_i^{k+n-l} &\leq \tau + (V-l) \frac{L_{max}}{r} + \frac{l}{r} \left(\sum_{j=k}^{k+n-l} L_i + \sum_{j=1, j \neq i}^V n \frac{L_i}{\rho_i} \rho_j \right) \\ &\leq \tau + (V-l) \frac{L_{max}}{r} + \frac{l}{r} \left(n L_i + n \frac{r - \rho_i}{\rho_i} L_i \right) \\ &\leq \tau + (V-l) \frac{L_{max}}{r} + n \frac{L_i}{\rho_i} . \end{aligned} \quad (6.66)$$

Considerăm momentul $t \geq \tau$ în timpul PCS și presupunem că pachetul marcat a fost ultimul servit în intervalul $(\tau, t]$ din sesiunea i . Atunci serviciul total primit de sesiunea i în $(\tau, t]$ este:

$$W_i(\tau, t) = n L_i / \rho_i . \quad (6.67)$$

Dar t trebuie să fie înaintea momentului la care pachetul $k-n$ al sesiunii va părăsi serverul. Deci:

$$t \leq \tau + (V-l) \frac{L_{max}}{r} + (n+l) \frac{L_i}{\rho_i} , \quad (6.68)$$

sau:

$$n L_i \geq \rho_i \left(t - \tau + (V-l) \frac{L_{max}}{r} + \frac{L_i}{\rho_i} \right) . \quad (6.69)$$

Substituind $n L_i$ din (6.69) în (6.67),

$$W_i(\tau, t) \geq \rho_i \left(t - \tau + (V-l) \frac{L_{max}}{r} + \frac{L_i}{\rho_i} \right) . \quad (6.70)$$

Cum $W_i(\tau, t)$ nu poate fi negativ, putem scrie:

$$W_i(\tau, t) \geq \max \left(0, \rho_i \left(t - \tau - (V - I) \frac{L_{max}}{r} - \frac{L_i}{\rho_i} \right) \right). \quad (6.71)$$

Folosind lemma 6.7 putem enunța următorul corolar:

Corolarul 6.4 Planificatorul SCFQ aparține clasei serverelor LR și latența sa este mai mică cel mult egală cu $(V - I) \frac{L_{max}}{r} - \frac{L_i}{\rho_i}$.

Pentru demonstrație este suficient să folosim un exemplu. Fie 1 rata de transmisie a serverului, iar sesiunea i are alocată rata ρ_i și celelalte $V - I$ conexiunii au alocate ratele $(1 - \rho_i)/(V - I)$. Mai presupunem că toate sesiunile cu excepția lui i , devin conectate la momentul 0 cu pachete cu lungimea L_{max} . Atunci toate vor avea același timp virtual de sfârșit $TS crt$. Pachetul cu lungimea L_i la conexiunea i , ajunge chiar după ce primul pachet al uneia din celelalte conexiuni începe să fie servit, astfel $F_i^1 = TS crt + L_i / \rho_i$. Acest pachet și toate celelalte pachete au timpul virtual de sfârșit $TS crt$. Acum presupunem că fiecare conexiune $j \neq i$ transmite pachete cu lungimea totală $S = L_i \rho_j / \rho_i$. Timpul virtual de sfârșit al ultimului pachet din grup va fi egal cu $TS crt + L_i / \rho_i$, pentru fiecare conexiune j . În cazul cel mai defavorabil, pachetul conexiunii i va putea fi servit doar după ce toate aceste pachete își încheie serviciul. Astfel, primul pachet al conexiunii i își va termina serviciul doar la momentul:

$$\begin{aligned} D_i &= (V - I) \frac{L_{max}}{r} + \frac{1}{r} \sum_{j=1, j \neq i}^V L_i \rho_j / \rho_i + \frac{L_i}{r} \\ &= \frac{(V - I) L_{max} + (L_i / \rho_i)(r - \rho_i) + L_i}{r} \\ &= (V - I) \frac{L_{max}}{r} + \frac{L_i}{\rho_i}. \end{aligned}$$

6.2.4 Planificarea carusel cu recuperarea deficitului DRR

Începem cu **Lemma 6.10**. Dacă t_o este începutul PCS într-un server DRR, atunci la orice moment din PCS,

$$W_i(t_o, t) \geq \max \left(0, \rho_i \left(t - t_o - \frac{3F - 2\phi_i}{r} \right) \right).$$

Pentru demonstrație presupunem o conexiune conectată la t_o , iar t_k indică timpul de sfârșit al rundei în algoritmul DRR. În [SV] se arată că dacă o conexiune i este continuu conectată în intervalul $(\tau, t_k]$, atunci la sfârșitul rundei k ,

$$W_i(t_o, t_k) \geq k \phi_i - D_i^k. \quad (6.72)$$

Pentru fiecare interval $(t_{k-1}, t_k]$ putem scrie:

$$t_k - t_{k-1} \leq \frac{1}{r} \left(F + \sum_{j=1}^{\nu} D_j^{k-1} - \sum_{j=1}^{\nu} D_j^k \right). \quad (6.73)$$

Însumând după k ,

$$\begin{aligned} t_k - t_0 &\leq k \frac{F}{r} + \frac{1}{r} \sum_{j=1}^{\nu} D_j^0 - \frac{1}{r} \sum_{j=1}^{\nu} D_j^k \\ &\leq k \frac{F}{r} + \frac{F - \phi_i}{r}, \end{aligned}$$

sau

$$k \geq \frac{t_k - t_0}{F} r + \frac{\phi_i}{F} - 1 \quad (6.74)$$

Înlocuind k în ecuația (6.72), obținem:

$$\begin{aligned} W_i(t_0, t_k) &\geq \rho_i \left(\frac{t_k - t_0}{F} r + \frac{\phi_i}{F} - 1 \right) - D_i^k \\ &\geq \rho_i (t_k - t_0) - \phi_i \left(1 - \frac{\phi_i}{F} \right) - D_i^k. \end{aligned} \quad (6.75)$$

În cel mai defavorabil caz conexiunea i va fi ultima servită în runda k -a. Distingem două cazuri. În primul caz, conexiunea transmite mai mult decât ϕ_i în runda k , și atunci numărul maxim de pachete transmise este mărginit prin $2\phi_i - D_i^k$. Astfel, pentru orice moment de la începutul runde k până când pachetul începe să fie servit,

$$\begin{aligned} W_i(t_0, t) &\geq \max \left(0, \rho_i (t_k - t_0) - \phi_i \left(1 - \frac{\phi_i}{F} \right) - D_i^k - 2\phi_i + D_i^k \right) \\ &\geq \max \left(0, \rho_i (t_k - t_0) - 3\phi_i + \phi_i \frac{\phi_i}{F} \right) \\ &\geq \max \left(0, \rho_i \left(t - t_0 - \frac{3F - 2\phi_i}{r} \right) \right). \end{aligned}$$

Ultima inegalitate provine din faptul că cel puțin ϕ_i octeți au fost serviți în runda k , de la conexiunea i . Astfel, $t \leq t_k - \left(\frac{\phi_i}{r} + D_i^k \right)$. Când aceste pachete încep să fie servite, ele sunt servite cu rata $r \geq \rho_i$, și de aceea relația de mai sus este valabilă pentru orice t din runda k .

În cazul 2 numărul de pachete servite în runda k , pentru conexiunea i a fost $\leq \phi_i$. Astfel, din nou, pentru orice t înainte ca pachetele să fie servite în runda k ,

$$\begin{aligned}
W_i(t_0, t) &\geq \max \left(0, \rho_i(t_k - t_0) - \phi_i \left(1 - \frac{\phi_i}{F} \right) - D_i^k - \phi_i + D_i^k \right) \\
&\geq \max \left(0, \rho_i(t_k - t_0) - 2\phi_i + \phi_i \frac{\phi_i}{F} \right) \\
&\geq \max \left(0, \rho_i \left(t - t_0 - 2 \frac{F}{r} + \frac{\phi_i}{r} \right) \right).
\end{aligned}$$

Cum $\phi_i \leq F$,

$$W_i(t_0, t) \geq \max \left(0, \rho_i \left(t - t_0 - \frac{3F - 2\phi_i}{r} \right) \right).$$

Pentru cazul în care conexiunea i ar transmite mai puțin de ϕ_i octeți în ultima rundă, contorul de deficit se pune pe zero doar după sfârșitul rundeii. Astfel contorul va fi egal cu ϕ_i minus numărul de biți transmiși în timpul rundeii, chiar dacă coada a fost vidă în această rundă.

Folosind lemma 3.7 putem enunța următorul corolar.

Corolarul 3.5. DRR este un planificator LR cu latența $(3F - 2\phi_i)r$.

Pentru demonstrație folosim un exemplu care să confirme relația. Presupunem că la momentul τ , conexiunea i devine conectată când toate celelalte sesiuni au un contor de deficit $D_j = \phi_j - \Delta\phi_i$. Conexiunea i va fi ultima servită în această rundă și deci trebuie să aștepte un timp minim de $\sum_{j \neq i} (\phi_j + D_j)$. Presupunem acum că primul pachet al conexiunii i are dimensiunea $\Delta\phi_i$ iar ultimul are dimensiunea ϕ_i . Apoi doar primul pachet este servit, după care pachetele ϕ_j ale oricăreia din celelalte conexiuni vor fi servite înaintea servirii celui de al doilea pachet. Timpul la care acest pachet își termină serviciul va fi:

$$\sum_{j \neq i} (\phi_j + D_j) + \sum_{j \neq i} \phi_j + \phi_i + \Delta\phi_i$$

sau:

$$3 \sum_{j \neq i} \phi_j + 2\phi_i - \sum_{j \neq i} \Delta\phi_j + \Delta\phi_i.$$

Dacă $\Delta\phi_i \ll F$ se vede că această margine este foarte apropiată de $3F - 2\phi_i$.

6.2.5 Planificarea carusel ponderată WRR

WRR poate fi considerată ca un caz particular al DRR. Dacă ϕ_i este întotdeauna un multiplu întreg de pachete, sau celule, nu există condiții suplimentare impuse contorului de deficit. Extensia demonstrației precedente pentru WRR este directă.

Lemma 6.11. WRR este un server LR cu latența $(F - \phi_i + L_c)/r$, unde L_c este dimensiunea unei celule ATM.

Demonstrația: în cazul cel mai defavorabil toate celulele sesiunii i vor fi transmise la sfârșitul rundei. Notăm cu t_1, \dots, t_k timpzii de sfârșit ai rundei k după începutul PCS la timpul t_0 . Fie t timpul dintre runda k și după începutul PCS i , la care celula j a sesiunii i își începe transmisia. Astfel,

$$W_i(t_0, t) = W_i(t_0, t_{k-1}) + W_i(t_{k-1}, t) \quad (6.76)$$

$$= \max(0, (k-1)\phi_i) + (j-1)L_c \quad (6.77)$$

Dar cum sesiunea i este conectată continuu, $t_{k-1} - t_0 \leq (k-1)\frac{F}{r}$. Rezultă:

$$W_i(t_0, t) \geq \max\left(0, (t_{k-1} - t_0) - \frac{\phi_i}{F}r\right) + (j-1)L_c \quad (6.78)$$

$$\geq \max(0, \rho_i(t_{k-1} - t_0)) + (j-1)L_c \quad (6.79)$$

Dar știm la momentul t că,

$$\begin{aligned} t &\leq t_{k-1} + \frac{1}{r} \left(\sum_{n=1, n \neq i}^v \phi_n + jL_c \right) \\ &\leq t_{k-1} + \frac{1}{r} (F - \phi_i + jL_c) \end{aligned}$$

sau,

$$t_{k-1} \geq t - \frac{F - \phi_i + jL_c}{r} \quad (6.80)$$

Substituind în ecuația (6.79) obținem :

$$W_i(t_0, t) \geq \max\left(0, \rho_i\left(t - t_0 - \frac{F - \phi_i + jL_c}{r}\right)\right) + (j-1)L_c \quad (6.81)$$

Valoarea minimă a părții drepte apare când $j = 1$, deci se poate scrie

$$W_i(t_0, t) \geq \max\left(0, \rho_i\left(\frac{t - t_0 + L_c}{r}\right)\right) \quad (6.82)$$

Aceasta este latența celulelor care sosesc la începutul rundei și sunt servite la sfârșitul ei.

În tabelul 6.1 sunt prezentate rezultatele pe scurt.

Tabelul 6.1. Servere RL și latențele lor

<i>Server</i>	<i>Latența</i>
GPS	0
PGPS	$L_i / \rho_i + L_{max} / r$
SCFQ	$L_i / \rho_i + (V - I)L_{max} / r$
VCL	$L_i / \rho_i + L_{max} / r$
DRR	$(3F - 2\phi_i) / r$
WRR	$(F - \phi_i + L_c) / r$

L_i este dimensiunea maximă a pachetelor sesiunii i , iar $L_{i\ max}$ dimensiunea maximă a pachetelor pentru toate sesiunile. La WRR și DRR, F este dimensiunea cadrului și ϕ_i volumul de trafic din cadru alocat sesiunii i . La WRR, L_c este dimensiunea fixă a pachetului (celulei).

Este ușor de văzut că la PGPS și VCL sunt cele mai mici latențe, și în plus acestea nu depind de numărul de conexiuni care partajează aceeași linie de ieșire. Dar (vezi § 6.4) VCL nu este un algoritm imparțial.

La SCFQ, latența depinde liniar de numărul maxim de conexiuni partajând linia de ieșire. La DRR, latența depinde de dimensiunea F a cadrului care, conform cu definiția algoritmului, depinde de granularitatea alocării benzii și dimensiunea maximă a pachetului sesiunii. Astfel că, $\sum_{i=1}^V L_i \leq F$, unde L_i este dimensiunea de pachet în sesiunea i . Astfel, latența la DRR este și funcție de numărul maxim de conexiuni ce partajează linia de ieșire. WRR poate fi tratat ca un caz special al DRR iar latența sa depinde și ea de numărul maxim de conexiuni ce partajează linia de ieșire.

6.3 O margine îmbunătățită a întârzierii

Latența serverelor RL calculată anterior se baza pe ipoteza că un pachet este considerat servit doar când ultimul său bit a părăsit serverul. Astfel latența θ_i^s a fost calculată astfel încât serviciul desfășurat într-o POS la momentul t , $W_{i,j}(\tau, t)$ este totdeauna mai mare sau egal cu $\rho_i(t - \tau - \theta_i^s)$. Deoarece diferența maximă dintre $W_{i,j}(\tau, t)$ și $\rho_i(t - \tau)$ apare chiar înainte ca pachetul sesiunii i să plece din sistem, latența θ_i^s este calculată la acest moment. Acest lucru este necesar pentru a fi capabili să limităm sosirile în serverul următor din lanțul de servere; cum serverul nostru nu taie pachetul, un pachet poate fi servit doar după recepția ultimului său bit. Presupunerea că pachetele pleacă ca un impuls din server ne permite să modelăm sosirile pachetelor în serverul următor tot ca impulsuri.

Când calculăm întârzierea cap-la-cap a sesiunii, totuși, suntem interesați să găsim timpul la care ultimul bit al pachetului pleacă din server. Astfel, pentru ultimul server din șir putem determina latența θ_i^s funcție doar de momentele de timp imediat după ce pachetul a fost servit de sesiune. Acesta duce la o valoare mai scăzută a latenței și în consecință la o limită mai compactă a întârzierii cap-la-cap într-o rețea de servere decât cea dată de ecuația (6.41).

Pentru a aplica această idee analiza rețelei se face în două etape. Dacă sesiunea are k salturi, mărginim serviciul oferit sesiunii în primul server $k-1$, considerând momente arbitrare din POS. În ultimul nod, totuși, calculăm latența doar funcție de momentul imediat următor momentului în care pachetul și-a încheiat serviciul.

Cel mai bine este ilustrată ideea considerând un server PGPS. Presupunem că POS începe la momentul τ , și că pachetul părăsește serverul PGSP la momentul t_k . Deci, la un server GPS corespunzător, acest pachet pleacă la $t_k - L_{max}/r$ sau mai târziu. Astfel dacă considerăm doar astfel de puncte t_k , putem scrie:

$$\begin{aligned} W_{i,j}^P(\tau, t_k) &\geq W_{i,j}^P\left(\tau, t_k - \frac{L_{max}}{r}\right) \\ &\geq \rho_i \left(t_k - \tau - \frac{L_{max}}{r}\right) \end{aligned}$$

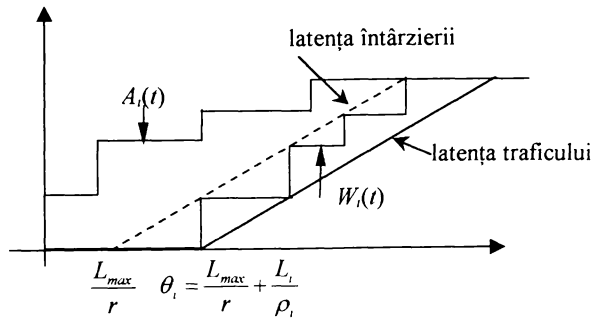


Fig. 6.5 Cele două anvelope folosite pentru a mărgini serviciul primit de sesiunea i în POS. Fiecare pas al funcției de sosire indică un pachet nou. Anvelopa de jos este marginea inferioară valabilă pentru serviciul în orice moment din POS, iar anvelopa de sus este valabilă doar pentru momentul când pachetul părăsește sistemul.

Aceasta conduce la o latență L_{max}/r față de $L_i/\rho_i + L_{max}/r$ calculată cu relația (6.64). În figura 6.5 sunt prezentate cele două anvelope rezultate prin limitarea serviciului în cele două moduri. Anvelopa de jos este valabilă pentru punctele arbitrare din POS, iar cea de sus doar pentru punctele când pachetul părăsește sistemul. Pentru calculul marginii întârzierii cap-la-cap într-o rețea de servere, putem folosi anvelopa de mai sus din ultimul server. În toate planificatoarele cu conservarea lucrului studiate, cele două anvelope sunt

separate prin L_i/ρ_i , L_i fiind lungimea maximă de pachet a sesiunii i . Astfel că, pentru aceste servere LR , putem obține o margine mai bună a întârzierii cap-la-cap în rețea, scăzând L_i/ρ_i din ecuația (6.44). Astfel,

$$D_i \leq \frac{\tau_i}{\rho_i} + \sum_{j=1}^k \theta_i^{(s_j)} - \frac{L_i}{\rho_i} \quad (6.83)$$

Dacă substituim latența obținută pentru PGPS din ecuația (6.64) în această expresie, atunci $\theta_i^{(s_j)} = L_i/\rho_i + L_{max}/r$ și obținem:

$$D_i \leq \frac{\tau_i}{\rho_i} + (k-1) \frac{L_i}{\rho_i} + k \frac{L_{max}}{r}, \quad (6.84)$$

care corespunde cu marginea obținută în [PG/2] pentru o rețea de servere PGPS. Cum latențele pentru PGPS și VCL sunt identice, marginea (6.84) este valabilă și pentru VCL; acest lucru este în concordanță și cu rezultatele obținute de Lam și Xie [LX].

Am verificat că îmbunătățirea cu L_i/ρ_i este valabilă pentru toate serverele LR analizate, dar rămâne o problemă deschisă dacă este adevărată pentru toate serverele LR .

Cu analiza serverelor RL se poate însă furniza o margine mai compactă a întârzierii decât cea din [PG/1, PG/2]. Presupunem că avem o rețea de K servere PGPS la care conexiunii i îi este alocată rata g_i^m în nodul m . Atunci folosind lema 6.5 este ușor de verificat că marginea întârzierii va fi:

$$D_i \leq \frac{\tau_i}{\min_{m=1}^K g_i^m} + \sum_{m=1}^{K-1} \frac{L_i}{g_i^m} + K \frac{L_{max}}{r}. \quad (6.85)$$

Deși timpul necesar pentru a drena rafala maximă este determinat de rata minimă alocată, latențele din comutatoarele individuale sunt determinate de ratele actuale alocate.

6.4. Imparțialitatea serverelor LR

În paragraful 6.1 am arătat că în cel mai defavorabil caz comportarea sesiunilor individuale într-o rețea de servere LR poate fi analizată cunoscând doar latențele lor. Dar latența nu oferă informații despre imparțialitate. De exemplu VCL și PGPS sunt două servere diferite cu aceeași latență, dar total diferite în ceea ce privește imparțialitatea. De aceea vom analiza imparțialitatea câtorva servere LR bine cunoscute și le vom compara.

Parametrul imparțialitate este bazat pe definiția lui Golestani pentru analiza SCFQ [GoV]. Presupunem că $W_i^S(\tau, t)$ este serviciul oferit conexiunii în

intervalul $(\tau, t]$ de către serverul S . Dacă ρ_i este banda alocată conexiunii i , fracția $W_i^S(\tau, t)/\rho_i$ atunci este serviciul normalizat oferit conexiunii i în intervalul $(\tau, t]$. Un planificator este perfect imparțial dacă diferența dintre serviciul normalizat oferit oricăror două conexiuni continuu conectate în sistem în intervalul $(\tau, t]$ este zero. Aceasta înseamnă că:

$$\left| \frac{W_i^S(\tau, t)}{\rho_i} - \frac{W_j^S(\tau, t)}{\rho_j} \right| = 0.$$

Multiplexarea GPS s-a demonstrat că are această proprietate. Totuși această condiție nu poate fi întâlnită la orice algoritm pachet-cu-pachet deoarece pachetele trebuie să fie exclusiv servite. La serverele pachet-cu-pachet deci, putem pretinde doar ca diferența dintre serviciul normalizat primit de conexiuni să fie mărginită printr-o constantă.

Diferența dintre serviciul normalizat oferit oricăror două conexiuni a fost propusă ca măsură a imparțialității algoritmului [SV1, SV2]. Mai precis, un algoritm este considerat aproape imparțial, pentru oricare două conexiuni i, j continuu conectate într-un interval de timp $(t_1, t_2]$, dacă:

$$\left| \frac{W_i^S(t_1, t_2)}{\rho_i} - \frac{W_j^S(t_1, t_2)}{\rho_j} \right| = F^S.$$

unde F^S este o constantă pe care o denumim imparțialitatea serverului S . Apar însă dificultăți în folosirea precedentei definiții la compararea imparțialității diferitelor planificatoare. Pentru aceeași structură a sosirii sesiunilor, PCS poate varia funcție de planificator. Compararea imparțialității diferitelor planificatoare poate conduce la rezultate eronate, dacă structura intrărilor nu este aleasă astfel încât să ducă la aceleași PCS în toate planificatoarele. Astfel, modificăm puțin definiția anterioară a imparțialității. Considerăm momentul τ la care conexiunile i și j comparate au o alimentare infinită cu pachete. Acest lucru le forțează să fie continuu conectate în servere, indiferent de algoritmul de planificare folosit. Ca măsură a imparțialității folosim diferența dintre serviciul normalizat oferit de cele două conexiuni pentru orice interval de timp.

De exemplu tipic de nonimparțialitate apare la algoritmul VCL (vezi figura 6.6) presupunem că cele două conexiuni partajează o linie de ieșire și au alocate părți egale din lățimea de bandă a liniei. Presupunem că fiecare pachet are lungimea unitară și rata serverului este tot unitară. Considerăm un interval de timp $0 - 1000$ în care doar conexiunea 1 este activă și trimite 1000 de pachete. Conexiunea 2 devine activă la momentul 1000 și după momentul 1000 ambele conexiuni transmit pachete. Presupunem că planificatorul este de tip VCL. Cum serverul este cu conservarea lucrului, el va servi toate cele 1000 de pachete de la conexiunea 1 până la $t = 1000$. Totuși la $t = 1000$, următorul pachet al conexiunii 1

va primi eticheta de timp 2000, reflectând serviciul mediu primit de conexiune până la 1000. Astfel conexiunea 1 va fi blocată până la 1500, când etichetele de timp ale celor două conexiuni devin egale. Dacă gradul maxim de rafală al celor două conexiuni nu este mărginit, putem vedea că intervalul de timp în care unei conexiuni conectate i se refuză serviciul crește la infinit. Un server PGPS prin contrast, furnizează un serviciu egal celor două conexiuni după $t=1000$, indiferent de excesul de bandă primită anterior de conexiunea 1.

Vom evalua acum imparțialitatea câtorva servere cunoscute. Cu L_i notăm din nou dimensiunea maximă a pachetelor sesiunii i , respectiv cu L_{max} dimensiunea maximă a pachetelor față de toate sesiunile. Pentru VCL, am văzut deja că nu există o valoare finită pentru F^S care să satisfacă definiția noastră a imparțialității.

6.4.1 Imparțialitatea planificatorului PGPS

Imparțialitatea serverului PGPS este dată în funcție de măsura precedentă a imparțialității, în lema următoare:

Lemma 6.12. Pentru un planificator PGPS,

$$F^S = \max \left(\max \left(C_j + \frac{L_{max}}{\rho_i} + \frac{L_j}{\rho_j}, C_i + \frac{L_{max}}{\rho_j} + \frac{L_i}{\rho_i} \right) \right),$$

unde C_i este serviciul normalizat maxim pe care o sesiune îl poate primi într-un server PGPS în exces față de acela din serverul GPS, ci este dat de relația:

$$C_i = \min \left((V - l) \frac{L_{max}}{\rho_i}, \max_{l \leq n-l} \left(\frac{L_n}{\rho_j} \right) \right).$$

Se poate arăta că marginea este compactă.

6.4.2 Imparțialitatea planificatorului SCFQ

Pentru SCFQ a fost stabilită următoarea margine [SV]

$$F^S = \frac{L_i}{\rho_i} + \frac{L_j}{\rho_j}$$

Vom demonstra că această limită este compactă printr-un exemplu în care se atinge limita. Presupunem că la momentul t_l , pachetul k de la conexiunea i a fost tocmai servit de serverul SCFQ. Următorul pachet va avea timpul virtual de terminare egal cu,

$$F_i^{k+1} = F_i^k + \frac{L_i}{\rho_i}.$$

Pachetele de la conexiunea j pot fi servite după pachetul k al conexiunii i dacă timpul lor virtual de sfârșit este mai mic sau egal cu F_i^{k+1} . Presupunem acum că conexiunea j are un pachet x de lungime L_j cu același timp de sfârșit F_i^k . De asemenea presupunem că j are un set de pachete în coadă în urma lui x cu dimensiunea totală $L_j \rho_j / \rho_i$. Ultimul din aceste pachete va avea un timp virtual de sfârșit.

$$F_j^m = F_i^k + \frac{L_j}{\rho_i}.$$

Astfel, un volum total de trafic egal cu $L_j + L_i \frac{\rho_j}{\rho_i}$ va putea fi servit de la conexiunea j înainte ca pachetul $k+1$ al conexiunii i să fie servit. Fie t_2 momentul la care pachetele lui j își termină serviciul. Atunci,

$$\begin{aligned} \frac{W_j(t_1, t_2)}{\rho_j} - \frac{W_i(t_1, t_2)}{\rho_i} &= \frac{1}{\rho_j} \left(L_j + \frac{L_i}{\rho_i} \rho_j \right) \\ &= \frac{L_i}{\rho_i} + \frac{L_j}{\rho_j}. \end{aligned}$$

6.4.3 Imparțialitatea planificatorului RR

Planificatorul carusel cu recuperarea deficitului DRR, propus în [SV] este un algoritm $O(1)$ pentru asigurarea garanțiilor asupra lățimii de bandă în comutatoare cu memorarea pachetelor la ieșire. DRR este o generalizare a WRR [KKK] propus pentru rețele ATM. WRR presupune că pachetele de la toate conexiunile au aceeași dimensiune și conexiunile sunt servite în ordine RR. Timpul este divizat în cadre de lungime maximă F și o conexiune nu are voie să transmită mai mult de ϕ_i pachete într-un cadru. Astfel banda alocată conexiunii este $\rho_i \geq \phi_i \frac{r}{F}$. DRR estimează serviciul oferit conexiunii într-o rundă în termeni de octeți și nu de pachete, permițând astfel lucrul cu dimensiuni variabile de pachete. Conexiunile sunt servite în ordine RR. Odată o conexiune selectată, pot fi transmiși până la ϕ_i octeți de la această conexiune. Dacă transmisia unui pachet întreg forțează conexiunea să transmită mai mult de ϕ_i pachete, ultimul pachet nu este transmis și contorul de deficite D_i^k este actualizat indicând

serviciul conexiunii omis în runda k . Acest deficit este apoi adăugat lui ϕ_i în runda următoare de servire a conexiunii i .

O altă variantă de RR este planificarea carusel cu surplus SRR (Surplus Round Robin) [FJ1, FJ/2, FJ/3]. Diferența față de DRR este că dacă un pachet forțează conexiunea să transmită mai mult decât ϕ_i octeți într-un cadru, pachetul este transmis, dar se actualizează un contor de surplus S_i^k care indică cantitatea de servicii oferite în exces conexiunii i în runda k . Acest serviciu în exces va diminua serviciul din runda următoare.

La DRR s-a arătat că, diferența dintre serviciile oferite oricăror două conexiuni care au aceeași rezervare de bandă este mărginită de $3\phi_i$, unde ϕ_i este numărul de octeți alocați acestor conexiuni în fiecare cadru. Vom extinde acum rezultatul pentru două conexiuni cu alocări arbitrare de bandă.

Lemma 6.13. Pentru un planificator DRR,

$$F^S = \frac{3F}{r}.$$

Pentru demonstrație presupunem un interval de timp $(t_0, t_n]$ unde t_0 și t_n sunt începutul, respectiv sfârșitul rundei n . Pentru fiecare $k = 1, 2, \dots, n$ când conexiunea este continuu conectată.

$$W_i(t_{k-1}, t_k) = \phi_i + D_i^{k-1} - D_i^k, \quad (6.86)$$

unde D_i^k este valoarea contorului de deficit a conexiunii i la sfârșitul rundei k . Însumând după k ,

$$W_i(t_0, t_k) = k\phi_i + D_i^0 - D_i^k. \quad (6.87)$$

Dacă $D_i^k \leq \phi_i$ pentru orice k , putem scrie,

$$W_i(t_0, t_k) \leq k\phi_i + \phi_i. \quad (6.88)$$

Similar, dacă conexiunea j este continuu conectată pe același interval

$$\begin{aligned} W_j(t_0, t_k) &= k\phi_j + D_j^0 - D_j^k \\ &\geq k\phi_j - \phi_j \end{aligned} \quad (6.89)$$

Din ecuația (6.88) și (6.89) se deduce simplu că:

$$\begin{aligned} \left(\frac{W_i(t_0, t_k)}{\rho_i} - \frac{W_j(t_0, t_k)}{\rho_j} \right) &\leq \frac{\phi_i}{\rho_i} + \frac{\phi_j}{\rho_j} \\ &\leq \frac{2F}{r}. \end{aligned}$$

Această margine se aplică intervalelor de timp care cuprind un număr întreg de cadre. Pentru un interval arbitrar, diferența dintre serviciile oferite celor două conexiuni poate crește cu ϕ_i sau ϕ_j octeți. Normalizând această diferență suplimentară, obținem o margine generală a imparțialității,

$$F^s = \frac{3K'}{r}. \quad (6.90)$$

În cazul WRR, unde deficitul este mereu zero, extinderea demonstrației precedente conduce la următorul corolar.

Corolarul 6.6. Pentru un planificator WRR

$$F^s = \frac{F}{r}.$$

În concluzia acestui capitol putem spune că, cu excepția VCL, algoritmi de planificare studiați pot fi considerați imparțiali conform cu definiția enunțată aici a imparțialității. Este interesant de remarcat că SCFQ este cea mai imparțială disciplină de planificare pachet-cu-pachet, în anumite cazuri mai bună chiar decât PGPS. Pe de altă parte, latența serverului SCFQ poate fi mult mai mare decât latența serverului PGPS, deoarece SCFQ poate întârzia servirea conexiunii dacă aceasta se conectează după un interval de pauză, în timp ce PGPS își penalizează conexiunile care și-au primit deja banda alocată, pentru a servi noile conexiuni.

6.5 Concluzii

În tabelul 6.2. au fost trecute caracteristicile unor algoritmi de planificare din clasa LR, în funcție de trei parametri: latență, imparțialitate și complexitate.

Se vede că planificatorul PGPS are cea mai bună performanță, atât pentru latență cât și imparțialitate, dar are cea mai mare complexitate de implementare. Deși VCL are latența identică cu PGPS nu este un algoritm imparțial. Cealți algoritmi au nonimparțialitatea mărginită, dar au latențe mai mari decât PGPS. Din analiza serverelor LR rezultă clar că, creșterea latenței duce la întâzieri limită cap-la-cap crescute, un necesar crescut de tamponare de memorie în comutatoare și un grad de rafală crescut în rețea. Chiar în cazul surselor cu trafic CBR, sesiunile pot acumula rafale mari după mai multe treceri prin rețea, dacă serverele au latențe mari. Astfel, este foarte important să se folosească servere cu latența mică, în rețelele de bandă largă. Atât la serverele SCFQ cât și RR, latența și imparțialitatea sunt puternic afectate de numărul de conexiuni care partajează linia de ieșire. Acest lucru face dificil controlul întâzierii cap-la-cap al sesiunii, în rețelele în care un număr mare de fluxuri pot partaja linia.

Tabelul 6.2. Caracteristicile planificatoarelor din clasa LR

Server	Latență	Imparțialitatea	Complexitatea
GPS	0	0	-
PGPS	$\frac{L_i + L_{max}}{\rho_i + r}$	$\max \left(C_j + \frac{L_{max}}{\rho_i} + \frac{L_j}{\rho_j}, C_i + \frac{L_{max}}{\rho_i} + \frac{L_i}{\rho_i} \right),$ unde $C_i = \min \left((V-1) \frac{L_{max}}{\rho_i}, \max_{1 \leq n \leq V} \left(\frac{L_n}{\rho_n} \right) \right)$	$O(V)$
SCFQ	$\frac{L_i + L_{max}}{\rho_i + r} (V-1)$	$\frac{L_i}{\rho_i} + \frac{L_j}{\rho_j}$	$O(\log V)$
VCL	$\frac{L_i + L_{max}}{\rho_i + r}$	∞	$O(\log V)$
DRR	$\frac{3F - 2\phi_i}{r}$	$\frac{3F}{r}$	$O(1)$
WRR	$\frac{F - \phi_i + L_c}{r}$	$\frac{F}{r}$	$O(1)$
FQ cu cadre	$\frac{L_i + L_{max}}{\rho_i + r}$	$\frac{2F}{r} + \max \left(\frac{L_i}{\rho_i}, \frac{L_j}{\rho_j} \right)$	$O(\log V)$

L_i este dimensiunea maximă a pachetelor sesiunii i , respectiv L_{max} pentru toate sesiunile. C_i este serviciul normalizat maxim pe care o sesiune o poate primi în exces de la un server PGPS. În WRR și DRR, F este dimensiunea cadrului și ϕ_i volumul de trafic în cadre alocate sesiunii i . L_c este dimensiunea fixă a pachetelor (celule) la WRR.

Comparația planificatoarelor, realizată în acest capitol, după cei trei parametri, lasă deschisă problema proiectării unui algoritm de planificare cu aceeași parametri ca PGPS.

Abordarea adoptată de a modela întreaga rețea de servere LR ca un singur server LR nu impune nici o condiție traficului de intrare. Deși marginile pentru întârzierea cap la cap și necesarul de tampon de memorie, au fost deduse în ipoteza unui trafic de intrare format de o găleată găurită, același model poate fi folosit cu alte modele de trafic de intrare.

Analiza imparțialității din § 6.4 nu are în vedere intervalele de timp în care conexiunea este inactivă, care trebuie cuprinse într-o analiză mai completă. Într-un algoritm imparțial, serviciul pierdut de două conexiuni când sunt inactive trebuie să fie și el proporțional cu rezervările lor. În plus, dacă o conexiune este inactivă și altele sunt conectate, prima trebuie să piardă un serviciu normalizat proporțional cu serviciul pe care-l primesc celelalte. Lucrările viitoare trebuie să includă o metodă universală de estimare a imparțialității algoritmilor de planificare. Această măsură trebuie să depindă doar de caracteristicile serverului și nu de parametrii traficului sesiunilor individuale. De altfel ar trebui să fie suficientă demonstrația că acel server furnizează un serviciu conexiunii comparabil cu cel al multiplexorului GPS.

Capitolul 7

SERVERE PROPORȚIONALE CU RATA

Așa cum s-a arătat în capitolul precedent, aproximarea pachet cu pachet a GPS (WFQ) are latența cea mai redusă dintre serverele pachet cu pachet, cele mai reduse margini ale întârzierii cap la cap și necesarul de tamponare de memorie este minim. Dezavantajul WFQ este însă complexitatea cea mai mare a implementării VCL are aceeași latență ca WFQ dar nu este imparțial. Planificatoarele SCFQ și RR furnizează o margine a nonimparțialității, dar latența lor depinde de numărul de conexiuni care partajează linia de ieșire. În rețelele de bandă largă, marginea întârzierii cap la cap devine prohibitiv de mare.

Rămâne o problemă crearea unui algoritm de planificare care să combine întârzierea și gradul de rafală a lui WFQ, calculul simplu al etichetelor de timp și mărginirea nonimparțialității. În acest capitol vom dezvolta un cadru analitic pentru dezvoltarea unui asemenea algoritm și vom analiza proprietățile sale.

7.1 Funcțiile de potențial

Planificatorul GPS asigură o imparțialitate ideală, oferind același serviciu normalizat tuturor conexiunilor conectate, la orice moment de timp. Dacă se reprezintă serviciul total primit de fiecare sesiune ca o funcție, denumită timp virtual, VT (Virtual Time), [ZK, XL], ea va crește cu aceeași rată pentru orice sesiune conectată și anume rata serviciului normalizat furnizat ei de planificator la acel moment. Similar, putem defini o funcție globală de timp virtual, GVT care crește cu rata serviciului total produs de planificator la fiecare moment din perioada ocupată a serverului. La GPS, VT al tuturor conexiunilor conectate este identic la orice moment și egal cu GVT. Acest lucru se obține inițializând VT al conexiunii cu GVT când aceasta devine conectată și apoi crescând VT cu rata serviciului normalizat instantaneu primit de conexiune pe timpul conectării sale. Acest lucru permite unei conexiuni inactive să primească imediat serviciu când devine conectată, rezultând o latență nulă. Această funcție pe care o vom denumi potențial, P , reprezintă starea fiecărei conexiuni din planificator. Potențialul unei conexiuni este o funcție nedescrescătoare în timpul POSIS. Când o conexiune i se conectează, P_i crește funcție de serviciul normalizat primit: dacă cu $P_i(t)$ se notează potențialul conexiunii i la momentul t , atunci în intervalul $(\tau, t]$ al PCS al sesiunii i

$$P_i(t) - P_i(\tau) = \frac{W_i(\tau, t)}{\rho_i}$$

Potențialele tuturor conexiunilor se pot inițializa pe zero la începutul POSIS, deoarece toate informațiile de stare se șterg când sistemul devine inactiv.

Din definiția potențialului este clar că un algoritm imparțial trebuie să aștepte să crească potențialele tuturor conexiunilor conectate la aceeași rată, rata de creșterea potențialului sistemului. Obiectul de bază este deci egalizarea potențialului fiecărei conexiuni, ceea ce încearcă de fapt să facă planificatoarele cu sortarea priorităților, ca GPS, WFQ, SCFQ și VCL. Definiția potențialului ne spune însă cum se actualizează P când conexiunea este inactivă, doar că P este nedescrescător. Algoritmii de planificare actualizează diferit P al conexiunilor inactice. Ideal este ca, în timpul cât conexiunea i , C_i , este neconectată, P_i să crească cu serviciul normalizat pe care C_i l-ar primi dacă ar fi conectată. În acest caz când C_i devine din nou ocupată P_i va fi identic cu al altor conexiuni conectate în sistem, ceea ce-i permite să fie imediat servită.

O cale de actualizare a potențialului conexiunii când ea devine conectată este de a defini $P(t)$ potențialul sistemului care urmărește cum progresa lucrul total al planificatorului. $P(t)$ este o funcție nedescrescătoare de timp. Când C_i inactivă, devine conectată la momentul t , $P_i(t)$ poate fi inițializată la $P(t)$ pentru a ține cont de serviciul pierdut de ea. Planificatoarele folosesc diferite funcții pentru a menține $P(t)$ ceea ce duce la diferite comportări ale întârzierii și ale imparțialității. În general, potențialul sistemului la un moment t poate fi definit ca o funcție nedescrescătoare, de potențialele conexiunii individuale, înainte de t , și de t .

$$P(t) = F(P_1(-t), P_2(-t), \dots, P_V(-t), t) \quad (7.1)$$

Serverul GPS, de exemplu, inițializează potențialul conexiunilor nou create la cel al conexiunii curente conectate în sistem. Aceasta înseamnă că $P(t) = P_i(t)$, pentru orice $i \in B(t)$, unde $B(t)$ este setul de conexiuni conectate la momentul t . Planificatorul VCL inițializează potențialul conexiunii la timpul real când aceasta devine conectată astfel că $P_2(t) - P_1(t) = t_2 - t_1$.

7.2 Servere proporționale cu rata, SPR

Pentru a defini o nouă clasă generală de servere proporționale cu rata, SPR, definim mai întâi aceste planificatoare în modelul cu fluid și apoi extindem definiția la modelul pachet cu pachet. Aceste planificatoare sunt caracterizate prin disciplina de servire, care reglează rata instantanee a serviciului pentru sesiunile individuale conectate, astfel încât să le egalizeze potențialele. Definiția cere ca potențialul $P(t)$ al sistemului să fie menținut la, sau dedesubtul potențialului oricărei conexiuni, în orice moment în care serverul este ocupat.

Acest lucru asigură ca noile conexiuni să nu aibă un potențial inițial mai mare decât celelalte conexiuni și deci să primească serviciu imediat. Astfel SPR este un server de latență nulă. Dar definiția nu indică modul de sintetizare a lui $P(t)$, care este diferit de exemplu pentru GPS și VCL care sunt și ele servere RPS. Dar SCFQ nu este SPR deoarece nu satisface condiția asupra potențialului sistemului.

Pentru a defini formal clasa SPR, notăm cu $B(t)$ setul de conexiuni conectate la momentul t . astfel SPR are următoarele proprietăți:

1. rata ρ_i este alocată conexiunii i și $\sum_{i=1}^V \rho_i \leq r$, unde r este rata totală a serviciului serverului.
2. Potențialul unei conexiuni $P_i(t)$, descrie starea conexiunii la momentul t , și satisface proprietățile:
 - a) $P_i(t)$ rămâne constant când conexiunea i e neconectată;
 - b) Când conexiunea devine conectată la momentul t ,

$$P_i(\tau) = \max(P_i(-\tau), P(\tau -)) \quad (7.2)$$

- c) Pentru orice $t > \tau$, conexiunea rămâne conectată și $P_i(t)$ este crescută cu serviciul normalizat oferit conexiunii în intervalul $(\tau, t]$, deci

$$P_i(t) = P_i(\tau) + \frac{W_i(\tau, t)}{\rho_i} \quad (7.3)$$

3. Potențialul $P(t)$ al sistemului descrie starea acestuia la momentul t , iar $P(t)$ satisface condițiile:
 - a) Pentru orice interval $(t_1, t_2]$ din POSIS

$$P(t_2) - P(t_1) \geq t_2 - t_1 \quad (7.4 a)$$

- b) $P(t)$ este întotdeauna mai mic sau egal decât potențialele conexiunilor conectate la momentul t ,

$$P(t) \leq \min_{j \in B(t)} (P_j(t)) \quad (7.4 b)$$

4. La orice moment t , conexiunile sunt servite conform potențialelor lor instantanee după regulile:
 - a) Dintre toate conexiunile conectate sunt servite cele de potențial minim la acel moment t ,
 - b) Fiecare conexiune din set este servită cu o rată instantanee proporțională cu rezervarea sa, deci $P_i(t)$ crește cu aceeași rată.

Definiția specifică condițiile funcției $P(t)$ care să permită proiectarea unui server de latență nulă, dar nu și modul de implementare, care trebuie să fie eficient.

Perioada activă a unei sesiuni i , PAS_i , este intervalul maxim de timp pe durata POSIS, în care potențialul sesiunii nu este mai mic decât cel al sistemului, celelalte perioade fiind considerate inactice. Conceptul de PAS este util pentru analiza comportării PRS. O conexiune nu este conectată în perioada inactivă și deci nu poate primi serviciu. PAS este aceeași cu POS, deoarece $P_i(t) < P(t)$ doar când conexiunea este nefolosită; trecerea de la starea inactivă la cea activă are loc doar la sosirea unui pachet. O conexiune activă poate să nu fie servită în PAS dacă alte conexiuni au un potențial mai scăzut. Planificatorul servește în orice moment conexiunile de potențial minim. Conexiunea va fi întotdeauna servită la începutul PAS dacă $P_i(t) = P(t)$.

Dacă o conexiune cu potențial mai mic devine activă, se suspendă servirea celorlalte conexiuni până ce acesta ajunge la aceeași potențial cu al celorlalte. Dacă o conexiune își termină serviciul, rata instantanee a celorlalte conexiuni va crește, deoarece planificatorul conservă lucrul; dacă o conexiune a primit mai multă bandă în PAS decât cea alocată în perioada activă anterioară i se suspendă lucrul.

Deoarece serverele LR sunt definite funcție de POS, trebuie stabilită corespondența POS – PAS, și vom vedea că începutul POS este același cu al PAS pentru SPR (lema 7.1). Demonstrația sa se va face prin reducere la absurd. Presupunem că începuturile diferă $\tau_{POS} \neq \tau_{PAS}$. Apar două cazuri: i) τ aparține unei perioade inactice. Dar, τ fiind începutul POS, poate sosi un pachet, ceea ce înseamnă că $P_i(t)$ poate deveni egal cu $P(t)$ ceea ce înseamnă că $\tau_{POS} = \tau_{PAS}$. ii) PAS începe la $\tau_0 < \tau$ și deci pentru $\forall t \in (\tau_0, \tau]$ trebuie să avem:

$$P_i(t) \geq P(t). \quad (7.5)$$

Pe intervalul $(\tau_0, \tau]$, P_i crește cu serviciul normalizat oferit sesiunii i , astfel că pentru $\forall t \in (\tau_0, \tau]$,

$$P_i(t) - P(\tau_0) = \frac{W_i(\tau_0, t)}{\rho_i}. \quad (7.6)$$

Dar τ_0 este începutul PAS și deci:

$$P_i(\tau_0) = P(\tau_0). \quad (7.7)$$

Din ecuația (7.5) și (7.7)

$$\begin{aligned} P_i(t) = P(\tau_0) &\geq P(t) - P(\tau_0) \\ &\geq (t - \tau_0). \end{aligned} \quad (7.8)$$

Astfel din ecuația (7.6) și (7.8),

$$W_i(\tau_0, t) \geq \rho_i (t - \tau). \quad (7.9)$$

Cum înainte de τ_0 sistemul nu a fost conectat, rezultă că:

$$A_i(\tau_0, t) \geq W_i(\tau_0, t) \geq \rho_i(t - \tau_0). \quad (7.10)$$

Deci τ_0 aparține aceleași POS în orice moment $\forall t \in (\tau_0, \tau]$ și înseamnă că τ nu poate fi începutul POS. La activarea unei conexiuni $P_i(t)$ este minim față de oricare $P_j(t)$ al conexiunilor, deci poate fi servită imediat.

Servirea sa poate fi suspendată, dacă o altă conexiune j devine activă în POS _{i} , până când $P_i(t) = P_j(t)$. Vom deduce marginea inferioară a volumului serviciului primit de conexiunea i în PAS în lema 7.2: dacă τ este începutul PAS _{i} în SPR, atunci la orice $t > \tau$ și $t \in PAS_i$, serviciul oferit conexiunii i , $W_i(\tau, t) \geq \rho_i(t - \tau)$. Pentru demonstrație considerăm un moment t din perioada activă a conexiunii. Atunci din definiția PAS $P_i(t) \geq P(t)$ și $P_i(\tau) \geq P(\tau)$ iar din ecuația (7.8) și (7.9) rezultă: $W_i(\tau, t) \geq \rho_i(t - \tau)$.

Dar o POS poate consta din PAS multiple. Pentru a demonstra că SPR este un server LR de latență nulă trebuie să demonstrăm că pentru orice t după începutul POS la momentul τ , $W_i(\tau, t) \geq \rho_i(t - \tau)$. Din lemele precedente, ajungem la:

Teorema 7.1: SPR este un server LR de latență nulă.

În timpul perioadelor inactive conexiunea nu primește serviciu, nefiind conectată. Conexiunea nu poate primi mai puțin serviciu decât rata alocată doar pe perioada inactivă PIS (perioada inactivă a sesiunii). Cum în PIS nici un pachet nu este în așteptarea serviciului, POS trebuie să se termine cu ea.

Evoluția $P_i(t)$ poate fi trasată împărțind POS în mai multe PAS respectiv PIS. Demonstrația o facem prin reducere la absurd. Presupunem că POS, $(\tau_0, \tau]$ și $t^* \in (\tau, t]$, t^* fiind primul moment în care,

$$W_i(\tau, t^*) < \rho_i(t^* - \tau).$$

Dacă $t^* \in PAS$ și t_a este începutul PAS, știm din lema 7.1 că $t_a \geq \tau$, și cum $t^* > t_a$ rezultă că:

$$W_i(\tau, t_a) \geq \rho_i(t_a - \tau).$$

Din lema 4.2 știm că pentru t^* aparținând aceleași PAS

$$W_i(t_a, t^*) \geq \rho_i(t^* - t_a).$$

Din ultimele două ecuații, deducem că:

$$W_i(\tau, t^*) \geq \rho_i(t^* - \tau). \quad (7.11)$$

Dacă $t^* \in PIS$, considerăm momentul $t^* - \Delta t$. Știm că:

$$W_i(\tau, t^* - \Delta t) \geq \rho_i(t^* - \Delta t - \tau).$$

În PIS nu sunt pachete conectate deci,

$$W_i(\tau, t^* - \Delta t) = A_i(\tau, t^* - \Delta t),$$

și nici un pachet nu a fost servit în intervalul $(t^* - \Delta t, t^*]$, deci:

$$W_i(\tau, t^* - \Delta t) = W_i(\tau, t^*).$$

În acest interval nu a apărut nici o sosire de pachet, fiindcă astfel s-ar fi trecut în PAS, deci

$$A_i(\tau, t^* - \Delta t) = A_i(\tau, t^*).$$

Din ecuația (7.11) și următoarele trei ecuații rezultă:

$$A_i(\tau, t^*) < \rho_i(t^* - \tau), \quad (7.12)$$

ceea ce înseamnă că t^* nu poate aparține aceleiași POS ca $t^* - \Delta t$.

Astfel definiția SPR nu oferă calea de proiectare aloritmilor de planificare cu latență nulă. Cum și GPS și VCL pot fi considerate SPR, conform teoremei 7.1, ele au aceeași comportare a întârzierii în cazul cel mai defavorabil.

7.2.1 Servere proporționale cu rata, pachet cu pachet

La SPR definite anterior conform modelului cu fluid, pe presupunerea că pachetele de la conexiuni diferite pot fi servite în același timp, cu rate diferite. În sistemele reale însă, la un moment dat doar o conexiune poate fi servită și pachetele nu pot fi divizate. Un server proporțional cu rata pachet cu pachet SPRP pot fi definite similar, ca SPR care transmite pachetele în ordinea crescătoare a timpilor lor de sfârșit. Dacă TSI este potențialul conexiunii i când un pachet își sfârșește serviciul în serverul cu fluid, acest TS_i va fi folosit ca etichetă de timp, pachetele fiind planificate și transmise în ordinea crescătoare a acestor etichete.

Folosim din nou notația L_i pentru lungimea maximă a pachetului sesiunii i , respectiv L_{max} lungimea maximă a pachetelor tuturor sesiunilor. Pentru a analiza performanța SPRP comparativ cu SPR cu fluid presupunem că ambelor li se oferă aceeași structură de date. Cu $W_i^F(\tau, t)$ notăm serviciul oferit sesiunii i în intervalul $(\tau, t]$ în serverul cu fluid, respectiv $W_i^P(\tau, t)$ în cel pachet cu pachet. Presupunem că pachetul k părăsește cele două servere la momentul t_k^F respectiv t_k^P . Conform cu [PG/1, PG/2] se poate demonstra lema 4.3 care spune că pentru toate pachetele SPRP,

$$t_k^P \leq t_k^F + \frac{L_{max}}{r}. \quad (7.13)$$

Dacă ținem cont de serviciul parțial primit de pachete în transmisie, întârzierea maximă în serviciu pentru o sesiune i la SPRP apare când pachetul își începe serviciul. Dacă cu $\hat{W}_i(t)$ este serviciul oferit conexiunii i la momentul t , inclusiv serviciul parțial, atunci la momentul când pachetul k își începe serviciul:

$$\begin{aligned} \hat{W}_i^F(0, t_k) &\leq \hat{W}_i^F\left(0, t_k - \frac{L_{max}}{r}\right) + L_{max} \\ &\leq \hat{W}_i^P(0, t_k) + L_{max}. \end{aligned} \quad (7.14)$$

Putem enunța acum corolarul (7.1): la orice moment t

$$\hat{W}_i^F(0, t) - \hat{W}_i^P(0, t) \leq L_{max}. \quad (7.15)$$

Pachetele în SPRP sunt servite în ordinea crescătoare a TSI. Dacă pachetele de la mai multe conexiuni au același TS, pentru transmisie va fi selectat unul, determinând ca sesiunea să primească temporar un serviciu suplimentar față de SPR. Pentru a determina diferența dintre serviciile primite și marginea ei, folosim următoarea lemă:

Lemma 4.4 Dacă $(0, t]$ este POS în SPR și sesiunea i e conectată la momentul t astfel încât i primește un serviciu suplimentar în SPRP în acest interval, atunci există o altă sesiune j , cu $P_j(t) \leq P_i(t)$ care primește un serviciu suplimentar în SPRP în același interval.

Cum ambele servere sunt cu conservarea lucrului, dacă sesiunea i notată cu S_i primește un serviciu suplimentar în SPRP, atunci trebuie să existe și o altă sesiune conectată S_j care primește mai puțin serviciu în $(0, t]$. Deci trebuie să demonstrăm că $P_j(t) \leq P_i(t)$. În primul caz, dacă S_i are potențialul maxim în SPR, atunci pentru oricare j , $P_j(t) \leq P_i(t)$. În al doilea caz, există și alte sesiuni S cu potențial mai mare ca P_i , la momentul t . Atunci, din definiția SPR, aceste sesiuni S nu primesc serviciu la momentul t . Dacă τ a fost ultimul moment la care una din sesiunile S a fost în serviciu în SPR, atunci în $(\tau, t]$ nici o conexiune din S nu este servită. Deci,

$$W_k^F(\tau, t) \geq W_k^P(\tau, t), \quad \forall k \in S. \quad (7.16)$$

În plus, S_i nu a fost conectată în SPR, fiindcă astfel, o conexiune din S nu ar fi putut fi servită chiar înainte de τ . Astfel:

$$W_i^F(0, \tau) \geq W_i^P(0, \tau). \quad (7.17)$$

Dar după cum știm, la momentul t , S_i a primit mai mult serviciu în SPRP, astfel că:

$$\hat{W}_i^F(0, t) < \hat{W}_i^P(0, t). \quad (7.18)$$

Scăzând ultimele două relații obținem:

$$\hat{W}_i^F(\tau, t) < \hat{W}_i^P(\tau, t). \quad (7.19)$$

Adică în $(\tau, t]$, S_i a primit mai mult serviciu în SPRP decât în SPR, concluzie care se poate deduce printr-un procedeu similar pentru toate conexiunile S . Dar cum ambele servere sunt cu conservarea lucrului, trebuie să existe cel puțin o conexiune S_j care în $(\tau, t]$ să primească un serviciu în SPR suplimentar față de SPRP, deci:

$$\hat{W}_j^F(\tau, t) > \hat{W}_j^P(\tau, t), \quad (7.20)$$

Conexiune care nu face parte din S , deci $P_j(t) \leq P_i(t)$, Dar cum S_j se conectează în SPR la τ sau imediat după, deci:

$$\hat{W}_j^F(0, \tau) > \hat{W}_j^P(0, \tau). \quad (7.21)$$

Adunând ultimele două ecuații obținem,

$$\hat{W}_j^F(0, t) > \hat{W}_j^P(0, t). \quad (7.22)$$

Din lemma precedentă și metoda prezentată în [SV, SV1] pentru un server WFQ vom determina o margine superioară a diferenței de serviciu primit de o sesiune în SPRP față de SPR, care este (lemma 7.5)

$$\hat{W}_i^P(0, t) - \hat{W}_i^F(0, t) \leq \min \left((V-1)L_{\max}, \rho_i \max_{1 \leq n \leq I} \left(\frac{L_n}{\rho_n} \right) \right) \quad (7.23)$$

Lemma stabilește două margini superioare distincte pentru serviciul în exces primit de o sesiune într-un server SPRP. Considerăm o sesiune S_i conectată în ambele servere. Atunci S_i^P poate fi întârziată cu cel mult L_{\max} față de S_i^F . Astfel în cazul extrem, oricare S_j^P , mai puțin S_i^P poate fi întârziată cu L_{\max} . Cum serverul este cu conservarea lucrului, S_i^P poate fi în față cu cel mult $(V-1)L_{\max}$, V fiind numărul de sesiuni care partajează linia de ieșire.

Marginea $(V-l) L_{max}$ poate fi uneori prea vagă, caz în care a doua limită e mai compactă. Presupunem că $L_i/\rho_i = \max_{l \leq n \leq V} L_n/\rho_n$ și că sosesc la server două pachete simultan de la S_i și S_j , cu același potențial asignat de sfârșit. Dacă își încep simultan serviciul, la t , vor fi sfârși simultan la $t + L_i/\rho_i$. Dacă SPRP transmite S_j primul pachet, serviciul primit de S_j în SPRP va fi în avans cu $(L_i/\rho_i)/\rho_j$, ceea ce conduce la o a doua margine superioară.

7.2.2 Analiza întârzierii

Vom demonstra că SPRP este un server LR și îi vom estima latența. Dacă un pachet părăsește cele două servere la t^P respectiv t^F atunci $t_k^P \leq t_k^F + L_{max}/r$. Pentru analiza unei rețele LR trebuie ca serviciul să fie mărginit pentru oricare t după începutul POS. Pachetul se consideră că a părăsit serverul când ultimul său bit a fost transmis, deci chiar înainte de $t^P + L_{max}/r$ acesta nu a plecat încă din SPRP. Dacă L_i e lungimea maximă a pachetului conexiunii C_i , serviciul oferit lui C_i în SPRP va fi egal cu cel oferit în SPR până la momentul t^P minus ultimul pachet. Astfel serviciul primit de C_i în a j -a POS, în SPRP este:

$$\begin{aligned} W_{i,j}^P(\tau, t) &\geq W_{i,j}^F(\tau, t - L_{max}/r) - L_i \\ &\geq \max(0, \rho_i (t - \tau - L_{max}/r) - L_i) \\ &\geq \max(0, \rho_i - \tau - L_{max}/r - L_i/\rho_i) \end{aligned} \quad (7.24)$$

Astfel putem enunța corolarul 7.2: un SPRP este un server LR cu latența egală cu $L_{max}/r + L_i/\rho_i$.

După cum se vede latența este aceeași cu WFQ; deci orice SPRP are aceeași margine superioară a întârzierii cap – la – cap și a necesarului de tamponare de memorie ca WFQ cu trafic format de o găleată găurită.

7.3 Imparțialitatea serverelor proporționale cu rata

La definirea SPR singura condiție impusă a fost ca $P(t)$ să aibă latența nulă, fără a vedea cum influențează comportarea planificatorului alegerea lui $P(t)$. Această alegere are o mare influență asupra imparțialității serviciului sesiunilor. Am arătat că o sesiune conectată în SPR primește un serviciu minim egal cu rezervarea sa; dar există mari diferențe între planificatoare, cu privire la serviciul furnizat pe termen scurt. Cum la SPR conexiunile conectate sunt servite la aceeași rată normalizată în starea staționară, nonimparțialitatea în servire poate apare doar când o sesiune inactivă i se conectează, astfel că dacă $P_i(t) < P(t)$, C_i va fi servită exclusiv, până când P_i ajunge egal cu al celorlalte conexiuni conectate. Notăm cu Δ^P diferența maximă dintre potențialul sistemului și a conexiunilor aflate în serviciu în SPR.

Teorema 4.2. Dacă $P(t)$ în SPR nu diferă cu mai mult de $\Delta P < \infty$, finit, față de $P_i(t)$ a conexiunilor servite, atunci diferența între serviciul normalizat oferit oricăror conexiuni $i, j \in B(t_1, t_2)$ în $(t_1, t_2]$ e de asemenea mărginită prin ΔP .

$$\left| \frac{\hat{W}_i(t_1, t_2)}{\rho_i} - \frac{\hat{W}_j(t_1, t_2)}{\rho_j} \right| \leq \Delta P \quad (7.25)$$

Pentru demonstrație presupunem că $P_j(t_1) > P_i(t_1)$ și dacă i este conectată:

$$P_j(t_1) \geq P_i(t_1). \quad (7.26)$$

Mai știm că:

$$P_j(t_1) \leq P(t_1) + \Delta P. \quad (7.27)$$

Cum ambele sesiuni sunt conectate în $(t_1, t_2]$, P_i și P_j cresc în acest interval doar cu serviciul normalizat oferit celor două conexiuni. Deci

$$P_i(t_2) - P_i(t_1) = \frac{W_i(t_1, t_2)}{\rho_i}, \quad (7.28)$$

$$P_j(t_2) - P_j(t_1) = \frac{W_j(t_1, t_2)}{\rho_j}. \quad (7.29)$$

La momentul t_2 , $P_i(t_2) \leq P_j(t_2)$ și notăm

$$x = P_j(t_2) - P_j(t_1) \geq 0. \quad (7.30)$$

Din cele trei ecuații precedente rezultă:

$$\frac{W_i(t_1, t_2)}{\rho_i} \leq P_j(t_2) - P_i(t_1) - x. \quad (7.31)$$

Și din (7.26) și (7.28) rezultă:

$$\frac{W_j(t_1, t_2)}{\rho_j} \geq P_j(t_2) - P_j(t_1) - \Delta P. \quad (7.32)$$

Din cele două ecuații precedente rezultă:

$$\frac{W_i(t_1, t_2)}{\rho_i} - \frac{W_j(t_1, t_2)}{\rho_j} \leq \Delta P - x \leq \Delta P. \quad (7.33)$$

Iar dacă $P_j(t_2) \leq P_i(t_2)$, deducem la fel că:

$$\frac{W_j(t_1, t_2)}{\rho_j} - \frac{W_i(t_1, t_2)}{\rho_i} \leq \Delta P. \quad (7.34)$$

adică,

$$\left| \frac{W_i(t_1, t_2)}{\rho_i} - \frac{W_j(t_1, t_2)}{\rho_j} \right| \leq \Delta P. \quad (7.35)$$

Astfel dacă ΔP este finit, diferența serviciilor normalizate oferite celor două sesiuni este mărginită. Această teoremă se aplică SPR, cu model fluid, dar un sistem real lucrează cu pachete. Pentru a o extinde la SPRP definim:

$$C_i = \min \left((V - I) \frac{L_{\max}}{\rho_i}, \max_{1 \leq n \leq V} \left(\frac{L_n}{\rho_n} \right) \right), \quad (7.36)$$

serviciul normalizat maxim pe care o conexiune îl poate primi în SPRP în exces față de SPR.

Teorema 7.3. Dacă la SPRP există două conexiuni i și j care la momentul τ cer un serviciu în exces, atunci pentru orice interval $(t_1, t_2]$, diferența serviciului lor este mărginită,

$$\left| \frac{\hat{W}_j(t_1, t_2)}{\rho_j} - \frac{\hat{W}_i(t_1, t_2)}{\rho_i} \right| \leq \max \left(\Delta P + C_j + \frac{L_{\max}}{\rho_i} + \frac{L_j}{\rho_j}, \Delta P + C_i + \frac{L_{\max}}{\rho_i} + \frac{L_i}{\rho_i} \right). \quad (7.37)$$

Pentru a deduce o limită a imparțialității algoritmului, definim potențialul SPRP. Notăm cu $a_i(t)$ potențialul $C_i(t)$ la SPRP, definită similar cu a serverului cu model cu fluid. Deci C_i nu primește, când este inactivă, același serviciu. Diferența este că atunci când C_i se conectează potențialul său crește doar când transmite un pachet. Cu $P_i(t)$ se notează din nou potențialul în modelul cu fluid.

După momentul τ , ambele conexiuni sunt alimentate permanent cu pachete. Potențialul conexiunii SPR este crescut de rata serviciului normalizat oferit, deci pentru serviciul C_i în $(t_1, t_2]$ putem scrie:

$$\frac{W_i(t_1, t_2)}{\rho_i} \leq \max(a_i(t_2) - P_i(t_1)) + \frac{L_{\max}}{\rho_i}. \quad (7.38)$$

Dacă $P_i(t_2) > P_i(t_1)$ atunci serviciul normalizat oferit lui C_i în $(t_1, t_2]$ este egal cu creșterea de potențial după t_1 plus serviciul primit de C_i suplimentar în SPR față

de SPRP; până la t_1 . Dacă $P_i(t_2) < P_i(t_1)$, atunci pachetele servite după t_1 în SPR, nu au fost încă servite în SPRP; astfel singurul serviciu oferit C_i a fost deja oferit înainte de t_1 în SPR, serviciu mărginit de L_{max} . pentru C_j putem la fel scrie:

$$\frac{\hat{W}_i(t_1, t_2)}{\rho_i} \geq \max(a_j(t_2) - P_i(t_1)) - C_j \quad (7.39)$$

C_j poate să fi primit mai multe servicii în SPR înainte t_1 . Dar diferența potențialelor este mărginită,

$$|P_i(t_1) - P_j(t_1)| \leq \Delta P \quad (7.40)$$

Dacă presupunem că C_i a primit un serviciu normalizat suplimentar, și din definiția SPRP, rezultă că:

$$a_i(t_2) \leq a_j(t_2) + L_j / \rho_j \quad (7.41)$$

Din ultimele patru ecuații rezultă:

$$\frac{\hat{W}_i(t_1, t_2)}{\rho_i} - \frac{\hat{W}_j(t_1, t_2)}{\rho_j} \leq \Delta P + C_j + \frac{L_{max}}{\rho_i} + \frac{L_{max}}{\rho_j} \quad (7.42)$$

Similar, dacă C_j a primit un serviciu normalizat suplimentar, ecuația precedentă se poate rescrie inversând i cu j și rezultă din aceste ultime ecuații, ecuația (7.36). Dar cum WFQ este un SPRP cu $\Delta P = 0$, imparțialitatea sa poate fi dedusă din ecuația (7.36).

7.4 Algoritm de planificare imparțială pentru rețele cu pachete

Vom prezenta un algoritm de planificare cu $O(1)$ complexitate de calcul a etichetelor de timp și aceleași margini ale întârzierii cap la cap și necesar de tampoane de memorie ca WFQ. Definiția SPR nu specifică metoda de menținere a potențialului sistemului. Definiția $P(t)$ permite o mare flexibilitate în aproximarea stării globale a sistemului, folosită în cele ce urmează pentru proiectarea unui algoritm de planificare denumit planificare imparțială bazată pe cadre, PIC. Potențialul sistemului, menținut la fel ca în modelul cu fluid SPR, este recalibrat periodic pentru a corecta discrepanțele.

7.4.1 Metoda de menținere a potențialului sistemului

Problema de bază la SPR este menținerea $P(t)$. Imparțialitatea algoritmului depinde de alegerea funcției $P(t)$, deoarece nonimparțialitatea pe termen scurt depinde de diferența dintre $P(t)$ și $P_i(t)$ a conexiunilor i conectate.

Un algoritm de planificare este un server proporțional cu rata imparțial SPRI, dacă poate fi găsită o constantă finită $\Delta P \geq 0$ astfel încât $P(t) \geq P_i(t) - \Delta P$, pentru $\forall i \in B(t)$, unde $B(t)$ este setul de conexiuni conectate la momentul t . Această condiție poate fi realizată prin folosirea unui mecanism de recalibrare periodică pentru a limita diferența maximă dintre potențialul sistemului și cel al conexiunilor conectate. Valoarea $S^p(t) \leq P_i(t)$, $\forall i \in B(t)$ o vom numi potențial de bază. Poate fi găsită o constantă ΔP finită $\Delta P \geq 0$ astfel încât:

$$S^p(t) \geq P_i(t) - \Delta P, \forall i \in B(t). \quad (7.43)$$

Dacă τ_0 este începutul POS curentă și $\tau_0 < \tau_1 < \dots < \tau_k$, se face o recalibrare prin actualizarea $P(t)$ la valoarea $S^p(t)$ dacă $P(t) < S^p(t)$, adică,

$$P(\tau_j) = \max(S(\tau_j, -), S^p(\tau_j)), \quad (7.44)$$

cu $(\tau_j, -)$ notând momentul anterior actualizării. Între actualizări, $P(t)$ crește liniar:

$$P(t) = P(\tau_j) + S^p(t - \tau_j), \quad \tau_j \leq t \leq \tau_{j+1}, \quad (7.45)$$

Intervalul între două recalibrări succesive este mărginit:

$$\tau_{j+1} - \tau_j \leq \Delta T, \text{ cu } \Delta T \text{ finit.} \quad (7.46)$$

Imparțialitatea SPR depinde de alegerea $S^p(t)$ și frecvența recalibrării, deci de alegerea momentelor $\tau_0 < \tau_1 < \dots < \tau_k$, momente pe care le vom alege egale cu momentele de sfârșit ale serviciului pachetelor. Astfel frecvența recalibrării este mărginită superior de rata de plecare a pachetelor. Dacă $P(t)$ este menținut după regula anterioară atunci, pentru orice interval $(t_1, t_2]$ din POS, $P(t_2) - P(t_1) = t_2 - t_1$ și $P(t) \leq P_i(t), \forall i \in B(t)$.

7.4.2 Planificarea imparțială bazată pe cadre

Alegerea $S^p(t)$ și a intervalelor de recalibrare poate conduce la diferiți algoritmi. Alegem perioada maximă de recalibrare egală cu L , dimensiunea cadrului și algoritmul îl vom denumi algoritm de planificare imparțială bazat pe cadre, PIC. Plecăm de la modelul cu fluid și apoi extindem raționamentul pentru cadre. Parametrul L reprezintă numărul de biți transmiși în perioada T a cadrului, adică

$$T = L \cdot r. \quad (7.47)$$

Notăm cu ϕ_i volumul maxim de trafic pe care C_i îl poate primi într-un interval T , adică:

$$\phi_i = r_i \cdot F = \rho_i \cdot T. \quad (7.48)$$

Dacă o conexiune rămâne conectată, potențialul său crește cu serviciul normalizat oferit ei: deci dacă de la o conexiune C_i sunt serviți ϕ_i biți, potențialul său va crește cu $T = \phi_i / \rho_i$. Mai impunem o condiție lui ϕ_i și anume ca cel mai mare pachet L_i al C_i să poată fi transmis în t , deci

$$L_i \leq \phi_i. \quad (7.49)$$

Recalibrarea $P(t)$ se face pe cadru, fiecare operație de recalibrare marcând un nou cadru. Dacă conexiunile sunt conectate continuu, actualizările pe cadru în serverul cu fluid se fac la intervalul T de cadru. Actualizările pot apărea mai devreme dacă sosirile de la unele sesiuni sunt mai mici ca rezervările lor, determinând creșterea mai rapidă a potențialului conexiunilor conectate. Astfel în serverul cu fluid actualizarea k poate avea loc când potențialul conexiunilor conectate atinge valoarea kT , lucru care se petrece simultan pentru toate conexiunile. Acest lucru nu este valabil însă în serverul cu pachete. Pentru a evita simularea sistemului cu fluid în vederea determinării momentelor de actualizare, vom defini momentele de recalibrare astfel: dacă τ_{k-1} este momentul ultimei actualizări, atunci următoarea reactualizare va avea loc dacă potențialul tuturor conexiunilor conectate aparțin cadrului următor, adică:

$$P_i(t) \geq kT, \quad \forall i \in B(t) \quad (7.50)$$

și

$$P_i(t) \geq (k+1)T, \quad i = 1, 2, \dots, V \quad (7.51)$$

Condițiile precedente pot fi satisfăcute acum într-o fereastră de timp. Dacă recalibrarea se face la momentul τ_k atunci:

$$P(\tau_k) \leftarrow \max(P(\tau_k), kT). \quad (7.52)$$

Momentele τ_k de actualizare sunt identice la serverul cu fluid și cu pachete și trebuie determinate doar din informațiile disponibile în serverul cu pachete, pentru a cădea în fereastra definită prin (7.50) și (7.51). Această definiție permite ca recalibrarea să aibă loc doar la sfârșitul sau începutul serviciului unui pachet. Durata cadrului, adică a intervalului dintre două actualizări succesive, nu va depăși $2T$.

Potențialul de bază $S^p(t)$ pentru PIC este definit ca o funcție treaptă, cu valoarea 0 când serverul este inactiv și crește cu T la fiecare calibrare (vezi figura 7.1). La momentele τ_1, τ_2, τ_3 și τ_i apar recalibrări. Aceste momente pot cădea oriunde în fereastra în care $P_i(t) \in [kT, (k+1)T]$.

Momentele actualizării pot fi determinate în serverul cu pachete doar din etichetele de timp ale pachetelor din cozi, etichete care indică de fapt potențialul

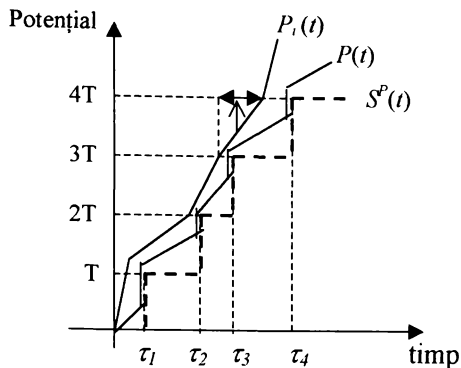
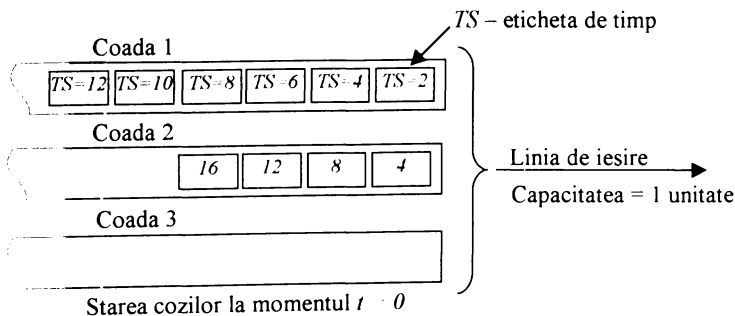


Fig. 7.1 Comportarea $S^p(t)$ și $P(t)$ într-un server PIC

corespunzător al conexiunii când pachetul își va fi încheiat serviciul.

Potențialul de pornire al pachetului j al conexiunii i , s_i^j este potențialul conexiunii când pachetul j își începe serviciul în serverul cu fluid corespunzător, iar $S_i(t)$ este potențialul de pornire al conexiunii la momentul t . Cu $\hat{B}(t)$ notăm setul de conexiuni conectate la momentul t în serverul cu pachete. Astfel, dacă la momentul t pentru fiecare conexiune conectată în sistemul pachet cu pachet, potențialul de pornire al primului pachet aparține următorului cadru, atunci, dacă τ_k a fost ultimul moment de actualizare $S_i(t) \geq (k+1)T, \forall i \in \hat{B}(t)$. Astfel, potențialul fiecărei conexiuni în serverul cu fluid la momentul t este și el mai mare sau egal cu $(k+1)T$. Deci putem determina un moment de actualizare doar din informațiile serverului pachet cu pachet. Planificatorul urmărește conexiunile conectate și constată că sunt pachete cu potențial de pornire în următorul cadru. Când potențialul de pornire al pachetelor din fruntea cozilor



Starea cozilor la momentul $t = 0$

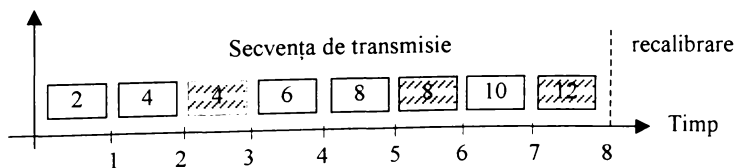


Fig. 7.2 Exemplu de operare al serverului PIC

tuturor conexiunilor conectate depășește limita știm că același lucru s-a întâmplat cu potențialul conexiunilor din sistemul cu fluid. Deci, momentul depășirii limitei ultimei conexiuni este un moment valid de actualizare a cadrului și a potențialului sistemului. Acest lucru rezultă mai clar dintr-un exemplu (figura 7.2).

Dimensiunea F a cadrului este de 10 celule și rata serverului este 1. Conexiunea 1 are rezervată 50% din banda de ieșire iar celelalte două conexiuni câte 25%. Înainte de $t=0$ considerăm că sistemul a fost inactiv. La $t=0$, C_1 și C_2 transmit multe pachete planificatorului iar C_3 este inactivă. La $t = 0$, $P(t) = P_i(t) = 0$. În serverul cu fluid C_1 și C_2 vor fi servite proporțional cu rezervările lor. Astfel rata serviciului pentru C_1 și C_2 va fi $0,5 / (0,5+0,25) = 2/3$ și $0,5/0,75 = 1/3$. Conexiunea 3 rămâne inactivă, iar potențialele conexiunilor 1 și 2 vor atinge valoarea $T = F/1 = 10$ în același timp, la momentul τ . Ambele conexiuni fiind conectate potențialele lor cresc cu serviciul normalizat oferit lor, deci

$$\frac{W_1(0, \tau)}{0,5} = \frac{W_2(0, \tau)}{0,25} = 10,$$

și din ecuație rezultă τ

$$(2/3) (\tau - 0) / 0,6 = 10$$

adică $\tau = 7,57$. Acesta este începutul ferestrei în care poate apărea prima actualizare de cadru.

Considerând acum serverul pachet cu pachet, pachetele sunt etichetate cu potențialul conexiunii la momentul în care ele își termină serviciul în serverul cu fluid. Toate pachetele au dimensiunea 1. În figura 7.2, la momentul 8 toate pachetele cu potențialul de pornire în primul cadru au fost transmise. La acest moment potențialul conexiunilor conectate are o valoare mai mare sau egală cu 10 în serverul cu fluid. Astfel, la acest moment potențialul sistemului poate fi actualizat la 10, fără violarea proprietăților funcției potențial a sistemului.

Putem acum descrie versiunea pachet cu pachet a algoritmului PIC. Presupunem că rata serviciului serverului este 1, deci timpul de transmisie a F biți este tot F . Din lățimea de bandă a liniei de ieșire, conexiunii i se alocă fracția r_i deci $\phi_i = F \cdot r_i$ biți care pot fi transmiși de la C_i într-un cadru. În versiunea cu fluid dimensiunea maximă a pachetului trebuie să fie mai mică decât ϕ_i , astfel că într-un cadru poate fi transmis un singur pachet.

La sosirea unui pachet se execută algoritmul din figura 7.3. pentru a calcula eticheta de timp asociată pachetului. Variabila P ține evidența potențialului sistemului, fiind reprezentată în virgulă mobilă, cu partea întregă reprezentând numărul de cadru curent, iar partea fracționară timpul care a trecut de la ultima actualizare. La sosirea unui pachet se estimează potențialul sistemului. Cum variabila P este actualizată doar la sfârșitul transmisiei fiecărui pachet, potențialul curent al sistemului este obținut prin adăugarea la P a timpului real scurs de la începutul transmisiei pachetului aflat curent în serviciu. Potențialul de pornire a pachetelor nou sosite este apoi calculat ca maximum

dintre potențialul de sfârșit la pachetului precedent ale aceleași sesiuni și potențialul sistemului. Pachetul este apoi etichetat cu potențialul de sfârșit, calculat din valorile cunoscute ale lungimii sale și ratei rezervate. Dacă potențialele de început și de sfârșit ale pachetului aparțin unor cadre diferite, pachetul va trece în cadrul următorilor. Astfel pachetul e marcat pentru a indica faptul că e primul pachet al sesiunii din cadrul următor. În plus, contorul este incrementat pentru a urmări numărul de conexiuni ce trec în cadrul următor. Se menține câte un contor pentru fiecare cadru, pentru a ține evidența numărului de sesiuni ale căror pachete ajung în următorul cadru. Apoi pachetul marcat este planificat pentru transmisie și contorul corespunzător este edcrementat, astfel că atunci când devine zero potențialul tuturor conexiunilor conectate a ajuns în cadrul următor și poate fi făcută actualizarea de cadru.

Calculul valorii curente a potențialului sistemului.

Fie t timpul curent și t_s timpul la care pachetul aflat în transmisie își începe transmisia.

1. $temp \leftarrow P + (t - t_s) / F$
Se calculează potențialul de pornire al noului pachet
2. $SP(i, k) \leftarrow \max(TS(i, k-1), temp)$
Se calculează eticheta de timp a pachetului
3. $TS(i, k) \leftarrow SP(i, k) + lungimea(i, k) / \rho_i$
Se verifică dacă pachetul depășește cadrul
4. $n1 \leftarrow \text{int}(SP(i, k)); n2 \leftarrow \text{int}(TS(i, k))$
5. *if* ($n1 < n2$) *then* (dacă potențialul de sfârșit este în cadrul următor)
6. $B[n1] \leftarrow B[n1] + 1$ (incrementare contor); *marcare pachet*
7. *End if*

Fig. 7.3 Operațiile executate la sosirea pachetului

Contoarele B sunt folosite pentru numărarea conexiunilor cu potențial de pornire din fiecare cadru. Deși teoretic trebuie servite un număr infinit de cadre, practic numărul de cadre distincte cu potențiale în cadru, este limitat de tamponul alocat conexiunii. Astfel dacă b_i este dimensiunea tamponului alocat conexiunii i , dimensiunea zonei B se poate limita la $M = \max_{i, j} (b_i / \phi_j)$. Dacă M este rotunjit la cea mai apropiată putere a lui 2, atunci zona poate fi adresată cu $\log_2 M$ cei mai puțin semnificativi biți ai numărului cadrului curent. Numărul de contoare mai poate fi redus la trei dacă pașii 4 – 8 ai algoritmului sunt executate doar când pachetul ajunge în capul cozii sesiunii corespunzătoare.

Când un pachet își termină transmisia se execută algoritmul din figura 7.4 pentru a actualiza starea sistemului. Se crește mai întâi potențialul sistemului cu timpul de transmisie al pachetului care tocmai a fost transmis, j .

1. $P \leftarrow P + \text{lungimea } (j)/F$
- Se determină eticheta de timp a următorului pachet de transmis
2. $TS_{min} \leftarrow \min_{i \in B} (TS(i))$
- Se determină numărul corespunzător de cadru
3. $F_{min} \leftarrow \text{int}(TS_{min})$
- Dacă este necesar se actualizează cadrul
4. *if (pachetul j a fost marcat) then*
5. $B[\text{cadru curent}] \leftarrow B[\text{cadru curent}] - 1$
6. *end if*
7. *if ($B[\text{cadru curent}] = 0$ și $F_{min} > \text{cadru curent}$) then*
8. $\text{cadru curent} \leftarrow \text{cadru curent} + 1$
9. $P \leftarrow \max(\text{cadru curent}, P)$
10. *end if*
- Memorează în t_s timpul de transmisie al pachetului următor)
11. $t_s \leftarrow \text{timpul curent}$
12. *selectează și transmite pachetul din capul cozii*

Fig. 7.4 Operațiile executate la transmiterea pachetului

timpul de transmisie al pachetului tocmai servit și apoi se selectează pentru transmisie pachetul cu eticheta de timp minimă. Variabila cadru curent ține evidența indexului cadrului curent tratat. Dacă a fost marcat cadrul transmis se decrementează contorul de cadru curent corespunzător. Dacă aceasta devine zero, sesiunea servită este ultima care a ajuns la limita cadrului curent. Dar mai trebuie verificată o condiție, înainte de actualizarea cadrului, deoarece este posibil ca un pachet să sosească având potențialul său de sfârșit în cadrul curent de transmisie a ultimului pachet marcat. Acest lucru poate rezulta dacă potențialul sistemului este presupus la o valoare mai mare decât conexiunilor conectate, în contradicție cu definiția SPR. Se evită această situație asigurând că nici o etichetă de timp a pachetelor din coadă să nu cadă în cadrul curent chiar înainte de actualizarea cadrului. Dacă sunt satisfăcute ambele condiții din pasul 7, se actualizează cadrul prin incrementare și se actualizează potențialul sistemul la potențialul de bază corespunzător. Algoritmul se supune lemelor enunțate, este deci corect și imparțial.

CONCLUZII

În cele ce urmează, parcurgând lucrarea, vom căuta să subliniem care sunt contribuțiile sale originale.

În capitolul 1 se analizează pentru început definiția standard a congestiei unei rețele, congestie manifestată prin creșterea valorilor unor parametri ca întârzierea în cozi și pierderea de pachete, respectiv diminuarea traficului util adică a eficienței. S-au arătat că primii doi parametri menționați sunt indicii de performanță a căror modificare poate semnala și alte fenomene. **S-a propus astfel o nouă definiție a congestiei rețelei, din perspectiva utilizatorului, care constată că o rețea este congestionată atunci când scade utilitatea percepută de el de la rețea, scădere datorată creșterii încărcării rețelei.** Se mai propun și termenii de rețea strict congestionată respectiv strict necongestionată pentru cazurile în care toți utilizatorii percep congestia, respectiv nici un utilizator nu o percepe.

Se face apoi o analiză și detaliere a perioadelor de apariție și manifestare a congestiei. **Sunt analizate diferite propuneri de scheme pentru evitarea și controlul congestiei, reliefându-se calitățile respectiv părțile slabe ale acestora.** Astfel sunt prezentate părerile, multă vreme în opoziție, asupra unor tipuri de control a congestiei și anume: i) rezervarea în avans a resurselor față de alocarea acestora în momentul sosirii traficului în ruter, ii) controlul prin ferestre față de controlul bazat pe rată și iii) control la sursă față de controlul în rutere. Se analizează și argumentează situațiile în care este utilă sau nu folosirea contrapresiunii. **Concluzia importantă care este expusă este că metoda de control a congestiei depinde de durata suprasarcinii.** Se susține ideea că folosirea unei singure scheme de control și evitarea a congestiei nu este suficientă, și că este necesară combinarea mai multor scheme pentru un control complet și eficient al rețelei.

În capitolul 2 se prezintă cele mai noi metode cunoscute în literatură pentru controlul admisiei traficului în rețele. **Contribuția acestui capitol constă în relevarea deficiențelor și limitărilor fiecărui algoritm prezentat.**

Se arată că, deoarece una din principalele cauze ale apariției congestiei este traficul în rafală trebuie folosite mecanisme de nivelare sau formarea traficului. Sunt prezentate două din cele mai cunoscute metode de filtrare cunoscute sub numele de găleată găurită respectiv găleata cu jetoane, care pot fi folosite separat, sau împreună sub forma unei găleți duble.

Se prezintă, se analizează și se compară diferite scheme de control a admisiei traficului în rețele, aplicabile în principal la sursă dar și în rutere, scheme necesare pentru a asigura îndeplinirea angajamentelor rețelei, adică asigurarea calității negociate a serviciului. Aceste scheme pot să fie bazate pe parametrii traficului de intrare sau pot să fie bazate pe măsurări.

La clasa algoritmilor bazați pe măsurări se relevă pentru fiecare criteriul adoptat pentru estimarea capacității disponibile: suma măsurată, regiunea de acceptanță, respectiv capacitatea echivalentă. În cazul algoritmilor utilizând

capacitatea echivalentă se relevă importanța modelului adoptat pentru estimarea ratei sosirilor într-o clasă de trafic și limitările fiecărui model. Astfel modelul distribuției normale poate fi folosit doar pentru anumite clase de trafic de timp real, cu sute de conexiuni conectate și rate de vârf asemănătoare. Dacă însă ratele de vârf diferă mult și numărul de conexiuni este redus sau mediu, estimarea capacității echivalente cu distribuția normală poate duce la subestimări severe, caz în care este indicată folosirea marginea Hoeffding pentru estimare.

Folosirea conceptului de capacitate echivalentă respectiv lățimea de bandă efectivă este atractivă datorită simplității calculului rezultat, calculul capacității necesare de serviciu fiind făcut prin aproximare cu o margine superioară, respectiv prin însumarea lățimilor de bandă a fluxurilor individuale. Se lucrează însă în ipoteza tamponului infinit de memorie și nu este luat în considerare efectul multiplexării statistice a surselor care partajează tamponul. Astfel când încărcarea scade apar supraestimări exagerate ale capacității de serviciu necesare. Când numărul de surse este mare, aproximarea gaussiană, propusă pentru a beneficia de avantajul multiplexării statistice, conduce de asemenea la supraestimări ale lățimii de bandă agregată necesară, ceea ce duce la subutilizarea resurselor scumpe ale rețelei, lățimea de bandă și memoria. Dacă în plus, se folosesc filtre de tip găleată, traficul are un caracter de rafală mai scăzut decât traficul Poisson, și atunci aproximarea cu lățimea de bandă echivalentă nu mai este conservativă, conducând la o subestimare a capacității de serviciu necesară.

Se expune în consecință un alt criteriu pentru admisia unui apel, criteriu bazat pe rata de pierdere a celulelor admisă de apel. Decizia de admisie sau respingere a apelului se face pe baza estimării ratei reale de pierdere, estimare făcută în funcție de capacitatea legăturii sau a serviciului pretins. Dar cum rata de pierdere celulelor și capacitatea serviciului sunt două mărimi dependente, este dificil de determinat capacitatea serviciului, chiar având specificate caracteristicile traficului și dimensiunea tampoanelor de memorie. Este în consecință prezentat un algoritm de control a admisiei folosind rata de pierdere a celulelor, care pentru estimarea benzii agregate folosește logica fuzzy. Fiind un sistem adaptiv estimează eficient rata de pierdere a celulelor în sisteme de dimensiuni mari, folosind un număr redus de informații despre sistem, fie cunoscute apriori fie obținute prin măsurări.

Se relevă faptul că **aproximările mai noi**, bazate pe estimările deviațiilor mari ale lungimii cozilor de așteptare din comutatoare, conduc la o estimare mai precisă a marginii superioare a ratei de pierdere a celulelor, decât cel bazat pe conceptul de bandă efectivă, dar **necesită cunoștințe complete despre procesul de sosire în comutator.**

În capitolul 3 se prezintă facilități oferite reacției pentru controlul congestiei în rețelele ATM, precum și criteriile de selecție a algoritmilor propuși pentru realizarea acestui control. **Contribuția acestui capitol constă în analiza critică a celor mai importanți algoritmi propuși în ultimii ani.** Astfel:

- Rezervarea rapidă (France Telecom), conduce la întârzieri excesive în timpul operării normale, respectiv la pierderi excesive în timpul congestiei.
- Controlul ratei bazat pe întârziere (Fujitsu) prezintă avantajul că nu se cere vreo reacție din partea rețelei și poate fi folosit în orice tip de rețete. Dezavantajul este însă timpul relativ mare necesar pentru reglarea volumului de trafic.
- Notificarea explicită înapoi a congestiei și distrugerea timpurie a pachetelor nu sunt imparțiale, deoarece nu toate sursele care primesc reacția, respectiv conversațiile ale căror pachete sunt distruse, sunt responsabile de apariția congestiei.
- Controlul cu câte o fereastră pe legătură și control binar cap la cap al ratei reunește atât calitățile schemelor bazate pe rată cât și ale celor bazate pe credite, respingerea sa fiind determinată de cauze subiective.
- Abordarea cu credite (DEC, Mitsubishi), are ca dezavantaje posibilitatea pierderii creditelor și menținerea câte unui cozi pentru fiecare circuit virtual, chiar inactiv, ceea ce face dificilă folosirea sa în cazul existenței a sute de mii de conversații.
- Algoritmul MIT are ca dezavantaj timpul mare de calcul a ratei alocată imparțial.
- Algoritmul EPRCA este nonimparțial, deoarece indicatorul de congestie este lungimea cozilor depășind un anumit prag; astfel ruterele care-și încep cu întârziere transmisia vor fi dezavantajate.

În anexă sunt prezentate rezultatele simulărilor realizate cu simulatorul NIST, pentru unii dintre acești algoritmi. Cu acest simulator pentru rețelele ATM, deși s-a modificat încărcarea cu trafic și structura acestuia, comportarea algoritmilor de planificare EPD, (Early Packet Discard) și FQ este sensibil egală.

În capitolul 4 se identifică problemele legate de planificarea traficului și se propune tratarea separată a planificatoarelor pentru comutatoarele cu memorarea traficului la intrare, respectiv pentru comutatoarele cu memorare la ieșire.

Se prezintă principalii algoritmi de planificare apăruiți în ultimii ani și criteriile de clasificare existente, funcție de arhitectura internă sau modul de lucru, care nu țin însă cont de cerințele reale ale aplicațiilor. **Contribuția acestui capitol constă din identificarea unor caracteristici ale planificatoarelor: scalabilitatea, întârzierea cap la cap, izolarea fluxurilor, folosirea eficientă a lățimii de bandă, imparțialitatea și complexitatea implementării. Ținând cont de aceste caracteristici se propun în acest capitol trei măsuri de apreciere a algoritmilor de planificare: garanțiile asupra întârzierii cap la cap, imparțialitatea și simplitatea implementării.**

În anexă sunt prezentate rezultatele simulărilor realizate cu simulatorul REAL, pentru unii din algoritmi de planificare. Astfel se constată că la încărcare mică și trafic uniform, comportarea celor doi algoritmi de planificare FCFS și FQ este practic aceeași dar pe măsură ce

crește atât încărcarea cu trafic cât și ponderea traficului în rafală, comportarea algoritmului FQ este mult mai bună.

Contribuția capitolului 5 constă din propunerea și analiza unui algoritm nou și eficient de planificare, denumit algoritm de asociere probabilistică cu filtrarea cererilor, pentru alocarea benzii în comutatoare cu memorarea pachetelor la intrare. Algoritmul de asociere probabilistică cu filtrarea cererilor alocă lățimea de bandă a ieșirilor, intrărilor, conform cu rezervările acestora. Algoritmul poate oferi garanții probabilistice asupra faptului că traficul fiecărei intrări își va obține partea de bandă a legăturii de ieșire. Algoritmul este capabil să ofere garanții probabilistice asupra lățimii de bandă și întârzierii chiar și în prezența traficului cu comportare necorespunzătoare. În tabelul 5.4 e reprezentată alocarea lățimii de bandă a legăturii de ieșire, pentru patru intrări cu rezervări diferite atât pentru algoritmul PIM, analiză care nu apare în [AOST], cât și pentru algoritmul APFC. Atâta timp cât sarcina de intrare totală e mai mică decât 1, fiecare intrare primește o parte egală din lățimea de bandă, indiferent de algoritmul de planificare folosit, PIM sau APFC. Când sarcina la fiecare intrare depășește 25 %, prin algoritmul PIM i se alocă fiecărei din cele patru intrări active câte o parte egală, adică 25% din lățimea de bandă a legăturii de ieșire. Prin algoritmul APFC, intrările care primeau mai mult decât rezervarea, încep să primească mai puțin, astfel ca să se poată asigura rezervările pentru celelalte intrări. Principalul avantaj al algoritmului APFC este asigurarea garantării lățimii de bandă conform rezervărilor, chiar în prezența surselor cu comportare necorespunzătoare.

În capitolul 6 s-au considerat comutatoare cu memorare la ieșire, pentru care s-a dezvoltat un model general, denumit al serverelor cu latența ratei LR . Acest model și analiza care îi urmează constituie contribuția capitolului 6. Astfel, modelul serverelor LR a fost folosit pentru a caracteriza performanța, în cazul cel mai defavorabil, a traficului unei sesiuni într-o rețea oarecare de comutatoare care folosesc algoritmi de planificare diferiți. Folosind modelul propus s-a dedus o margine deterministă pentru întârzierea cap la cap, imparțialitate, necesarul de tamponare de memorie și gradul de rafală din interiorul rețelei.

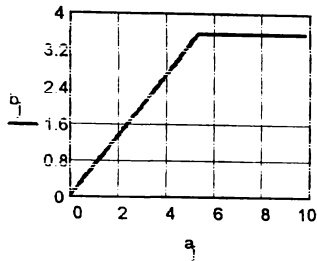
Dintre serverele LR s-a văzut că servirea imparțială ponderată este algoritmul ideal de planificare, din punct de vedere al întârzierii și imparțialității. Totuși calculul etichetei de timp la planificatorul cu servire imparțială ponderată servind N sesiuni are o complexitate de timp de $\theta(N)$ per timpul de transmisie al unui pachet, făcând dificilă implementarea sa. Eforturile făcute în trecut pentru simplificarea implementării servirii imparțiale ponderate au condus la algoritmul de servire imparțială cu autosincronizare, ale cărei proprietăți de izolare între conversații sunt însă degradate, lucru care afectează și marginea întârzierii.

Astfel, în capitolul 7, am dezvoltat o nouă metodologie de proiectare a algoritmilor de planificare, care să îmbine marginea întârzierii de la servirea imparțială ponderată, cu o nonimparțialitate limitată și o

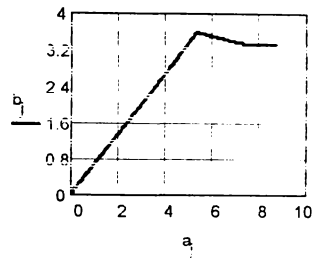
implementare simplă. A rezultat o nouă clasă de algoritmi de planificare, denumite servere proporționale cu rata, care au parametrii identici cu cei ai planificării imparțiale ponderate, și anume aceeași margine a întârzierii cap la cap, necesarul de tampoane de memorie și gradul intern de rafală.

Folosind clasa serverelor proporționale cu rata am proiectat un algoritm de planificare imparțială bazat pe cadre, cu aceeași margine a întârzierii ca și planificarea imparțială ponderată, și o imparțialitate comparabilă cu acesta. Noul algoritm necesită un timp doar de $\theta(1)$ pentru calculul etichetei de timp. În funcție de implementare, diferiți algoritmi din clasa serverelor proporționale cu rata, pot avea proprietăți de imparțialitate foarte diferite. Astfel, metodologia nou propusă poate fi folosită de către proiectanții de rețele, pentru implementarea eficientă a algoritmilor de servire imparțială, compensând imparțialitatea lor cu complexitatea implementării.

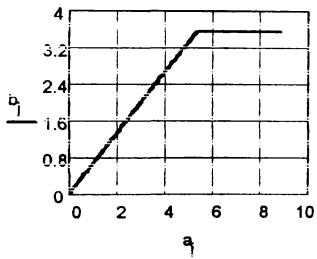
End to end delay 1-14 with
3 Generic sources and 5 Poisson
sources-FCFS



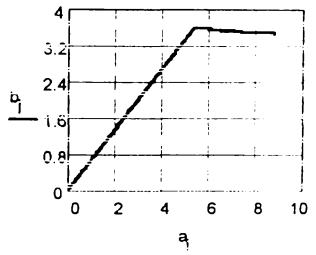
End to end delay 1-14 with
3 Generic sources and 5 Poisson
sources-FQ



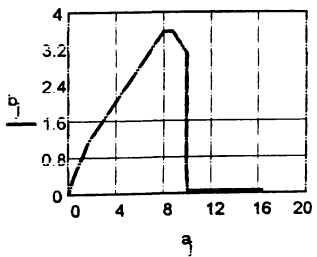
End to end delay 2-16 with
3 Generic sources and 5 Poisson
sources-FCFS



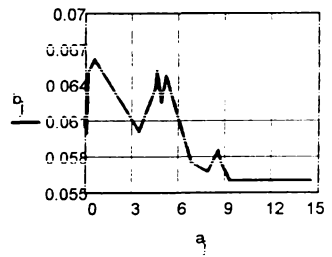
End to end delay 2-16 with
3 Generic sources and 5 Poisson
sources-FQ



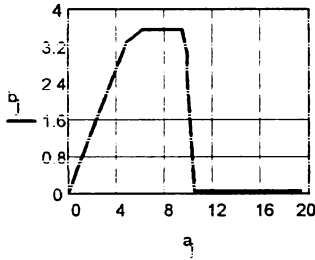
End to end delay 4-16 with
3 Generic sources and 5 Poisson
sources-FCFS



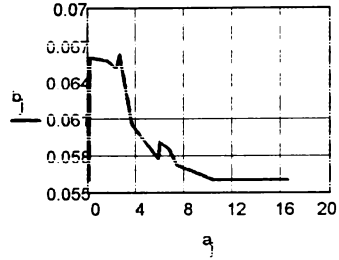
End to end delay 4-16 with
3 Generic sources and 5 Poisson
sources-FQ



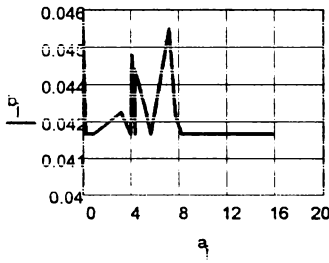
End to end delay 5-15 with 3 Generic sources and 5 Poisson sources-FCFS



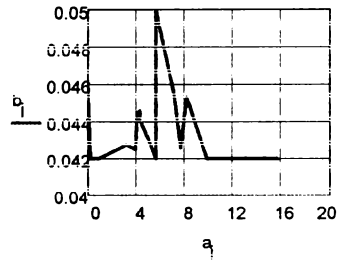
End to end delay 5-15 with 3 Generic sources and 5 Poisson sources-FQ



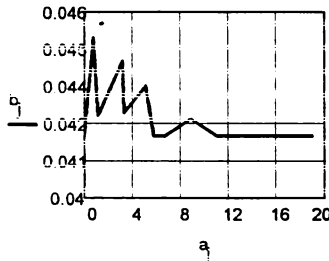
End to end delay 6-15 with 3 Generic sources and 5 Poisson sources-FCFS



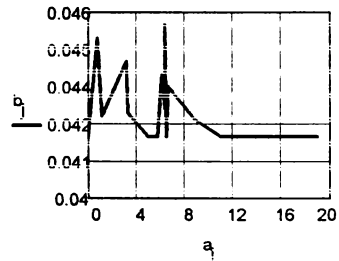
End to end delay 6-15 with 3 Generic sources and 5 Poisson sources-FQ



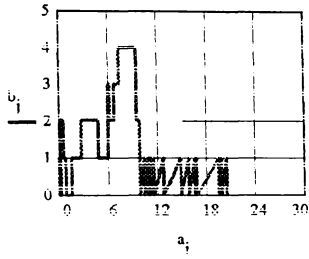
End to end delay 7-15 with 3 Generic sources and 5 Poisson sources-FCFS



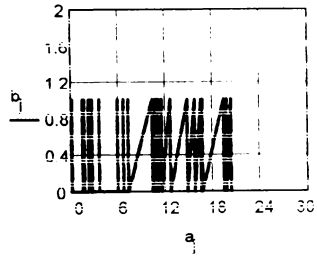
End to end delay 7-15 with 3 Generic sources and 5 Poisson sources-FQ



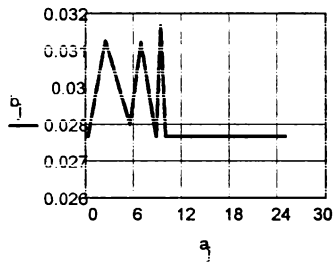
Queue length of source 5 in router 10 with 3 Generic sources and 5 Poisson sources - FCFS



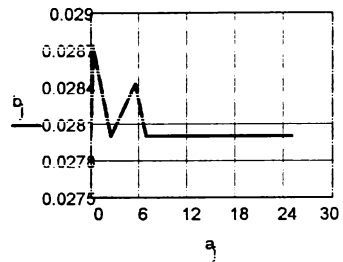
Queue length of source 5 in router 10 with 3 Generic sources and 5 Poisson sources - FQ



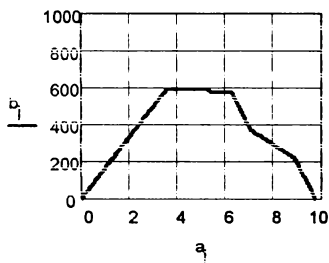
End to end delay 8-14 with 3 Generic sources and 5 Poisson sources-FCFS



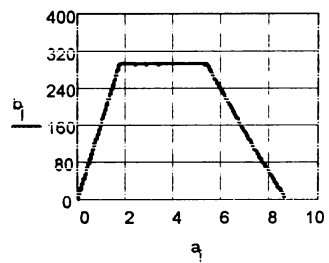
End to end delay 8-14 with 3 Generic sources and 5 Poisson sources-FQ



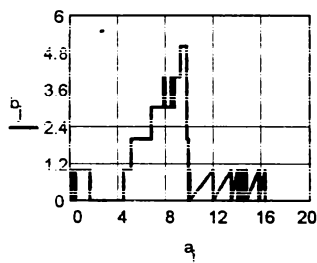
Queue length of source 1 in router 10 with 3 Generic sources and 5 Poisson sources - FCFS



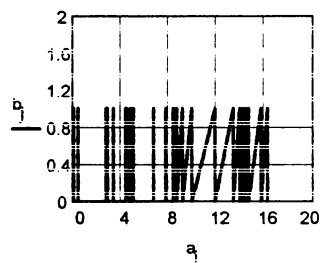
Queue length of source 1 in router 10 with 3 Generic sources and 5 Poisson sources - FQ



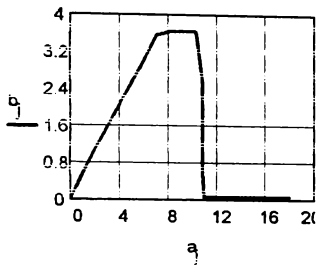
Queue length of source 4 in router 10 with 3 Generic sources and 5 Poisson sources - FCFS



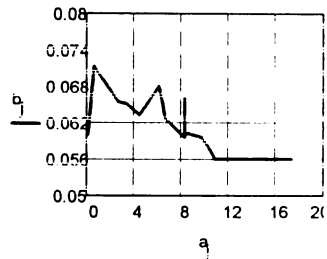
Queue length of source 4 in router 10 with 3 Generic sources and 5 Poisson sources - FQ



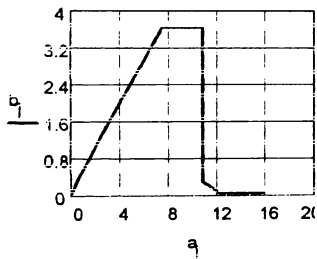
End to end delay 4-16 with 3 Generic sources and 4 Poisson sources-FCFS



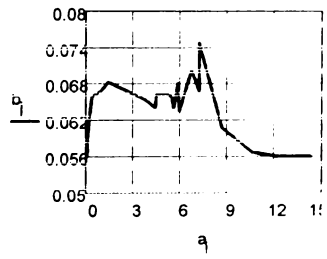
End to end delay 4-16 with 3 Generic sources and 4 Poisson sources-FQ



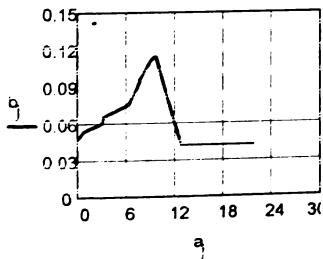
End to end delay 5-15 with 3 Generic sources and 4 Poisson sources-FCFS



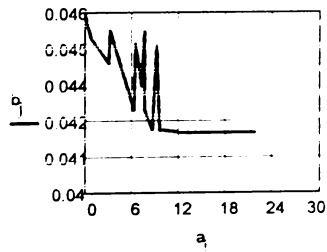
End to end delay 5-15 with 3 Generic sources and 4 Poisson sources-FQ



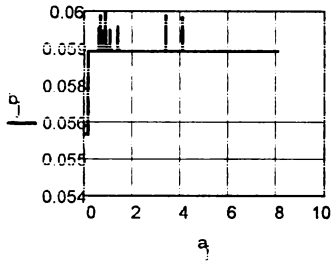
End to end delay 6-15 with 3 Generic sources and 4 Poisson sources-FCFS



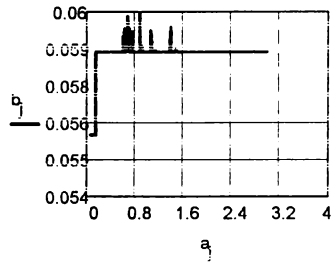
End to end delay 6-15 with 3 Generic sources and 4 Poisson sources-FQ



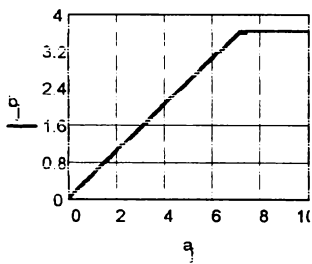
End to end delay 1-14 with
3 Generic sources and 4 Poisson
sources-FCFS



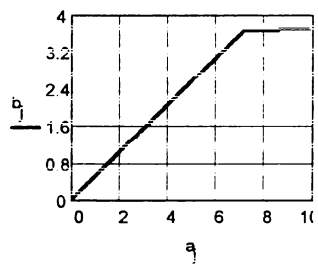
End to end delay 1-14 with
3 Generic sources and 4 Poisson
sources-FQ



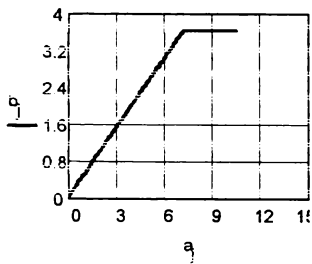
End to end delay 2-16 with
3 Generic sources and 4 Poisson
sources-FCFS



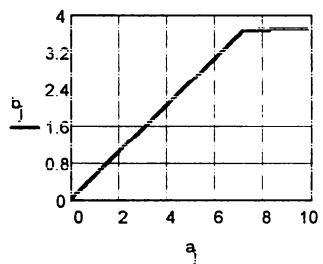
End to end delay 2-16 with
3 Generic sources and 4 Poisson
sources-FQ



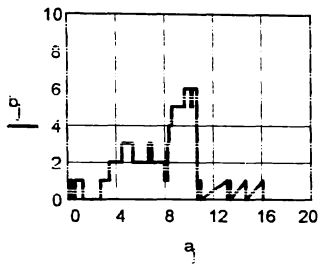
End to end delay 3-16 with
3 Generic sources and 4 Poisson
sources-FCFS



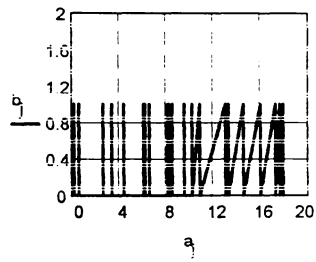
End to end delay 3-16 with
3 Generic sources and 4 Poisson
sources-FQ



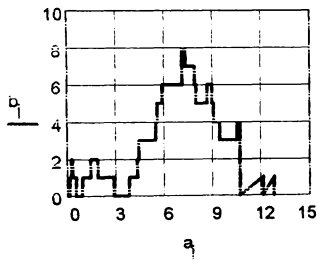
Queue length of source 4 in router 10 with 3 Generic sources and 4 Poisson sources - FCFS



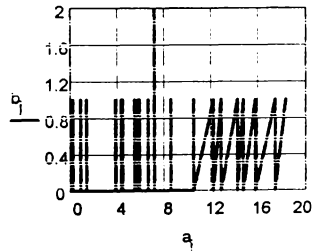
Queue length of source 4 in router 10 with 3 Generic sources and 4 Poisson sources - FQ



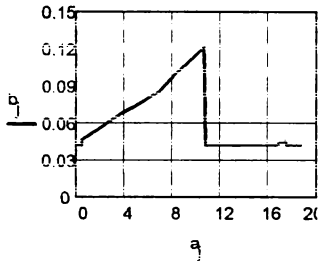
Queue length of source 5 in router 10 with 3 Generic sources and 4 Poisson sources - FCFS



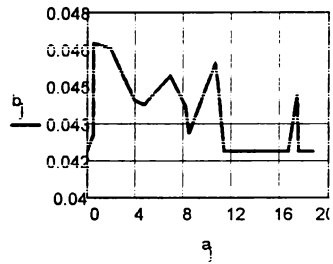
Queue length of source 5 in router 10 with 3 Generic sources and 4 Poisson sources - FQ



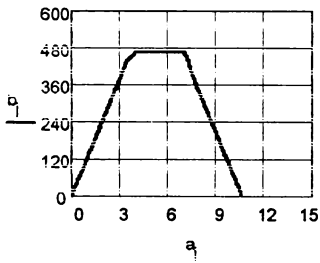
End to end delay 7-15 with 3 Generic sources and 4 Poisson sources-FCFS



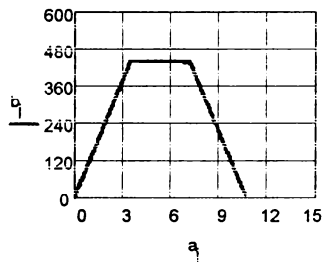
End to end delay 7-15 with 3 Generic sources and 4 Poisson sources-FCFS



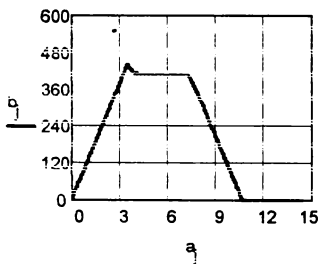
Queue length of source 2 in router 10 with 3 Generic sources and 4 Poisson sources - FCFS



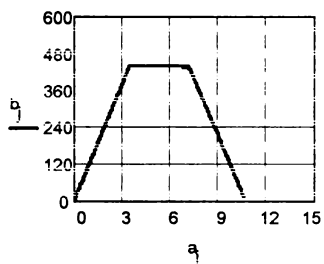
Queue length of source 2 in router 10 with 3 Generic sources and 4 Poisson sources - FQ



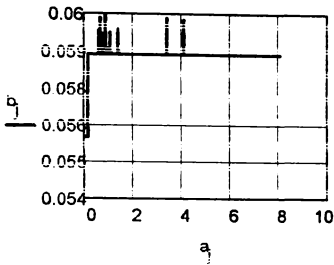
Queue length of source 3 in router 10 with 3 Generic sources and 4 Poisson sources - FCFS



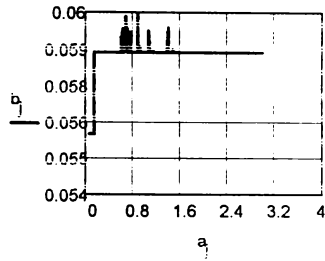
Queue length of source 3 in router 10 with 3 Generic sources and 4 Poisson sources - FQ



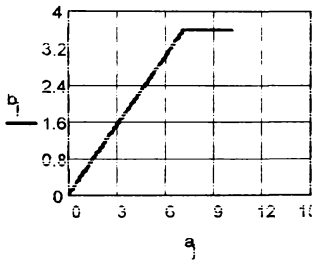
End to end delay 1-14 with
3 Generic sources and 3 Poisson
sources-FCFS



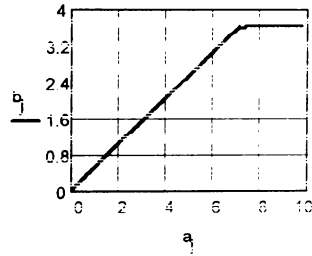
End to end delay 1-14 with
3 Generic sources and 3 Poisson
sources-FQ



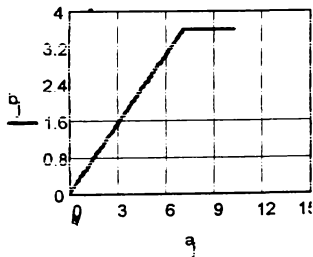
End to end delay 2-16 with
3 Generic sources and 3 Poisson
sources-FCFS



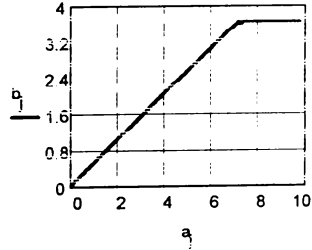
End to end delay 2-16 with
3 Generic sources and 3 Poisson
sources-FQ



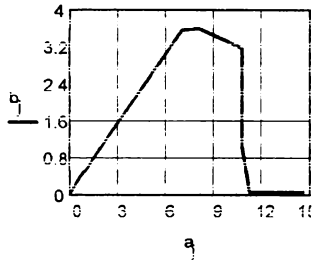
End to end delay 3-16 with
3 Generic sources and 3 Poisson
sources-FCFS



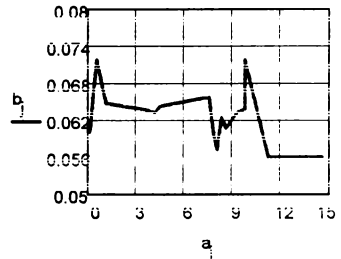
End to end delay 3-16 with
3 Generic sources and 3 Poisson
sources-FQ



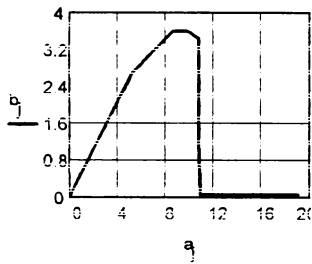
End to end delay 4-16 with
3 Generic sources and 3 Poisson
sources-FCFS



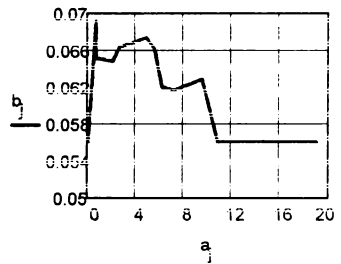
End to end delay 4-16 with
3 Generic sources and 3 Poisson
sources-FQ



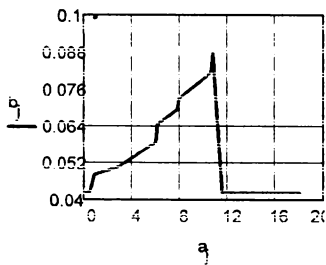
End to end delay 5-15 with
3 Generic sources and 3 Poisson
sources-FCFS



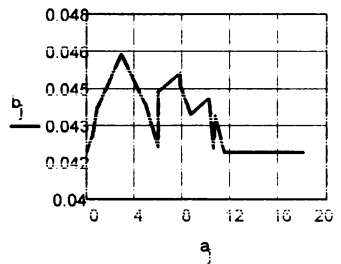
End to end delay 5-15 with
3 Generic sources and 3 Poisson
sources-FQ



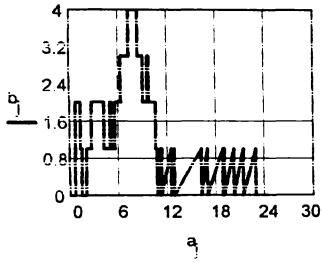
End to end delay 6-15 with
3 Generic sources and 3 Poisson
sources-FCFS



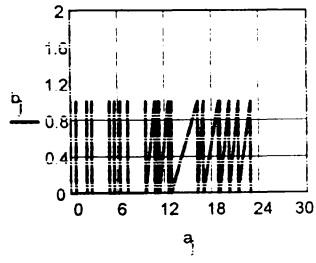
End to end delay 6-15 with
3 Generic sources and 3 Poisson
sources-FQ



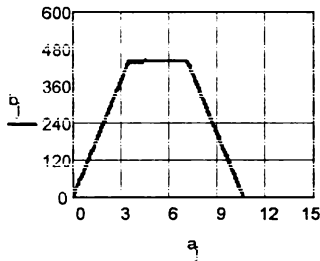
Queue length of source 5 in router 10 with 3 Generic sources and 3 Poisson sources - FCFS



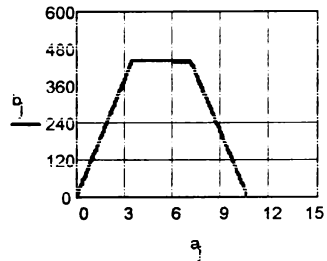
Queue length of source 5 in router 10 with 3 Generic sources and 3 Poisson sources - FQ



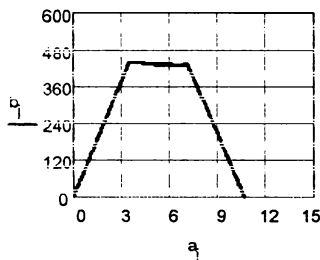
Queue length of source 2 in router 10 with 3 Generic sources and 3 Poisson sources - FCFS



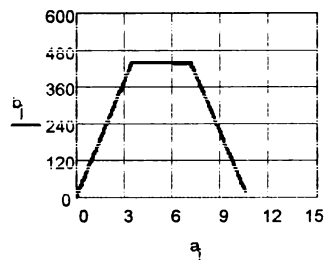
Queue length of source 2 in router 10 with 3 Generic sources and 3 Poisson sources - FQ



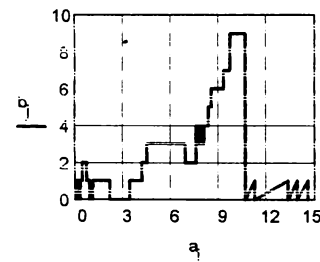
Queue length of source 3 in router 10 with 3 Generic sources and 3 Poisson sources - FCFS



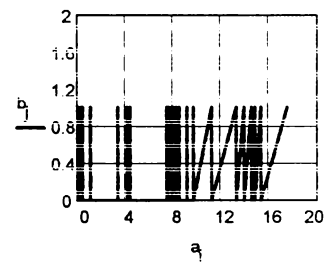
Queue length of source 3 in router 10 with 3 Generic sources and 3 Poisson sources - FQ



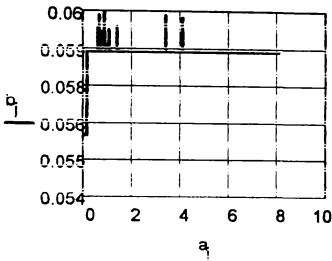
Queue length of source 4 in router 10 with 3 Generic sources and 3 Poisson sources - FCFS



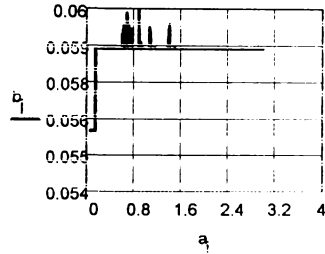
Queue length of source 4 in router 10 with 3 Generic sources and 3 Poisson sources - FQ



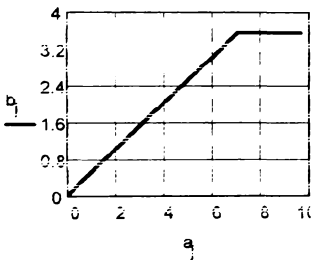
End to end delay 1-14 with
3 Generic sources and 2 Poisson
sources-FCFS



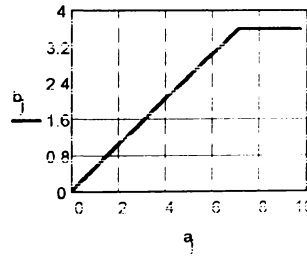
End to end delay 1-14 with
3 Generic sources and 2 Poisson
sources-FQ



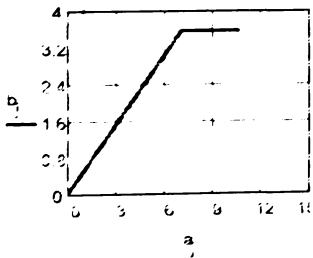
End to end delay 2-16 with
3 Generic sources and 2 Poisson
sources-FCFS



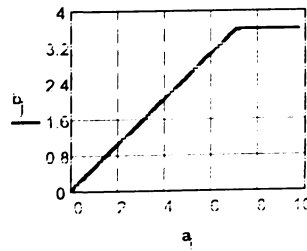
End to end delay 2-16 with
3 Generic sources and 2 Poisson
sources-FQ



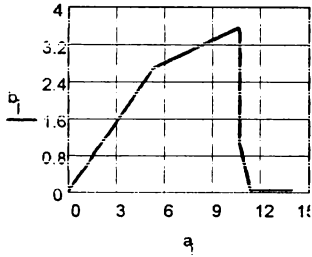
End to end delay 3-16 with
3 Generic sources and 2 Poisson
sources-FCFS



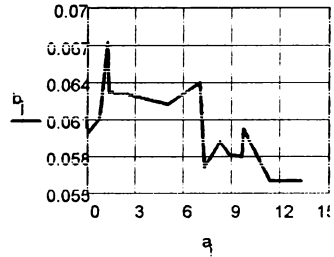
End to end delay 3-16 with
3 Generic sources and 2 Poisson
sources-FQ



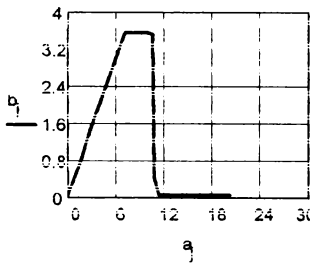
End to end delay 4-16 with
3 Generic sources and 2 Poisson
sources-FCFS



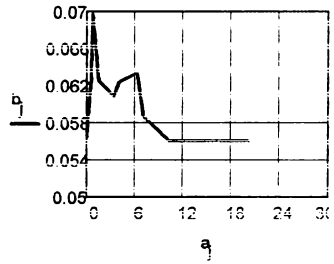
End to end delay 4-16 with
3 Generic sources and 2 Poisson
sources-FQ



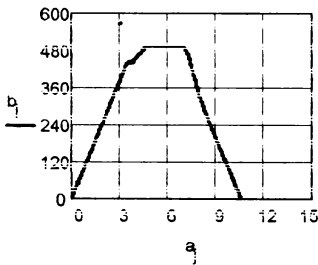
End to end delay 5-15 with
3 Generic sources and 2 Poisson
sources-FCFS



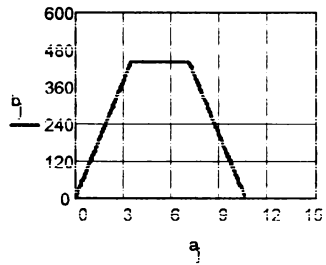
End to end delay 5-15 with
3 Generic sources and 2 Poisson
sources-FQ



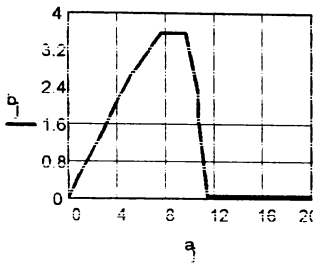
Queue length of source 2 in router
10 with 3 Generic sources and 2
Poisson sources - FCFS



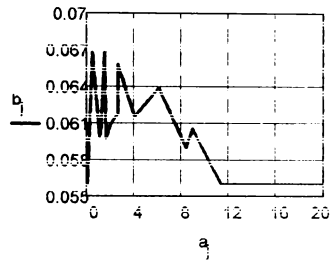
Queue length of source 2 in router
10 with 3 Generic sources and 2
Poisson sources - FQ



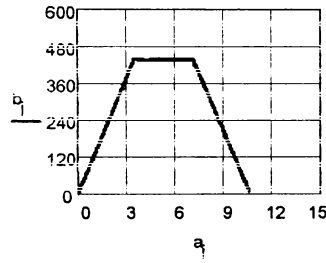
End to end delay 4-16 with 3 Generic sources and 1 Poisson source-FCFS



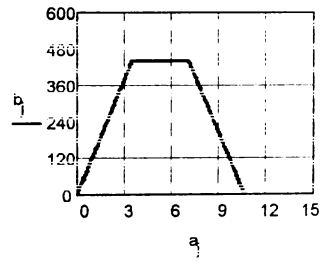
End to end delay 4-16 with 3 Generic sources and 1 Poisson source-FQ



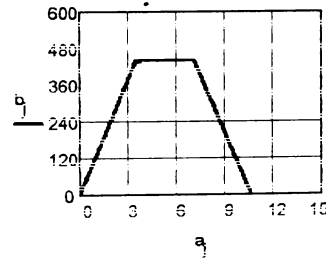
Queue length of source 2 in router 10 with 3 Generic sources and 1 Poisson source - FCFS



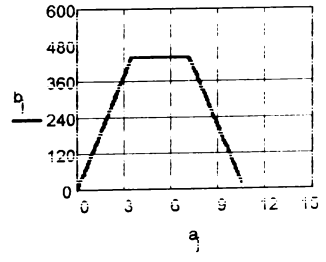
Queue length of source 2 in router 10 with 3 Generic sources and 1 Poisson source - FQ



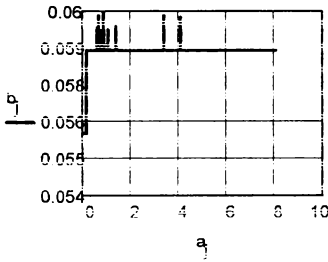
Queue length of source 3 in router 10 with 3 Generic sources and 1 Poisson source - FCFS



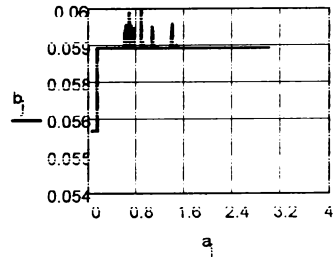
Queue length of source 3 in router 10 with 3 Generic sources and 1 Poisson source FQ



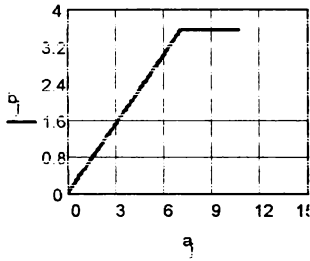
End to end delay 1-14 with
3 Generic sources and 1 Poisson
source-FCFS



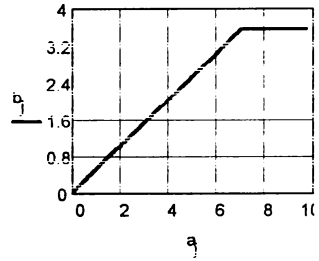
End to end delay 1-14 with
3 Generic sources and 1 Poisson
source-FQ



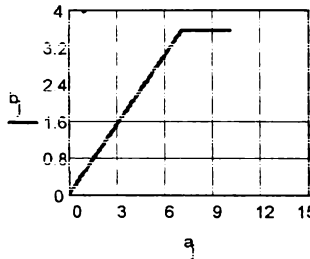
End to end delay 2-16 with
3 Generic sources and 1 Poisson
source-FCFS



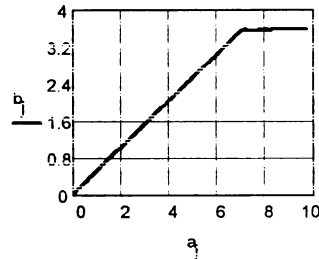
End to end delay 2-16 with
3 Generic sources and 1 Poisson
source-FQ



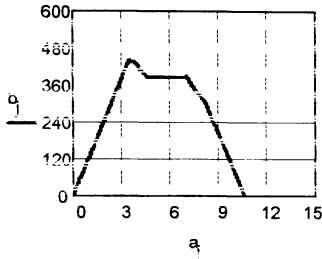
End to end delay 3-16 with
3 Generic sources and 1 Poisson
source-FCFS



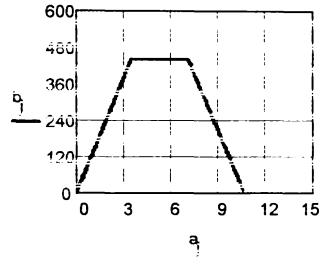
End to end delay 3-16 with
3 Generic sources and 1 Poisson
source-FQ



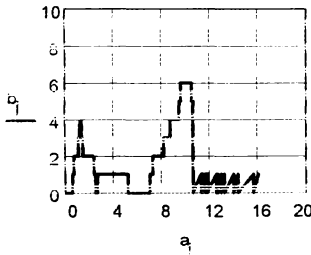
Queue length of source 3 in router 10 with 3 Generic sources and 2 Poisson sources - FCFS



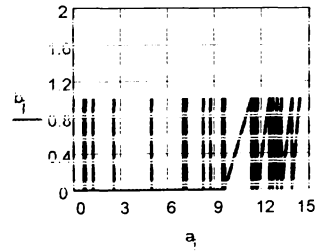
Queue length of source 3 in router 10 with 3 Generic sources and 2 Poisson sources - FQ



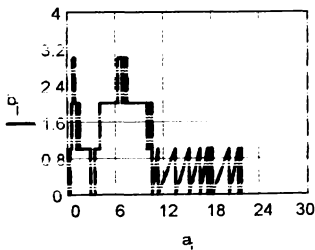
Queue length of source 4 in router 10 with 3 Generic sources and 2 Poisson sources - FCFS



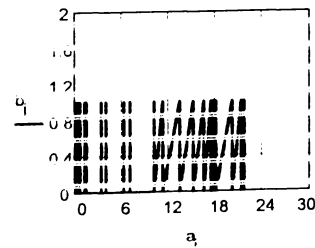
Queue length of source 4 in router 10 with 3 Generic sources and 2 Poisson sources - FQ



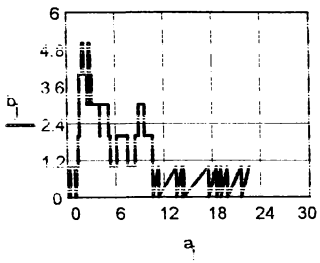
Queue length of source 5 in router 10 with 3 Generic sources and 2 Poisson sources - FCFS



Queue length of source 5 in router 10 with 3 Generic sources and 2 Poisson sources - FQ



Queue length of source 4 in router 10 with 3 Generic sources and 1 Poisson source - FCFS



Queue length of source 4 in router 10 with 3 Generic sources and 1 Poisson source - FQ

